



This is a digital copy of a book that was preserved for generations on library shelves before it was carefully scanned by Google as part of a project to make the world's books discoverable online.

It has survived long enough for the copyright to expire and the book to enter the public domain. A public domain book is one that was never subject to copyright or whose legal copyright term has expired. Whether a book is in the public domain may vary country to country. Public domain books are our gateways to the past, representing a wealth of history, culture and knowledge that's often difficult to discover.

Marks, notations and other marginalia present in the original volume will appear in this file - a reminder of this book's long journey from the publisher to a library and finally to you.

Usage guidelines

Google is proud to partner with libraries to digitize public domain materials and make them widely accessible. Public domain books belong to the public and we are merely their custodians. Nevertheless, this work is expensive, so in order to keep providing this resource, we have taken steps to prevent abuse by commercial parties, including placing technical restrictions on automated querying.

We also ask that you:

- + *Make non-commercial use of the files* We designed Google Book Search for use by individuals, and we request that you use these files for personal, non-commercial purposes.
- + *Refrain from automated querying* Do not send automated queries of any sort to Google's system: If you are conducting research on machine translation, optical character recognition or other areas where access to a large amount of text is helpful, please contact us. We encourage the use of public domain materials for these purposes and may be able to help.
- + *Maintain attribution* The Google "watermark" you see on each file is essential for informing people about this project and helping them find additional materials through Google Book Search. Please do not remove it.
- + *Keep it legal* Whatever your use, remember that you are responsible for ensuring that what you are doing is legal. Do not assume that just because we believe a book is in the public domain for users in the United States, that the work is also in the public domain for users in other countries. Whether a book is still in copyright varies from country to country, and we can't offer guidance on whether any specific use of any specific book is allowed. Please do not assume that a book's appearance in Google Book Search means it can be used in any manner anywhere in the world. Copyright infringement liability can be quite severe.

About Google Book Search

Google's mission is to organize the world's information and to make it universally accessible and useful. Google Book Search helps readers discover the world's books while helping authors and publishers reach new audiences. You can search through the full text of this book on the web at <http://books.google.com/>



Über dieses Buch

Dies ist ein digitales Exemplar eines Buches, das seit Generationen in den Regalen der Bibliotheken aufbewahrt wurde, bevor es von Google im Rahmen eines Projekts, mit dem die Bücher dieser Welt online verfügbar gemacht werden sollen, sorgfältig gescannt wurde.

Das Buch hat das Urheberrecht überdauert und kann nun öffentlich zugänglich gemacht werden. Ein öffentlich zugängliches Buch ist ein Buch, das niemals Urheberrechten unterlag oder bei dem die Schutzfrist des Urheberrechts abgelaufen ist. Ob ein Buch öffentlich zugänglich ist, kann von Land zu Land unterschiedlich sein. Öffentlich zugängliche Bücher sind unser Tor zur Vergangenheit und stellen ein geschichtliches, kulturelles und wissenschaftliches Vermögen dar, das häufig nur schwierig zu entdecken ist.

Gebrauchsspuren, Anmerkungen und andere Randbemerkungen, die im Originalband enthalten sind, finden sich auch in dieser Datei – eine Erinnerung an die lange Reise, die das Buch vom Verleger zu einer Bibliothek und weiter zu Ihnen hinter sich gebracht hat.

Nutzungsrichtlinien

Google ist stolz, mit Bibliotheken in partnerschaftlicher Zusammenarbeit öffentlich zugängliches Material zu digitalisieren und einer breiten Masse zugänglich zu machen. Öffentlich zugängliche Bücher gehören der Öffentlichkeit, und wir sind nur ihre Hüter. Nichtsdestotrotz ist diese Arbeit kostspielig. Um diese Ressource weiterhin zur Verfügung stellen zu können, haben wir Schritte unternommen, um den Missbrauch durch kommerzielle Parteien zu verhindern. Dazu gehören technische Einschränkungen für automatisierte Abfragen.

Wir bitten Sie um Einhaltung folgender Richtlinien:

- + *Nutzung der Dateien zu nichtkommerziellen Zwecken* Wir haben Google Buchsuche für Endanwender konzipiert und möchten, dass Sie diese Dateien nur für persönliche, nichtkommerzielle Zwecke verwenden.
- + *Keine automatisierten Abfragen* Senden Sie keine automatisierten Abfragen irgendwelcher Art an das Google-System. Wenn Sie Recherchen über maschinelle Übersetzung, optische Zeichenerkennung oder andere Bereiche durchführen, in denen der Zugang zu Text in großen Mengen nützlich ist, wenden Sie sich bitte an uns. Wir fördern die Nutzung des öffentlich zugänglichen Materials für diese Zwecke und können Ihnen unter Umständen helfen.
- + *Beibehaltung von Google-Markenelementen* Das "Wasserzeichen" von Google, das Sie in jeder Datei finden, ist wichtig zur Information über dieses Projekt und hilft den Anwendern weiteres Material über Google Buchsuche zu finden. Bitte entfernen Sie das Wasserzeichen nicht.
- + *Bewegen Sie sich innerhalb der Legalität* Unabhängig von Ihrem Verwendungszweck müssen Sie sich Ihrer Verantwortung bewusst sein, sicherzustellen, dass Ihre Nutzung legal ist. Gehen Sie nicht davon aus, dass ein Buch, das nach unserem Dafürhalten für Nutzer in den USA öffentlich zugänglich ist, auch für Nutzer in anderen Ländern öffentlich zugänglich ist. Ob ein Buch noch dem Urheberrecht unterliegt, ist von Land zu Land verschieden. Wir können keine Beratung leisten, ob eine bestimmte Nutzung eines bestimmten Buches gesetzlich zulässig ist. Gehen Sie nicht davon aus, dass das Erscheinen eines Buchs in Google Buchsuche bedeutet, dass es in jeder Form und überall auf der Welt verwendet werden kann. Eine Urheberrechtsverletzung kann schwerwiegende Folgen haben.

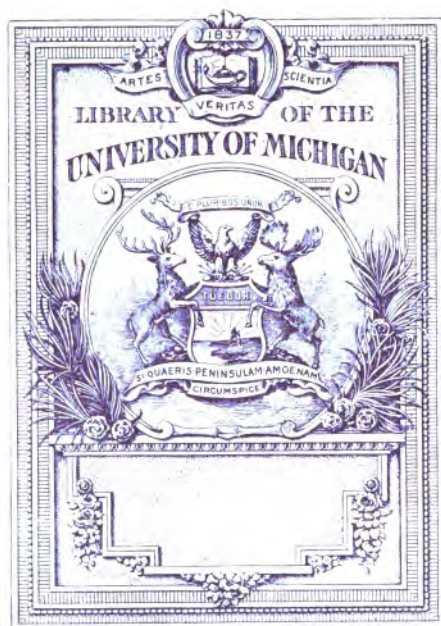
Über Google Buchsuche

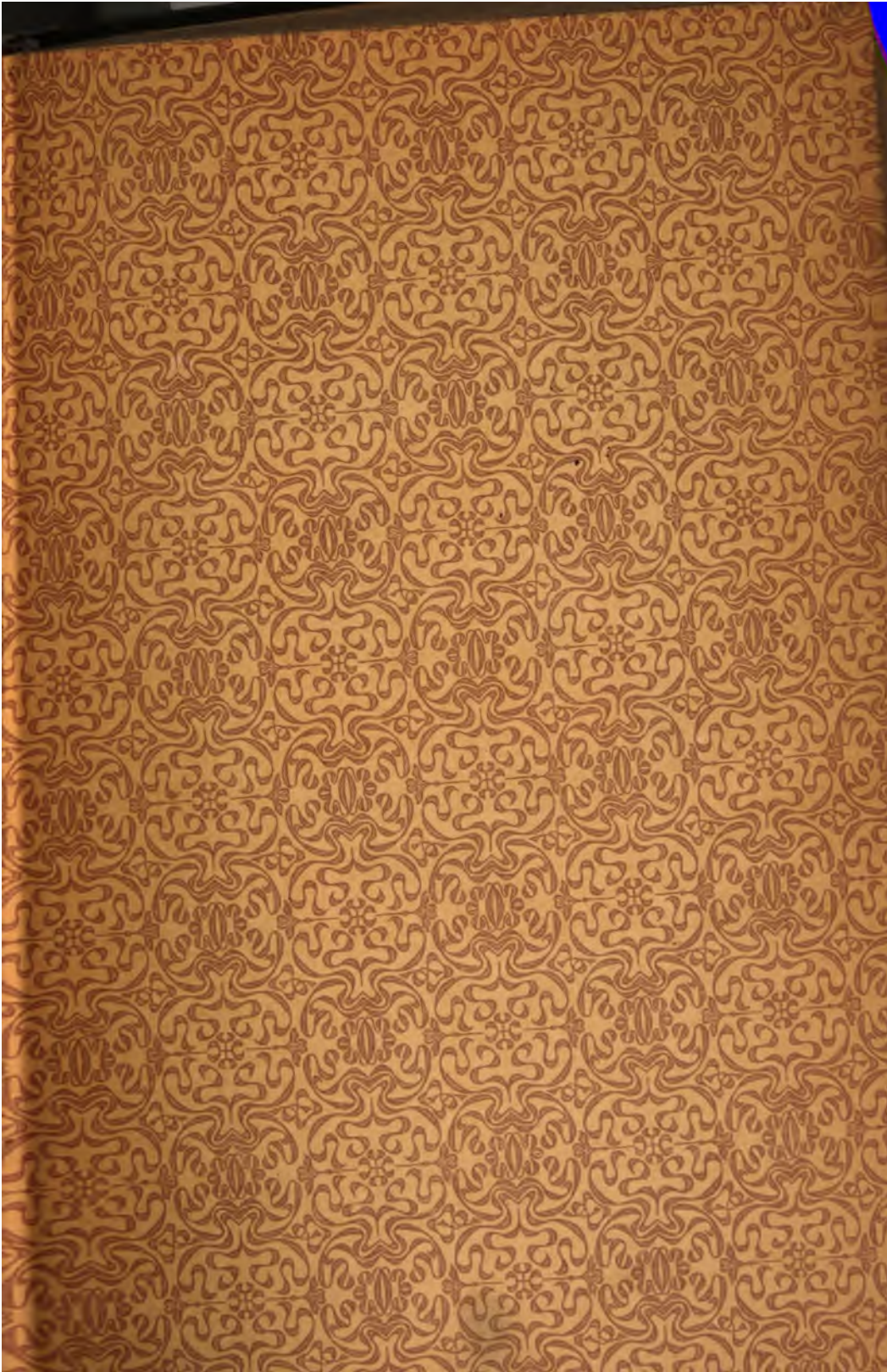
Das Ziel von Google besteht darin, die weltweiten Informationen zu organisieren und allgemein nutzbar und zugänglich zu machen. Google Buchsuche hilft Lesern dabei, die Bücher dieser Welt zu entdecken, und unterstützt Autoren und Verleger dabei, neue Zielgruppen zu erreichen. Den gesamten Buchtext können Sie im Internet unter <http://books.google.com> durchsuchen.

BUHR A



a39015 01803221 2b





SCIENCE LIBRARY

QD

911

.H52

1. 5.

LEHRBUCH
DES
KRYSTALLBERECHNUNG.

MIT ZAHLENREICHEN BEISPIELEN,
DIE MIT HILFE DER SPHÄRISCHEN TRIGONOMETRIE
AUF GRUND EINER STEREOGRAPHISCHEN PROJECTION
BERECHNET WURDEN.

VON
FERDINAND HENRICH,
OBERLEHRER AM REALGYMNASIUM IN WIESBADEN.

MIT 95 IN DEN TEXT GEDRUCKTEN FIGUREN.

STUTTGART.
VERLAG VON FERDINAND ENKE.
1886.

Druck von Gebrüder Kröner in Stuttgart.

V o r r e d e.

In dem vorliegenden Lehrbuch der Krystallberechnung wird die Kenntniss der sphärischen Trigonometrie und der Krystallgestalten vorausgesetzt.

Die Berechnung der Krystalle auf Grundlage einer stereographischen Projection wird sich nach meiner Ueberzeugung mehr und mehr Bahn brechen. Obwohl nun die Theorie in vielen Werken ausführlich behandelt wird, so existirt doch kein einziges, in dem sie durch zahlreiche Beispiele erläutert ist. Diese Lücke auszufüllen, ist das vorliegende Lehrbuch bestimmt. Es behandelt daher auch die stereographische Projectionsmethode so weit als nothwendig ist, um den Leser in den Stand zu setzen, jede Gestalt und Combination richtig zu projectiren. Obgleich die Tendenz des Werkes eine vorwiegend praktische ist, so ist doch auch der Theorie in so ausreichendem Masse Rechnung getragen, dass die meisten Combinationen nach mehreren Methoden konnten berechnet werden. Und das ist gewiss nicht von geringem Werth; denn der Gesichtskreis des Lesers wird dadurch erweitert und er selbst zur Auffindung anderer Wege angeregt; ausserdem wird ihm aber eine wichtige Controle für die Richtigkeit seiner Rechnungen geboten.

Die Theorie der Zwillingsbildung ist hier für recht- und schiefwinklige Axen ganz ausführlich behandelt und auf die

verschiedenen Zwillingengesetze zur Anwendung gebracht worden. Insbesondere ist auch die Bestimmung der Zwillingsfläche auf verschiedenen Wegen an vielen Beispielen erläutert.

Die bei der Berechnung einfacher Gestalten aufgestellten allgemeinen Formeln finden sich zwar grösstentheils in Naumanns Lehrbuch der reinen und angewandten Krystallographie auf analytischem Wege entwickelt, auf Grundlage einer stereographischen Projection sind sie aber hier zum ersten Male abgeleitet.

Als Indices wurden stets die reciproken Werthe der Ableitungszahlen m und n genommen; einmal, weil sich die Gleichungen einer Krystalfläche dadurch oft einfacher gestalten, hauptsächlich aber weil das Naumann'sche Zeichen sich alsdann sofort ergibt.

Die hexagonalen Gestalten und Combinationen wurden unter Zugrundelegung des von Schrauf zuerst angegebenen rechtwinkligen Axensystems ($U : V : c$) berechnet. Da auch hier als Indices die reciproken Werthe der Ableitungszahl m und n genommen wurden, so mussten einige neue Beziehungen aufgestellt werden. Neu ist auch die Discussion der im hexagonalen und den folgenden Systemen aufgestellten Gleichungen für die Indices e f g der homologen Fläche eines Zwillingskrystalles.

Davon kann man schon erkennen, dass nicht eine blosse Zusammenstellung längst bekannter Beziehungen, dass auch manche Neues geboren wird.

Die stereographischen Projectionen sind bis auf eine einzige für sich ganz mit berechnet worden. Die parallelperspectivischen Zeichnungen der Combinationen dagegen sind nach den vorhandenen Formeln gezeichnet, und es ist jedesmal an dem betreffenden Orte die Quelle angegeben. Diese Zeichnungen zweier Flächen sind die einzigen Daten, die

bei der Berechnung der Combinationen anderen Werken entnommen werden konnten.

Unter Kantenwinkel ist überall der von zwei in einer Kante zusammenstossenden Flächen eingeschlossene innere Winkel verstanden.

Bei der Berechnung der einzelnen Beispiele wurden gewöhnlich fünfstellige Logarithmen angewendet, weil diese bei der bis jetzt erreichten Zuverlässigkeit der Winkelangaben vollständig ausreichen.

Zu besonderem Danke bin ich dem Herrn Dr. Eduard Hoffmann in Wiesbaden verpflichtet für die Bereitwilligkeit und Sorgfalt, mit der er mich beim Correcturlesen unterstützte.

Henrich.



Inhaltsverzeichnis.

	Seite
1) Indices und Ableitungszahlen	2 u. 3
2) Ableitung der Hauptgleichung:	
$\frac{a}{h} \cos PX = \frac{b}{k} \cos PY = \frac{c}{l} \cos PZ$	3 u. 4
3) Tautozonale Flächen	5
4) Die Beziehung zwischen den Indices dreier tautozonaler Flächen	5
Die Zonengleichung $eu + fv + gw = 0$	8
5) Anwendung der Zonengleichung	8 bis 10
6) Die Beziehungen zwischen den Indices und Entfernungen von vier tautozonalen Flächen	10 bis 13
7) Aus den Winkeln, welche vier tautozonale Flächen mit einander bilden, und den Indices dreier dieser Flächen die Indices der vierten Fläche zu finden	13 bis 14

Stereographische Projection.

8) Die Projection eines beliebigen Kreises auf den Grundkreis ist stets ein Kreis	16
9) Aus der Projection eines Punktes eines grössten Kreises der Kugel den entgegengesetzten Punkt zu finden	18
10) Die Projection des Poles aus der Projection eines grössten Kreises zu finden	18
11) Aus der Projection zweier Punkte eines grössten Kreises ihren Abstand auf der Kugeloberfläche anzugeben	19
12) Auf der Projection eines grössten Kreises einen Punkt anzu- geben, der von einem gegebenen Punkt um den Winkel α auf der Kugeloberfläche entfernt ist	20
13) Aus der Projection zweier grösster Kreise den Winkel zu finden, den die Ebenen dieser Kreise mit einander bilden	20

— VIII —

	Seite
24) Anwendungen	21
25) Ableitung der Gleichungen $\cos PX = \frac{bch}{\sqrt{N}}$, $\cos PY = \frac{ack}{\sqrt{N}}$	
für das rechtwinklige Axensystem	24
26) Ableitung der Gleichung $\cos PP' = \frac{(ab)^2ll' + (ac)^2kk' + (bc)^2hh'}{\sqrt{N} \sqrt{N_1}}$	
für das rechtwinklige Axensystem	25
27) Ableitung der analogen Gleichungen für das schiefwinklige Axensystem	26 bis 29
Berechnung der regulären Krystalle.	
28) Berechnung der Hexakisoktaeder	
a) aus A und B	32
b) aus B und C	34
c) aus A und C	36
29) Berechnung der Ikositetraeder	
a) aus B	38
b) aus C	39
30) Berechnung der Dodekaeder	
a) aus B	41
b) aus A	42
31) Berechnung der Tetraeder	
a) aus B	44
b) aus A	44
32) Berechnung der Oktaeder	
a) aus B	45
b) aus A	45
33) Berechnung der Hexaeder	
a) aus B	47
b) aus A	48
c) aus C	50
34) Berechnung der Rhomboeder	
a) aus B	52
b) aus A	53
35) Berechnung der Trigonalbipyramiden	
a) aus B	53
b) aus A	54
c) aus C	55
36) Berechnung der Tetraeder	
a) aus B	56
b) aus A	60
c) aus C	62
37) Berechnung der Oktaeder	
a) aus B	63
b) aus A	65

— IX —

Berechnung complicirter Combinationen.

	Seite
Erstes Beispiel (Rothkupfererz)	66
Zweites „ (Kobaltnickelkies)	72
Drittes „ (Boracit)	77
Viertes „ (Eisenkies)	80
Fünftes „ (Baryumnitrat)	82

Tetragonales Krystallsystem.

Berechnung der ditetragonalen Pyramiden mPn	
a) aus Z und Y	88
b) aus X und Z	89
c) aus Y und X	90
Berechnung der Pyramiden mP	
a) aus Z	90
b) aus X	91
Berechnung der DeuteroPyramiden $mP\infty$	
a) aus Y	92
b) aus X	92
Berechnung der ditetragonalen Prismen ∞Pn	
a) aus Z	92
b) aus Y	92
Berechnung der Skalenoöder $\frac{mPn}{2}$	
a) aus X und Y	95
b) aus X und Z	97
c) aus Y und Z	98
Berechnung der Sphenoide $\frac{mP}{2}$	
	99

Berechnung complicirter Combinationen.

Erstes Beispiel (Zinnstein)	99
Zweites „ (Kupferkies von Ramberg)	103
Drittes „ (Scheelit)	104
Viertes „ (Anatas vom Binnenthal)	108

Hexagonales Krystallsystem.

Berechnung der dihexagonalen Pyramiden mPn	
a) aus Z und Y	117
b) aus X und Z	119
c) aus Y und X	120
Berechnung der hexagonalen Pyramiden mP	
a) aus Z	121
b) aus X	122

Berechnung der DeuteroPyramiden mP_2	Seite
a) aus Y	123
b) aus X	123
Berechnung der dihexagonalen Prismen ∞P_n	
a) aus Z	123
b) aus Y	123
Berechnung der Skalenoöder $\frac{mP_n}{2}$	
a) aus X und Z	126
b) aus X und Y	130
c) aus Y und Z	132
Berechnung der Rhomboöder $\frac{mP}{2}$	
a) aus X	134
b) aus Z	134
Secundäre Ableitung, Bezeichnung und Berechnung der Skalenoöder	134

Entwicklung zusammengesetzter Combinationen.

Erstes Beispiel (Beryll)	139
Zweites „ (Apatit)	143
Drittes „ (Kalkspath)	146
Viertes „ (Eisenglanz)	149
Fünftes „ (Bergkrystall)	154
Sechstes „ (Rothgiltigerz)	158

Rhombisches Krystallsystem.

Berechnung der rhombischen Pyramide P	
a) aus X und Y	168
b) aus X und Z	168
c) aus Y und Z	169
Berechnung der rhombischen Sphenoide	
a) aus X' und Z'	170
b) aus X' und Y'	170
c) aus Y' und Z'	171

Berechnung complicirter Combinationen.

Erstes Beispiel (Aragonit)	171
Zweites „ (Weissbleierz)	174
Drittes „ (Asparagin)	179
Viertes „ (Bleivitriol)	181

Monosymmetrisches Krystallsystem.

Die Gleichung $\frac{a}{h} \sin ey o = \frac{b}{k} \text{ctg ey} = \frac{c}{l} \sin ey x'$	185
--	-----

	Seite
Erstes Beispiel (Hornblende vom Vesuv)	186
Zweites „ (Orthoklas)	189
Drittes „ (Tribenzhydroxylamin)	192
Viertes „ (Epidot)	194

Das triklone Krystallsystem.

Die Gleichung $\frac{a}{h} \sin PCB = \frac{b}{k} \sin PCA$	202
Erstes Beispiel (Albit)	202
Zweites „ (Axinit)	207
Drittes „ (Anorthit)	210
Viertes „ (Bromorthonitrophenol)	217

Theorie der Zwillingskrystalle.

I. Für rechtwinklige Axen	220
Die Hauptgleichungen für $e'f'g'$	225

Anwendungen auf das reguläre System, wenn die Zwillingsfläche eine Oktaëderfläche ist.

Parallellflächen von mOn ; (h, k, l)	227
„ „ mOm	231
„ „ mO	232
„ „ ∞On	233
„ „ ∞O	235
„ „ O	235
„ „ $\infty O\infty$	235

Bestimmung der Zwillingsfläche.

Erstes Beispiel (Spinell, Magneteisen)	235
Zweites „ (Zinkblende)	238

Anwendungen auf das tetragonale Krystallsystem.

Die Zwillingsfläche ist eine Fläche von $P\infty$.

Parallellflächen von mPn	240
„ „ mP	243
„ „ $mP\infty$	244
„ „ ∞Pn	246
„ „ ∞P	246
„ „ $\infty P\infty$	247

Die Zwillingsfläche ist eine Fläche der Grundpyramide P .

Parallellflächen von mPn	247
Die Zwillingsfläche ist eine Fläche des Prismas ∞P . .	248

— XII —

Bestimmung der Zwillingsfläche.	Seite
Erstes Beispiel (Zinnstein)	249

Anwendung der Theorie auf das hexagonale Krystallsystem.

Die Zwillingsfläche ist eine Fläche der Pyramide $m'P$. . .	252
Parallelfächen von mPn	253
Discussion der Resultate	257
Parallelfächen der hexagonalen Pyramiden mP	260
Discussion der Resultate	262
Parallelfächen der Deuteroypyramiden mP_2	263
Die Zwillingsfläche ist oP	264

Bestimmung der Zwillingsfläche.

Erstes Beispiel (Calcit)	264
Zweites „ (Calcit)	265
Drittes „ (Calcit)	266

Anwendung der Theorie auf das rhombische Krystallsystem.

Erstes Zwillingsgesetz. Die Zwillingsfläche ist eine Fläche von ∞P .

Parallelfächen von mP	268
„ der Makropyramiden $m\bar{P}n$	271
„ der Brachypyramiden $m\check{P}n$	271

Zweites Zwillingsgesetz. Die Zwillingsfläche ist eine Fläche des Brachydomas $m'P\infty$.

Parallelfächen von mP	273
„ „ $m\bar{P}n$	274
„ „ $m\check{P}n$	274

Drittes Zwillingsgesetz. Die Zwillingsfläche ist eine Fläche des Makrodomas $m'P\infty$.

Parallelfächen von mP	275
„ „ $m\bar{P}n$	275
„ „ $m\check{P}n$	276

Bestimmung der Zwillingsfläche.

Erstes Beispiel (Aragonit)	276
Zweites „ (Markasit)	279

II. Das Axensystem ist schiefwinklig.

Die Gleichungen für $e'f'g'$ im triklinen System	286
Die Gleichungen für $e'f'g'$ im monosymmetrischen System . . .	288

— XIII —

Erstes Zwillingsgesetz. Die Zwillingsfläche ist das Orthopinakoid (im monosymmetrischen System).		Seite
Parallelfächen von $\pm mP$		290
„ „ $\pm mP\bar{n}$		291
„ „ $\pm mP\bar{n}$		292
„ der Domen		293
Zweites Zwillingsgesetz. Zwillingsfläche die Basis.		
Parallelfächen von $\pm mP$		293
„ „ $\pm mP\bar{n}$		293
„ „ $-mP\bar{n}$		294
„ „ $\pm mP\bar{n}$		294
Drittes Zwillingsgesetz. Zwillingsfläche eine Fläche des Klinodomas $m'P\infty$		294
Ermittlung der Zwillingsfläche.		
Erstes Beispiel (Orthoklas)		294
Zweites „ (Orthoklas)		296
Drittes „ (Augit)		297
Das trikline System.		
Erstes Zwillingsgesetz. Zwillingsfläche das Brachypinakoid $\infty\bar{P}\infty$		297
Zweites Zwillingsgesetz. Zwillingsfläche die Basis		298
Bestimmung der Zwillingsfläche (Albit)		299

[The page contains faint, illegible markings and bleed-through from the reverse side.]

Fortlaufende Quellen.

Neues Jahrbuch für Mineralogie, Geologie und Petrefactenkunde.
Stuttgart. Seit 1833.

Zeitschrift für Krystallographie und Mineralogie, herausgegeben von
P. Groth. Leipzig. Seit 1877.

Annalen der Physik und Chemie (jetzt herausgegeben von Wiedemann).
Leipzig. Seit 1824.

Mineralogische Mittheilungen. Gesammelt von G. Tschermak. Wien.
Seit 1872.

N. v. Kokscharow, Materialien zur Mineralogie Russlands.

Kenngott, Uebersicht der Resultate mineralogischer Forschungen.
Seit 1844.

Hessenberg, Mineralogische Notizen. Heft 1—11 (geschlossen).

Druckfehler.

Auf Seite 186, Zeile 4 muss es heissen: Die Gleichung der Fläche e ,
deren Indices $h \bar{k} l$ (statt $\bar{h} k l$) sind.

1871

1871

1871

Einleitung in die Berechnung der Krystalle.

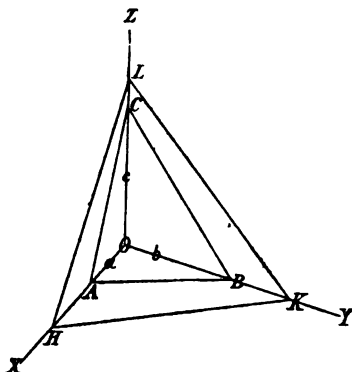
Aufstellung der Grundgleichungen.

§. 1.

Es seien OX , OY , OZ (s. Fig. 1) drei begrenzte, in einem Punkte O unter beliebigen Winkeln sich schneidende Linien. Verlängern wir jede vom Punkte O aus um sich selbst, so haben wir ein schiefwinkliges Axensystem. Die Linien selbst nennen wir Axen. Die gezeichneten Richtungen OX , OY , OZ sollen die positiven Richtungen der Axen, die vom Punkte O aus nach entgegengesetzter Richtung verlängerten Linien die negativen Richtungen der 3 Axen sein.

Irgend eine Ebene HKL ist festgelegt durch die 3 Abschnitte OH , OK , OL auf den Axen. Diese Abschnitte nennt man die Parämeter (Coordinationen) der Ebene oder der Fläche, denn in der Krystallographie werden die Ebenen Flächen genannt. Da in der Krystallographie parallele Flächen als identische betrachtet werden, so ist die Ebene HKL in krystallographischer Hinsicht schon bestimmt durch

Fig. 1.



Verhältniss der Parameter ($OH : OK : OL$). Durch das Verhältniss zerfällt der Raum in 8 Abtheilungen, die man *Octanten* nennt, mithin gibt es auch 8 Flächen, die das Parameterverhältniss $OH : OK : OL$ haben. Sollen sie von einander unterschieden werden, so muss jedes Parameter mit dem Vorzeichen + oder — versehen werden. Das + Zeichen kann man auch weglassen, das — Zeichen nicht. Die Fläche, deren Parameterverhältniss $OH : OK : OL$ ist, liegt mithin (s. Fig. 1) in dem vorderen, oberen, rechten Octanten; die Fläche, deren Parameterverhältniss $OH : OK : - OL$ ist, in dem vorderen, unteren, rechten Octanten.

Da vom Mittelpunkte O des Axensystems nur eine einzige Normale auf die Fläche HKL möglich ist, so ist die Fläche auch bestimmt durch die Länge und Richtung dieser Normale, und da in der Krystallographie parallele Flächen als identische Flächen angesehen werden, durch die Richtung der Normale allein. Diese Normale nennt man *Träger der Fläche*.

Denken wir uns um den Mittelpunkt des Axensystems eine Kugel mit beliebigem Radius construirt und verlängern die Normale der Fläche HKL , bis sie die Oberfläche der Kugel durchsticht, so ist die Fläche HKL durch diesen Punkt auf der Kugel, welcher Pol der Fläche HKL genannt wird, auch bestimmt; denn verbinden wir ihn mit dem Axenmittelpunkte, so erhalten wir den Träger der Fläche HKL .

Es gibt noch eine andere Methode, eine Fläche zu bestimmen, die darin besteht, die Fläche auf irgend eine Ebene, die man *Grundebene* nennt, zu beziehen. In Fig. 1 sei ABC die Grundebene, deren Parameter a, b, c sind. Nun gibt es offenbar eine Zahl, die mit a multiplicirt gleich OH wird.

Nennen wir diese Zahl $\frac{1}{h}$, so ist:

$$1) \left\{ \begin{array}{l} OH = a \cdot \frac{1}{h}. \text{ Ebenso sei} \\ OK = b \cdot \frac{1}{k}, \\ OL = c \cdot \frac{1}{l}. \end{array} \right.$$

Die Zahlen h, k, l nennt man die Indices der Fläche HKL; die Parameter a, b, c der Grundebene nennt man nun Axenlängen, das Zeichen (hkl) das Symbol der Ebene HKL. Aus der Gl. 1 ersehen wir, dass der Index gleich ist dem Quotienten aus der Axenlänge und dem Parameter

$$\left(h = \frac{a}{OH} \quad k = \frac{b}{OK} \quad l = \frac{c}{OL} \right).$$

Nennt man die Zahl, die mit a multiplicirt OH liefert, m , so ist auch

$$OH = a \cdot m; \text{ ebenso sei } OK = b \cdot n \text{ und } OL = c \cdot r.$$

Die Zahlen m, n und r nennt man Ableitungszahlen. Vergleicht man die letzten 3 Gleichungen mit den Gleichungen 1, so bemerkt man sogleich, dass die Indices die reciproken Werthe der Ableitungszahlen und die Ableitungszahlen die reciproken Werthe der Indices sind. Kennt man mithin die Ableitungszahlen, so kennt man auch die Indices und umgekehrt.

Der Erfahrung gemäss kommen an einem Krystalle nur solche Flächen vor, deren Indices (oder Ableitungszahlen) sich wie einfache rationale Zahlen verhalten, vorausgesetzt, dass man den Krystall auf ein Axensystem bezieht, dessen Richtungen und Längen durch den Schnitt irgend welcher möglichen Flächen des Krystalls bestimmt werden. Dies ist das Gesetz der Rationalität der Indices. Der Erfahrung gemäss ist auch ein Krystall in krystallographischer und physikalischer Beziehung entweder holosymmetrisch oder hemisymmetrisch nach allen Flächen eines seiner charakteristischen Flächencomplexe.

§. 2.

Erste Aufgabe. Man soll die Gleichung einer Fläche angeben, welche die Beziehung zwischen den Indices, den Axenlängen und denjenigen Winkeln ausdrückt, welche die Normale OP der Ebene HKL (s. Fig. 2) mit den Axen OX, OY und OZ bildet. Die Axen OX, OY und OZ sollen unter beliebigen Winkeln gegen einander geneigt sein.

Es sei OP die Normale (Träger) der Ebene HKL vom Punkte O aus. Verbinden wir den Durchstechungspunkt P der

Normale und der Ebene mit H. K. L durch gerade Linien, so erhalten wir die rechtwinkligen Dreiecke OPL, OPH und OPK.

Aus dem rechtwinkligen

Dreieck POH folgt

$$\cos POH = \cos POX = \frac{OP}{OH}.$$

Ebenso folgt

$$\cos POK = \cos POY = \frac{OP}{OK}$$

und

$$\cos POL = \cos POZ = \frac{OP}{OL}.$$

Schreiben wir statt POX, POY, POZ kürzer PX, PY, PZ, so folgt aus den letzten 3 Gleichungen

$$OP = OH \cos PX = OK \cos PY = OL \cos PZ.$$

Setzen wir hier für OH, OK und OL die Werthe aus den Gleichungen 1 des §. 1, so erhalten wir die gesuchte Gleichung der Fläche HKL in der folgenden Form:

$$2) \frac{a}{h} \cos PX = \frac{b}{k} \cos PY = \frac{c}{l} \cos PZ.$$

In dieser Gleichung sind a, b und c die Parameter der Grundebene, die sogenannten Axenlängen; h, k, l die Indices der Fläche HKL, und PX, PY und PZ die Winkel der Normale mit den Axen X, Y und Z. Die Indices können positiv und negativ sein. Ist z. B. h negativ, k und l positiv, so liegt die Fläche in dem hinteren, oberen, rechten Octanten.

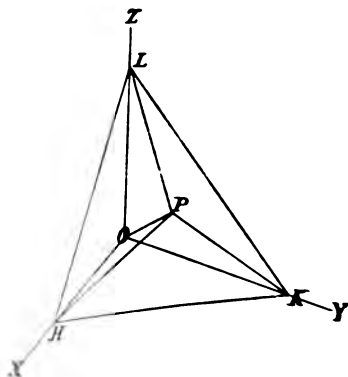
Wenn die Ebene HKL der Axe OX durch Drehung parallel wird, so ist h = 0 und PX = 90, mithin cos PX = 0.

Dann wird das erste Glied der Gl. 2 gleich $\frac{a \cdot 0}{0} = \frac{0}{0}$.

Die zwei anderen Glieder bleiben ungeändert. Der Ausdruck $\frac{0}{0}$ ist demnach gleich $\frac{b}{k} \cos PY = \frac{c}{l} \cos PZ = OP$ und die Gleichung der Fläche ist alsdann:

$$\frac{b}{k} \cos PY = \frac{c}{l} \cos PZ.$$

Fig. 2.



Dreht man die Ebene HKL so, dass sie der Axe X und Y zugleich parallel wird, so ist $h = k = 0$ und $\cos PX = \cos PY = 0$, mithin geht die Gl. 2 über in

$$\frac{0}{0} = \frac{0}{0} = \frac{c}{1} \cos PZ = OP.$$

Die Ausdrücke $\frac{0}{0}$ haben hier wieder denselben Werth wie vorher und die Gleichung der Fläche ist in diesem Falle

$$\frac{c}{1} \cos PZ = OP.$$

§. 3.

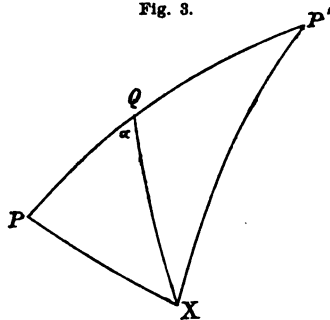
Erklärung. Drei oder mehr Flächen, die einer geraden Linie parallel sind, nennt man *tautozonale Flächen*. Man sagt auch von solchen Flächen, sie liegen in einer Zone. Die Linie, welcher die Flächen parallel sind, heisst *Zonenaxe*. Wie sich auch immer die Temperatur des Krystalls ändern mag, so bleiben doch stets, der Erfahrung gemäss, die tautozonalen Flächen tautozonal. Dieses Gesetz nennt man das *Gesetz der Erhaltung der Zonen*.

Denkt man sich vom Mittelpunkte einer Kugel Senkrechte auf 3 tautozonale Flächen errichtet und verlängert die Senkrechten, bis sie die Oberfläche der Kugel durchstechen, so liegen die Durchstechungspunkte, die sogenannten Pole der tautozonalen Flächen, auf einem grössten Kreise der Kugel.

Zweite Aufgabe. Drei Flächen seien tautozonal. Es soll die Beziehung gefunden werden, welche zwischen den Indices derselben besteht.

Wir denken uns um den Axenmittelpunkt mit beliebigem Radius eine Kugel beschrieben, ziehen von diesem Punkte aus die Normalen zu den tautozonalen Flächen und verlängern sie, bis sie die Oberfläche der Kugel in den Punkten P, Q, P' (s. Fig. 3) durchstechen. Diese 3 Punkte liegen auf einem grössten Kreise der Kugel. Verlängern wir die

Fig. 3.



X-Axe, bis sie die Oberfläche der Kugel im Punkte X (Fig. 3) durchsticht, und verbinden die Punkte P, Q und P' mit X durch Bögen grösster Kreise, so erhalten wir aus den 2 sphärischen Dreiecken PXQ und P'XQ die folgenden 2 Gleichungen:

$$\begin{aligned}\cos P X &= \cos P Q \cos Q X + \sin P Q \sin Q X \cos \alpha, \\ \cos P' X &= \cos P' Q \cos Q X - \sin P' Q \sin Q X \cos \alpha.\end{aligned}$$

Eliminirt man aus beiden Gleichungen $\cos \alpha$, indem man die erste Gleichung mit $\sin P' Q$, die zweite mit $\sin P Q$ multiplicirt und beide Gleichungen addirt, so erhält man

$$\begin{aligned}\sin P' Q \cos P X + \sin P Q \cos P' X &= \\ \cos Q X [\sin P' Q \cos P Q + \cos P' Q \sin P Q], \\ \text{a) } \sin P' Q \cos P X + \sin P Q \cos P' X &= \\ \cos Q X \sin (P' Q + P Q) &= \cos Q X \sin P P' .\end{aligned}$$

Denkt man sich die Y-Axe verlängert, bis sie die Oberfläche der Kugel im Punkte Y durchsticht, verbindet dann Y mit P, Q und P' durch Bögen grösster Kreise, so kann man in analoger Weise eine zweite Gleichung ableiten. Diese zweite Gleichung erhält man noch einfacher aus der Gl. a, indem man X mit Y vertauscht. Die Gleichung ist

b) $\sin P' Q \cos P Y + \sin P Q \cos P' Y = \cos Q Y \sin P P'$;
ebenso ergibt sich

$$\text{c) } \sin P' Q \cos P Z + \sin P Q \cos P' Z = \cos Q Z \sin P P' .$$

Bildet man aus den 3 Gleichungen a, b und c eine einzige, indem man jede der 3 Gleichungen durch $\sin P P'$ dividirt, aus den Gl. a und b die Quotienten $\frac{\sin P' Q}{\sin P P'}$ und $\frac{\sin P Q}{\sin P P'}$ ermittelt und ihre Werthe in die Gl. c einsetzt, so erhält man eine Gleichung, welche die Bedingung der Tautozonalität der 3 Flächen enthält.

Nach leichten Reductionen erhält man die Gleichung

$$\begin{aligned}\cos P Z [\cos P' X \cos Q Y - \cos Q X \cos P' Y] + \\ \cos P' Z [\cos Q X \cos P Y - \cos Q Y \cos P X] + \\ \cos Q Z [\cos P' Y \cos P X - \cos P Y \cos P' X] = 0.\end{aligned}$$

Daraus folgt

$$\begin{aligned}\text{d) } \cos Q X [\cos P Y \cos P' Z - \cos P' Y \cos P \\ \cos Q Y [\cos P' X \cos P Z - \cos P X \cos P' Z \\ \cos Q Z [\cos P' Y \cos P X - \cos P Y \cos P' X]\end{aligned}$$

Diese Gleichung drückt die Tautozonalität der 3 Flächen durch 9 Winkel aus. Aus ihr bilden wir noch 2 Gleichungen, von denen die eine die Tautozonalität der 3 Flächen durch 3 Winkel und 6 Indices, die andere durch 9 Indices (die Indices der 3 Flächen P, Q, P') ausdrückt.

Sind wie früher

a, b, c die Axenlängen,
h, k, l die Indices von P,
e, f, g die Indices von Q,
h', k', l' die Indices von P',

so sind die Gleichungen der Flächen P, Q, P':

$$\frac{a}{h} \cos PX = \frac{b}{k} \cos PY = \frac{c}{l} \cos PZ,$$

$$\frac{a}{e} \cos QX = \frac{b}{f} \cos QY = \frac{c}{g} \cos QZ \text{ und}$$

$$\frac{a}{h'} \cos P'X = \frac{b}{k'} \cos P'Y = \frac{c}{l'} \cos P'Z.$$

Bildet man aus der ersten und dritten dieser 3 Gleichungen die in Gl. d vorkommenden Producte und setzt die erhaltenen Werthe in die Gl. d, so ergibt sich die Gleichung

$$\cos QX (kl' - k'l) \cdot a + \cos QY (lh' - l'h) b + \cos QZ (k'h - kh') c = 0.$$

Setzt man zur Abkürzung

$$kl' - k'l = u,$$

$$lh' - l'h = v,$$

$$k'h - kh' = w,$$

so geht die letzte Gleichung über in

$$3) \quad u \cos QX + v \cos QY + w \cos QZ = 0.$$

Die Gr. u, v, w bildet man nach folgendem Schema

$$\begin{array}{r} \frac{l}{h} \times \frac{h}{h'} \times \frac{k}{k'} \\ \hline l, lh' \quad h k' - h' k \\ \quad \quad \quad w. \end{array}$$

3) Tautozonalität der 3 Flächen P, Q, P' und die Winkel QX,

QY und QZ der dritten Fläche aus. Aus ihr erhalten wir die Gleichung, welche die Tautozonalität der 3 Flächen durch die Indices der 3 Flächen ausdrückt, indem wir aus der Gleichung

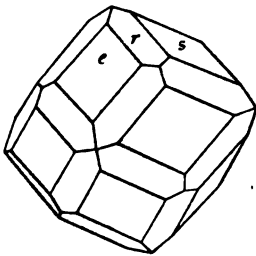
$$\frac{a}{e} \cos QX = \frac{b}{f} \cos QY = \frac{c}{g} \cos QZ$$

die Werthe $\cos QX = \frac{ec}{ag} \cos QZ$ und $\cos QY = \frac{fc}{bg} \cos QZ$ in die Gl. 3 substituieren. Dadurch erhalten wir die einfache Gleichung

$$4) eu + fv + gw = 0.$$

Die Gl. 4 nennen wir die Zonengleichung. Die hervorragende Wichtigkeit derselben wollen wir an einigen Beispielen erläutern.

Fig. 4.



Erstes Beispiel. Die Figur 4 repräsentirt die am Granat häufig vorkommende Combination $\infty 0 . m 0 m$. Es ist m zu ermitteln. Die 3 Flächen e, r und s sind tautozonal, denn sie sind der Combinationskante e : r parallel.

Die Indices der Fläche

$$\begin{aligned} \text{e sind:} & \quad 1 \quad 0 \quad 1, \\ \text{der Fläche s} & \quad , \quad : \quad 0 \quad 1 \quad 1, \\ \text{der Fläche r} & \quad , \quad : \quad \frac{1}{m} \quad \frac{1}{m} \quad 1 \end{aligned}$$

oder 1 1 m,

denn, da parallele Flächen als identische betrachtet werden, so darf man jeden der 3 Indices mit einer beliebigen Zahl multipliciren oder dividiren. In unserem Falle ist jeder der 3 Indices mit m multiplicirt worden.

Nun bilden wir zunächst aus den Indices von e und s die in der Zonengleichung vorkommenden Grössen u, v und w nach folgendem Schema:

$$\begin{array}{r} 1 \ 0 \ 1 \ 1 \ 0 \\ 0 \ 1 \ 1 \ 0 \ 1 \\ \hline \bar{1} \ \bar{1} \ 1 = 1 \ 1 \ \bar{1} \\ u \ v \ w \quad u \ v \ w. \end{array}$$

Der über 1 stehende Strich ist das Minuszeichen. Auch im folgenden schreiben wir das Minuszeichen über den Index, nicht vor ihn. Es ist daher stets $\bar{h} = -h$.

Setzt man diese Werthe für u , v und w in die Gl. 4 und setzt in derselben Gleichung für e , f , g die Indices 1, 1, m der Fläche e in Fig. 4, so erhält man:

$$1 + 1 - m = 0.$$

Aus dieser Gleichung folgt $m = 2$.

Die Combination Fig. 4 weist mithin die Flächen

$$\infty 0 . 202 \text{ auf.}$$

Zweites Beispiel. Eine Fläche liege in zwei Zonen zugleich, man soll ihre Indices finden.

Die 2 Zonen, in denen die Fläche liegt, wollen wir bezeichnen durch (uvw) und $(u'v'w')$. Es werden u , v , w aus den Indices zweier Flächen der ersten Zone und u' , v' , w' aus den Indices zweier Flächen der zweiten Zone nach dem bekannten Schema gebildet. — Die zu suchenden Indices der Fläche seien e , f , g . Weil diese Fläche in der Zone (uvw) liegt, muss nach Gl. 4

$$eu + fv + gw = 0 \text{ sein.}$$

Weil sie in der Zone $(u'v'w')$ liegt, muss

$$eu' + fv' + gw' = 0 \text{ sein.}$$

Dividirt man beide Gleichungen durch f und ermittelt dann

$\frac{e}{f}$ und $\frac{g}{f}$, so erhält man:

$$\frac{e}{f} = \frac{vw' - v'w}{wu' - w'u} \text{ und } \frac{g}{f} = \frac{uv' - u'v}{wu' - w'u}.$$

Da einer der 3 Indices willkürlich gewählt werden kann, weil es ja immer nur auf das Verhältniss der Indices ankommt, so können wir $f = wu' - w'u$ setzen und erhalten alsdann:

$$5) \begin{cases} e = vw' - v'w, \\ f = wu' - w'u, \\ g = uv' - u'v. \end{cases}$$

Die Werthe von e , f und g werden wieder nach folgendem Schema gebildet:

$$\frac{\begin{array}{ccc} u & v & w \\ u' & v' & w' \end{array} \times \quad \begin{array}{ccc} w & u & v \\ w' & u' & v' \end{array}}{\begin{array}{ccc} v w' & - & v' w, w u' \\ e & & f \end{array} \quad \begin{array}{ccc} w' u, u v' & - & u' v \\ & & g \end{array}}$$

Drittes Beispiel. Es soll bewiesen werden, dass die 3 Flächen $k e f'$ der Fig. 18 tautozonal sind.

Die Indices von k seien: $0, \bar{1}, 1$ } Man suche erst die Ableitungszahlen. Die reciproken Werthe
 " " " e seien: n, m, mn } derselben sind die Indices.
 " " " f' seien: n, mn, m

Zunächst bilden wir aus den Indices der Flächen k und e nach dem bekannten Schema: u, v und w

$$\begin{array}{ccc} 0 & \bar{1} & 1 \\ n, m, & \times & m n, \times \\ & & n, m \end{array}$$

$$- m n - m, \quad n, n.$$

Setzen wir diese Werthe für u, v, w in die Zonengleichung und statt e, f und g die Indices der Fläche f' , so erhalten wir

$$- m n^2 - m n + m n^2 + m n = 0.$$

Da die linke Seite gleich Null ist, so liegen die 3 Flächen k, e und f' in einer Zone.

Dritte Aufgabe. Man soll die Beziehung zwischen den Indices und Entfernungen von 4 tautozonalen Flächen angeben (s. Fig. 5).

Es seien die Indices von

$$P : h k l,$$

$$P' : h' k' l',$$

$$Q : e f g,$$

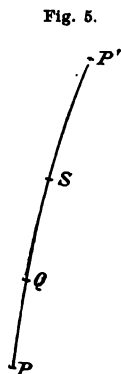
$$S : p q r.$$

Die Gleichungen a, b und c (Seite 6) drücken aus, dass die 3 Flächen P, Q, P' tautozonal sind.

Dividiren wir jede dieser 3 Gleichungen durch

$$\sin P' Q, \text{ eliminiren } \frac{\sin P' P}{\sin P' Q} \text{ und suchen } \frac{\sin P Q}{\sin P' Q},$$

so erhalten wir die 3 Gleichungen



$$\begin{aligned}
 \frac{\sin PQ}{\sin P'Q} &= \frac{\cos PY \cos QX - \cos PX \cos QY}{\cos P'X \cos QY - \cos P'Y \cos QX} \\
 &= \frac{\cos PX \cos QZ - \cos PZ \cos QX}{\cos P'Z \cos QX - \cos P'X \cos QZ} \\
 &= \frac{\cos PZ \cos QY - \cos PY \cos QZ}{\cos P'Y \cos QZ - \cos P'Z \cos QY}
 \end{aligned}$$

Drückt man die in vorstehenden Gleichungen vorkommenden Producte mittelst der folgenden bekannten Gleichungen aus:

$$\begin{aligned}
 \frac{a}{h} \cos PX &= \frac{b}{k} \cos PY = \frac{c}{l} \cos PZ, \\
 \frac{a}{h'} \cos P'X &= \frac{b}{k'} \cos P'Y = \frac{c}{l'} \cos P'Z, \\
 \frac{a}{e} \cos QX &= \frac{b}{f} \cos QY = \frac{c}{g} \cos QZ,
 \end{aligned}$$

so erhält man nach leichten Reductionen

$$e) \left\{ \begin{aligned} \frac{\sin PQ}{\sin P'Q} &= \frac{ke - fh}{fh' - ek'} \cdot \frac{h' \cos PX}{h \cos P'X}, \\ &= \frac{gh - le}{el' - gh'} \cdot \frac{h' \cos PX}{h \cos P'X}, \\ &= \frac{lf - kg}{k'g - fl'} \cdot \frac{h' \cos PX}{h \cos P'X}. \end{aligned} \right.$$

Vertauscht man in diesen Gleichungen Q mit S und setzt an Stelle der Indices von Q die von S, setzt mithin p statt e und q statt f und r statt g, so erhält man

$$\begin{aligned}
 \frac{\sin PS}{\sin P'S} &= \frac{kp - qh}{qh' - pk'} \cdot \frac{h' \cos PX}{h \cos P'X}, \\
 &= \frac{rh - lp}{pl' - rh'} \cdot \frac{h' \cos PX}{h \cos P'X}, \\
 &= \frac{lq - kr}{k'r - ql'} \cdot \frac{h' \cos PX}{h \cos P'X}.
 \end{aligned}$$

Die Gleichungen a, b und c, aus denen die vorstehenden Gleichungssysteme entstanden sind, wurden unter der Bedingung abgeleitet: $PQ < PP'$, folglich gelten auch sie und die aus ihnen abgeleiteten Gleichungen unter der Bedingung

$$\begin{aligned}
 PQ &< PP' \text{ und} \\
 PS &< PP'.
 \end{aligned}$$

Dividirt man die 2 letzten Gleichungssysteme durch einander, so erhält man die Beziehung zwischen den Indices und Entfernungen von 4 tautozonalen Flächen in folgender Form:

$$6) \left\{ \begin{aligned} \frac{\sin PQ \cdot \sin P'S}{\sin P'Q \cdot \sin PS} &= \frac{ke - fh}{fh' - ek'} \cdot \frac{qh' - pk'}{kp - qh}, \\ &= \frac{gh - le}{el' - gh'} \cdot \frac{pl' - rh'}{rh - lp}, \\ &= \frac{lf - kg}{k'g - fl'} \cdot \frac{k'r - ql'}{lq - kr}. \end{aligned} \right.$$

Der vorstehenden Gleichung kann man noch eine andere Gestalt geben. Es ist:

$$\frac{\sin PQ \cdot \sin P'S}{\sin PS \cdot \sin P'Q} = \frac{\sin PQ \cdot \sin (PP' - PS)}{\sin PS \cdot \sin (PP' - PQ)} = \rho,$$

wenn man $\rho = \frac{ke - fh}{fh' - ek'} \cdot \frac{qh' - pk'}{kp - qh} = \dots$ setzt.

Führen wir den Hilfswinkel φ ein und setzen:

$$7) \operatorname{tg} \varphi = \rho \frac{\sin (PP' - PQ)}{\sin PQ},$$

so folgt aus der letzten Gleichung

$$\frac{\sin (PP' - PS)}{\sin PS} = \operatorname{tg} \varphi.$$

Aus dieser Gleichung folgt

$$\begin{aligned} 1 + \operatorname{tg} \varphi &= 1 + \frac{\sin (PP' - PS)}{\sin PS} = \frac{2 \sin \frac{PP'}{2} \cos \left(PS - \frac{PP'}{2} \right)}{\sin PS}, \\ 1 - \operatorname{tg} \varphi &= 1 - \frac{\sin (PP' - PS)}{\sin PS} = \frac{2 \cos \frac{PP'}{2} \sin \left(PS - \frac{PP'}{2} \right)}{\sin PS}. \end{aligned}$$

Durch Division der beiden letzten Gleichungen ergibt sich

$$\frac{1 + \operatorname{tg} \varphi}{1 - \operatorname{tg} \varphi} = \operatorname{tg} \frac{PP'}{2} \operatorname{ctg} \left(PS - \frac{PP'}{2} \right) \text{ oder,}$$

da $\frac{1 + \operatorname{tg} \varphi}{1 - \operatorname{tg} \varphi} = \operatorname{tg} (45 + \varphi)$ und $\frac{1}{\operatorname{tg} (45 + \varphi)} = \operatorname{tg} (45 - \varphi)$ ist,

$$8) \operatorname{tg} \left(PS - \frac{PP'}{2} \right) = \operatorname{tg} \frac{PP'}{2} \operatorname{tg} (45 - \varphi).$$

Der Gl. 6 kann man noch eine dritte Gestalt geben. Es ist

$$\frac{\sin PQ}{\sin P'Q} = \frac{\sin PQ}{\sin (PP' - PQ)} = \frac{1}{\sin PP' [\text{ctg} PQ - \text{ctg} PP']},$$

$$\frac{\sin P'S}{\sin PS} = \frac{\sin (PP' - PS)}{\sin PS} = \frac{\sin PP' [\text{ctg} PS - \text{ctg} PP']}{1}.$$

Substituirt man diese Werthe in die Gl. 6, so erhält man sofort

$$9) \left\{ \begin{aligned} \frac{\text{ctg} PS - \text{ctg} PP'}{\text{ctg} PQ - \text{ctg} PP'} &= \frac{ke - fh}{fh' - ek'} \cdot \frac{qh' - pk'}{kp - qh}, \\ &= \frac{gh - le}{el' - gh'} \cdot \frac{pl' - rh'}{rh - lp}, \\ &= \frac{lf - kg}{k'g - fl'} \cdot \frac{k'r - ql'}{lq - kr}. \end{aligned} \right.$$

Diese Form der Gleichung ist desswegen sehr wichtig, weil in den Systemen mit rechtwinkligen Axen es meistens möglich ist, $PP' = 90$ zu setzen.

Vermöge der Gl. 9 kann man aus den Indices der 4 Flächen P, Q, S, P' und zweien Winkeln den dritten Winkel finden.

Vierte Aufgabe. Aus den Winkeln, welche 4 tautozonale Flächen mit einander bilden, und den Indices dreier dieser Flächen die Indices der vierten Fläche zu finden.

Gegeben (s. Fig. 5): PP' , PQ , PS , ferner hkl und $h'k'l'$ und efg .

Gesucht die Indices von S: p, q, r.

Aus den Gl. e (Seite 11) folgt:

$$\frac{ke - fh}{fh' - ek'} = \frac{gh - le}{el' - gh'} = \frac{lf - kg}{k'g - fl'}.$$

Die vorstehenden Quotienten bilden den ersten Faktor rechter Hand der Gl. 6 und 9. Beide Gl. 6 und 9 sind zur Lösung der Aufgabe 4 geeignet. Bringt man diesen Faktor in Gl. 9 auf die linke Seite, so erhalten wir:

$$\frac{qh' - pk'}{kp - qh} = \frac{pl' - rh'}{rh - lp} = \frac{k'r - ql'}{lq - kr} = \lambda,$$

wenn man abkürzungsweise setzt (s. Gl. 6 und 9):

$$10) \left\{ \begin{aligned} \lambda &= \frac{fh' - ek'}{ke - fh} \cdot \frac{\text{ctg}PS - \text{ctg}PP'}{\text{ctg}PQ - \text{ctg}PP'} = \frac{fh' - ek'}{ke - fh} \cdot \frac{\sin PQ \cdot \sin SP'}{\sin QP' \cdot \sin SP} \\ &= \frac{el' - gh'}{gh - el} \cdot \frac{\text{ctg}PS - \text{ctg}PP'}{\text{ctg}PQ - \text{ctg}PP'} = \frac{el' - gh'}{gh - el} \cdot \frac{\sin PQ \cdot \sin SP'}{\sin P'Q \cdot \sin SP} \\ &= \frac{k'g - fl'}{lf - kg} \cdot \frac{\text{ctg}PS - \text{ctg}PP'}{\text{ctg}PQ - \text{ctg}PP'} = \frac{k'g - fl'}{lf - kg} \cdot \frac{\sin PQ \cdot \sin SP'}{\sin P'Q \cdot \sin SP} \end{aligned} \right.$$

Aus der obigen Gleichung folgt, wenn man Zähler und Nenner eines jeden der 3 Brüche durch p dividirt und sodann $\frac{q}{p}$ und $\frac{r}{p}$ ermittelt,

$$\frac{q}{p} = \frac{k' + \lambda k}{h' + \lambda h} \quad \text{und} \quad \frac{r}{p} = \frac{l' + \lambda l}{h' + \lambda h}.$$

Da es immer nur auf das Verhältniss der Parameter und nicht auf den absoluten Werth derselben ankommt, so kann man einen der 3 Indices willkürlich annehmen. Setzen wir hier $p = h' + \lambda h$, so sind die 3 gesuchten Indices der Fläche

$$11) \left\{ \begin{aligned} p &= h' + \lambda h, \\ q &= k' + \lambda k, \\ r &= l' + \lambda l. \end{aligned} \right.$$

Der Werth von λ ist aus Gl. 10 zu entnehmen.

Die entwickelten Gleichungen gelten ganz allgemein; denn sie sind für ein schiefwinkliges Axensystem abgeleitet. Die Gl. 2 und 4 sind die wichtigsten, weil sie am häufigsten Anwendung finden. Sie genügen in der Regel allein zur Berechnung der einzelnen Formen und complicirter Combinationen.

Projection der Krystallflächenpole.

§. 4.

Die Abbildung der Krystalle und Combinationen zum Zwecke der Berechnung derselben geschieht nach der stereographischen Projection, die in ihren Grundzügen nun erläutert werden soll.

Um den Mittelpunkt des Krystalls denke man sich eine Kugel mit beliebigem Radius construirt, ziehe vom Mittelpunkte

aus Normale auf die Krystallflächen und verlängere sie, bis sie die Oberfläche der Kugel durchstechen. Diese Durchstechungspunkte, Pole genannt, sind nun auf eine Ebene zu projiciren. Da einer jeden Krystallfläche eine parallele Gegenfläche entspricht, so entspricht jedem einzelnen Pole ein zweiter Pol auf der anderen Hälfte der Kugel, der mit dem ersten und dem Mittelpunkte der Kugel in derselben geraden Linie liegt. Da parallele Flächen als identische betrachtet werden, so ist es nur nothwendig, die Pole einer Halbkugel auf eine Ebene zu projiciren. Denken wir uns den Krystall richtig gestellt, so dass die Hauptaxe oder Verticalaxe auch vertical steht, und legen durch den Mittelpunkt des Axensystems eine Ebene senkrecht zur Haupt- oder Verticalaxe, so schneidet diese die Oberfläche der Kugel in einem grössten Kreise g (Fig. 7), und dieser grösste Kreis, der von nun an Grundkreis genannt wird, wird zur Projectionsebene gewählt. Die Projection kann auf verschiedene Weise erfolgen.

Wir werden stets die Pole auf der oberen Hälfte der Halbkugel auf den Grundkreis in folgender Weise projiciren. Das Auge a (Fig. 7) denken wir uns in dem unteren Theil der Oberfläche der Kugel da, wo diese von der Haupt- oder Verticalaxe getroffen wird. Der Augpunkt ist somit der Pol des Grundkreises in der unteren Hälfte der Kugel. Verbinden wir jeden Pol der oberen Hälfte der Halbkugel mit diesem Augpunkte, so durchsticht die Verbindungslinie den Grundkreis in Punkten, welche die Projection der Pole auf den Grundkreis bilden. Die Construction dieser Punkte ist zur Berechnung nicht absolut nothwendig. Zur Berechnung genügt es, wenn sie ungefähr richtig in den Grundkreis eingetragen werden.

Da aber eine exacte Construction der Punkte auf dem Grundkreise ein anschauliches Bild der Vertheilung der Flächen gibt, die wichtigsten Zonen dem Auge vorführt, die Rechnung fördert und erleichtert und zugleich eine Controle für die Rechnung selbst bietet, so wird sie hier auseinandergesetzt und bei der Berechnung durchgeführt.

Zunächst ist zu untersuchen, welche Curve die Projection irgend eines Kreises der Halbkugel auf der Grundebene bildet.

Jeder grösste Kreis, der durch den Augpunkt a und folglich auch durch den oberen Pol des Grundkreises geht, schneidet den Grundkreis in zwei diametral gegenüberliegenden Punkten. Die Projection eines solchen Kreises ist mithin eine durch den Mittelpunkt des Grundkreises gehende gerade Linie.

Die Projection eines beliebigen Kreises bc (s. Fig. 7) auf den Grundkreis ist stets ein Kreis. Dieser wichtige Satz soll nun bewiesen werden.

Fig. 6.

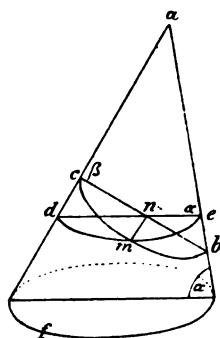
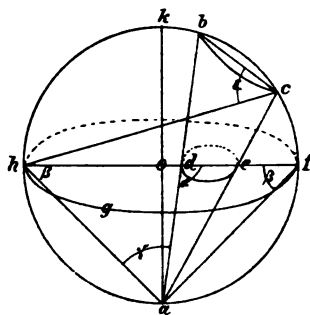


Fig. 7.



Denken wir uns einen schiefen Kegel (s. Fig. 6) mit kreisförmiger Basis f , so wird jeder Schnitt dme parallel der Basis wieder ein Kreis sein; jeder andere Schnitt durch den Kegel wird in der Regel eine Ellipse sein; in einem besonderen Falle, und das ist gerade der Fall, der für uns von Wichtigkeit ist, ist er ein Kreis. Führen wir durch den schiefen Kegel den Schnitt bc so, dass $\sphericalangle \alpha = \beta$ wird, so ist der Schnitt cmb ein Kreis. Wir nehmen an, die Ebene dae , in welcher die Axe des Kegels liegt, sei auf dem Grundkreise f und folglich auch auf dem parallelen Schnitt de senkrecht. Ziehen wir von dem beliebigen Punkte m der Curve cb eine Senkrechte mn auf den Durchmesser cb , so ist mn auch senkrecht auf dem Durchmesser de , denn dieser liegt in der Ebene dae , auf welcher mn senkrecht ist. Da dme ein Kreis ist, so folgt:

$$(mn)^2 = dn \cdot ne.$$

Weil $\alpha = \beta$ vorausgesetzt wird, ist $\triangle cnd \sim neb$, folglich ist $dn : cn = nb : ne$. Daraus folgt

$$dn \cdot ne = cn \cdot nb.$$

Setzen wir diesen Werth in obige Gleichung, so ist

$$(mn)^2 = cn \cdot nb.$$

Die letzte Gleichung ist aber nur möglich, wenn cmb ein Kreis ist.

In Fig. 7 sei bc ein beliebiger Kreis auf der Oberfläche der Kugel. Durch den Mittelpunkt dieses Kreises und den Augpunkt a legen wir den grössten Kreis $khaf$, welcher auf der Ebene des Kreises bc senkrecht sein muss. Legen wir durch den Mittelpunkt o der Kugel eine Ebene senkrecht zu ao , so schneidet diese die Oberfläche der Kugel in der Projectionsebene, dem sogenannten Grundkreise g . Verbinden wir den Augpunkt a mit jedem Punkte des Kreises bc , so durchstechen diese Linien den Grundkreis in Punkten, die die Curve de bilden. Kann bewiesen werden, dass $\sphericalangle \alpha = bca$ ist, so muss nach dem Vorhergehenden die Curve de ein Kreis sein. Der Durchmesser des Kreises bc sei die Linie bc . Man erkennt sogleich, dass die Punkte h, o, d, e, f in einer geraden Linie liegen. Erinnert man sich nun des Satzes, dass Peripheriewinkel auf demselben Bogen gleich sind, so ergibt sich

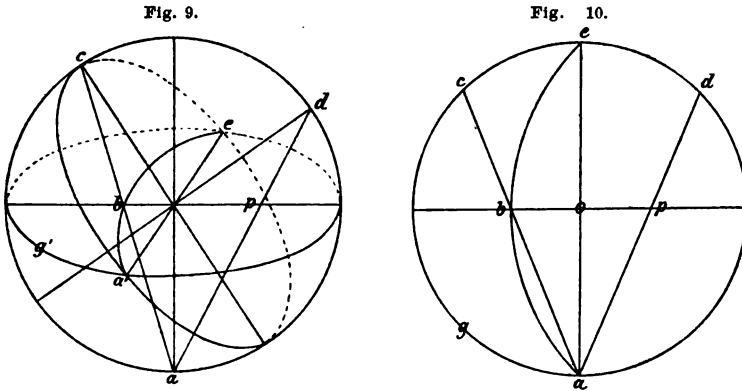
$$\alpha = \beta + \gamma = \beta + \varepsilon = hca + \varepsilon = bca.$$

Mithin ist die Projection de des beliebigen Kreises bc auf den Grundkreis g ein Kreis.

Ist der beliebige Kreis ein grösster Kreis, so schneidet er den Grundkreis in zwei entgegengesetzten Punkten, die mit dem Mittelpunkt o des Grundkreises in einer geraden Linie liegen. Ist einer dieser zwei Punkte gegeben, so erhält man den zweiten, indem man den ersten mit dem Mittelpunkte verbindet und die Verbindungslinie bis zum Schnitt mit dem Grundkreise verlängert. Der Schnittpunkt ist der zweite entgegengesetzte Punkt.

Ist irgend ein Punkt der Projection eines grössten Kreises gegeben, so muss man den entgegengesetzten, der mit ihm und dem Mittelpunkte des Grundkreises in einer geraden Linie liegt, construiren können.

Kreises ist in Fig. 9 $a'be$, in Fig. 10 abe . Der grösste Kreis selbst, dessen Projection in Fig. 9 $a'be$ ist, ist $a'ce$. Der Pol dieses Kreises ist in Fig. 9 der Punkt d . Verbindet man den Punkt d mit dem Augpunkt a (Fig. 9), so durchschneidet die



Verbindungsline die Linie bp in dem Punkte p , der die Projection des Punktes d auf den Grundkreis bildet. Klappt man adc (Fig. 9) um bp in die Ebene g' , so kommt a nach a' . Daher die Construction. abe in Fig. 10 ist die gegebene Projection. Ziehe ae und $bo \perp ae$, verbinde a mit b und verlängere bis c , mache $cod = 90^\circ$ oder $cad = 45^\circ$, verbinde d mit a , so ist p der gesuchte Pol.

Dritte Aufgabe. Aus der Projection $e'f'$ zweier Punkte (Fig. 11) eines grössten Kreises ihren Abstand auf der Kugeloberfläche anzugeben.

In Fig. 12 sei gb der Grundkreis und a der Pol (Augpunkt) desselben, ceb sei ein zweiter grösster Kreis der Kugeloberfläche, dessen Pol d sei. Verbinden wir d mit a und legen durch da eine beliebige Ebene $dega$, so schneidet diese den Grundkreis in g , den Kreis ceb in e , und es muss $be = bg$ sein; denn drehen wir die Ebene $aged$ um ad , bis sie durch b geht, so ist in den Dreiecken deb und abg , $de = ag$, $db = ab$ und $\angle edb = \angle bag$, folglich $be = bg$. Die Projection des Kreises $dega$ auf dem Grundkreis ist die gerade Linie gp , weil der Kreis durch a geht. Die Projection e' des Punktes e des Kreises ceb liegt mithin in der Linie gp . Nun

denke man sich auf dem Kreis bec (Fig. 12) noch einen zweiten Punkt f , drehe die Ebene age um ad , bis sie durch f geht, bezeichne die Projection von f auf dem Grundkreis mit f' , verlängere pf' , bis der Grundkreis in h geschnitten wird, so ist auch $bf = bh$, folglich auch $ef = gh$. Daher die Construction.

Fig. 11.

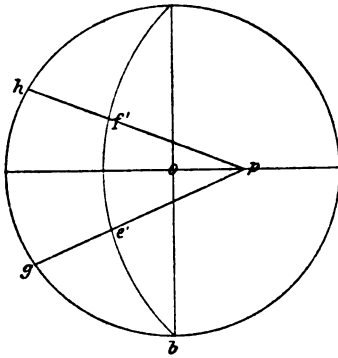
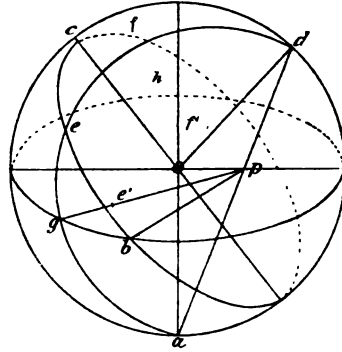


Fig. 12.



Die Projectionen (s. Fig. 11) der 2 Punkte des grössten Kreises seien e' und f' . Man construire den Kreis $be'f'$ und suche den Pol p desselben, ziehe pe' und pf' und verlängere, so ist hg der gesuchte Abstand der 2 Punkte auf der Oberfläche der Kugel und hog der Winkel, den sie bilden.

Vierte Aufgabe. Auf der Projection $be'f'$ eines grössten Kreises (Fig. 11) den Punkt f' anzugeben, der von dem Punkte e' desselben Kreises um den Winkel α auf der Kugeloberfläche entfernt ist.

Man suche die Projection des Poles p des Kreises $be'f'$ und ziehe pe' , verlängere bis g , mache $goh = \alpha$, verbinde h mit p , so ist f' der gesuchte Punkt.

Fünfte Aufgabe. Aus den Projectionen zweier grösster Kreise den Winkel zu finden, den die Ebenen dieser Kreise in Wirklichkeit mit einander machen.

Der gesuchte Winkel ist gleich dem Abstände der beiden Pole dieser 2 grössten Kreise. Man suche daher die Pole der 2 grössten Kreise und dann den Abstand derselben auf der Kugeloberfläche.

Anwendung der vorhergehenden Sätze.

Man soll $0, \infty 0, \infty 0 \infty$ und $m0$ projectiren.

In Fig. 13 ist die Lösung durch eine perspectivische Figur erläutert. In Fig. 14 ist die Lösung selbst. In Fig. 13 ist a der Augpunkt und g' der Grundkreis, $\angle beg = 45^\circ$. Der

Fig. 13.

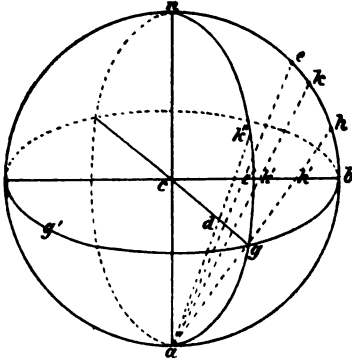
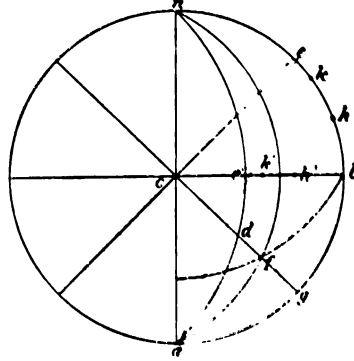


Fig. 14.



Vergleich beider Figuren zeigt, dass in Fig. 14 a , b und c die Projectionen von Würfelflächen, und g und e die Projectionen von Rhombendodekaëderflächen sind. Die Rhombendodekaëderfläche e' erhält man (Fig. 14), indem man e mit a verbindet. Die Verbindungslinie trifft die Linie cb in der Projection des gesuchten Poles e' der Rhombendodekaëderfläche.

Die Oktaëderfläche liegt in der Zone gc (Fig. 14, s. Gl. 4) und liegt auch in der Zone ae' (s. Gl. 4), mithin hat man einen Kreisbogen zu construiren, der durch die 3 Punkte a , e' , n geht. Wo dieser Bogen die Linie cg durchschneidet, da ist der gesuchte Punkt d der Projection einer Oktaëderfläche. Dann man die anderen Punkte, welche Oktaëderflächen repräsentiren, in analoger Weise erhält, bedarf kaum der Erwähnung. Auch auf folgende Weise kann man d erhalten. Die Normale cn (s. Fig. 13) auf die Würfelfläche und die Normale ck'' auf die Oktaëderfläche bilden einen Winkel von $54^\circ 44'$. Verbindet man a mit k'' , so durchschneidet diese Verbindungslinie die

Linie cg in dem gesuchten Punkte d . Man denke sich nun die Ebene nga um na gedreht, bis sie mit nba zusammenfällt, mache (s. Fig. 13 und 14) $nk = 54^{\circ}44'$, verbinde k mit a und mache $ck' = cd$, so ist d die gesuchte Projection. Auch durch Rechnung kann man cd leicht finden; denn da (s. Fig. 13)

$$\sphericalangle nak'' = nad = \frac{54^{\circ}44'}{2} = 27^{\circ}22' \text{ ist, so folgt, wenn wir}$$

den Radius $ca = 1$ setzen: $\operatorname{tg} 27^{\circ}22' = cd$.

Die Normale auf die Pyramidenoktaëderfläche f (s. Fig. 14) bilde mit der Normale auf die Würfelfläche den Winkel $70^{\circ}31'40''$. Mache nh (Fig. 14) $= 70^{\circ}31'40''$, verbinde h mit a und mache $ch' = cf$, so ist f die gesuchte Projection der Pyramidenoktaëderfläche. Es fragt sich nun, welche Indices hat die Fläche f ? Ihre Indices seien $h h 1$, folglich ist ihre Gleichung (nach Gl. 2), wenn man die Parameter a, b, c der Grundebene gleich 1, 1, 1 setzt:

$$\frac{\cos fa}{h} = \frac{\cos fb}{h} = \frac{\cos fc}{1},$$

woraus

$$h = \frac{\cos fb}{\cos fc}.$$

Nun ist in dem sphärischen Dreieck $fb c$ die Seite $fc = 70^{\circ}31'40''$, ferner $bc = 90$ und $fc b = 45$, folglich ergibt sich:

$$fb = 48^{\circ}11'.$$

Mithin

$$h = 2.$$

Mithin ist

$$f = 20.$$

Weitere Anwendungen siehe bei der Entwicklung complicirter Combinationen.

§. 5.

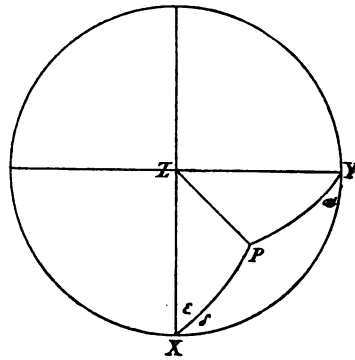
In dem Vorhergehenden wurde gezeigt, wie man aus der Projection zweier Punkte den Abstand derselben auf der Oberfläche der Kugel finden kann. Soll die Rechnung hinter der Construction nicht zurückbleiben, so muss noch gezeigt werden, wie man aus den Indices zweier Flächen den Abstand der Pole

auf der Oberfläche der Kugel berechnen kann. Die Formeln, die sich hierbei ergeben, können zur Berechnung der Krystalle, wie wir zeigen werden, gleichfalls dienen. Der Controle wegen sind sie daher schon höchst werthvoll; ausserdem führen sie manchmal schneller zum Ziel und liefern dem Analytiker interessante Gleichungen zur Umformung.

Während die vorhergehenden Untersuchungen für alle Axensysteme Geltung hatten, müssen wir nun die Entwicklung für rechtwinklige und schiefwinklige Axen getrennt vornehmen.

In Fig. 15 seien X, Y und Z die Projectionen der Endpunkte rechtwinkliger Axen auf den Grundkreis, und es sei P die Projection eines Poles irgend einer Fläche. Die Aufgabe, die Entfernung zweier Pole aus den Indices zu berechnen, kommt darauf zurück, die Entfernungen PX, PY und PZ zu finden. Die Indices des Punktes P seien h, k, l. Die Gleichung der Fläche P ist mithin (s. Gl. 2), wenn a, b und c die Axenlängen sind:

Fig. 15.



$$\alpha) \frac{a}{h} \cos PX = \frac{b}{k} \cos PY = \frac{c}{l} \cos PZ.$$

Aus den sphärischen Dreiecken XPY und XPZ folgt:

$$\beta) \cos PX = \sin PY \cos \alpha', \\ \cos PZ = \sin PY \sin \alpha'.$$

Durch Division der beiden Gleichungen folgt:

$$\frac{\cos PZ}{\cos PX} = \operatorname{tg} \alpha'.$$

Aus der ersten Gl. α ergibt sich

$$\frac{\cos PZ}{\cos PX} = \frac{al}{ch}.$$

Mithin

$$\operatorname{tg} \alpha' = \frac{al}{ch}.$$

Aus der Gl. α folgt:

$$\cos PX = \frac{bh}{ak} \cos PY.$$

Setzt man diesen Werth in Gl. β , so ergibt sich

$$\frac{bh}{ak} \cos PY = \sin PY \cos \alpha',$$

woraus

$$\begin{aligned} \operatorname{tg} PY &= \frac{bh}{ak} \frac{1}{\cos \alpha'} = \frac{bh}{ak} \sqrt{1 + \operatorname{tg}^2 \alpha'} \\ &= \frac{bh}{ak} \sqrt{1 + \frac{a^2 l^2}{c^2 h^2}} \quad \operatorname{tg} PY = \frac{b}{ak} \frac{\sqrt{a^2 l^2 + c^2 h^2}}{c}. \end{aligned}$$

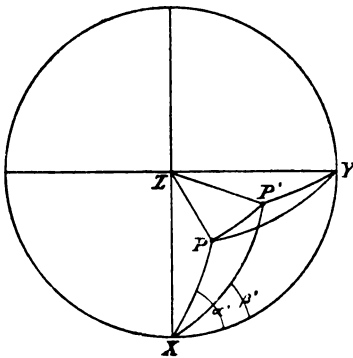
Daraus folgt auch leicht

$$\cos PY = \frac{(ac) k}{\sqrt{(ab)^2 l^2 + (ac)^2 k^2 + (bc)^2 h^2}}.$$

In analoger Weise oder auch durch Vertauschung der entsprechenden Indices erhält man hieraus

$$12) \left\{ \begin{aligned} \cos PX &= \frac{(bc) h}{\sqrt{(ab)^2 l^2 + (ac)^2 k^2 + (bc)^2 h^2}} \\ \cos PY &= \frac{(ac) k}{\sqrt{(ab)^2 l^2 + (ac)^2 k^2 + (bc)^2 h^2}} \\ \cos PZ &= \frac{(ab) l}{\sqrt{(ab)^2 l^2 + (ac)^2 k^2 + (bc)^2 h^2}}. \end{aligned} \right.$$

Fig. 16.



Aus diesen 3 Gleichungen folgt sofort der Satz:

$$13) \cos^2 PX + \cos^2 PY + \cos^2 PZ = 1.$$

Es seien nun in Fig. 16 P und P' die Projectionen der Pole zweier Krystallflächen auf den Grundkreis und es seien die Indices von P : h k l, von P' : h' k' l'.

Aus dem sphärischen Dreieck PP'X folgt

$$\cos PP' = \cos PX \cos P'X + \sin PX \sin P'X \cos (\alpha' - \beta')$$

oder

$$\gamma) \cos PP' = \cos PX \cos P'X + \sin PX \sin P'X \cdot [\cos \alpha' \cos \beta' + \sin \alpha' \sin \beta']$$

Die Werthe für $\cos PX$ und $\cos P'X$ ergeben sich aus den folgenden Gleichungen (s. Gl. 12):

$$\cos PX = \frac{(bc) h}{N}, \quad \cos P'X = \frac{(bc) h'}{N'}$$

worin

$$N = \sqrt{(ab)^2 l^2 + (ac)^2 k^2 + (bc)^2 h^2}$$

und

$$N' = \sqrt{(ab)^2 l'^2 + (ac)^2 k'^2 + (bc)^2 h'^2}$$

Die Werthe für $\cos \alpha'$ und $\cos \beta'$ ergeben sich aus den sphärischen Dreiecken PXY und $P'XY$.

$$\begin{aligned} \cos PY &= \sin PX \cos \alpha', \\ \cos P'Y &= \sin P'X \cos \beta', \end{aligned}$$

woraus

$$\cos \alpha' = \frac{\cos PY}{\sin PX} = \frac{\cos PY}{\sqrt{1 - \cos^2 PX}}$$

und

$$\sin \alpha' = \frac{\sqrt{1 - \cos^2 PX - \cos^2 PY}}{\sin PX},$$

$$\cos \beta' = \frac{\cos P'Y}{\sin P'X} = \frac{\cos P'Y}{\sqrt{1 - \cos^2 P'X}}$$

und

$$\sin \beta' = \frac{\sqrt{1 - \cos^2 P'X - \cos^2 P'Y}}{\sin P'X}.$$

Setzt man diese Werthe in Gl. γ , so ergibt sich

$$\begin{aligned} \cos PP' &= \frac{bch}{N} \cdot \frac{bch'}{N'} + \sin PX \sin P'X \cdot \left[\frac{\cos PY}{\sin PX} \frac{\cos P'Y}{\sin P'X} + \frac{\sqrt{1 - \cos^2 PX - \cos^2 PY}}{\sin PX} \frac{\sqrt{1 - \cos^2 P'X - \cos^2 P'Y}}{\sin P'X} \right], \\ \cos PP' &= \frac{(bc)^2 h h'}{N N'} + \frac{(ac)^2 k k'}{N N'} + \frac{(ab)^2 l l'}{N N'} \\ &= \frac{(bc)^2 h h' + (ac)^2 k k' + (ab)^2 l l'}{N N'}. \end{aligned}$$

daher

$$14) \cos PP' = \frac{(ab)^2 ll' + (ac)^2 kk' + (bc)^2 hh'}{\sqrt{(ab)^2 l'^2 + (ac)^2 k'^2 + (bc)^2 h'^2} \sqrt{(ab)^2 l^2 + (ac)^2 k^2 + (bc)^2 h^2}}.$$

Da rechtwinklige Axen vorausgesetzt und die Axenlängen oder Parameter der Grundebene gleich a, b, c gesetzt wurden, so gilt die Gl. 14 speciell für das rhombische System.

Setzen wir in Gl. 14: $a = b = 1$, so erhalten wir die für das tetragonale System geltende Gleichung

$$15) \cos PP' = \frac{ll' + c^2 (kk' + hh')}{\sqrt{l^2 + c^2 (k^2 + h^2)} \sqrt{l'^2 + c^2 (k'^2 + h'^2)}}.$$

Setzen wir in dieser Gleichung auch noch $c = 1$, so erhalten wir die für das reguläre System geltende Gleichung

$$16) \cos PP' = \frac{hh' + kk' + ll'}{\sqrt{h^2 + k^2 + l^2} \sqrt{h'^2 + k'^2 + l'^2}}.$$

Setzen wir in Gl. 14: $a = 1$ und $b = \sqrt{3}$, so erhalten wir die für das hexagonale System geltende Gleichung¹⁾

$$17) \cos PP' = \frac{3 ll' + c^2 kk' + 3 c^2 hh'}{\sqrt{3 l^2 + c^2 k^2 + 3 c^2 h^2} \sqrt{3 l'^2 + c^2 k'^2 + 3 c^2 h'^2}}.$$

In ganz analoger Weise leiten wir aus den Figuren 15 und 16 die entsprechenden Formeln für das triklone System ab.

Da die 3 Axen mit einander Winkel bilden, die von einem Rechten verschieden sind, so setzen wir (s. Fig. 15):

$$XY = \gamma, XZ = \beta \text{ und } YZ = \alpha.$$

Aus dem sphärischen Dreieck ZYX folgt

$$\cos \alpha = \cos \beta \cos \gamma + \sin \beta \sin \gamma [\cos \delta \cos \varepsilon - \sin \delta \sin \varepsilon].$$

Aus den sphärischen Dreiecken PYX und PXZ folgt

$$\cos \delta = \frac{\cos PY - \cos PX \cos \gamma}{\sin PX \sin \gamma}, \quad \cos \varepsilon = \frac{\cos PZ - \cos PX \cos \beta}{\sin PX \sin \beta},$$

und aus diesen Gleichungen folgt

$$\sin \delta = \frac{\sqrt{\sin^2 PX \sin^2 \gamma - (\cos PY - \cos PX \cos \gamma)^2}}{\sin PX \sin \gamma},$$

¹⁾ Die Formen des hexagonalen Systems (siehe dieses) werden berechnet, indem wir sie auf 3 rechtwinklige Axen beziehen, deren eine die Grösse 1, die andere die Grösse $\sqrt{3}$ und die Hauptaxe die Grösse c hat.

$$\sin \epsilon = \frac{\sqrt{\sin^2 PX \sin^2 \beta - (\cos PZ - \cos PX \cos \beta)^2}}{\sin PX \sin \beta}.$$

Setzt man diese Werthe in die erste Gleichung ein, so erhält man nach einigen Reductionen

$$\begin{aligned} & 1 + 2 \cos \alpha \cos \beta \cos \gamma - \cos^2 \alpha - \cos^2 \beta - \cos^2 \gamma \\ &= \sin^2 \alpha \cos^2 PX + \sin^2 \beta \cos^2 PY + \sin^2 \gamma \cos^2 PZ \\ &- 2 [(\cos \alpha - \cos \beta \cos \gamma) \cos PY \cos PZ + (\cos \beta - \cos \alpha \cos \gamma) \\ &\cos PX \cos PZ + (\cos \gamma - \cos \alpha \cos \beta) \cos PX \cos PY]. \end{aligned}$$

Sind die Indices der Fläche P: h k l, so ist die Gleichung der Fläche:

$$\frac{a}{h} \cos PX = \frac{b}{k} \cos PY = \frac{c}{l} \cos PZ.$$

Eliminirt man aus dieser und der vorhergehenden Gleichung $\cos PY$ und $\cos PZ$, so erhält man die Gleichung

$$\left. \begin{aligned} \cos PX &= \frac{h b c \sqrt{1 + 2 \cos \alpha \cos \beta \cos \gamma - \cos^2 \alpha - \cos^2 \beta - \cos^2 \gamma}}{\sqrt{N}} \\ \text{Ebenso findet man:} \\ \cos PY &= \frac{k a c \sqrt{1 + 2 \cos \alpha \cos \beta \cos \gamma - \cos^2 \alpha - \cos^2 \beta - \cos^2 \gamma}}{\sqrt{N}}, \\ 18) \cos PZ &= \frac{l a b \sqrt{1 + 2 \cos \alpha \cos \beta \cos \gamma - \cos^2 \alpha - \cos^2 \beta - \cos^2 \gamma}}{\sqrt{N}}, \end{aligned} \right\}$$

worin

$$\begin{aligned} N &= h^2 b^2 c^2 \sin^2 \alpha + a^2 c^2 k^2 \sin^2 \beta + a^2 b^2 l^2 \sin^2 \gamma \\ &\quad - 2 a b c [a k l A' + b h l B' + c h k C'] \\ A' &= \cos \alpha - \cos \beta \cos \gamma, \quad B' = \cos \beta - \cos \alpha \cos \gamma \\ C' &= \cos \gamma - \cos \alpha \cos \beta. \end{aligned}$$

Aus dem sphärischen Dreieck PXP' (s. Fig. 16) folgt

$$\begin{aligned} \cos PP' &= \cos PX \cos P'X + \\ \sin PX \sin P'X &[\cos \alpha' \cos \beta' + \sin \alpha' \sin \beta']. \end{aligned}$$

Aus den sphärischen Dreiecken XPY und $XP'Y$ folgt

$$\begin{aligned} \cos \alpha' &= \frac{\cos PY - \cos PX \cos \gamma}{\sin PX \sin \gamma}, \\ \cos \beta' &= \frac{\cos P'Y - \cos P'X \cos \gamma}{\sin P'X \sin \gamma}, \end{aligned}$$

und daraus

$$\sin \alpha' = \frac{\sqrt{\sin^2 PX \sin^2 \gamma - (\cos PY - \cos PX \cos \gamma)^2}}{\sin PX \sin \gamma},$$

$$\sin \beta' = \frac{\sqrt{\sin^2 P'X \sin^2 \gamma - (\cos P'Y - \cos P'X \cos \gamma)^2}}{\sin P'X \sin \gamma}.$$

Setzt man diese Werthe in die erste Gleichung ein, so erhält man nach mehreren Reductionen

$$\begin{aligned} & (1 - \cos^2 \gamma) \cos^2 PP' - 2 \cos PP' [\cos PY \cos P'Y \\ & + \cos PX \cos P'X - (\cos PY \cos P'X + \cos P'Y \cos PX) \cos \gamma] \\ & + \cos^2 PX + \cos^2 PY + \cos^2 P'X + \cos^2 P'Y \\ & - \cos^2 PY \cos^2 P'X - \cos^2 P'Y \cos^2 PX \\ & - 2 \cos \gamma (\cos PX \cos PY + \cos P'X \cos P'Y) + \\ & 2 \cos PX \cos P'X \cos PY \cos P'Y - 1 + \cos^2 \gamma = 0. \end{aligned}$$

Aus dieser Gleichung kann man $\cos PP'$ ermitteln. Bequemer ist es, eine analoge Gleichung zu bilden, indem man X mit Z und γ mit α vertauscht. Man erhält alsdann

$$\begin{aligned} & (1 - \cos^2 \alpha) \cos^2 PP' - 2 \cos PP' [\cos PY \cos P'Y \\ & + \cos PZ \cos P'Z - (\cos PY \cos P'Z + \cos P'Y \cos PZ) \cos \alpha] \\ & + \cos^2 PZ + \cos^2 PY + \cos^2 P'Z + \cos^2 P'Y \\ & - \cos^2 PY \cos^2 P'Z - \cos^2 P'Y \cos^2 PZ \\ & - 2 \cos \alpha (\cos PZ \cos PY + \cos P'Z \cos P'Y) + \\ & 2 \cos PZ \cos P'Z \cos PY \cos P'Y - 1 + \cos^2 \alpha = 0. \end{aligned}$$

Eliminirt man aus beiden Gleichungen $\cos^2 PP'$, so erhält man leicht $\cos PP'$. Sind die Indices der Fläche $P : hkl$, die der Fläche P' gleich $h'k'l'$, so hat man noch aus den beiden Gleichungen

$$\frac{a}{h} \cos PX = \frac{b}{k} \cos PY = \frac{c}{l} \cos PZ$$

$$\frac{a}{h'} \cos P'X = \frac{b}{k'} \cos P'Y = \frac{c}{l'} \cos P'Z$$

$\cos PY$, $\cos P'Y$, $\cos PZ$ und $\cos P'Z$ zu suchen und die gefundenen Werthe in die Gleichung für $\cos PP'$ zu setzen.

Nach mehreren Reductionen erhält man die Gleichung

$$\cos PP' = \frac{H}{\sqrt{N} \sqrt{N_1}}.$$

In dieser Gleichung ist

$$\begin{aligned} H &= \frac{hh'}{a^2} \sin^2 \alpha + \frac{kk'}{b^2} \sin^2 \beta + \frac{ll'}{c^2} \sin^2 \gamma \\ &- \frac{kl' + k'l}{bc} A' - \frac{hl' + h'l}{ac} B' - \frac{kh' + k'h}{ab} C' \\ N &= \frac{h^2}{a^2} \sin^2 \alpha + \frac{k^2}{b^2} \sin^2 \beta + \frac{l^2}{c^2} \sin^2 \gamma \\ &- 2 \left[\frac{kl}{bc} A' + \frac{hl}{ac} B' + \frac{kh}{ab} C' \right] \\ N_1 &= \frac{h'^2}{a^2} \sin^2 \alpha + \frac{k'^2}{b^2} \sin^2 \beta + \frac{l'^2}{c^2} \sin^2 \gamma \\ &- 2 \left[\frac{k'l'}{bc} A' + \frac{h'l'}{ac} B' + \frac{k'h'}{ab} C' \right] \end{aligned}$$

Es sind hkl die Indices von P und $h'k'l'$ die Indices von P' .

$$\begin{aligned} A' &= \cos \alpha - \cos \beta \cos \gamma, & YZ &= \alpha, \\ B' &= \cos \beta - \cos \alpha \cos \gamma, & XZ &= \beta, \\ C' &= \cos \gamma - \cos \alpha \cos \beta. & XY &= \gamma. \end{aligned}$$

Setzt man in diesen Gleichungen $\alpha = \beta = \gamma = 90$, so erhält man die Gl. 14.

Um die für das monosymmetrische System geltenden Gleichungen zu erhalten, setzen wir in den Gl. 18 und 19: $\alpha = \gamma = 90$. Wir erhalten

$$\begin{aligned} \cos PX &= \frac{hbc \sin \beta}{\sqrt{N}}, \\ \cos PY &= \frac{kac \sin \beta}{\sqrt{N}}, \\ \cos PZ &= \frac{lab \sin \beta}{\sqrt{N}}. \\ N &= b^2 c^2 h^2 + a^2 c^2 k^2 \sin^2 \beta + a^2 b^2 l^2 - 2ab^2chl \cos \beta. \end{aligned}$$

$$\begin{aligned}
 & \cos PP' = \frac{H}{\sqrt{N} \sqrt{N_1}} \\
 & \text{Hier ist} \\
 21) \left\{ \begin{aligned} H &= \frac{h h'}{a^2} + \frac{k k' \sin^2 \beta}{b^2} + \frac{l l'}{c^2} - \frac{h l' + h' l}{a c} \cos \beta, \\ N &= \frac{h^2}{a^2} + \frac{k^2}{b^2} \sin^2 \beta + \frac{l^2}{c^2} - \frac{2 h l \cos \beta}{a c} \\ N_1 &= \frac{h'^2}{a^2} + \frac{k'^2}{b^2} \sin^2 \beta + \frac{l'^2}{c^2} - \frac{2 h' l \cos \beta}{a c}, \\ & \beta = XZ. \end{aligned} \right.
 \end{aligned}$$

Berechnung der regulären Krystalle.

§. 6.

Berechnung der Hexakisoktaëder mOn (hkl).

Die Hexakisoktaëder weisen 3 von einander verschiedene Kantenwinkel (Winkel je zweier Flächen) auf, die den 3 ungleichlangen Kanten entsprechen.

Den Kantenwinkel der längsten Kante nennen wir A
 " " " mittleren " " " B
 " " " kürzesten " " " C

Aus je 2 Kantenwinkeln kann ein Hexakisoktaëder berechnet werden. Es sind mithin 3 Aufgaben zu lösen. Gegeben: A und B oder B und C oder A und C, gesucht die Indices hkl .

a) Gegeben A und B, gesucht die Indices der Fläche d (s. Fig. 17a).

Zunächst bestimme man allgemein die Ableitungszahlen der Flächen d, e, f in Bezug auf die Axen XYZ und beobachte

streng die Reihenfolge XYZ (nicht YXZ oder ZXY) (vergl. die Fig. 17 und 17a).

Die Ableitungszahlen (Parameter)

der Fläche d sind n, m, 1, folglich die Indices $\frac{1}{n}, \frac{1}{m}, 1$,

" " e " m, n, 1, " " " $\frac{1}{m}, \frac{1}{n}, 1$,

" " f " n, \bar{m} , 1, " " " $\frac{1}{n}, \frac{1}{\bar{m}}, 1$.

Die Gleichung der Fläche d ist (s. Gl. 2, S. 4), wenn $a = b = c = 1$ gesetzt wird

$$n \cos dx = m \cos dy = \cos dz.$$

Daraus

$$n = \frac{\cos dz}{\cos dx} \text{ und } m = \frac{\cos dz}{\cos dy}.$$

Fig. 17.

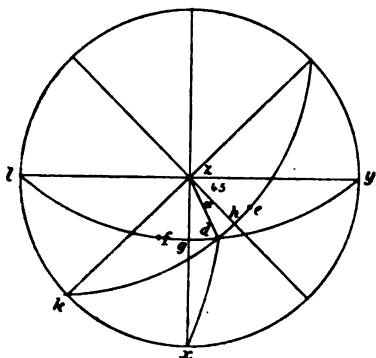
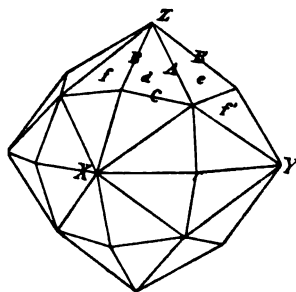


Fig. 17a.



Zunächst ist $\cos dx$, $\cos dy$ und $\cos dz$ zu ermitteln. In Fig. 17 ist der Winkel der beiden Normalen auf d und f gleich $df = 180 - B$, folglich $dg = 90 - \frac{B}{2}$.

Ebenso ist in Fig. 17: $de = 180 - A$, mithin $dh = 90 - \frac{A}{2}$.

In Fig. 17 sei k die Projection der Rhombendodekaederfläche, deren Indices $1\bar{1}0$ sind, $zh \perp zk$.

$$lk = kx = 45; dk = kh - dh = 90 - dh = \frac{A}{2}$$

$$\text{und } ld = lg + gd = 90 + gd = 180 - \frac{B}{2}.$$

Aus dem sphärischen Dreieck dlk folgt

$$\cos kd = \cos kl \cos ld + \sin kl \sin ld \cos kld.$$

Weil in dem sphärischen Dreieck lgx die Seite lg = lx = 90 ist, muss glx = kld = gx sein.

Aus der letzten Gleichung folgt mithin

$$\cos gx = \frac{\cos \frac{1}{2} A}{\sin 45 \sin \frac{1}{2} B} + \operatorname{ctg} \frac{1}{2} B.$$

Aus dem rechtwinkligen sphärischen Dreieck zgd folgt

$$\cos dz = \cos zg \sin \frac{1}{2} B.$$

Aus dem rechtwinkligen sphärischen Dreieck dgx folgt

$$\cos dx = \cos gx \sin \frac{1}{2} B.$$

Aus beiden Gleichungen folgt

$$\frac{\cos dz}{\cos dx} = \frac{\cos zg \sin \frac{1}{2} B}{\cos gx \sin \frac{1}{2} B} = \frac{\sin gx}{\cos gx} = \operatorname{tg} gx.$$

Mithin

$$n = \frac{\cos dz}{\cos dx} = \operatorname{tg} gx.$$

Da dy = 90 - dg = $\frac{B}{2}$ ist, so folgt $\cos dy = \cos \frac{1}{2} B$.

Da m = $\frac{\cos dz}{\cos dy}$ ist, so folgt

$$m = \frac{\cos zg \sin \frac{1}{2} B}{\cos \frac{1}{2} B} = \sin gx \operatorname{tg} \frac{1}{2} B.$$

Um daher m und n zu finden, hat man folgende Gleichungen zu berechnen:

$$1) \begin{cases} \cos gx = \operatorname{ctg} \frac{1}{2} B + \frac{\cos \frac{1}{2} A}{\sin \frac{1}{2} B \cdot \sin 45}, \\ n = \operatorname{tg} gx, & m = \sin gx \operatorname{tg} \frac{1}{2} B. \end{cases}$$

Beispiel. Es sei $\frac{A}{2} = 76^{\circ} 10'$ und $\frac{B}{2} = 80^{\circ} 16'$.

$$\begin{array}{rcl}
 \lg \cos \frac{1}{2} A & = & 9,3786 \\
 E \lg \sin \frac{1}{2} B & = & 0,0063 \\
 E \lg \sin 45 & = & 0,1505 \\
 \hline
 & & 9,5354 \\
 \cos \frac{1}{2} A & & \\
 \sin \frac{1}{2} B \sin 45 & = & 0,3431 \\
 \text{ctg } \frac{1}{2} B & = & 0,1715 \\
 \hline
 \cos gx & = & 0,5146 \\
 gx & = & 59^{\circ} 2' \\
 n = \text{tg } gx & = & 1,663 \dots = \frac{5}{3}
 \end{array}$$

Die Indices der Fläche d sind mithin $\frac{3}{5} \frac{1}{5} 1$ oder $3 \ 1 \ 5$.
Die Formel des Hexakisoktaeders ist $sO\frac{5}{3}$.

b) Gegeben B und C, gesucht die Indices der Fläche e.

In der Fig. 18 seien d, e und f' die Projectionen dreier Hexakisoktaederflächen (vergl. auch Fig. 17a).

Die Indices der 2 Flächen d und e sind wie vorher $\frac{1}{n} \frac{1}{m} 1$ und $\frac{1}{m} \frac{1}{n} 1$.

Die Ableitungszahlen der Fläche f' sind m 1 n, mithin die Indices $\frac{1}{m} 1 \frac{1}{n}$.

Die Gleichung der Fläche e ist

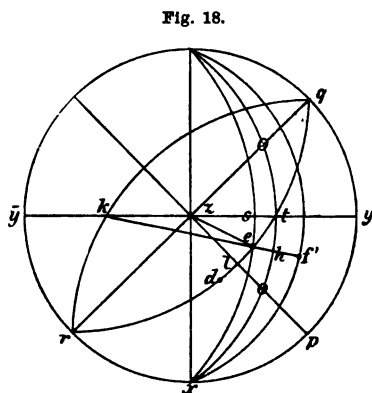
$$m \cos ex = n \cos ey = \cos ez$$

Daraus folgt

$$m = \frac{\cos ez}{\cos ex} \text{ und } n = \frac{\cos ez}{\cos ey}$$

Es seien k, r, t und p die Projectionen von 4 Rhombendodekaederflächen. Vermöge der Zonengleichung kann man beweisen, dass die Flächen k, e und f' in einer Zone liegen (s. S. 10).

Der Punkt k ist von jedem Punkt des Zonenkreises xto um 90° entfernt.



Es ist (vergl. auch Fig. 17a) $es = 90 - \frac{B}{2}$; $ef = 180 - C$; mithin $eh = 90 - \frac{C}{2}$

Aus dem rechtwinkligen sphärischen Dreieck ehx , in welchem $ex = 90 - es = \frac{B}{2}$ ist, folgt

$$\cos \frac{1}{2} C = \sin \frac{1}{2} B \sin st$$

$$\sin st = \frac{\cos \frac{1}{2} C}{\sin \frac{1}{2} B}$$

Da $sz = 45 - st$ ist, so folgt aus dem rechtwinkligen sphärischen Dreieck ezs

$$\cos ez = \sin \frac{1}{2} B \cos sz = \sin \frac{1}{2} B \cos (45 - st)$$

$$\cos ezs = \operatorname{ctg} ez \operatorname{tg} sz$$

Aus dem sphärischen Dreieck ezy folgt
 $\cos ey = \sin ez \cos ezs = \sin ez \operatorname{ctg} ez \operatorname{tg} sz = \cos ez \operatorname{tg} sz$
 oder

$$\cos ey = \sin \frac{1}{2} B \sin sz = \sin \frac{1}{2} B \sin (45 - st)$$

Um daher m und n zu finden, hat man der Reihe nach die folgenden Gleichungen zu berechnen:

$$2) \left\{ \begin{array}{l} \sin st = \frac{\cos \frac{1}{2} C}{\sin \frac{1}{2} B} \quad m = \operatorname{tg} \frac{1}{2} B \cos (45 - st) \\ n = \operatorname{ctg} sz = \operatorname{ctg} (45 - st) \end{array} \right.$$

Beispiel. Gegeben: $\frac{B}{2} = 83^{\circ} 5' 9''$ $\frac{C}{2} = 59^{\circ} 17' 10''$

$$\begin{aligned} \lg \cos \frac{1}{2} C &= 9,7082 \\ E \lg \sin \frac{1}{2} B &= 0,0032 \\ \lg \sin st &= 9,7114 \\ st &= 30^{\circ} 57' 55'' \\ sz &= 45 - st = 14^{\circ} 2' 5'' \\ \lg n = \lg \operatorname{ctg} (45 - st) &= 0,60215 \\ n &= 4 \\ \lg \operatorname{tg} \frac{1}{2} B &= 0,9161 \\ \lg \cos (45 - st) &= 9,9868 \\ \lg m &= 0,9029 \\ m &= 8 \end{aligned}$$

Die Indices der Fläche e sind mithin $\frac{1}{8} \frac{1}{4} 1$ oder 1 2 8.

Die Formel des Hexakisoktaëders ist $8O_4$.

c) Gegeben A und C, gesucht die Indices der Fläche e.

In der Fig. 18 sind, wie schon erwähnt, t, k, r und p die Projectionen von 4 Rhombendodekaëderflächen.

$$de = 180 - A, \text{ mithin } le = 90 - \frac{A}{2}$$

$$ef = 180 - C, \text{ mithin } eh = 90 - \frac{C}{2} \text{ und}$$

$$er = 90 + el = 180 - \frac{A}{2}$$

$$ek = 90 - eh = \frac{C}{2}$$

Die Indices der Fläche e sind $\frac{1}{m} \frac{1}{n} 1$. Die Gleichung der Fläche e ist mithin

$$m \cos ex = n \cos ey = \cos ez$$

Daraus

$$m = \frac{\cos ez}{\cos ex} \text{ und } n = \frac{\cos ez}{\cos ey}$$

Aus dem rechtwinkligen sphärischen Dreieck $kr\bar{y}$ folgt

$$\cos rk = \cos^2 45 = \frac{1}{2}, \text{ mithin } \sin rk = \frac{\sqrt{3}}{2}$$

Aus dem sphärischen Dreieck rek folgt

$$\cos ek = \cos kr \cos re + \sin kr \sin re \cos kre$$

Daraus

$$\cos kre = \frac{2 \cos \frac{1}{2} C + \cos \frac{1}{2} A}{\sqrt{3} \sin \frac{1}{2} A}$$

Aus dem sphärischen Dreieck krz , in welchem $rz = 90$ ist, folgt

$$\cos kz = \sin kr \cos krz$$

Daraus

$$\cos krz = \frac{\cos kz}{\sin kr} = \frac{2 \cos 45}{\sqrt{3}}$$

$$krz = 35^\circ 15' 52''$$

Nun ist $lz = zrl = kre = 35^\circ 15' 52''$

Aus dem rechtwinkligen sphärischen Dreieck ezl folgt

$$\cos ez = \cos el \cos zl = \cos lz \sin \frac{1}{2} A \text{ und}$$

$$\operatorname{ctg} lze = \sin lz \operatorname{tg} \frac{1}{2} A$$

Aus den sphärischen Dreiecken exz und ezy folgt

$$\cos ex = \sin ez \cos (45 + lze)$$

$$\cos ey = \sin ez \cos (45 - lze) = \sin ez \sin (45 + lze)$$

Setzt man die gefundenen Werthe in die erste Gleichung ein, so hat man, um m und n zu finden, der Reihe nach folgende Gleichungen zu lösen:

$$3) \left\{ \begin{array}{l} \cos kre = \frac{2 \cos \frac{1}{2} C + \cos \frac{1}{2} A}{\sqrt{3} \sin \frac{1}{2} A} \\ lz = kre - 35^{\circ} 15' 52'' \\ \cos ez = \cos lz \sin \frac{1}{2} A \quad \operatorname{ctg} lze = \sin lz \operatorname{tg} \frac{1}{2} A \\ m = \frac{\operatorname{ctg} ez}{\cos (45 + lze)} \quad n = \frac{\operatorname{ctg} ez}{\sin (45 + lze)} \end{array} \right.$$

Beispiel. Es sei $\frac{A}{2} = \frac{C}{2} = 82^{\circ} 27'$

$$\begin{array}{ll} \cos \frac{A}{2} = 0,13139 & \lg \cos lz = 9,87470 \\ 2 \cos \frac{1}{2} C = 0,26278 & \lg \sin \frac{A}{2} = 9,99622 \\ \cos \frac{A}{2} + 2 \cos \frac{1}{2} C = 0,39417 & \lg \cos ez = 9,87092 \\ & ez = 42^{\circ} 1' 20'' \\ \lg 0,39417 = 9,59568 & \\ E \frac{1}{2} \lg 3 = 9,76144 & \lg \sin lz = 9,82095 \\ E \lg \sin \frac{1}{2} A = 0,00378 & \lg \operatorname{tg} \frac{1}{2} A = 0,87765 \\ \lg \cos kre = 9,36090 & \lg \operatorname{ctg} lze = 0,69860 \\ kre = 76^{\circ} 43' 42'' & lze = 11^{\circ} 19' 10'' \\ lz = 41^{\circ} 27' 50'' & \end{array}$$

$$m = 2$$

$$\lg m = 0,30127$$

$$E \lg \cos (45 + lze) = 0,25605$$

$$\lg \operatorname{ctg} ez = 0,04522$$

$$E \lg \sin (45 + lze) = 0,07979$$

$$= 0,12501$$

$$n = 1,333 \dots = \frac{4}{3}$$

Die Indices der Fläche e sind mithin $\frac{1}{2} \frac{3}{4} 1$ oder 2 3 4.
Die Formel des Hexakisoktaeders ist $20\frac{4}{3}$.

Berechnung der Ikositetraeder.

Ein Ikositetraeder kann sowohl aus dem Winkel B (s. Fig. 19a), als aus dem Winkel C berechnet werden. In Fig. 19 seien f, d und g die stereographischen Projectionen

Fig. 19.

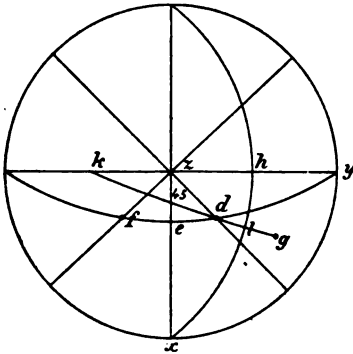
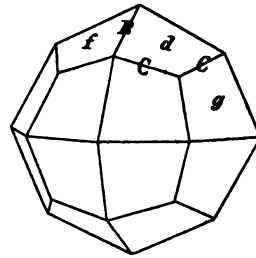


Fig. 19a.



dreier Flächen des Ikositetraeders (Fig. 19a). k und h (Fig. 19) seien die Projectionen von 2 Rhombendodekaederflächen. Ferner sei $ed = ef = \frac{180 - B}{2}$ und $dl = lg = \frac{180 - C}{2}$

Die Ableitungszahlen (Parameter) der Fläche

d (Fig. 19a) sind m, m, 1, mithin die Indices $\frac{1}{m} \frac{1}{m} 1$ oder 1 1 m,

g „ „ m, 1, m, „ „ „ $\frac{1}{m} 1 \frac{1}{m}$ „ 1 m 1,

f „ „ m, —m, 1, „ „ „ $\frac{1}{m} \bar{1} 1$ „ 1 $\bar{1}$ m.

a) Gegeben B, gesucht die Indices der Fläche d.

Die Gleichung der Fläche d ist

$$\cos dx = \cos dy = \frac{1}{m} \cos dz$$

Daraus

$$m = \frac{\cos dz}{\cos dx}$$

Aus dem rechtwinkligen sphärischen Dreieck ezd folgt

$$\sin ze = \operatorname{ctg} 45 \operatorname{ctg} \frac{B}{2} = \operatorname{ctg} \frac{1}{2} B$$

Da $\sin ze = \cos ex$, so ist auch

$$\cos ex = \operatorname{ctg} \frac{1}{2} B$$

Aus dem rechtwinkligen sphärischen Dreieck dex folgt

$$\cos dx = \cos ex \sin \frac{1}{2} B$$

Aus dem rechtwinkligen sphärischen Dreieck dze folgt

$$\cos dz = \cos ez \sin \frac{1}{2} B = \sin ex \sin \frac{1}{2} B$$

Mithin hat man, um m zu finden, folgende Gleichungen zu berechnen:

$$1) \cos ex = \operatorname{ctg} \frac{1}{2} B \quad m = \operatorname{tg} ex$$

Beispiel. Es sei $\frac{B}{2} = 72^\circ 27'$

$$\operatorname{ctg} \frac{1}{2} B = 0,3153 \quad ex = 71^\circ 33' \quad m = 2,999 \dots = 3$$

Die Ikositetraëderfläche d hat die Indices 1 1 3. Die Formel des Ikositetraëders ist 303.

b) Gegeben C , gesucht die Indices der Fläche d .

Vermöge der Zonengleichung findet man, dass die 4 Flächen k , d , l und g tautozonal sind.

Aus dem sphärischen Dreieck kzd folgt

$$\cos kd = \cos kz \cos zd + \sin kz \sin zd \cos (90 + 45)$$

Da k von jedem Punkte des Zonenkreises xlh um 90° absteht, so ist $kd = 90 - dl = \frac{C}{2}$; da ferner $kz = 45^\circ$ ist, so folgt

$$\cos \frac{1}{2} C = \cos 45 \cos zd - \sin 45 \sin zd \cos 45$$

$$\cos \frac{1}{2} C = \cos 45 [\cos zd - \cos 45 \sin zd], \text{ weil } \sin 45 = \cos 45$$

Setzt man $\operatorname{tg} \varphi = \cos 45$, woraus $\varphi = 35^\circ 15' 52''$ folgt, so folgt $\cos \frac{C}{2} = \cos 45 \left(\cos zd - \frac{\sin \varphi}{\cos \varphi} \sin zd \right)$, woraus

$$\cos (zd + \varphi) = \frac{\cos \frac{C}{2} \cos \varphi}{\cos 45}$$

Aus dem sphärischen Dreieck zdx folgt

$$\cos dx = \sin zd \cos 45$$

Da die Indices von d : 1 1 m sind, so ist die Gleichung von d :

$$\cos dx = \cos dy = \frac{1}{m} \cos dz$$

mithin

$$m = \frac{\cos dz}{\cos dx} = \frac{\cos dz}{\sin zd \cos 45} = \frac{\text{ctg } dz}{\cos 45}$$

Um m zu finden, hat man mithin zu berechnen:

$$2) \left\{ \begin{array}{l} \cos (zd + \varphi) = \frac{\cos \frac{C}{2} \cos \varphi}{\cos 45}, \text{ worin } \varphi = 35^\circ 15' 52'' \text{ ist,} \\ m = \frac{\text{ctg } zd}{\cos 45}, \text{ woraus auch folgt} \\ \lg \cos (zd + \varphi) = \lg \cos \frac{C}{2} + 0,06247 \\ \lg m = \lg \text{ctg } zd + 0,150515 \end{array} \right.$$

Beispiel. $\frac{C}{2} = 73^\circ 13'$

$$\lg \cos \frac{C}{2} = 9,46053$$

$$\begin{array}{l} \lg \text{ctg } zd = 0,15067 \\ \text{E } \lg \cos 45 = 0,15051 \end{array}$$

$$\lg \frac{\cos \varphi}{\cos 45} = 0,06247$$

$$\begin{array}{l} \lg m = 0,30118 \\ m = 2 \end{array}$$

$$\lg \cos (zd + \varphi) = 9,52300$$

$$zd + \varphi = 70^\circ 31' 25''$$

$$\varphi = 35^\circ 15' 52''$$

$$zd = 35^\circ 15' 33''$$

Die Indices der Fläche d sind 1 1 2. Die Formel des Ikositetraeders ist 202.

Berechnung der Triakisoktaeder.

In der Fig. 20 repräsentirt d die Projection der Triakisoktaederfläche $1 \frac{1}{m} 1$ oder $m 1 m$, e die der Triakisoktaederfläche $\frac{1}{m} 1 1$ oder $1 m m$. k und h sind die Projectionen zweier Rhombendodekaederflächen. Es ist $pd = 180 - B$ und $de = 180 - A$, $dk = 90 - \frac{B}{2}$ und $df = 90 - \frac{A}{2}$

Die Gleichung der Fläche d ist

$$\frac{\cos dx}{m} = \frac{\cos dy}{1} = \frac{\cos dz}{m}$$

woraus folgt

$$m = \frac{\cos dx}{\cos dy} = \frac{\cos dz}{\cos dy}$$

Fig. 20.

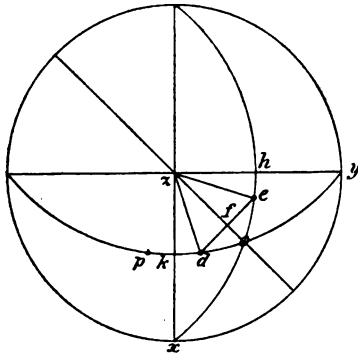
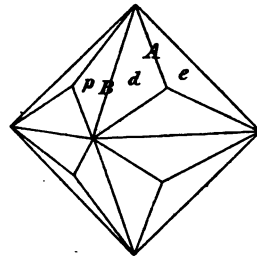


Fig. 20a.



a) Gegeben B, gesucht die Indices der Fläche d.

Aus dem rechtwinkligen sphärischen Dreieck kdz folgt

$$\cos dz = \sin \frac{B}{2} \cos 45$$

Aus demselben rechtwinkligen sphärischen Dreieck kdz folgt

$$\cos kzd = \tg 45 \ctg zd = \ctg zd \text{ und}$$

$$\sin 45 = \operatorname{ctg} kzd \operatorname{ctg} \frac{B}{2}$$

Aus beiden Gleichungen folgt

$$\sin 45 = \frac{\operatorname{ctg} zd}{\sin kzd} \cdot \operatorname{ctg} \frac{B}{2} \text{ oder } \sin kzd = \frac{\operatorname{ctg} zd \cdot \operatorname{ctg} \frac{B}{2}}{\cos 45}$$

Aus dem sphärischen Dreieck dzy folgt

$$\cos dy = \sin zd \cos dzy = \sin zd \sin kzd$$

Setzt man die Werthe für $\cos dy$ und $\cos dz$ in die erste Gleichung, so ergibt sich

$$m = \frac{\sin \frac{B}{2} \cos 45}{\sin zd \sin kzd} = \frac{\sin \frac{B}{2} \cos 45 \cdot \cos 45}{\sin zd \cdot \operatorname{ctg} zd \operatorname{ctg} \frac{B}{2}}$$

Daraus

$$1) m = \cos 45 \operatorname{tg} \frac{B}{2}, \text{ woraus } \lg m = \lg \operatorname{tg} \frac{B}{2} + 9,84949$$

b) Gegeben A, gesucht die Indices von d (s. Fig. 20).

Es ist o der Durchschnittspunkt der 2 Zonen kdy und hex, und man findet vermöge der Gl. 5 die Indices der Fläche o: 1 1 1; es ist mithin o eine Oktaëderfläche. Die Gleichung von o ist $\cos ox = \cos oy = \cos oz$

Aus dem sphärischen Dreieck oxz folgt

$$\cos ox = \sin oz \cos xzo = \sin ox \cos 45$$

und daraus

$$\operatorname{ctg} ox = \operatorname{ctg} oy = \operatorname{ctg} oz = \cos 45$$

woraus folgt

$$ox = oy = oz = 54^{\circ} 44' 8''$$

Diesen Winkel nennen wir δ .

Aus dem rechtwinkligen sphärischen Dreieck kox folgt

$$\cos kox = \sin kxo \cos kx = \sin 45 \cos 45 = \frac{1}{2}$$

woraus $kox = 60^{\circ}$ folgt.

Eine Betrachtung der Figur lehrt, dass auch $dof = 60^{\circ}$ ist.

Nun können wir zur Berechnung von dy und dz schreiten.

Aus dem rechtwinkligen sphärischen Dreieck dfo folgt

$$\cos \frac{A}{2} = \sin do \cdot \sin 60$$

woraus

$$\sin d o = \frac{\cos \frac{1}{2} A}{\sin 60}$$

Aus dem rechtwinkligen sphärischen Dreieck koz folgt

$$\cos o z = \cos k o \cos k z = \cos k o \cos 45$$

Hieraus

$$\cos k o = \frac{\cos o z}{\cos 45} = \frac{\cos \delta}{\cos 45}$$

Daraus folgt

$$k o = 35^{\circ} 15' 52''$$

Vergleicht man diesen Winkel mit δ , so findet man

$$k o = 90 - \delta$$

$$\text{Nun ist } k d = k o - d o = 90 - \delta - d o$$

$$\text{Ferner } d y = o y + o d = \delta + o d$$

Aus dem rechtwinkligen sphärischen Dreieck k d z folgt

$$\cos z d = \cos k z \cos k d \text{ oder}$$

$$\cos z d = \cos 45 \cos (90 - \delta - d o) = \cos 45 \sin (\delta + d o)$$

$$\text{Da } m = \frac{\cos d z}{\cos d y} = \frac{\cos 45 \sin (\delta + d o)}{\cos (\delta + o d)} = \cos 45 \operatorname{tg} (\delta + d o)$$

ist, so hat man, um m zu finden, folgende Gleichungen zu berechnen:

$$2) \left\{ \begin{array}{l} \sin d o = \frac{\cos \frac{A}{2}}{\sin 60} \\ m = \cos 45 \operatorname{tg} (\delta + d o) \\ \delta = 54^{\circ} 44' 8'' \text{ oder} \\ \lg \sin d o = \lg \cos \frac{A}{2} + 0,06247 \\ \lg m = \lg \operatorname{tg} (\delta + d o) + 9,84949 \end{array} \right.$$

$$\text{Beispiel. } \frac{A}{2} = 76^{\circ} 22''$$

$$\lg \cos \frac{A}{2} = 9,37237$$

$$\text{E } \lg \sin 60 = 0,06247$$

$$\lg \sin d o = 9,43484$$

$$\begin{array}{r}
 d o = 15^{\circ} 47' 38'' \\
 \delta = 54^{\circ} 44' 8'' \\
 \hline
 \delta + d o = 70^{\circ} 31' 46'' \\
 \\
 \lg \operatorname{tg} (\delta + d o) = 0,4516 \\
 \lg \cos 45 = 9,8495 \\
 \hline
 \lg m = 0,3011 \\
 m = 2
 \end{array}$$

Die Indices der Fläche d sind daher $\frac{1}{2}, \frac{1}{2}, 1$ oder $1, 1, 2$.
Die Formel des Triakisoktaeders ist $30s$.

Berechnung der Tetrakishexaöder.

In der Fig. 21 sei e die Projection der Tetrakishexaöderfläche $10\frac{1}{n}$ oder $n01$ und es sei d die Projection der Tetrakishexaöderfläche $\frac{1}{n}01$ oder $10n$; die Gleichung der Fläche d ist alsdann

Fig. 21.

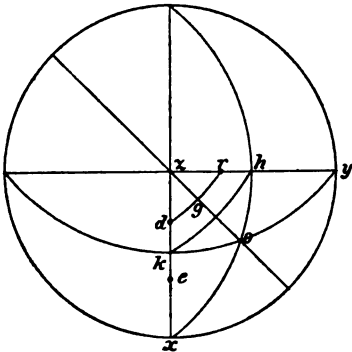
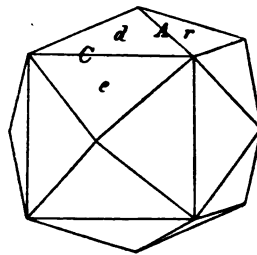


Fig. 21a.



$$\cos dx = \frac{\cos dz}{n}$$

woraus

$$n = \frac{\cos dz}{\cos dx}$$

a) Gegeben C, gesucht n.

Es seien k und h die Projectionen zweier Rhombendodekaederflächen. Da $de = 180 - C$, so ist $dk = 90 - \frac{C}{2}$ und $dz = 45 - dk = \frac{C}{2} - 45$; auch ist $dx = 45 + dk = 90 + 45 - \frac{C}{2}$. Mithin ist

$$1) n = \frac{\cos\left(\frac{C}{2} - 45\right)}{-\sin\left(45 - \frac{C}{2}\right)} = \text{ctg}\left(\frac{C}{2} - 45\right)$$

b) Gegeben A, gesucht n.

In der Fig. 21 stelle r die Projection der Tetrakishexaederfläche $0 \frac{1}{n} 1$ oder $0 1 n$ vor. Der Durchschnitt der beiden Zonen ky und hx liefert die Projection der Oktaederfläche o. Legt man durch o und z einen grössten Kreis, so steht dieser senkrecht auf dr. Da nun $dr = 180 - A$ ist, so ist $dg = 90 - \frac{A}{2}$. Aus dem rechtwinkligen sphärischen Dreieck dgz folgt

$$\sin dg = \sin dz \sin 45$$

woraus

$$\sin dz = \frac{\cos \frac{A}{2}}{\sin 45}$$

und da $dx = 90 - dz$, folglich $\cos dx = \sin dz$ ist, so folgt

$$n = \frac{\cos dz}{\cos dx} = \text{ctg} dz$$

Um daher n zu finden, berechne man

$$2) \left\{ \begin{array}{l} \sin dz = \frac{\cos \frac{A}{2}}{\sin 45}, \text{ woraus } \lg \sin dz = \lg \cos \frac{A}{2} + 0,15051 \\ n = \text{ctg} dz \qquad \qquad \lg n = \lg \text{ctg} dz \end{array} \right.$$

Berechnung des Rhombendodekaëders.

In der Fig. 21 repräsentire k die Projection der Rhombendodekaëderfläche 101 und h die der Rhombendodekaëderfläche 011 . Die Gleichung der Fläche k ist

$$\cos kx = \cos kz$$

mithin

$$kx = kz = 45^\circ$$

Aus dem rechtwinkligen sphärischen Dreieck kzh folgt

$$\cos kh = \cos^2 45 = \frac{1}{2}$$

mithin

$$kh = 60$$

Der Winkel zweier Rhombendodekaëderflächen ist mithin $180 - 60 = 120^\circ$. Dies lehrt auch schon der blosse Anblick des Körpers.

Berechnung des Oktaëders.

In der Fig. 21 repräsentire o die Projection der Oktaëderfläche 111 . Die Gleichung dieser Fläche ist

$$\cos ox = \cos oy = \cos oz$$

Aus dem sphärischen Dreieck xoz folgt

$$\cos ox = \sin oz \cos xzo = \sin ox \cos 45$$

Daraus folgt

$$\text{ctg } ox = \cos 45$$

$$ox = 54^\circ 44' 8'' = oy = oz$$

Aus dem rechtwinkligen sphärischen Dreieck okz folgt nun

$$\cos oz = \cos ok \cos kz = \cos ok \cos 45$$

mithin

$$\cos ok = \frac{\cos oz}{\cos 45}$$

woraus

$$ok = 35^\circ 15' 52''$$

Der Winkel zweier Oktaëderflächen ist mithin

$$180 - 2 \cdot ok = 109^\circ 28' 16''$$

Berechnung der hemiödrischen Formen.

§. 7.

Berechnung der Hexakistetraëder.

a) Gegeben A' und B' , gesucht die Indices von d .

In der Fig. 22 sei d die Projection der Hexakistetraëderfläche

$\frac{1}{n} \frac{1}{m} 1$ (s. Fig. 22a). Die Gleichung von d ist

$$n \cos dx = m \cos dy = \cos dz$$

Fig. 22.

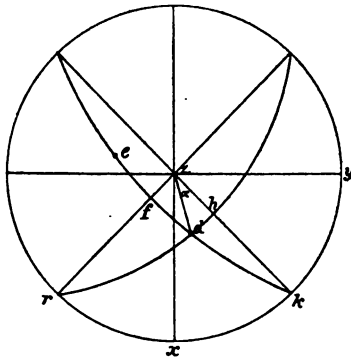
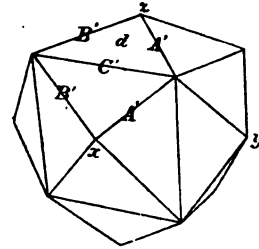


Fig. 22 a.



k und r seien die Projectionen zweier Rhombendodekaëderflächen. Es sei $dh = \frac{1}{2} (180 - A') = 90 - \frac{1}{2} A'$ und $df = \frac{180 - B'}{2} = 90 - \frac{B'}{2}$

Aus dem rechtwinkligen sphärischen Dreieck dhz folgt

$$\sin dh = \sin \alpha \sin dz$$

oder

$$a) \cos \frac{A'}{2} = \sin \alpha \sin dz$$

Aus dem rechtwinkligen sphärischen Dreieck dfz folgt

$$\sin df = \sin dz \sin fzd$$

oder

$$b) \cos \frac{B'}{2} = \sin dz \cos \alpha$$

Aus beiden Gleichungen folgt

$$c) \operatorname{tg} \alpha = \frac{\cos \frac{1}{2} A'}{\cos \frac{1}{2} B'}$$

Aus dem Dreieck dxz folgt

$$d) \cos dx = \sin dz \cos (45 - \alpha)$$

Aus dem Dreieck dyz folgt

$$e) \cos dy = \sin dz \cos (45 + \alpha)$$

Setzt man diese Werthe in die Gleichung für d , so erhält man m und n . Man hat daher folgende Gleichungen zu berechnen:

$$1) \left\{ \begin{array}{ll} \operatorname{tg} \alpha = \frac{\cos \frac{A'}{2}}{\cos \frac{B'}{2}} & \sin dz = \frac{\cos \frac{A'}{2}}{\sin \alpha} \\ m = \frac{\operatorname{ctg} dz}{\cos (45 + \alpha)} & n = \frac{\operatorname{ctg} dz}{\sin (45 + \alpha)} \end{array} \right.$$

$$\text{Z. B. Gegeben } \frac{A'}{2} = 79^\circ 6' 24'' \quad \frac{B'}{2} = 55^\circ 27' 44''$$

$$\lg \cos \frac{A'}{2} = 9,27642$$

$$\lg \cos \frac{A'}{2} = 9,27642$$

$$\text{E } \lg \cos \frac{B'}{2} = 0,24645$$

$$\text{E } \lg \sin \alpha = 0,50004$$

$$\lg \operatorname{tg} \alpha = 9,52287$$

$$\lg \sin dz = 9,77646$$

$$\alpha = 18^\circ 26'$$

$$dz = 36^\circ 42' 10''$$

$$m = 3,01 = 3$$

$$\lg m = 0,47907$$

$$\text{E } \lg \cos (45 + \alpha) = 0,35149$$

$$\lg \operatorname{ctg} dz = 0,12758$$

$$\text{E } \lg \sin (45 + \alpha) = 0,04846$$

$$\lg n = 0,17604$$

$$n = 1,4999 = 1,5$$

b) Gegeben A' und C' , gesucht die Indices der Fläche e (s. Fig. 18).

Diese Aufgabe fällt mit der früher gelösten Aufgabe: „Die Winkel A und C des Hexakisoktaeders sind gegeben, gesucht werden die Indices der Fläche e “ zusammen (S. 35). Wir stellen daher nur die zur Lösung nöthigen Gleichungen untereinander.

$$2) \left\{ \begin{array}{l} \cos kre = \frac{2 \cos \frac{1}{2} C + \cos \frac{1}{2} A}{\sqrt{3} \sin \frac{1}{2} A} \\ lz = kre - 35^\circ 15' 52'' \\ \cos ez = \cos lz \sin \frac{A}{2} \quad \text{ctg lze} = \sin lz \operatorname{tg} \frac{1}{2} A \\ m = \frac{\operatorname{ctg} ez}{\cos (45 + lze)} \quad n = \frac{\operatorname{ctg} ez}{\sin (45 + lze)} \end{array} \right.$$

c) Gegeben B' und C' , gesucht die Indices der Fläche d .

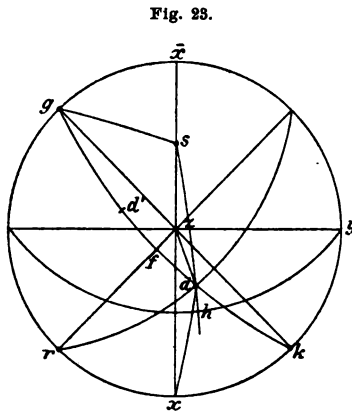
In der Fig. 23 seien k , r , s und g die Proportionen von Rhombendodekaederflächen. d sei die Projection der Hexakis-tetraederfläche $\frac{1}{n} \frac{1}{m} 1$. Die Gleichung der Fläche d ist $n \cos dx = m \cos dy = \cos dz$, woraus

$$n = \frac{\cos dz}{\cos dx} \quad \text{und} \quad m = \frac{\cos dz}{\cos dy}$$

$$\text{Es sei } dh = \frac{1}{2} (180 - C')$$

$$\text{und } df = \frac{1}{2} (180 - B') =$$

$$90 - \frac{B'}{2}$$



Aus dem rechtwinkligen sphärischen Dreieck $gs\bar{x}$ folgt

$$\cos gs = \cos^2 45 = \frac{1}{2}, \text{ mithin } gs = 60 \text{ und}$$

$$\cos gs = \operatorname{ctg}^2 sg\bar{x}, \text{ woraus}$$

$$sg\bar{x} = 54^\circ 44' 8''$$

Aus dem sphärischen Dreieck dsg folgt

$$\cos ds = \cos gs \cos dg + \sin gs \sin dg \cos dgs$$

Da $ds = sh - dh = 90 - \left(90 - \frac{C'}{2}\right) = \frac{C'}{2}$ und

$dg = gf + fd = 90 + 90 - \frac{B'}{2}$, so folgt

$$\cos \frac{C'}{2} = -\cos 60 \cos \frac{B'}{2} + \sin 60 \sin \frac{B'}{2} \cos dgs$$

woraus

$$\cos dgs = \frac{\cos \frac{C'}{2} + \cos 60 \cos \frac{B'}{2}}{\sin 60 \sin \frac{B'}{2}} = \frac{2 \cos \frac{C'}{2} + \cos \frac{B'}{2}}{\operatorname{tg} 60 \sin \frac{B'}{2}}$$

Es ist

$$\sphericalangle dgr = 180 - sg\bar{x} - dgs = 125^{\circ} 15' 52'' - dgs = rf$$

Aus dem rechtwinkligen sphärischen Dreieck drf folgt nun

$$\cos rd = \cos rf \sin \frac{B'}{2}$$

Aus dem rechtwinkligen sphärischen Dreieck dzf folgt

$$\cos zd = \cos fz \cos fd = \sin rf \sin \frac{B'}{2}$$

Aus dem sphärischen Dreieck dkr folgt

$$\cos dk = \sin rd \cos drk$$

woraus

$$\cos drk = \cos drx = \frac{\cos \frac{B'}{2}}{\sin rd}$$

Aus dem Dreieck drx folgt

$$\cos dx = \cos rd \cos 45 + \sin rd \sin 45 \cos drx$$

oder da $\cos 45 = \sin 45$

$$\cos dx = \cos 45 (\cos rd + \sin rd \cos drx)$$

$$\cos dx = \cos 45 \left(\cos rd + \cos \frac{B'}{2} \right)$$

$$\cos dx = \cos 45 \left(\cos rf \cdot \sin \frac{B'}{2} + \cos \frac{B'}{2} \right)$$

Mithin ist

$$n = \frac{\cos dz}{\cos dx} = \frac{\sin rf \sin \frac{B'}{2}}{\cos 45 \left(\cos rf \sin \frac{B'}{2} + \cos \frac{B'}{2} \right)}$$

$$= \frac{\sin rf}{\cos 45 \left(\cos rf + \operatorname{ctg} \frac{B'}{2} \right)}$$

Aus dem sphärischen Dreieck dyk folgt

$$\cos dy = \cos 45 \cos dk + \sin 45 \sin dk \cos dky \text{ oder}$$

$$\cos dy = \cos 45 \left(\cos \frac{B'}{2} + \sin \frac{B'}{2} \cos (90 + fky) \right)$$

$$\cos dy = \cos 45 \left(\cos \frac{B'}{2} - \sin \frac{B'}{2} \sin fky \right)$$

$$\cos dy = \cos 45 \left(\cos \frac{B'}{2} - \sin \frac{B'}{2} \cos rf \right)$$

Mithin ist

$$m = \frac{\cos dz}{\cos dy} = \frac{\sin rf \sin \frac{1}{2} B'}{\cos 45 \left(\cos \frac{1}{2} B' - \sin \frac{1}{2} B' \cos rf \right)}$$

$$= \frac{\sin rf}{\cos 45 \left(\operatorname{ctg} \frac{1}{2} B' - \cos rf \right)}$$

Um m und n zu finden, hat man mithin folgende Gleichungen der Reihe nach zu berechnen:

$$1) \left\{ \begin{array}{l} \cos dgs = \frac{2 \cos \frac{C'}{2} + \cos \frac{B'}{2}}{\operatorname{tg} 60 \sin \frac{B'}{2}} \\ \sphericalangle dgr = rf = 125^{\circ} 15' 52'' - dgs \\ n = \frac{\sin rf}{\cos 45 \left(\operatorname{ctg} \frac{1}{2} B' + \cos rf \right)} \\ m = \frac{\sin rf}{\cos 45 \left(\operatorname{ctg} \frac{1}{2} B' - \cos rf \right)} \\ \text{oder logarithmisch} \\ \operatorname{tg} \varphi = \cos dgr = \cos rf \\ n = \frac{\sin rf \cos \varphi \sin \frac{1}{2} B'}{\cos 45 \cos \left(\varphi - \frac{B'}{2} \right)} \quad m = \frac{\sin rf \cos \varphi \sin \frac{1}{2} B'}{\cos 45 \cos \left(\varphi + \frac{B'}{2} \right)} \end{array} \right.$$

$$\text{Z. B. } \frac{B'}{2} = 61^\circ 26' \quad \frac{C'}{2} = 76^\circ 10'$$

$$\cos \frac{B'}{2} = 0,47820$$

$$2 \cos \frac{C'}{2} = 0,47820$$

$$\cos \frac{B'}{2} + 2 \cos \frac{1}{2} C' = 0,95640$$

$$\lg 0,95 \dots = 9,98064$$

$$E \lg \operatorname{tg} 60 = 9,76144$$

$$E \lg \sin \frac{1}{2} B' = 0,05638$$

$$\lg \cos gds = 9,79846$$

$$gds = 51^\circ 2'$$

$$dgr = 74^\circ 14' = rf$$

$$\varphi = 15^\circ 12'$$

$$\frac{B'}{2} = 61^\circ 26'$$

$$\varphi + \frac{B'}{2} = 76^\circ 38'$$

$$\frac{B'}{2} - \varphi = 46^\circ 14'$$

$$m = 4,99 = 5$$

$$\lg m = 0,69805$$

$$E \lg \cos \left(\varphi + \frac{B'}{2} \right) = 0,63605$$

$$\lg \sin rf = 9,98334$$

$$\lg \cos \varphi = 9,98453$$

$$\lg \sin \frac{1}{2} B' = 9,94362$$

$$E \lg \cos 45 = 0,15051$$

$$E \lg \cos \left(\varphi - \frac{B'}{2} \right) = 0,16007$$

$$\lg n = 0,22207$$

$$n = 1,667 = \frac{5}{3}$$

Die Indices der Fläche d sind: $\frac{3}{5} \frac{1}{5} 1$ oder $3 \ 1 \ 5$. Die

Formel des Hexakistetraeders ist $\frac{5 \ 0 \ \frac{5}{2}}{5}$

Berechnung der Trigondodekaëder.

a) Gegeben B' , gesucht die Indices der Fläche d .

In der Fig. 24 sei d die Projection der Trigondodekaëderfläche $\frac{1}{m} \frac{1}{m} 1$ oder $1 1 m$. Die Gleichung der Fläche d ist

$$m \cos dx = m \cos dy = \cos dz$$

Mithin

$$m = \frac{\cos dz}{\cos dx}$$

Fig. 24.

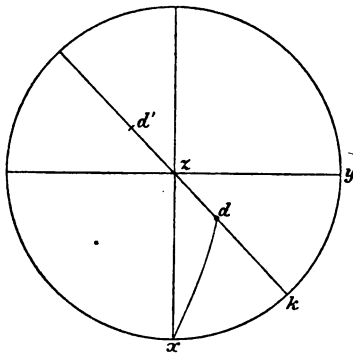
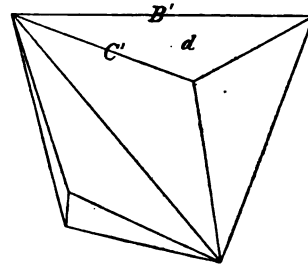


Fig. 24a.



Ist k die Projection der Rhombendodekaëderfläche $1 1 0$, so folgt aus dem sphärischen Dreieck $x dz$

$$\cos dx = \sin dz \cos xz d = \sin dz \cos 45$$

Nun ist $dd' = 180 - B'$, mithin $zd = 90 - \frac{B'}{2}$, folglich

$$\cos dx = \cos \frac{1}{2} B' \cos 45$$

folglich

$$1) \left\{ \begin{array}{l} m = \frac{\sin \frac{1}{2} B'}{\cos \frac{1}{2} B' \cos 45} = \frac{\operatorname{tg} \frac{1}{2} B'}{\cos 45} \\ \text{Daraus folgt auch} \\ \lg m = \lg \operatorname{tg} \frac{1}{2} B' + 0,15051 \end{array} \right.$$

b) Gegeben C' .

Dieser Fall ist schon bei der Berechnung des Ikositetraeders erledigt. Um m zu finden, berechne man:

$$2) \left\{ \begin{array}{l} \cos (zd + \varphi) = \frac{\cos \frac{1}{2} C' \cos \varphi}{\cos 45} \\ \text{worin } \varphi = 35^{\circ} 15' 52'' \text{ ist,} \\ m = \frac{\text{ctg } zd}{\cos 45}, \text{ woraus auch folgt} \\ \lg \cos (zd + \varphi) = \lg \cos \frac{1}{2} C' + 0,06247 \\ \lg m = \lg \text{ctg } zd + 0,150515 \end{array} \right.$$

Berechnung der Deltoiddodekaeder.

a) Gegeben A' .

Dieser Fall ist durch die Berechnung der Triakisoktaeder schon erledigt. Die Resultate sind folgende:

$$3) \left\{ \begin{array}{l} \sin do = \frac{\cos \frac{1}{2} A'}{\sin 60} \quad \lg \sin do = \lg \cos \frac{1}{2} A' + 0,06247 \\ n = \cos 45 \text{ tg } (\delta + do) \quad \lg n = \lg \text{tg } (\delta + do) + 9,84949 \\ \delta = 54^{\circ} 44' 8'' \end{array} \right.$$

b) Gegeben B' , gesucht die Indices der Fläche d .

In der Fig. 25 sei d die Projection der Deltoiddodekaederfläche $1 \frac{1}{m} 1$ (oder $m 1 m$). Die Gleichung dieser Fläche ist

$$\cos dx = m \cos dy = \cos dz$$

woraus

$$m = \frac{\cos dx}{\cos dy}$$

Sind k, r, e, \bar{k} die Projectionen von vier Rhombendodekaederflächen und d' die Projection der Deltoiddodekaederfläche

$\frac{1}{m} \bar{1} 1$ (oder $\bar{1} \bar{m} m$), so ist leicht mit Hilfe der Gl. 4 (S. 8) zu zeigen, dass $k d d' \bar{k}$ tautozonal sind. Es ist aber $d d' = 180 - B'$, mithin $sd = 90 - \frac{B'}{2}$

Aus dem rechtwinkligen sphärischen Dreieck osd folgt
 $\sin sd = \sin do \sin dos$

Fig. 25.

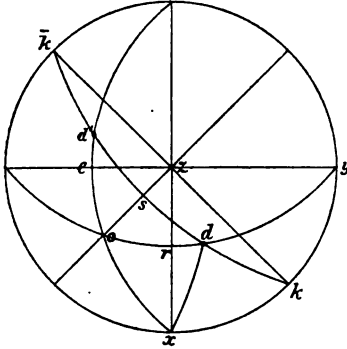
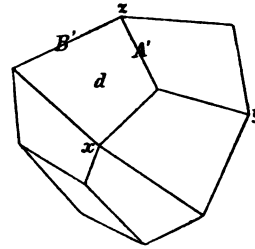


Fig. 25 a.



Es ist leicht zu ermitteln, dass o die Projection der
 Oktaëderfläche $1\bar{1}1$ ist. Mithin ist, wie früher gelehrt wurde,

$$\begin{aligned} \angle dos &= 60 \\ \text{or} &= 35^\circ 15' 52'' \\ \text{ox} &= 54^\circ 44' 8'' \end{aligned}$$

Daher folgt aus $\sin sd = \sin do \sin dos$

$$\sin do = \frac{\cos \frac{1}{2} B'}{\sin 60}$$

Aus dem rechtwinkligen sphärischen Dreieck rdx folgt

$$\begin{aligned} \cos xd &= \cos rd \cos 45, \text{ und da} \\ dy &= ry - rd = 90 - rd \text{ und} \\ rd &= od - or = od - 35^\circ 15' 52'' \text{ ist,} \end{aligned}$$

$$\text{so ist } m = \frac{\cos rd \cos 45}{\sin rd} = \text{ctg } rd \cos 45$$

Man hat daher, um m zu finden, folgende Gleichungen
 zu berechnen:

$$4) \left\{ \begin{array}{l} \sin do = \frac{\cos \frac{B'}{2}}{\sin 60} \\ rd = od - 35^\circ 15' 52'' \\ m = \text{ctg } rd \cos 45 \end{array} \right. \quad \left\{ \begin{array}{l} \lg \sin do = \lg \cos \frac{B'}{2} + 0,06247 \\ rd = od - 35^\circ 15' 52'' \\ \lg m = \lg \text{ctg } rd + 9,84949 \end{array} \right.$$

Berechnung des Tetraäders.

In Fig. 24 sei d die Projection der Tetraöderfläche 111 und d' die der Tetraöderfläche $\bar{1}\bar{1}1$. Nun ist schon früher, bei der Berechnung des Oktaäders, gezeigt worden, dass $dx = dy = dz = 54^\circ 44' 8''$; es ist mithin $dd' = 2 \cdot dz$ oder $dd' = 109^\circ 28' 16''$. Der Winkel zweier Tetraöderflächen ist $180 - dd' = 70^\circ 31' 44''$.

Pentagonale oder parallellächige Hemiëdrie.

§. 8.

Berechnung der Dyakisdodekaäder.

a) Gegeben A'' und B'' , gesucht die Indices der Fläche d .

Fig. 26.

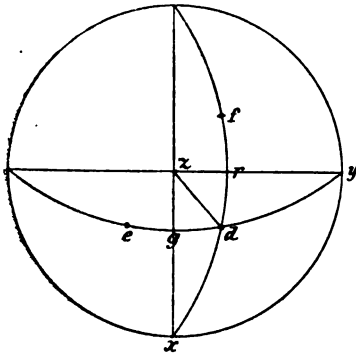
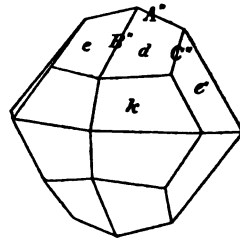


Fig. 26 a.



In der Fig. 26 sei d die Projection der Dyakisdodekaöderfläche $\frac{1}{n} \frac{1}{m} 1$ (s. Fig. 26 a). Die Gleichung der Fläche d ist

$$n \cos dx = m \cos dy = \cos dz$$

Daraus

$$n = \frac{\cos dz}{\cos dx} \text{ und } m = \frac{\cos dz}{\cos dy}$$

Es sei in Fig. 26 $de = 180 - B''$ und $df = 180 - A''$
mithin $dg = 90 - \frac{B''}{2}$ und $dr = 90 - \frac{A''}{2}$

Aus den rechtwinkligen sphärischen Dreiecken dgz und dzr folgt, wenn $gzd = \alpha$ gesetzt wird,

$$\sin gd = \sin dz \sin \alpha$$

$$\sin dr = \sin dz \cos \alpha$$

Aus beiden Gleichungen folgt

$$\operatorname{tg} \alpha = \frac{\sin gd}{\sin dr} = \frac{\cos \frac{1}{2} B''}{\cos \frac{1}{2} A''}$$

folglich kann man dz berechnen aus

$$\sin dz = \frac{\cos \frac{1}{2} B''}{\sin \alpha}$$

Aus den sphärischen Dreiecken dxz und dzy folgt

$$\cos dx = \sin dz \cos \alpha$$

und

$$\cos dy = \sin dz \sin \alpha$$

Mithin ist

$$n = \frac{\cos dz}{\cos dx} = \frac{\cos dz}{\sin dz \cos \alpha} = \frac{\operatorname{ctg} dz}{\cos \alpha}$$

und

$$m = \frac{\cos dz}{\cos dy} = \frac{\cos dz}{\sin dz \sin \alpha} = \frac{\operatorname{ctg} dz}{\sin \alpha}$$

Um daher m und n zu finden, hat man die folgenden Gleichungen zu berechnen:

$$1) \left\{ \begin{array}{l} \operatorname{tg} \alpha = \frac{\cos \frac{1}{2} B''}{\cos \frac{1}{2} A''} \\ n = \frac{\operatorname{ctg} dz}{\cos \alpha} \end{array} \right. \quad \begin{array}{l} \sin dz = \frac{\cos \frac{1}{2} B''}{\sin \alpha} \\ m = \frac{\operatorname{ctg} dz}{\sin \alpha} \end{array}$$

$$\text{Es sei z. B. } \frac{A''}{2} = 64^{\circ} 7'$$

$$\frac{B''}{2} = 77^{\circ} 24'$$

$$\lg \cos \frac{1}{2} B'' = 9,33874$$

$$E \lg \cos \frac{1}{2} A'' = 0,36000$$

$$\lg \operatorname{tg} \alpha = 9,69874$$

$$\alpha = 26^{\circ} 33'.$$

$$\lg \cos \frac{1}{2} B'' = 9,33874$$

$$\lg \sin \alpha = 0,34972$$

$$\lg \sin dz = 9,68846$$

$$dz = 29^{\circ} 13'$$

$$m = 4$$

$$\lg m = 0,60210$$

$$\text{E lg sin } \alpha = 0,34972$$

$$\lg \operatorname{ctg} dz = 0,25238$$

$$\text{E lg } \cos \alpha = 0,04840$$

$$\lg n = 0,30078$$

n = 2

Die Indices der Fläche d sind: $\frac{1}{2} \frac{1}{4}$ 1 oder 2 1 4. Die

Formel des Dyakisdodekaëders ist $\left[\frac{402}{2} \right]$

b) Gegeben B'' und C'' , gesucht die Indices der Fläche d.

In der Fig. 27 sei d die
Projection der Dyakisdo-

kaederfläche $\frac{1}{n} \frac{1}{m}$ 1. Die

$$\begin{aligned} n \cos dx &= m \cos dy \\ &= \cos dz \end{aligned}$$

woraus

$$n = \frac{\cos dz}{\cos dx} \text{ und } m = \frac{\cos dz}{\cos dy}$$

folgt.

Es sei $d h = 90 - \frac{B''}{2}$ und

$$d e' = d k = k e' = 180 - C''$$

Halbirt man de' und dk und zieht in den Halbierungspunkten r und g grösste Kreise senkrecht auf de' und dk , so schneiden diese sich in dem Punkte o und es ist leicht einzusehen, dass o die Projection der Oktaëderfläche 111 ist. Verbindet man o und d mit z , so ist aus §. 6 (S. 45)

dass $oz = 54^{\circ} 44' 8''$ ist. Weil $de' = dk = ke' = 180 - C''$ ist, so erhält man aus dem sphärischen Dreieck dke' den Winkel $\frac{1}{2} kde' = \alpha$ vermöge der Gleichung:

$$\sin \alpha = \sqrt{\frac{\cos^2 \frac{1}{2} C''}{\sin^2 C''}} = \frac{1}{2 \sin \frac{C''}{2}} = \frac{\cos 60}{\sin \frac{C''}{2}}$$

Aus dem bei r rechtwinkligen sphärischen Dreieck dor folgt

$$\cos dor = \sin \alpha \sin \frac{C''}{2} = \frac{\cos 60}{\sin \frac{C''}{2}} \sin \frac{C''}{2} = \cos 60$$

Mithin

$$dor = 60^{\circ}$$

Aus demselben Dreieck ergibt sich

$$\cos \frac{C''}{2} = \sin do \sin 60$$

woraus

$$\sin do = \frac{\cos \frac{1}{2} C''}{\sin 60}$$

Da o die Projection der Oktaëderfläche 111 ist, so folgt

$$ozx = 45^{\circ}$$

Aus dem Dreieck doz folgt nun

$$\cos do = \cos dz \cos zo + \sin dz \sin zo \cos (45 - \beta)$$

Aus dem rechtwinkligen sphärischen Dreieck dhz folgt

$$\sin hd = \sin zd \sin \beta$$

woraus

$$\cos \frac{B''}{2} = \sin zd \sin \beta$$

Die 2 letzten Gleichungen enthalten die beiden Unbekannten dz und β und diese können in folgender Weise daraus ermittelt werden. Aus der ersten Gleichung folgt

$$\cos do = \cos dz \cos zo + \sin dz \sin zo \cos 45 (\cos \beta + \sin \beta)$$

Substituirt man in diese Gleichung den Werth für $\sin \beta$, so ergibt sich

$$\cos d o = \cos d z \cos z o + \sin d z \sin z o \cos 45 \cdot \left(\sqrt{1 - \frac{\cos^2 \frac{1}{2} B''}{\sin^2 z d}} + \frac{\cos \frac{1}{2} B''}{\sin z d} \right)$$

$$\cos d o = \cos d z \cos z o + \sin z o \cos 45 \cdot \left(\sqrt{\sin^2 z d - \cos^2 \frac{1}{2} B''} + \cos \frac{1}{2} B'' \right)$$

$$\frac{\cos d o}{\sin z o \cos 45} - \cos \frac{B''}{2} - \frac{\cos d z \cdot \operatorname{ctg} z o}{\cos 45} = \sqrt{1 - \cos^2 z d - \cos^2 \frac{1}{2} B''}$$

Man findet leicht (s. S. 45), weil $oz = 54^\circ 44' 8''$ ist,

$$\frac{\operatorname{ctg} z o}{\cos 45} = 1 \text{ und } \frac{1}{\sin z o \cos 45} = \operatorname{tg} 60$$

Mithin ist

$$\cos d o \operatorname{tg} 60 - \cos \frac{1}{2} B'' - \cos d z = \sqrt{1 - \cos^2 z d - \cos^2 \frac{1}{2} B''}$$

Setzt man zur Abkürzung $\cos d o \operatorname{tg} 60 - \cos \frac{1}{2} B'' = p$ und quadriert, so erhält man

$$\cos^2 z d - p \cos z d = \frac{\sin^2 \frac{B''}{2}}{2} - \frac{p^2}{2}$$

Aus dem rechtwinkligen sphärischen Dreieck $dz h$ folgt

$$\cos d z = \cos h z \sin \frac{B''}{2}$$

Substituiert man diesen Werth für $\cos d z$ in die vorhergehende Gleichung, so ergibt sich

$$\cos^2 h z - p \frac{\cos h z}{\sin \frac{1}{2} B''} = \frac{1}{2} - \frac{p^2}{2 \sin^2 \frac{1}{2} B''}$$

Hieraus folgt

$$\begin{aligned} \left(\cos h z - \frac{p}{2 \sin \frac{1}{2} B''} \right)^2 &= \frac{1}{2} - \frac{p^2}{4 \sin^2 \frac{1}{2} B''} \\ &= \frac{1}{2} \left(1 - \frac{p^2}{2 \sin^2 \frac{1}{2} B''} \right) \end{aligned}$$

Setzt man endlich

$$\cos \gamma = \frac{p}{\sqrt{2} \sin \frac{1}{2} B''}$$

so folgt

$$\left(\cos h z - \frac{p}{2 \sin \frac{1}{2} B''} \right)^2 = \frac{1}{2} (1 - \cos^2 \gamma) = \frac{1}{2} \sin^2 \gamma$$

und hieraus

$$\cos h z = \frac{\cos \gamma}{\sqrt{2}} + \frac{\sin \gamma}{\sqrt{2}}$$

woraus

$$\cos h z = \cos (45 - \gamma)$$

mithin

$$\sin h z = \sin (45 - \gamma)$$

und

$$\cos d z = \cos (45 - \gamma) \sin \frac{1}{2} B''$$

Aus dem rechtwinkligen sphärischen Dreieck $h d x$ folgt

$$\cos d x = \sin \frac{B''}{2} \sin h z$$

Da ferner

$$d y = 90 - h d = \frac{B''}{2}$$

ist, so folgt

$$n = \frac{\cos d z}{\cos d x} = \frac{\cos (45 - \gamma) \sin \frac{1}{2} B''}{\sin \frac{1}{2} B'' \sin h z} = \operatorname{ctg} (45 - \gamma)$$

$$m = \frac{\cos d z}{\cos d y} = \frac{\cos (45 - \gamma) \sin \frac{1}{2} B''}{\cos \frac{1}{2} B''} = \cos (45 - \gamma) \operatorname{tg} \frac{1}{2} B''$$

Um m und n zu finden, hat man folgende Gleichungen zu berechnen:

$$2) \begin{cases} \sin d o = \frac{\cos \frac{1}{2} C''}{\sin 60} & \lg \sin d o = \lg \cos \frac{1}{2} C'' + 0,06247 \\ \cos \gamma = \frac{\cos d o \operatorname{tg} 60 - \cos \frac{1}{2} B''}{\sqrt{2} \sin \frac{1}{2} B''} \\ n = \operatorname{ctg} (45 - \gamma) & m = \cos (45 - \gamma) \operatorname{tg} \frac{1}{2} B'' \end{cases}$$

$$\text{Beispiel. } \frac{B''}{2} = 83^\circ 5' 8'' \quad \frac{C''}{2} = 56^\circ 4' 5''$$

$$\begin{aligned}
 \lg \cos \frac{1}{2} C'' &= 9,74679 & \lg \lg 60 &= 0,23856 \\
 &0,06247 & \lg \cos d o &= 9,88340 \\
 \lg \sin d o &= 9,80926 & \lg \cos d o \lg 60 &= 0,12196 \\
 d o &= 40^\circ 8' & \cos d o \lg 60 &= 1,32423 \\
 & & \cos \frac{1}{2} B'' &= 0,12039 \\
 \cos d o \lg 60 - \cos \frac{1}{2} B'' &= 1,20384 \\
 \lg 1,203 \dots &= 0,08057 \\
 E \frac{1}{2} \lg 2 &= 9,84950 \\
 E \lg \sin \frac{1}{2} B'' &= 0,00317 \\
 \lg \cos \gamma &= 9,93324 \\
 \gamma &= 30^\circ 57' 40'' \\
 \lg n = \lg \operatorname{ctg} (45 - \gamma) &= 0,60197 \\
 n &= 3,9992 = 4 \\
 \lg \cos (45 - \gamma) &= 9,98683 \\
 \lg \lg \frac{1}{2} B'' &= 0,91625 \\
 &0,90308 \\
 m &= 7,9999 = 8
 \end{aligned}$$

Die Indices der Fläche d sind $\frac{1}{4} \frac{1}{8} 1$ oder $2 \ 1 \ 8$. Die

Formel des Dyakisdodekaeders ist $\left[\frac{sO_4}{2} \right]$

c) Gegeben A'' und C'' , gesucht die Indices der Fläche k.

In der Fig. 27 sei k die Projection der Dyakisdodekaederfläche $1 \frac{1}{n} \frac{1}{m}$. Die Gleichung der Fläche k ist

$$\cos kx = n \cos ky = m \cos kz$$

woraus folgt

$$m = \frac{\cos kx}{\cos kz} \text{ und } n = \frac{\cos kx}{\cos ky}$$

Es ist $ox = 54^\circ 44' 8''$ und $oxz = 45^\circ$; $ok = od$ wird berechnet wie vorher aus der Gleichung

$$\sin ok = \frac{\cos \frac{1}{2} C''}{\sin 60}$$

Aus den beiden Dreiecken qkx und xok folgt, da $qk = 90 - \frac{A''}{2}$ ist,

$$\cos \frac{A''}{2} = \sin kx \sin \beta'$$

wobei $\beta' = qkx$ ist, und

$$\cos ko = \cos ox \cos kx + \sin ox \sin kx \cos (\beta' - 45)$$

Die Lösung dieser beiden Gleichungen ist in der vorhergehenden Aufgabe gelehrt worden. m und n findet man aus folgenden Gleichungen:

$$3) \left\{ \begin{array}{l} \sin ok = \frac{\cos \frac{1}{2} C''}{\sin 60} \quad \lg \sin ok = \lg \cos \frac{1}{2} C'' + 0,06247 \\ \cos \gamma = \frac{\lg 60 \cos ok - \cos \frac{1}{2} A''}{\sqrt{2} \sin \frac{1}{2} A''} \\ m = \operatorname{ctg} (45 - \gamma) \quad n = \cos (45 - \gamma) \cdot \lg \frac{1}{2} A'' \end{array} \right.$$

Beispiel. $\frac{A''}{2} = 67^{\circ} 1'$

$\frac{C''}{2} = 60^{\circ} 51''$

$\lg \cos \frac{1}{2} C'' = 9,6876$
 $0,0625$

$\lg \lg 60 = 0,2386$
 $\lg \cos ok = 9,9174$

$\lg \sin ok = 9,7501$
 $ok = 34^{\circ} 13'$

$\lg \lg 60 \cos ok = 0,1560$
 $\lg 60 \cos ok = 1,4323$
 $\cos \frac{1}{2} A'' = 0,3906$

$\lg 60 \cos ok - \cos \frac{1}{2} A'' = 1,0417$

$\lg 1,0417 = 0,0177$

$E \lg \frac{1}{2} \lg 2 = 9,8495$

$\lg \cos (45 - \gamma) = 9,9956$

$E \lg \sin \frac{1}{2} A'' = 0,0359$

$\lg \lg \frac{1}{2} A'' = 0,3724$

$\lg \cos \gamma = 9,9031$

$\lg n = 0,3680$

$\gamma = 36^{\circ} 51'$

$n = 2,3335 = \frac{7}{3}$

$\lg m = \lg \operatorname{ctg} (45 - \gamma) = 0,8441$

$m = 6,98 = 7$

Die Indices der Fläche k sind daher $1 \frac{3}{7} \frac{1}{7}$ oder $7 \frac{3}{7} 1$.

Die Formel des Dyakisdodekaëders ist $\left[\frac{70\frac{7}{3}}{2} \right]$

Berechnung der Pentagondodekaëder.

In der Fig. 28 sei d die Projection der Pentagondodekaëderfläche $\frac{1}{n} 0 1$ oder $1 0 n$. k und e seien die Projectionen der Pentagondodekaëderflächen $1 \frac{1}{n} 0$ und $0 1 \frac{1}{n}$. Die Gleichung der Fläche d ist

$$n \cos dx = \cos dz$$

$$n = \frac{\cos dz}{\cos dx}$$

Fig. 28.

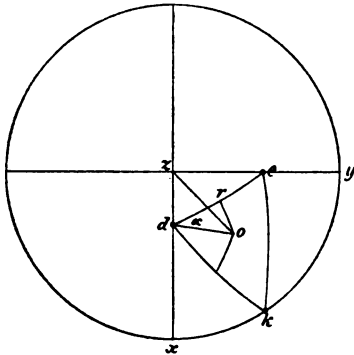
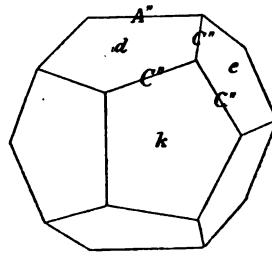


Fig. 28 a.



a) Gegeben A'' , gesucht die Indices der Fläche d .

In der Fig. 28 sei $dz = 90 - \frac{A''}{2}$, so ist

$$dx = 90 - dz = \frac{A''}{2}. \text{ Mithin}$$

$$1) n = \frac{\sin \frac{A''}{2}}{\cos \frac{A''}{2}} = \operatorname{tg} \frac{1}{2} A''$$

b) Gegeben C'' , gesucht die Indices der Fläche d.

Es ist (s. Fig. 28) $dk = ke = de = 180 - \frac{C''}{2}$

Aus dem sphärischen Dreieck dke erhält man (s. S. 58)

$$\sin \frac{1}{2} k de = \frac{\cos 60}{\sin \frac{1}{2} C''} = \sin \alpha$$

Halbirt man de und dk und zieht in den Halbierungspunkten senkrecht zu de und dk grösste Kreise, so schneiden diese sich im Punkte o und es ist leicht einzusehen, dass o die Projection der Oktaëderfläche 1 1 1 ist und dass $\angle ozx = 45$ und $oz = 54^{\circ} 44' 8''$ ist.

Aus dem rechtwinkligen sphärischen Dreieck dor folgt

$$\cos dor = \cos dr \sin \alpha = \sin \frac{1}{2} C'' \sin \alpha = \cos 60$$

mithin

$$dor = 60.$$

Aus demselben Dreieck dor folgt auch

$$\sin do = \frac{\cos \frac{1}{2} C''}{\sin 60}$$

Aus dem sphärischen Dreieck doz folgt nun

$$\cos do = \cos dz \cos oz + \sin dz \sin oz \cos 45$$

Setzt man in dieser Gleichung

$$\sin oz \cos 45 = \cos oz \operatorname{ctg} \varphi$$

so ist

$$\cos do = \cos oz (\cos dz + \sin dz \operatorname{ctg} \varphi) = \cos oz \frac{\sin (\varphi + dz)}{\sin \varphi}.$$

woraus

$$\sin (\varphi + dz) = \frac{\cos do \sin \varphi}{\cos oz}$$

Aus der Gleichung $\sin oz \cos 45 = \cos oz \operatorname{ctg} \varphi$ folgt

$$\operatorname{tg} \varphi = \frac{\cos oz}{\sin oz \cos 45}$$

und daraus, weil $\operatorname{ctg} oz = \cos 45$ (s. S. 45),

$$\varphi = 45^{\circ}$$

Mithin

$$\sin (45 + dz) = \frac{\cos do \cdot \sin 45}{\cos oz}$$

Da ferner $dx = 90 - dz$, folglich $\cos dx = \sin dz$ ist, so hat man, um n zu finden, folgende Gleichungen zu berechnen:

$$2) \left\{ \begin{array}{l} \sin do = \frac{\cos \frac{1}{2} C''}{\sin 60} \\ \sin (45 + dz) = \frac{\sin 45}{\cos oz} \cos do \\ n = \operatorname{ctg} dz \\ \lg \sin do = \lg \cos \frac{1}{2} C'' + 0,06247 \\ \lg \sin (45 + dz) = \lg \cos do + 0,08805 \\ \lg n = \lg \operatorname{ctg} dz \end{array} \right.$$

Beispiel. $\frac{C''}{2} = 56^{\circ} 47' 20''$

$$\lg \cos \frac{1}{2} C'' = 9,73856$$

$$0,06247$$

$$\lg \sin do = 9,80103$$

$$do = 39^{\circ} 13' 55''$$

$$\lg \cos do = 9,88907$$

$$0,08805$$

$$\lg \sin (45 + dz) = 9,97712$$

$$45 + dz = 71^{\circ} 33' 50''$$

$$dz = 26^{\circ} 33' 50''$$

$$\lg n = \lg \operatorname{ctg} dz = 0,30103$$

$$n = 2$$

Die Indices der Fläche d sind daher $\frac{1}{2} 0 1$ oder $1 0 2$

Die Formel des Pentagondodekaeders ist $\frac{\infty 0 2}{2}$

Berechnung complicirter Combinationen.

§. 9.

Erstes Beispiel (Rothkupfererz).

Nach Mohs und Phillips ¹⁾ kommt am Rothkupfererz die Combination Fig. 29a vor. Eine allgemeine Bestimmung ergibt, dass

- o das Oktaëder O
- a das Hexaëder $\infty O \infty$
- r das Rhombendodekaëder ∞O
- s ein Ikositetraëder $m O m$
- n ein Triakisoktaëder $m O$
- d ein Tetrakishexaëder $\infty O n$
- v ein Hexakisoktaëder $m O n$ ist.

Bekannt durch Messung sind die Winkel (Fig. 29a)

$$r : n = 160^{\circ} 32'$$

$$r : v = 160^{\circ} 54'$$

Fig. 29.

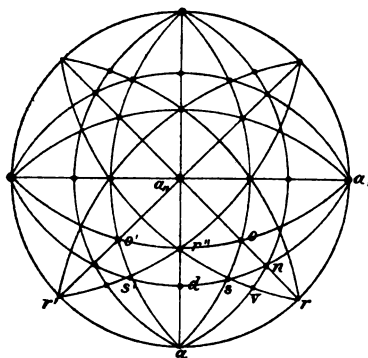
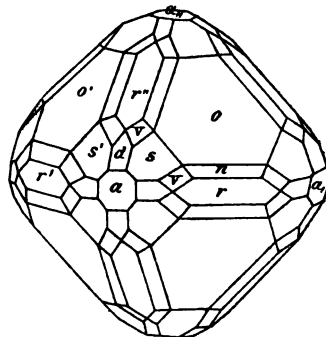


Fig. 29a.



Die Fig. 29 ist eine stereographische Projection der Combination. Die gleichen Buchstaben in beiden Figuren bedeuten dieselben Flächen.

¹⁾ Vergl. Phillips, Mineralogy 1823, S. 307 und Naumann, Lehrb. d. reinen u. angewandten Krystall. 1830, Bd. 1, S. 242.

Eine Betrachtung der Fig. 29a lehrt, dass wegen des Parallelismus der Kanten die Flächen $r v s v r''$ tautozonal sind. Die Fläche s lässt sich mithin vermöge der Zonengleichung 4 aus den Indices von r und r'' in folgender Weise bestimmen:

$$\begin{array}{rcccc} \text{Indices von } r: & 1 & 1 & 0 & 1 & 1 \\ & & \times & \times & \times & \\ \text{Indices von } r'': & 1 & 0 & 1 & 1 & 0 \\ \hline & & & & 1 & \bar{1} & \bar{1} \end{array}$$

Indices von s : $m \quad 1 \quad 1$, folglich, da $eu + fv + gw = 0$ ist,
 $m - 1 - 1 = 0$, woraus
 $m = 2$

Die Indices von s sind mithin $2 \ 1 \ 1$. Die Ableitungszahlen folglich $\frac{1}{2} \ 1 \ 1$ oder $1 \ 2 \ 2$. Die Formel folglich ${}_2O_2$.

Es ist daher

$$s = {}_2O_2$$

Das Tetrakishexaëder d (s. Fig. 29a) liegt wegen des Parallelismus der Kanten in der Zone sds' . Es lässt sich mithin aus den Indices von s und s' bestimmen:

$$\begin{array}{rcccc} \text{Indices von } s: & 2 & 1 & 1 & 2 & 1 \\ & & \times & \times & \times & \\ \text{Indices von } s': & 2 & \bar{1} & 1 & 2 & \bar{1} \\ \hline & 2 & 0 & \bar{4} & , \text{ oder mit } 2 \text{ dividirt:} \\ & 1 & 0 & \bar{2} & \end{array}$$

$$\begin{array}{rcccc} \text{Indices von } d: & n & 0 & 1, \text{ folglich vermöge Gl. 4:} \\ \hline & n-2=0, \text{ woraus} \\ & n=2 \end{array}$$

Mithin ist

$$d = \infty O_2 \text{ oder } (2 \ 0 \ 1)$$

Zur Bestimmung der Fläche n dient der Winkel $rn = 19^\circ 28'$ (Fig. 29). Dieser Winkel rn in Fig. 29 ist $= 180 - r:n$ in Fig. 29a.

Wir geben hier 4 Methoden zur Bestimmung der Fläche n .

¹⁾ Es ist $\bar{1} = -1$, ebenso $\bar{3} = -3$ u. s. w.

Erste Methode. Die Indices von n seien $m m 1$, so ist nach Gl. 2 die Gleichung von n , weil die Axenlängen $a b c$ der Grundebene gleich $1 1 1$ sind:

$$\frac{\cos na}{m} = \frac{\cos na,}{m} = \frac{\cos na,,}{1}$$

Mithin

$$m = \frac{\cos na,}{\cos na,,}$$

na , wird aus dem rechtwinkligen sphärischen Dreieck na, r berechnet. In diesem Dreieck ist $rn = 19^\circ 28'$ und $ra, = 45$ und $\angle nra, = 90$, folglich ist:

$$\cos na, = \cos rn \cdot \cos ra,$$

Nun ist noch $na,, = 90 - rn = 70^\circ 32'$, folglich

$$m = \frac{\cos 19^\circ 28' \cdot \cos 45}{\cos 70^\circ 32'}$$

Daraus folgt

$$m = 2$$

Mithin ist

$$n = 20 \text{ oder } (2 \ 2 \ 1)$$

Zweite Methode. Die 4 Flächen $a,,$, o , n und r sind tautozonal; die Winkel, die sie unter einander bilden, sind bekannt, ausserdem kennt man die Indices von

$$\begin{array}{ll} a,, & \text{gleich } 0 \ 0 \ 1, \\ o & \text{„ } 1 \ 1 \ 1, \\ r & \text{„ } 1 \ 1 \ 0. \end{array}$$

Die Indices der vierten Fläche n , die wir gleich $m m 1$ setzen, können mithin vermöge Gl. 10 und 11 Seite 14 gefunden werden.

Da in diesem Falle $PP' = 90$ ist, so folgt

$$\lambda = \frac{\text{ctg } na,,}{\text{ctg } oa,,}$$

Der Winkel $oa,,$, den die Normale auf die Oktaëderfläche mit der Normale auf die Würfelfläche bildet, ist $54^\circ 44'$, mithin ergibt sich

$$\lambda = 0,5 = \frac{1}{2}$$

folglich

$$p = 1 \quad q = 1 \quad r = \frac{1}{2}$$

Die Parameter der Fläche n sind mithin 1 1 2, folglich ist $n = 20$ (wie oben).

Dritte Methode. Nach Gl. 16 (S. 26) ist, wenn man die Indices von r gleich 1 1 0, von n gleich $m m 1$ setzt:

$$\cos rn = \frac{2m}{\sqrt{2} \sqrt{2m^2 + 1}} = \frac{m\sqrt{2}}{\sqrt{2m^2 + 1}}$$

Daraus folgt

$$\operatorname{tg} rn = \frac{1}{m\sqrt{2}}$$

und daraus folgt

$$m = \frac{1}{\sqrt{2} \operatorname{tg} rn}$$

Daraus

$$m = 2$$

folglich ist

$$n = 20 \text{ (wie oben).}$$

Vierte Methode. Ist, wie in Fig. 29, n richtig construirt, so sieht man sofort, dass es mit dem Durchschnittspunkt der beiden Zonen a, sd und ro zusammenfällt; es kann mithin nach Gl. 5 in folgender Weise berechnet werden:

Indices von d : 2 0 1 2 0 Indices von r : 1 1 0 1 1

Indices von a : 0 1 $\times \times \times$ 1 Indices von $a_{,,}$: 0 0 $\times \times \times$ 0

$$u v w = \bar{1} \ 0 \ 2 \quad u, v, w, = 1 \ \bar{1} \ 0$$

$$u v w: \bar{1} \ 0 \ 2 \ \bar{1} \ 0$$

$$u, v, w,: 1 \ \bar{1} \ 0 \ 1 \ \bar{1}$$

$$\text{Indices von } n: \quad 2 \ 2 \ 1$$

$$\text{Ableitungszahlen von } n: \quad \frac{1}{2} \ \frac{1}{2} \ 1 \text{ oder } 1 \ 1 \ 2$$

mithin

$$n = 20 \text{ (wie oben).}$$

Hieraus erkennt man augenfällig die Vortheile, die eine stereographische Projection bietet. Durch alleinige Anwendung des bekannten Schemas konnten auf Grund der Projection die Indices von n ermittelt werden.

Es erübrigt noch die Berechnung von v .

Erste Methode. Der Rechnung voraus geht die Construction. Um v stereographisch zu projiciren, verfährt man nach Aufgabe 2 und 4 des §. 4 S. 14 in folgender Weise: Der Winkel $rv = 180 - 160^\circ 54' = 19^\circ 6'$ ist gegeben. Man suche die Projection des Poles des Kreises rsr'' (in einer Hilfsfigur), trage den Winkel $19^\circ 6'$ von r aus nach a hin auf ra ab, verbinde den erhaltenen Punkt mit der gesuchten Projection des Poles, so schneidet die Verbindungslinie den Bogen rs in v . Legt man durch v und a einen grössten Kreis, so bemerkt man, dass er durch n geht, mithin kann v wieder in der einfachsten Weise als der Durchschnittspunkt der Zonen an und rs in folgender Weise berechnet werden.

Indices von r : 1 1 0 1 1 Indices von a : 1 0 0 1 0

Indices von s : 2 1 1 2 1 Indices von n : 2 2 1 2 2

$u v w = 1 \quad \bar{1} \quad \bar{1}$ $u, v, w, = 0 \quad \bar{1} \quad 2$

$u v w: 1 \quad \bar{1} \quad \bar{1} \quad 1 \quad \bar{1}$

$u, v, w,: 0 \quad \bar{1} \quad 2 \quad 0 \quad \bar{1}$

$\frac{3}{2} \quad \bar{1}$ oder 3 2 1

Die Ableitungszahlen für v sind mithin $\frac{1}{3} \frac{1}{2} 1$ oder $1 \frac{3}{2} 3$ und die Formel ist $sO_{\frac{3}{2}}$ oder (3 2 1).

Zweite Methode. v kann auch in folgender, viel weniger einfachen Weise berechnet werden. v liegt in der Zone rs , deren $u v w$ nach dem Vorhergehenden $1 \quad \bar{1} \quad \bar{1}$ ist. Die Indices von v seien $1 \quad \frac{1}{n} \quad \frac{1}{m}$, so muss nach Gl. 4 sein:

$$1 - \frac{1}{n} - \frac{1}{m} = 0$$

Daraus folgt

$$n = \frac{m}{m - 1}$$

Die Gleichung von v ist mithin

$$\cos va = \frac{m}{m-1} \cos va, = m \cos va''$$

Mithin

$$\frac{m-1}{m} = \frac{\cos va,}{\cos va}$$

In dem rechtwinkligen sphärischen Dreieck rar'' ist $ra = ar'' = 45^\circ$, folglich

$$\sin ra = \operatorname{ctg} vra \operatorname{tg} r''a$$

woraus

$$\begin{aligned} \operatorname{ctg} vra &= \cos 45 \\ vra &= 54^\circ 44' \end{aligned}$$

Aus den sphärischen Dreiecken vra und vra , folgt

$$\begin{aligned} \cos av &= \cos vr \cos ra + \sin vr \sin ra \cos vra \\ \cos a,v &= \cos vr \cos ra, - \sin vr \sin ra, \cos vra \end{aligned}$$

Durch Division folgt

$$\frac{\cos a,v}{\cos av} = \frac{\cos vr - \sin vr \cos vra}{\cos vr + \sin vr \cos vra} = \frac{1 - \operatorname{tg} vr \cos vra}{1 + \operatorname{tg} vr \cos vra}$$

Setzt man $vr = 19^\circ 6'$ und $vra = 54^\circ 44'$, so folgt

$$\frac{m-1}{m} = \frac{\cos a,v}{\cos av} = \frac{0,8}{1,2} = \frac{2}{3}$$

mithin

$$m = 3 \text{ und } n = \frac{3}{2}$$

daher

$$v = 30\frac{1}{2}$$

Dritte Methode. Endlich kann v auch mit Hilfe der Gl. 16 in folgender Weise berechnet werden. In dieser Gleichung setzen wir für hkl die Indices von v : $1 \frac{1}{n} \frac{1}{m}$ und für $h'k'l'$ die Indices von r : $1 \ 1 \ 0$ und erhalten:

$$\cos rv = \frac{1 + \frac{1}{n}}{\sqrt{2} \sqrt{1 + \frac{1}{n^2} + \frac{1}{m^2}}} = \frac{mn + m}{\sqrt{2} \sqrt{m^2 n^2 + m^2 + n^2}}$$

Setzt man $n = \frac{m}{m-1}$, so geht die Gleichung über in:

$$\cos rv = \frac{2m-1}{2\sqrt{m^2+1}-m}$$

Daraus folgt

$$\operatorname{tg} rv = \frac{\sqrt{3}}{2m-1}$$

und daraus

$$2m-1 = \frac{\sqrt{3}}{\operatorname{tg} rv}$$

Setzt man in diese Gleichung $rv = 19^\circ 6'$, so ergibt sich $2m-1 = 5$, mithin $m = 3$ und folglich $n = \frac{3}{2}$. Daher ist

$$v = 30\frac{3}{2}$$

Zweites Beispiel (Kobaltnickelkies, Kobaltkies).

Die Fig. 30a repräsentirt nach Phillips ¹⁾ eine Combination des Kobaltnickelkieses. Eine allgemeine Bestimmung lehrt, dass

Fig. 30.

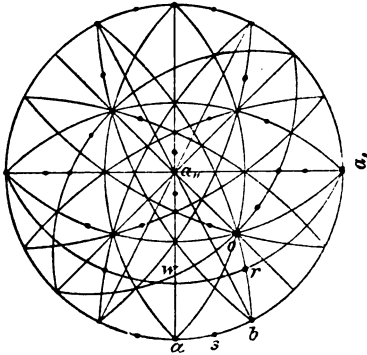
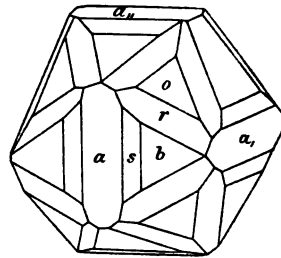


Fig. 30a.



b ein Pentagondodekaëder $\frac{\infty 0 n}{2}$

s ein Pentagondodekaëder $\frac{\infty 0 n'}{2}$

¹⁾ Vergl. Naumann, Lehrb. d. reinen u. angewandten Krystallographie 1830, Bd. 1, S. 250, Fig. 236.

a das Hexaëder $\infty 0 \infty$

o das Oktaëder 0

r ein Dyakisdodekaëder $\left[\frac{m 0 n}{2} \right]$ ist.

Bekannt durch Messung sind die Winkel

$$a : b = 153^{\circ} 26' \text{ (Fig. 30 a),}$$

$$a : s = 166^{\circ} \quad " \quad "$$

$$o : r = 163^{\circ} 27' \quad " \quad "$$

Die Fig. 30 gibt eine stereographische Projection des Krystals. Die gleichen Buchstaben bedeuten dieselben Flächen.

Zuerst bestimmen wir b.

Die Indices von b seien n 1 0. Die Gleichung von b ist daher

$$\frac{\cos ba}{n} = \frac{\cos ba}{1}$$

woraus

$$n = \frac{\cos ba}{\cos ba} = \frac{\cos ba}{\cos (90 - ba)} = \text{ctg } ba$$

Setzen wir für ba seinen Werth: $26^{\circ} 34'$, so erhalten wir $n = 2$.

Mithin ist

$$b = \frac{\infty 0_2}{2} \text{ oder } \pi (2 1 0)$$

Ebenso ergibt sich

$$s = \frac{\infty 0_4}{2} \text{ oder } \pi (4 1 0)$$

Wie im vorhergehenden Beispiele, so könnten auch hier noch 2 andere Methoden zur Berechnung von b und s verwendet werden und zwar die Gl. 10 und 11, da die 4 Flächen a ba, und die Rhombendodekaëderfläche mitten zwischen a und a, tautozonal und die Winkel derselben bekannt sind. Auch die Gl. 16 führt zum Ziel. Dieselbe liefert gleichfalls $n = \text{ctg } ba$.

Um r zu berechnen, bedenken wir zuerst, dass bro tautozonal sind. Die Indices von r seien $1 \frac{1}{n} \frac{1}{m}$

Indices von o: 1 1 1 1 1

Indices von b: 2 1 \times 0 \times 2 \times 1

1 2 1

Indices von r: 1 $\frac{1}{n}$ $\frac{1}{m}$, folglich vermöge Gl. 4:

$$-1 + \frac{2}{n} - \frac{1}{m} = 0, \text{ woraus}$$

$$n = \frac{2m}{m+1}$$

Die Indices von r sind mithin: $1 \frac{m+1}{2m} \frac{1}{m}$. Die Gleichung von r ist:

$$\frac{\cos ra}{1} = \frac{2m}{m+1} \cos ra, = m \cos ra,$$

Daraus folgt

$$\frac{m+1}{2m} = \frac{\cos ra,}{\cos ra}$$

In dem sphärischen Dreieck o b a,, ist $\angle ba,,o = 45 - aa,,b = 45 - ab = 18^\circ 26'$, ferner $ba,, = 90$ und $oa,, = 54^\circ 44'$ (Winkel, den die Normalen auf die Würfel- und Oktaëderfläche mit einander bilden). Daher

$$\cos ob = \sin oa,, \cos ba,,o = \sin 54^\circ 44' \cos 18^\circ 26'$$

$$ob = 39^\circ 14'$$

Aus dem sphärischen Dreieck o b a, folgt

$$\cos oa, = \cos ob \cos a,b + \sin ob \sin a,b \cos o b a,$$

woraus

$$\cos o b a, = \frac{\cos oa, - \cos ob \sin a b}{\sin ob \cos a b}$$

Nun ist $oa, = 54^\circ 44'$, $ab = 26^\circ 34'$, folglich ergibt sich

$$o b a, = 65^\circ 54' 10''$$

Aus den 2 sphärischen Dreiecken r a, b und r b a folgt

$$\cos ra, = \cos rb \cos a,b + \sin rb \sin a,b \cos r b a,$$

und

$$\cos ra = \cos rb \sin a b - \sin rb \sin a b \cos r b a,$$

Durch Division folgt

$$\frac{\cos ra}{\cos ra} = \frac{\lg ab - \lg rh \cos rba}{1 - \lg rh \cos rba \cdot \lg ab}$$

Setzt man

$$\lg \varphi = \lg rh \cos rba,$$

so ist

$$\frac{m-1}{2m} = \frac{\cos ra}{\cos ra} = \frac{\lg ab - \lg \varphi}{1 - \lg ab \lg \varphi} = \lg(ab - \varphi)$$

Da $rba = oba = 65^\circ 54' 10''$ ist, so ergibt sich

$$\varphi = 9^\circ 41', \text{ folglich } ab - \varphi = 36^\circ 13'$$

$$\frac{m-1}{2m} = 0.73823$$

$$m = 2.1439 = \frac{15}{7}$$

annähernd. Mithin

$$n = \frac{2m}{m+1} = \frac{15}{11}$$

Daher

$$r = \left[\frac{15 \cdot 0.18}{2} \right] \text{ oder } \pi (15 \ 11 \ 7)$$

Zweite Methode. Vermöge der Gl. 16 könnte man r in folgender Weise berechnen:

$$\cos or = \frac{n(m+1) + m}{\sqrt{3} \sqrt{n^2(m^2+1) + m^2}}$$

Setzt man in dieser Gleichung $n = \frac{2m}{m+1}$, so geht sie über in

$$\cos or = \frac{\sqrt{3}(m+1)}{\sqrt{5m^2 + 2m + 5}}$$

woraus

$$\lg or = \frac{\sqrt{2}(m-1)}{\sqrt{3}(m+1)}$$

woraus

$$m = \frac{1 + \sqrt{1.5} \lg or}{1 - \sqrt{1.5} \cdot \lg or}$$

Setzt man

$$\operatorname{tg} \alpha = \sqrt{1,5} \operatorname{tg} \text{or}$$

so ist

$$m = \operatorname{tg} (\alpha + 45)$$

Daraus folgt wieder annähernd

$$m = \frac{15}{7}$$

Legt man in Fig. 30 durch a, und r einen grössten Kreis, so bemerkt man, dass er nahezu durch w geht. w ist der Durchschnittspunkt der 2 Zonen aa,, und ow. Für w erhält man daher die Indices 2 0 1. Nimmt man an, a, r gehe genau durch w, so kann r als Durchschnittspunkt der 2 Zonen ob und wa, bestimmt werden. Mit Hilfe des bekannten Schemas findet man alsdann für r die Indices 4 3 2, folglich die Ableitungszahlen $\frac{1}{4} \frac{1}{3} \frac{1}{2}$ oder $1 \frac{4}{3} 2$ und diese kommen den oben berechneten sehr nahe. Nimmt man diese Parameter als richtig an, so kann man or aus der eben entwickelten Gleichung

$$\operatorname{tg} \text{or} = \frac{\sqrt{2} (m - 1)}{\sqrt{3} (m + 1)} \text{ berechnen. Die Rechnung ergibt}$$

$$\text{or} = 15^{\circ} 13' 30''$$

folglich

$$\text{o : r} = 164^{\circ} 46' 30''$$

Die Messung lieferte

$$\text{o : r} = 163^{\circ} 27'$$

$$\text{Differenz zwischen Rechnung und Messung} = 1^{\circ} 19' 30''$$

Diese Differenz ist zu gross, als dass man die Parameter $1 \frac{4}{3} 2$ als die richtigen ansehen könnte; folglich ist r nicht Durchschnittspunkt der Zonen ob und wa,

Die Combination weist sonach folgende Formen auf:

$$\begin{array}{ccccccc} \frac{\infty 0_2}{2} & . & 0 & . & \infty 0 \infty & . & \frac{\infty 0_4}{2} & . & \left[\frac{15 0_{11}}{7 2} \right] \\ b & . & o & . & a & . & s & . & r \\ \pi (2 1 0) & . & (1 1 1) & . & (1 0 0) & . & \pi (4 1 0) & . & \pi (15 11 7) \end{array}$$

Drittes Beispiel (Borach von Lüneburg ¹⁾)

Eine allgemeine Bestimmung lehrt, dass

$$q \text{ das Tetraëder} = \frac{0}{2}$$

$$q' \text{ das Tetraëder} = \frac{0}{2}$$

a der Würfel

r das Rhombendodekaëder $\propto 0$

$$t \text{ ein Trigondodekaëder} = \frac{mOn}{2}$$

$$\gamma' \text{ ein Hexakistetraëder } \frac{mOn}{2} \text{ ist.}$$

Bekannt ist der Winkel $\gamma'a_{\gamma\gamma} = 32^{\circ} 19'$ (Fig. 31) und
 $\gamma'\gamma'' = 27^{\circ} 40'$ (Fig. 31)

Fig. 31.

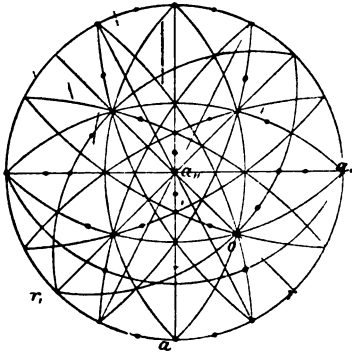
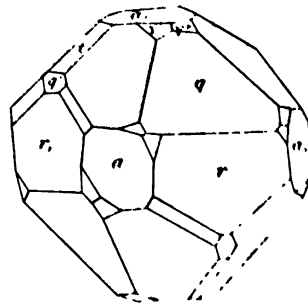


Fig. 31a.



Die Fig. 31 ist die stereographische Projection der Combination, die Fig. 31a eine parallelperspektivische Projection. t ergibt sich aus den beiden in t sich schneidenden Zonen rt und r, a_{γγ},

$$t = - \frac{20a}{2}$$

¹⁾ Vergl. Schrauf, Atlas der Krystallformen IV, 1873, Taf. 36, Fig. 2 und auch C. Klein, Einleitung in die Krystallberechnung, Stuttgart, Schweizerbart, 1876, S. 136, Fig. 8, Taf. 3.

Um γ' zu berechnen und zu construiren, tragen wir zunächst γ' in einer Hilfszeichnung ungefähr richtig ein und berechnen das Dreieck $\gamma' s a_{,,}$, in welchem bekannt sind die Winkel $\gamma' a_{,,} = 32^\circ 19'$ und $\gamma' s = \frac{\gamma' \gamma''}{2}$ und $\gamma' s a_{,,} = 90$.

Man findet

$$s a_{,,} = 29^\circ 24' 30''$$

mithin

$$r s = 60^\circ 35' 30'' = \sphericalangle s r, r$$

Da $s a_{,,}$ nun bekannt ist, so ist es leicht, den Punkt s richtig zu construiren, und da $s \gamma' = \frac{\gamma' \gamma''}{2}$ ist, so ist es auch leicht, den Punkt γ' richtig zu projeciren. In ähnlicher Weise construirt man die anderen Punkte.

Erste Methode. Die Gleichung des Punktes γ' , dessen Indices $\frac{1}{n} \frac{1}{m} 1$ sind, ist

$$\alpha) n \cos \gamma' a = m \cos \gamma' a_{,,} = \cos \gamma' a_{,,}$$

In dem sphärischen Dreieck $\gamma' r, a$ (in der Fig. 31 ist der Bogen $\gamma' a$ nicht gezeichnet) kennt man $\gamma' r = 90 - \gamma' s$, ferner $r' a = 45$ und $\gamma' r, a = \gamma' r, r = r s = 60^\circ 35' 30''$

Aus diesen Daten ergibt sich

$$\begin{aligned} \gamma' a &= 59^\circ 35' 20'' \\ \gamma' a r' &= 101^\circ 14' 20'' \end{aligned}$$

Nach Gl. α ist

$$n = \frac{\cos \gamma' a_{,,}}{\cos \gamma' a} = 0,1669 = \frac{5}{3} \text{ annähernd.}$$

Aus dem sphärischen Dreieck $\gamma' a a$, folgt

$$\begin{aligned} \cos \gamma' a_{,,} &= \sin \gamma' a \cos \gamma' a a, = \sin \gamma' a \cos (180 - \gamma' a r,) \\ \cos \gamma' a_{,,} &= \sin 59^\circ 35' 20'' \cos 78^\circ 45' 40'' \end{aligned}$$

Nach Gl. α ist

$$m = \frac{n \cos \gamma' a}{\cos \gamma' a_{,,}} = \frac{5}{3} \cdot 3 = 5$$

Zweite Methode. Vermittelst der Gl. 16 kann man auch m und n und zwar in folgender Weise berechnen.

$$\cos \gamma' a_{,,} = \frac{m n}{\sqrt{m^2 n^2 + m^2 + n^2}}, \text{ woraus } \operatorname{tg} \gamma' a_{,,} = \frac{\sqrt{m^2 + n^2}}{m n}$$

oder

$$\beta) \operatorname{tg}^2 \gamma' a_{,,} = \frac{1}{n^2} + \frac{1}{m^2}$$

Vermöge Gl. 16 S. 26 ist

$$\cos \gamma' \gamma'' = \frac{2 m n + m^2 n^2}{m^2 n^2 + m^2 + n^2}$$

woraus

$$\sin \frac{\gamma' \gamma''}{2} = \frac{m - n}{\sqrt{2} \sqrt{m^2 n^2 + m^2 + n^2}}$$

Aus diesen Gleichungen ergibt sich

$$\frac{\sqrt{2} \sin \frac{\gamma' \gamma''}{2}}{\cos \gamma' a_{,,}} = \frac{m - n}{m n} = \frac{1}{n} - \frac{1}{m}$$

Aus dieser Gleichung und der Gl. β findet man $m n$, sodann $m - n$ und endlich $m + n$; mithin auch m und n .

Setzt man

$$\cos \alpha = \frac{\sin \gamma' s}{\sin \gamma' a_{,,}} \text{ und } \operatorname{tg} \beta = \frac{\sin \gamma' a_{,,} \sin \alpha}{\cos \gamma' s}$$

und

$$\rho = \frac{-\sqrt{2} \operatorname{ctg} \gamma' a_{,,}}{\sin \gamma' a_{,,} \cos 2 \alpha \cos \beta}$$

so ist

$$m = \rho \sin (\beta + \gamma' s)$$

$$n = \rho \sin (\beta - \gamma' s)$$

Man ersieht sofort, dass die erste Methode bloss die Auflösung sphärischer Dreiecke, die letztere dagegen eine bedeutende Uebung im Umformen trigonometrischer Gleichungen erfordert.

Die Combination weist mithin folgende Formen auf:

$$\begin{array}{ccccccc} \frac{0}{2} & . & -\frac{0}{2} & . & \infty 0 \infty & . & \infty 0 & . & -\frac{s 0 s}{2} & . & +\frac{s 0 \frac{1}{2}}{2} \\ q & . & q' & . & a & . & r & . & t & . & \gamma' \\ x(111) & . & x(1\bar{1}1) & . & (100) & . & (110) & . & x(1\bar{1}2) & . & (315) \end{array}$$

Viertes Beispiel (Eisenkies von Traversella ¹⁾).

Die Fig. 32a ist eine parallelperspektivische Projection des Eisenkieses von Traversella. Die Fig. 32 eine stereographische Projection derjenigen Flächen, deren Berechnung auf der Auflösung sphärischer Dreiecke beruht. Auf eine vollständige Projection ist in diesem Falle verzichtet worden, damit die zu

Fig. 32.

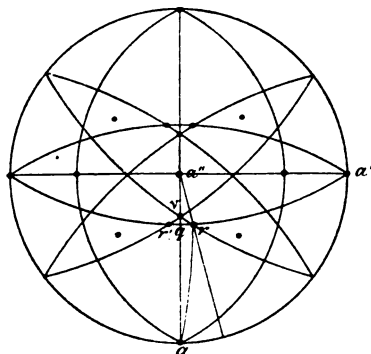
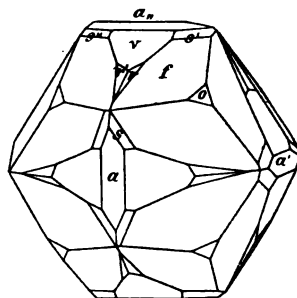


Fig. 32a.



berechnenden sphärischen Dreiecke dem Beschauer schneller in die Augen fallen.

Eine allgemeine Bestimmung lehrt, dass (s. Fig. 32a)

f, s und r drei Dyakisdodekaëder $\left[\frac{m \ 0 \ n}{2} \right]$

v ein Pentagondodekaëder $\frac{\infty \ 0 \ n}{2}$

a der Würfel $\infty \ 0 \ \infty$

o das Oktaëder 0 ist.

Bekannt sind die Winkel $A'' = 115^\circ 22'$ und $B'' = 149^\circ$ des Dyakisdodekaëders f (vergl. S. 56);

ferner $r : r' = 167^\circ 54'$ (Kante B'' des Dyakisdodekaëders r),
ferner $r : v = 171^\circ 52'$

¹⁾ Vergl. Strüver, Studi sulla Mineralogia Italiana, 1869, Taf. VI, Fig. 104 und auch Klein, Einleitung in die Krystallberechnung, Stuttgart 1876, S. 140, Fig. 1, Taf. 4.

Das Dyakisdodekaëder f wird mit Hilfe der S. 56 entwickelten Gleichungen

$$\begin{aligned} \operatorname{tg} \alpha &= \frac{\cos \frac{1}{2} B''}{\cos \frac{1}{2} A''} & \sin dz &= \frac{\cos \frac{1}{2} B''}{\sin \alpha} \\ n &= \frac{\operatorname{ctg} dz}{\cos \alpha} & m &= \frac{\operatorname{ctg} dz}{\sin \alpha} \end{aligned}$$

berechnet. Man findet $m = 3$ und $n = \frac{3}{2}$; mithin sind die

Indices von f: 2 1 3. Die Formel des Dyakisdodekaëders ist $\left[\frac{30\frac{3}{2}}{2} \right]$

ν liegt in der Zone (s. Fig. 32a) of ν . Daher ergeben sich vermöge der Zonengleichung 4 die Indices von ν : 1 0 2.

$$\nu = \frac{\infty 0 2}{2}$$

s' liegt in den Zonen $fs'a''$ und $s'\nu s''$ (s. Fig. 32a). Daher finden sich nach dem bekannten Schema und nach Gl. 4, S. 8 die Indices von s' : 2 1 4.

$$s' = \left[\frac{402}{2} \right]$$

Da $\nu = \frac{\infty 0 2}{2}$ gefunden worden ist, so kann der Winkel $a''\nu$ (Fig. 32) vermöge Gl. 16, S. 26 und auch vermöge der Gl. 2, S. 4 gefunden werden. Die Rechnung ergibt

$$a''\nu = 26^\circ 34'$$

Um nun r zu finden, legen wir durch r und a' (s. Fig. 32) einen grössten Kreis und berechnen das rechtwinklige sphärische Dreieck $r\nu q$, in dem bekannt sind die Winkel $r q = \frac{r r'}{2} = 6^\circ 3'$ und $r\nu = 8^\circ 8'$. Die Rechnung ergibt

$$q\nu = 5^\circ 26'$$

Es seien die Indices von r : $\frac{1}{n} \frac{1}{m} 1$ so ist die Gleichung von r :

$$n \cos ra = m \cos r a' = \cos r a''$$

Aus den rechtwinkligen sphärischen Dreiecken

rqa'' und rqa folgt

$\cos ra'' = \cos rq \cos qa''$ und

$\cos ra = \cos rq \cos qa$

Da $a''q = a''v + vq = 32^\circ$ ist, so folgt

$$n = \frac{\cos ra''}{\cos ra} = \frac{\cos rq \cos qa''}{\cos rq \cos qa} = \operatorname{ctg} qa'' = 1,600 = \frac{8}{5}$$

$$m = \frac{\cos ra''}{\cos ra'} = \frac{\cos rq \cos qa''}{\sin rq} = \operatorname{ctg} rq \cos qa'' = 8$$

Daher ist

$$r = \left[\frac{80 \frac{8}{5}}{2} \right]. \text{ Die Indices von } r \text{ sind } 518.$$

Die Combination weist mithin auf:

$$\left[\frac{80 \frac{3}{2}}{2} \right] \cdot \infty 0_2 \cdot \left[\frac{40_2}{2} \right] \cdot \left[\frac{80 \frac{8}{5}}{2} \right] \cdot \infty 0 \infty \cdot 0$$

f v s r a o

Fünftes Beispiel. (Baryumnitrat.)¹⁾

Baryumnitrat krystallisirt nach den Untersuchungen von W. J. Lewis tetartoëdrisch, eine Thatsache, die die früheren

Fig. 33.

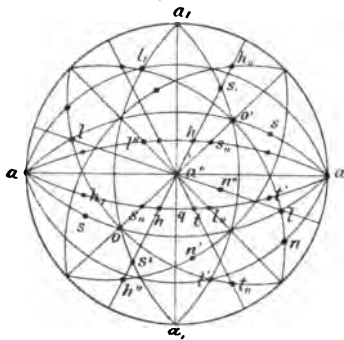
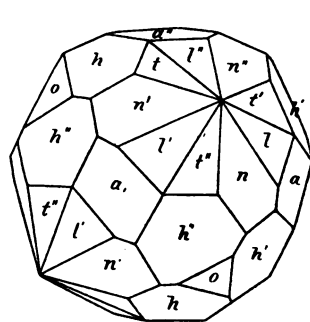


Fig. 33a.



Untersuchungen von Scacchi²⁾ und Baumhauer³⁾ vollkommen bestätigt.

¹⁾ S. Zeitschrift für Krystallographie und Mineralogie, II. Band, 1. Heft, 1877, S. 64, Taf. 4, Fig. 1 u. 2.

²⁾ Poggendorfs Ann. d. Phys. 109, 366.

³⁾ Zeitschrift für Krystallographie und Mineralogie, 1. Heft, S. 51.

Die Fig. 33a gibt ein parallelperspectivisches Bild des Krystals; die Fig. 33 ist die stereographische Projection. In der Fig. 33a fehlen die Flächen s des negativen Trigondodekaeders: $-\frac{mOm}{2}$. Eine allgemeine Bestimmung lehrt, dass

a der Würfel $\infty O \infty$

t ein tetraëdrisches Pentagondodekaëder $+\frac{mOn}{4} l$

n „ „ „ $+\frac{mOn}{4} r$

h „ „ „ $-\frac{mOn}{4} r$

o das negative Tetraëder $-\frac{O}{2}$

l ein positives Trigondodekaëder $+\frac{mOm}{2}$

s (Fig. 33) ein negatives Trigondodekaëder $-\frac{mOm}{2}$

Durch Messung wurden folgende Winkel ermittelt (s. Fig 33):

$$\begin{array}{ll} at, = 29^{\circ} 17' & an = 32^{\circ} 9' \\ at,, = 64^{\circ} 1' & an, = 80^{\circ} 22' \\ at = 77^{\circ} 14' & on,, = 73^{\circ} 8' \end{array}$$

Ausserdem ist durch Messung ermittelt worden, dass l in den Zonen ao und nlo'

dass ferner s,, in den Zonen oa,, und at und

dass h in den Zonen s,h und at liegt.

Berechnung von t.

Die Indices von t seien $\frac{1}{n} \frac{1}{m} l$, dann sind

die Indices von t, : $\frac{1}{m} l \frac{1}{n}$

Die Gleichung von t ist: $n \cos a, t = m \cos at = \cos a,, t$

Die Gleichung von t, ist: $m \cos a, t, = \cos at, = n \cos a,, t,$

Aus der zweiten Gleichung folgt $n = \frac{\cos at,}{\cos a,, t,}$

Man nehme ein Hexakisoktaëder zur Hand und vergleiche die Lage der drei Flächen $t\ t$, und $t_{,,}$ so bemerkt man sofort, dass $a_{,,}t_{,,} = a\ t_{,,}$ ist, folglich ist

$$n = \frac{\cos a\ t_{,,}}{\cos a\ t_{,,}} = 1,991 = 2 \text{ annähernd.}$$

Aus der ersten der obigen Gleichungen folgt $m = \frac{\cos a_{,,}t}{\cos a\ t}$

Mit Hilfe eines Hexakisoktaëders findet man wieder $a_{,,}t = a\ t$, mithin ist

$$m = \frac{\cos a\ t_{,,}}{\cos a\ t} = 3,947 = 4 \text{ annähernd.}$$

Mithin ist

$$t = + \frac{402}{4} 1$$

Nun kann man leicht finden, dass die Flächen $a\ t, t$ (Fig. 33) tautozonal sind.

Berechnung von n.

Die Indices von n seien $\frac{1}{n} 1 \frac{1}{m}$

Die Gleichung von n ist: $n \cos a_{,,}n = \cos a\ n = m \cos a_{,,}n$

Aus dieser Gleichung folgt:

$$m = \frac{\cos a\ n}{\cos a_{,,}n}. \text{ Da aber } a_{,,}n = a\ n, \text{ ist, so folgt}$$

$$m = \frac{\cos a\ n}{\cos a\ n} = 5,06 = 5 \text{ annähernd.}$$

Nun hat man, um n zu finden, zunächst das Dreieck $o\ n_{,,}a_{,,}$ zu berechnen. In diesem Dreieck kennt man

$$o\ n_{,,} = 73^{\circ} 8' \text{ und } o\ a_{,,} = 54^{\circ} 44' \text{ und } a_{,,}n_{,,} = a\ n = 32^{\circ} 9'$$

Mithin ergibt sich

$$o\ a_{,,}n_{,,} = 117^{\circ} 13' \text{ und folglich } n_{,,}a_{,,}a = 17^{\circ} 47'$$

Aus dem sphärischen Dreieck $a\ n_{,,}a_{,,}$ folgt nun:

$$a\ n_{,,} = 59^{\circ} 33' 30'' = a_{,,}n$$

Aus der obigen Gleichung folgt

$$n = \frac{\cos a\ n}{\cos a_{,,}n} = \frac{\cos a\ n}{\cos a\ n_{,,}} = 1,671$$

Verwandelt man 1,671 in einen Kettenbruch, so erhält man als zweiten Näherungswerth $\frac{5}{3}$. Mithin ist die Ableitungszahl $n = \frac{5}{3}$ und

$$n = + \frac{5O_{\frac{5}{3}}}{4} r$$

Die anderen Flächen l s und h ergeben sich aus den oben angegebenen Zonen vermöge der Gl. 5, S. 9. Man findet:

$$l = + \frac{3O_3}{2}$$

$$s = - \frac{2O_2}{2} \text{ und}$$

$$h = - \frac{4O_2}{4} r$$

Berechnet man mit Hilfe der Gl. 2, S. 4 oder der Gl. 16, S. 26 aus den gefundenen Indices die beobachteten Winkel und stellt die Resultate gegenüber, so ergibt sich:

Beobachtet:	Berechnet:	Differenz zwischen Beobachtung und Rechnung:
$at, = 29^\circ 17'$	$29^\circ 12'$	$+ 5'$
$at,, = 64^\circ 1'$	$64^\circ 7'$	$- 6'$
$at = 77^\circ 14'$	$77^\circ 24'$	$- 10'$
$an = 32^\circ 9'$	$32^\circ 19'$	$- 10'$
$an, = 80^\circ 22'$	$80^\circ 16'$	$+ 6'$
$on,, = 73^\circ 8'$	$72^\circ 58' 30''$	$+ 9\frac{1}{2}'$

Die Combination weist folgende Gestalten auf:

$$\begin{aligned} \infty O \infty . + \frac{4O_2}{4} l . + \frac{5O_{\frac{5}{3}}}{4} r . - \frac{4O_2}{4} r . - \frac{O}{2} \\ a \quad . \quad t \quad . \quad n \quad . \quad h \quad . \quad o \\ (100) . \times \pi (214) . \times \pi (351) . \times \pi (2\bar{1}4) . \times (1\bar{1}1) \\ . + \frac{3O_3}{2} . - \frac{2O_2}{2} \\ . \quad l \quad . \quad s \\ . \times (311) . \times (2\bar{1}1) \end{aligned}$$

Tetragonales Krystalsystem.

Berechnung der einfachen Gestalten.

§. 10.

Berechnung der ditetragonalen Pyramiden.

Die Austrittspunkte der Axen sind durch x , y und z bezeichnet.

Die Polkante, die den Endpunkt der x -Axe mit dem Endpunkt der z -Axe verbindet, nennen wir Z , die darauffolgende Polkante Y und die Randkante X (s. Fig. 34 a).

Fig. 34.

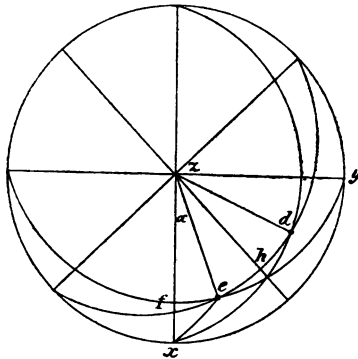
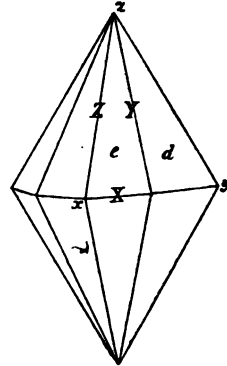


Fig. 34 a.



In der Fig. 34 sei e die Projection der ditetragonalen Pyramidenfläche

$$1 \frac{1}{n} \frac{1}{m} \text{ und d die der Fläche } \frac{1}{n} 1 \frac{1}{m}$$

Die Gleichung der Fläche e ist

$$\cos ex = n \cos ey = mc \cos ez$$

Wir haben nun $\cos ex$, $\cos ey$ und $\cos ez$ zu ermitteln.

a) Gegeben Z und Y, gesucht die Indices der Fläche e.

$$\text{Es ist } ef = 90 - \frac{Z}{2} \text{ und } eh = 90 - \frac{Y}{2}$$

Aus dem rechtwinkligen sphärischen Dreieck efz folgt

$$\sin fe = \sin \alpha \sin ze$$

Aus dem rechtwinkligen sphärischen Dreieck ehz folgt

$$\sin eh = \sin (45 - \alpha) \sin ze$$

Aus beiden Gleichungen folgt durch Division

$$\frac{\sin (45 - \alpha)}{\sin \alpha} = \frac{\cos \frac{1}{2} Y}{\cos \frac{1}{2} Z}$$

und daraus

$$\operatorname{ctg} \alpha - 1 = \frac{\cos \frac{1}{2} Y}{\cos \frac{1}{2} Z \cos 45}$$

Aus dem sphärischen Dreieck exz folgt

$$\cos ex = \sin ez \cos \alpha$$

Aus dem rechtwinkligen sphärischen Dreieck efz folgt

$$\sin ez = \frac{\sin ef}{\sin \alpha}$$

Aus beiden Gleichungen folgt

$$\cos ex = \frac{\sin ef}{\sin \alpha} \cos \alpha = \sin ef \cdot \operatorname{ctg} \alpha = \cos \frac{1}{2} Z \operatorname{ctg} \alpha.$$

Da $ey = 90 - ef = \frac{Z}{2}$ ist, so folgt

$$n = \frac{\cos ex}{\cos ey} = \frac{\cos \frac{1}{2} Z \operatorname{ctg} \alpha}{\cos \frac{1}{2} Z} = \operatorname{ctg} \alpha$$

Mithin ist

$$n - 1 = \frac{\cos \frac{1}{2} Y}{\cos \frac{1}{2} Z \cos 45}$$

Aus dem rechtwinkligen sphärischen Dreieck exf folgt

$$\cos ex = \cos fx \sin \frac{1}{2} Z$$

Setzt man in diese Gleichung den für $\cos ex$ oben gefundenen Werth $\cos \frac{1}{2} Z \operatorname{ctg} \alpha$ so ergibt sich

$$\cos \frac{1}{2} Z \operatorname{ctg} \alpha = \cos fx \sin \frac{1}{2} Z$$

woraus

$$\cos fx = \operatorname{ctg} \frac{1}{2} Z \cdot \operatorname{ctg} \alpha = \operatorname{ctg} \frac{1}{2} Z \cdot n$$

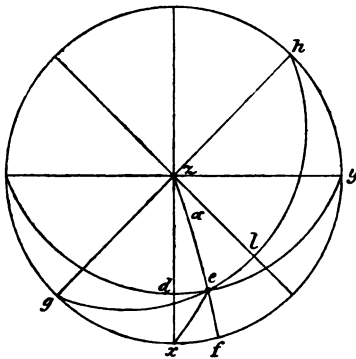
$$\text{Da } mc = \frac{\cos ex}{\cos ez} = \frac{\cos fx \sin \frac{1}{2} Z}{\cos fz \sin \frac{1}{2} Z} = \frac{\cos fx}{\sin fx} = \operatorname{ctg} fx \text{ so}$$

hat man, um m und n zu finden, folgende Gleichungen zu berechnen

$$1) \ n - 1 = \frac{\cos \frac{1}{2} Y}{\cos \frac{1}{2} Z \cos 45} \quad \cos fx = n \operatorname{ctg} \frac{1}{2} Z \quad mc = \operatorname{ctg} fx$$

b) Gegeben X und Z , gesucht die Indices der Fläche e .

Fig. 35.



In der Fig. 35 repräsentirt e wieder die ditragonale Pyramidenfläche $1 \frac{1}{n} \frac{1}{m}$ und es

ist $ed = 90 - \frac{1}{2} Z$ und $ef = 90 - \frac{1}{2} X$. Die Gleichung der Fläche e ist

$$\cos ex = n \cos ey = mc \cos ez$$

Aus dem rechtwinkligen sphärischen Dreieck edz folgt

$$\cos ez = \cos zd \cos de$$

oder

$$\begin{aligned} \cos ez &= \cos zd \sin \frac{1}{2} Z \\ &= \sin dx \sin \frac{1}{2} Z \end{aligned}$$

oder da $ez = 90 - ef = \frac{1}{2} X$ ist:

$$\sin dx = \frac{\cos \frac{1}{2} X}{\sin \frac{1}{2} Z}$$

Aus dem rechtwinkligen sphärischen Dreieck exd folgt

$$\cos ex = \cos dx \sin \frac{1}{2} Z$$

Da $ey = 90 - ed = \frac{Z}{2}$ ist, so folgt

$$n = \frac{\cos ex}{\cos ey} = \frac{\cos dx \sin \frac{1}{2} Z}{\cos \frac{1}{2} Z} = \operatorname{tg} \frac{1}{2} Z \cos dx$$

$$mc = \frac{\cos ex}{\cos ez} = \frac{\cos dx \sin \frac{1}{2} Z}{\sin dx \cdot \sin \frac{1}{2} Z} = \frac{\cos dx}{\sin dx} = \operatorname{ctg} dx$$

Um daher m und n zu finden, hat man folgende Gleichungen zu berechnen

$$2) \sin dx = \frac{\cos \frac{1}{2} X}{\sin \frac{1}{2} Z} \quad n = \operatorname{tg} \frac{1}{2} Z \cos dx \quad mc = \operatorname{ctg} dx$$

c) Gegeben X und Y , gesucht die Indices der Fläche e .

In der Fig. 35 sei $ef = 90 - \frac{1}{2} X$ und $el = 90 - \frac{Y}{2}$

Aus dem rechtwinklig sphärischen Dreieck $e zl$ folgt

$$\sin el = \sin \alpha \sin ez$$

woraus

$$\sin \alpha = \frac{\cos \frac{1}{2} Y}{\sin \frac{1}{2} X}$$

Aus dem sphärischen Dreieck exz folgt

$$\cos ex = \sin ez \cos (45 - \alpha)$$

Aus dem sphärischen Dreieck eyz folgt

$$\cos ey = \sin ez \cos (45 + \alpha)$$

oder

$$\cos ex = \sin \frac{1}{2} X \cos (45 - \alpha)$$

$$\cos ey = \sin \frac{1}{2} X \cos (45 + \alpha)$$

Die Gleichung von e ist $\cos ex = n \cos ey = mc \cos ez$

$$n = \frac{\cos ex}{\cos ey} = \frac{\cos (45 - \alpha)}{\cos (45 + \alpha)} = \operatorname{tg} (45 + \alpha)$$

$$mc = \frac{\cos ex}{\cos ez} = \frac{\sin \frac{1}{2} X \cos (45 - \alpha)}{\cos \frac{1}{2} X} = \operatorname{tg} \frac{1}{2} X \cos (45 - \alpha)$$

Um daher m und n zu finden, hat man folgende Gleichungen zu berechnen

$$3) \begin{cases} \sin \alpha = \frac{\cos \frac{1}{2} Y}{\sin \frac{1}{2} X} \\ n = \operatorname{tg} (45 + \alpha) \quad m c = \operatorname{tg} \frac{1}{2} X \sin (45 + \alpha) \end{cases}$$

Beispiel: Am Idokras ist $Y = 146^{\circ} 20'$, $X = 80^{\circ} 41'$ und $c = 0,537$.

$$\begin{array}{ll} \lg \cos \frac{1}{2} Y = 9,4618 & \lg n = \lg \operatorname{tg} (45 + \alpha) = 0,4775 \\ E \lg \sin \frac{1}{2} X = 0,1889 & n = 3 \\ \hline \lg \sin \alpha = 9,6507 & \lg \operatorname{tg} \frac{1}{2} X = 9,9291 \\ \alpha = 26^{\circ} 35' & \lg \sin (45 + \alpha) = 9,9772 \\ 45 + \alpha = 71^{\circ} 35' & \lg m c = 9,9063 \\ & m c = 0,806 \\ & m = \frac{0,806}{c} = \frac{0,806}{0,537} = \frac{3}{2} \end{array}$$

Die Indices der ditetragonalen Pyramidenfläche e sind daher $1 \frac{1}{3} \frac{2}{3}$ oder $3 \ 1 \ 2$, die Formel der ditetragonalen Pyramide ist $\frac{8}{3} P_3$

Berechnung der Protopyramiden mP .

Die zur Berechnung der Protopyramiden dienenden Gleichungen können wir aus den im Vorhergehenden entwickelten Gleichungen erhalten, wenn wir $Y = 180$, folglich $\frac{Y}{2} = 90^{\circ}$ setzen.

a) Gegeben die Polkante Z .

Setzen wir in den Gl. 1, S. 88 für $\frac{Y}{2}$ den Werth 90° , so erhalten wir $n = 1$ und

$$1) \cos f x = \operatorname{ctg} \frac{1}{2} Z \quad m c = \operatorname{ctg} f x$$

b) Gegeben die Randkante X.

Setzen wir in den Gl. 3, S. 90 $\frac{Y}{2} = 90$, so erhalten wir $\alpha = 0$ und

$$2) mc = \operatorname{tg} \frac{1}{2} \dot{X} \cdot \sin 45$$

Berechnung der Deuteropyramiden $mP\infty$.

Der Polkantenwinkel wird jetzt durch Y, der Randkantenwinkel durch X bezeichnet.

a) Gegeben Y, gesucht die Indices der Fläche e.

In der Fig. 36 sei e die Projection der Deuteropyramidenfläche $10\frac{1}{m}$ oder $m01$

Fig. 36.

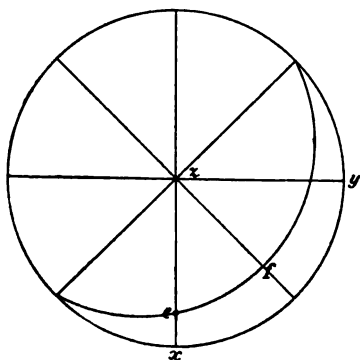
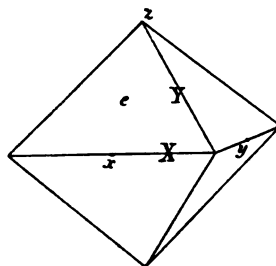


Fig. 36 a.



Die Gleichung der Fläche e ist

$$\cos ex = mc \cos ez$$

woraus

$$mc = \frac{\cos ex}{\cos ez} = \frac{\sin ez}{\cos ez} = \operatorname{tg} ez$$

Aus dem rechtwinkligen sphärischen Dreieck efz in welchem $ef = 90 - \frac{Y}{2}$ und $\angle ezf = 45^\circ$ ist, folgt

$$\sin ez = \frac{\cos \frac{1}{2} Y}{\sin 45}$$

Um daher m zu finden, berechne man

$$1) \sin ez = \frac{\cos \frac{1}{2} Y}{\sin 45} \quad mc = \operatorname{tg} ez.$$

Es sei z. B. $\frac{Y}{2} = 50^{\circ} 54'$ und $c = 0,98525$.

$$\begin{array}{ll} \lg \cos \frac{1}{2} Y = 9,7997 & \lg \operatorname{tg} ez = 0,2944 \\ \operatorname{Elg} \sin 45 = 0,1505 & \operatorname{Elg} c = 0,0065 \\ \lg \sin ez = 9,9502 & \lg m = 0,3009 \\ ez = 63^{\circ} 5' & m = 2 \end{array}$$

Die Indices der Deuteropyramidenfläche e sind daher $10\frac{1}{2}$ oder 201 . Die Formel der Deuteropyramide ist $2P\infty$

b) Gegeben X .

In der Fig. 36 ist $ex = 90 - \frac{X}{2}$. Daher, da

$$mc = \frac{\cos ex}{\cos ez} = \frac{\sin ez}{\cos ez} \text{ ist,}$$

$$2) mc = \operatorname{tg} ez = \operatorname{ctg} ex = \operatorname{tg} \frac{X}{2}$$

Berechnung der ditetragonalen Prismen ∞Pn .

Aus den Formeln, die für die ditetragonalen Pyramiden entwickelt worden sind, erhalten wir die für die ditetragonalen Prismen gültigen Gleichungen, indem wir dort $X = 180^{\circ}$ setzen.

a) Gegeben Z .

Setzen wir in den Gl. 2, S. 89 $\frac{X}{2} = 90$, so ist $\sin dx = 0$, mithin $dx = 0$, folglich

$$1) n = \operatorname{tg} \frac{1}{2} Z$$

b) Gegeben Y .

Setzen wir in den Gl. 3, S. 90 $\frac{X}{2} = 90$, so wird

$\sin \alpha = \cos \frac{1}{2} Y$, mithin $\alpha = 90 - \frac{1}{2} Y$ und folglich:

$$2) n = \operatorname{tg} (135 - \frac{1}{2} Y)$$

Berechnung der hemiëdrischen Körper.

§. 11.

Berechnung der Skalenoëder $\pm \frac{mPn}{2}$

In der Fig. 37 repräsentirt e die tetragonale Skalenoëderfläche $1 \frac{1}{n} \frac{1}{m}$. Die Gleichung der Fläche e ist

$$\cos ex = n \cos ey = mc \cos ez$$

woraus

$$n = \frac{\cos ex}{\cos ey} \quad mc = \frac{\cos ex}{\cos ez} = \frac{n \cos ey}{\cos ez}$$

Fig. 37.

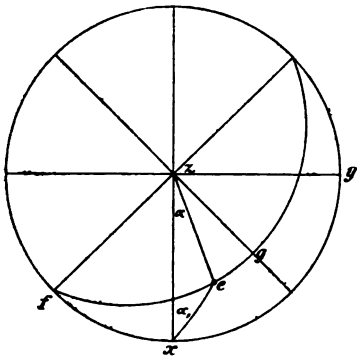
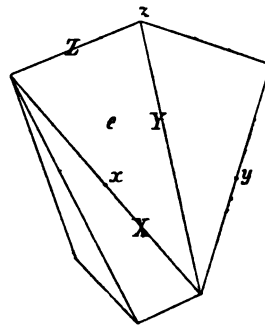


Fig. 37a.



Wir haben drei Fälle zu unterscheiden.

a) Gegeben X und Y, gesucht die Indices der Fläche e.

Es sei in der Fig. 37 $ex = 90 - \frac{X}{2}$ und $eg = 90 - \frac{Y}{2}$

Aus dem sphärischen Dreieck exz folgt

$$d) \cos ex = \sin ez \cos \alpha$$

Aus dem rechtwinkligen sphärischen Dreieck ezg folgt

$$\sin eg = \sin ez \sin (45 - \alpha)$$

Aus beiden Gleichungen erhält man durch Division

$$\frac{\sin (45 - \alpha)}{\cos \alpha} = \frac{\cos \frac{1}{2} Y}{\sin \frac{1}{2} X}$$

und daraus folgt

$$e) 1 - \operatorname{tg} \alpha = \frac{\cos \frac{1}{2} Y}{\sin \frac{1}{2} X \cos 45}$$

Aus dem Dreieck eyz folgt

$\cos ey = \sin ez \cos (90 - \alpha) = \sin ez \sin \alpha$ oder für $\sin ez$ den Werth aus der Gl. d substituiert:

$$\cos ey = \frac{\cos ex}{\cos \alpha} \sin \alpha = \sin \frac{X}{2} \operatorname{tg} \alpha$$

Nun ist

$$f) n = \frac{\cos ex}{\cos ey} = \frac{\sin \frac{1}{2} X}{\sin \frac{1}{2} X \operatorname{tg} \alpha} = \operatorname{ctg} \alpha$$

Setzt man diesen Werth für $\operatorname{ctg} \alpha$ in die Gl. e, so ergibt sich

$$g) 1 - \frac{1}{n} = \frac{n - 1}{n} = \frac{\cos \frac{1}{2} Y}{\sin \frac{1}{2} X \cos 45}$$

Aus dem sphärischen Dreieck exf , in welchem $fx = 45$
 $fe = 90 - eg = \frac{Y}{2}$ und $ex = 90 - \frac{X}{2}$ und $\sphericalangle fxe = 90 + \alpha$,
 ist, folgt

$$\cos ef = \cos ex \cos 45 - \sin ex \sin 45 \sin \alpha,$$

oder

$$\frac{\cos \frac{Y}{2}}{\cos 45} = \sin \frac{X}{2} - \cos \frac{X}{2} \sin \alpha,$$

Setzt man für $\frac{\cos \frac{Y}{2}}{\cos 45}$ den aus Gl. g folgenden Werth, so ergibt sich

$$\frac{n - 1}{n} \sin \frac{X}{2} = \sin \frac{X}{2} - \cos \frac{X}{2} \sin \alpha,$$

Woraus

$$\frac{n-1}{n} = 1 - \operatorname{ctg} \frac{X}{2} \sin \alpha,$$

$$h) \sin \alpha = \frac{\operatorname{tg} \frac{1}{2} X}{n}$$

Nun ist

$$mc = \frac{n \cos ey}{\cos ez} = \frac{n \sin \frac{1}{2} X \cdot \operatorname{tg} \alpha}{\cos ez}$$

Vermöge der Gl. f ist $n \operatorname{tg} \alpha = 1$. Aus dem Dreieck eax folgt $\cos ez = \sin ex \cos \alpha$. Dies substituirt gibt

$$mc = \frac{\sin \frac{1}{2} X}{\sin ex \cos \alpha} = \frac{\sin \frac{1}{2} X}{\cos \frac{1}{2} X \cos \alpha} = \operatorname{tg} \frac{1}{2} X \cdot \frac{1}{\cos \alpha},$$

Setzt man für $\operatorname{tg} \frac{1}{2} X$ den aus Gl. h folgenden Werth, so ergibt sich

$$mc = n \cdot \operatorname{tg} \alpha,$$

Um m und n zu finden, hat man mithin zu berechnen

$$a) \begin{cases} \frac{n-1}{n} = \frac{\cos \frac{1}{2} Y}{\sin \frac{1}{2} X \cdot \cos 45} \\ \sin \alpha = \frac{1}{n} \operatorname{tg} \frac{1}{2} X \quad \frac{mc}{n} = \operatorname{tg} \alpha, \end{cases}$$

b) Gegeben X und Z , gesucht die Indices der Fläche e .

In der Fig. 38 sei e die Projection der tetragonalen Skalenöderfläche $1 \frac{1}{n} \frac{1}{m}$. Die Gleichung der Fläche e ist:

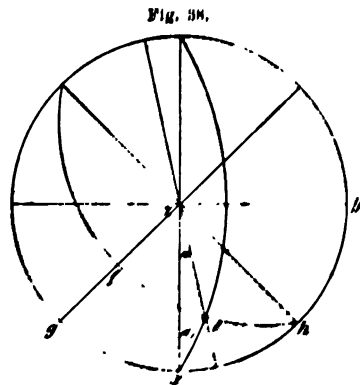
$$\cos ex = n \cos ey = mc \cos ez$$

Es sei in der Fig. 38:

$$ex = 90 - \frac{X}{2}$$

und

$$ef = 90 - \frac{Z}{2}$$



Aus dem rechtwinkligen sphärischen Dreieck efz folgt

$$\sin ef = \sin (45 + \alpha) \sin ez$$

Aus dem sphärischen Dreieck exz folgt

$$\cos ex = \cos \alpha \cdot \sin ez$$

Durch Division beider Gleichungen ergibt sich:

$$\frac{\sin (45 + \alpha)}{\cos \alpha} = \frac{\cos \frac{1}{2} Z}{\sin \frac{1}{2} X}$$

und daraus folgt

$$d) 1 + \operatorname{tg} \alpha = \frac{\cos \frac{1}{2} Z}{\sin \frac{1}{2} X \cos 45}$$

Aus dem Dreieck eyz folgt

$$\cos ey = \sin ez \sin \alpha$$

$$\cos ey = \frac{\cos ex}{\cos \alpha} \sin \alpha = \operatorname{tg} \alpha \cos ex$$

$$e) n = \frac{\cos ex}{\cos ey} = \frac{\cos ex}{\operatorname{tg} \alpha \cos ex} = \frac{1}{\operatorname{tg} \alpha}$$

Setzt man diesen Werth für $\operatorname{tg} \alpha$ in die Gl. d, so ergibt sich

$$f) 1 + \frac{1}{n} = \frac{\cos \frac{1}{2} Z}{\sin \frac{1}{2} X \cos 45}$$

Aus dem sphärischen Dreieck ehx , in welchem

$$eh = 90 - ef = \frac{Z}{2} \text{ und } xh = 45 \text{ ist, folgt}$$

$$\cos \frac{Z}{2} = \cos 45 \cos ex + \sin 45 \sin ex \sin \alpha,$$

woraus

$$\frac{\cos \frac{Z}{2}}{\cos 45} = \sin \frac{X}{2} + \cos \frac{X}{2} \sin \alpha,$$

Setzt man diesen Werth für $\frac{\cos \frac{Z}{2}}{\cos 45}$ in Gl. f, so ergibt sich

$$\frac{n + 1}{n} \sin \frac{1}{2} X = \sin \frac{1}{2} X + \cos \frac{X}{2} \sin \alpha,$$

woraus

$$g) \sin \alpha = \frac{\operatorname{tg} \frac{1}{2} X}{n}$$

Nun ist

$$m c = \frac{n \cos e y}{\cos e z} = \frac{n \operatorname{tg} \alpha \sin \frac{1}{2} X}{\cos \frac{1}{2} X \cos \alpha},$$

Da vermöge Gl. e: $n \operatorname{tg} \alpha = 1$ ist, so folgt

$$m c = \frac{\operatorname{tg} \frac{1}{2} X}{\cos \alpha},$$

Da vermöge Gl. g: $\operatorname{tg} \frac{1}{2} X = n \sin \alpha$, ist, so folgt

$$m c = n \operatorname{tg} \alpha,$$

Um daher m und n zu finden, hat man folgende Gleichungen zu berechnen

$$2) \left\{ \begin{array}{l} 1 + \frac{1}{n} = \frac{\cos \frac{1}{2} Z}{\sin \frac{1}{2} X \cos 45} \\ \sin \alpha = \frac{\operatorname{tg} \frac{1}{2} X}{n} \quad m c = n \operatorname{tg} \alpha, \end{array} \right.$$

c) Gegeben Y und Z , gesucht die Indices der Fläche e .

In der Fig. 38 sei e die Projection der tetragonalen Skalenöderfläche $1 \frac{1}{n} \frac{1}{m}$. Die Gleichung der Fläche e ist alsdann:

$$\cos e x = n \cos e y = m c \cos e z$$

Auf der Linie $z h$ zeichne man den Punkt k so, dass $g e k$ tautozonal sind. Dann ist $e k = 90 - \frac{Y}{2}$ und $e f = 90 - \frac{Z}{2}$

Aus dem sphärischen Dreieck $e g z$ folgt

$$\cos e g = \sin e z \sin \beta \text{ wenn } \beta = e z h \text{ ist.}$$

Aus dem sphärischen Dreieck $e h z$ folgt

$$\cos e h = \sin e z \cos \beta$$

Durch Division folgt

$$\operatorname{tg} \beta = \frac{\cos \frac{1}{2} Y}{\cos \frac{1}{2} Z}$$

Aus dem sphärischen Dreieck $e y z$ folgt

$$\cos e y = \sin e z \cos (45 + \beta)$$

Aus dem sphärischen Dreieck $e x z$ folgt

$$\cos e x = \sin e z \cos (45 - \beta)$$

Aus beiden Gleichungen folgt durch Division

$$n = \frac{\cos e x}{\cos e y} = \frac{\cos (45 - \beta)}{\cos (45 + \beta)} = \operatorname{tg} (45 - \beta)$$

Aus dem sphärischen Dreieck ehk folgt

$$\cos eh = \cos ek \cos kh$$

und daraus ergibt sich

$$\cos kh = \frac{\cos \frac{1}{2} Z}{\sin \frac{1}{2} Y}$$

Nun ist

$$m c = \frac{n \cos ey}{\cos ez} = \frac{n \sin ez \cos (45 + \beta)}{\cos ez} = \operatorname{tg} ez \sin (45 + \beta)$$

oder

$$m c = \cos 45 \operatorname{tg} ez \cos \beta (1 + \operatorname{tg} \beta)$$

Aus dem rechtwinkligen sphärischen Dreieck ezk folgt

$$\cos \beta = \operatorname{ctg} ez \operatorname{tg} zk = \operatorname{ctg} ez \operatorname{ctg} kh$$

Dies substituirt gibt

$$m c = \cos 45 \cdot \operatorname{ctg} kh (1 + \operatorname{tg} \beta)$$

Nun ist

$$n = \operatorname{tg} (45 + \beta) = \frac{1 + \operatorname{tg} \beta}{1 - \operatorname{tg} \beta}$$

$$n + 1 = \frac{2}{1 - \operatorname{tg} \beta}$$

Mithin

$$m c = n (1 - \operatorname{tg} \beta) \cos 45 \operatorname{ctg} kh = \cos 45 \operatorname{ctg} kh \cdot \frac{n \cdot 2}{n + 1}$$

$$m c = \frac{n}{n + 1} \frac{\operatorname{ctg} kh}{\cos 45}$$

Um daher m und n zu finden, hat man folgende Gleichungen zu berechnen:

$$3) \left\{ \begin{array}{l} \operatorname{tg} \beta = \frac{\cos \frac{1}{2} Y}{\cos \frac{1}{2} Z} \\ \cos kh = \frac{\cos \frac{1}{2} Z}{\sin \frac{1}{2} Y} \end{array} \right. \quad \begin{array}{l} n = \operatorname{tg} (45 + \beta), \\ m c = \frac{n}{n + 1} \frac{\operatorname{ctg} kh}{\cos 45} \end{array}$$

Berechnung der Sphenoide $\frac{mP}{2}$.

a) Gegeben X, gesucht m.

Setzen wir in den Gl. 1, S. 95 $\frac{Y}{2} = 90$, so ergibt sich

$$1) \sin \alpha = \operatorname{tg} \frac{1}{2} X \quad m c = \operatorname{tg} \alpha$$

b) Gegeben Z, gesucht m.

Setzen wir in den Gl. 3, S. 98 $\frac{Y}{2} = 90$, so ergibt sich

$$2) m c = \operatorname{ctg} \frac{1}{2} Z \cdot \cos 45$$

§. 12.

Berechnung complicirter Combinationen.

Erstes Beispiel (Zinnstein) ¹⁾.

Die Fig. 39a gibt eine parallelperspectivische Abbildung, die Fig. 39 eine stereographische Projection derjenigen Flächen, die sich nicht unmittelbar aus dem Zonenverband ergeben.

Fig. 39.

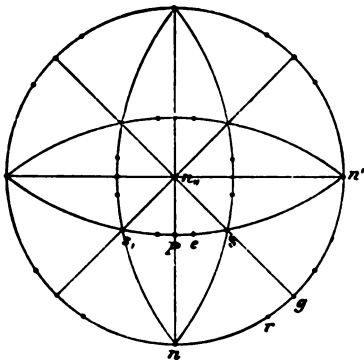
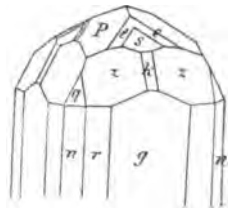


Fig. 39a.



¹⁾ Vergl. Naumann, Lehrbuch der reinen und angewandten **Krvatall-**graphie, 1830, Bd. 1, S. 340, Fig. 348.

Wir wählen s zur Grundgestalt.

Eine allgemeine Bestimmung lehrt, dass

s die Protopyramide P

k eine Pyramide mP

g das Prisma ∞P

P und q Deuteropyramiden $mP \infty$

n das Deuteroprisma $\infty P \infty$

e und z ditetragonale Pyramiden mPn

r ein ditetragonales Prisma ∞Pn

Man kennt den Winkel Z der Polkante der Pyramide s .
Er ist $= 121^\circ 40'$. Man kennt ferner die beiden Polkanten der
Pyramide z und zwar

$$Y = 159^\circ 5' \text{ und } Z = 118^\circ 10'$$

Ferner kennt man die Winkel $n : r = 146^\circ 19'$ (Fig. 39a)
und $P : e = 169^\circ 30'$

Aus den Gl. 1, S. 90: $\cos fx = \text{ctg } \frac{1}{2}Z$, $mc = \text{ctg } fx$
folgt für die Protopyramide, in welcher $m = 1$ ist,
 $c = 0,6721$

Berechnung von z .

Aus den Gl. 1, S. 88:

$$n - 1 = \frac{\cos \frac{1}{2}Y}{\cos \frac{1}{2}Z \cos 45} \quad \cos fx = n \text{ctg } \frac{1}{2}Z \quad mc = \text{ctg } fx$$

folgt

$m = 3,03 = 3$ annähernd und $n - 1 = 0,4997 = 0,5$ annähernd,

mithin $n = \frac{3}{2}$, folglich ist

$$z = sP \frac{3}{2} \text{ oder } (3 \ 2 \ 1)$$

Berechnung von P .

P ergibt sich aus der Zone sPs , (Fig. 39)

$$P = P \infty \text{ oder } (101)$$

Berechnung von e .

Erste Methode. e liegt in der Zone seP (Fig. 39. und
Fig. 39a). Die Indices von e seien $1 \frac{1}{n} \frac{1}{m}$, so muss, weil



es in der Zone seP liegt, vermöge der Zonengleichung sein:
 $m = 1$. Die Indices von e sind mithin: $1 \frac{1}{n} 1$. Die Gleichung
 von e ist:

$$\cos en = n \cos en' = c \cos en''$$

$$n = \frac{\cos en}{\cos en'} = \frac{\cos en}{\sin Pe} \text{ (Fig. 39).}$$

Die Indices von P sind 101 , folglich ist die Gleichung
 von P :

$$\cos Pn = c \cos Pn'' = c \sin Pn \text{ (Fig. 39)}$$

$$\text{ctg } Pn = c. \text{ Daraus folgt}$$

$$Pn = 56^\circ 5' 30''$$

Aus dem rechtwinkligen sphärischen Dreieck Pen folgt:

$$\cos en = \cos Pn \cos Pe, \text{ mithin}$$

$$n = \frac{\cos Pn \cos Pe}{\sin Pe} = \cos Pn \text{ ctg } Pe$$

$$n = 3,018 = 3 \text{ annähernd.}$$

Mithin ist

$$e = P_3 \text{ oder } (313)$$

Zweite Methode. Setzt man in der Gl. 15, S. 26 für
 hkl die Indices von e : $1 \frac{1}{n} 1$ und für $h'k'l'$ die Indices von
 P : 101 , so erhält man

$$\cos Pe = \frac{n\sqrt{c^2 + 1}}{\sqrt{n^2(1 + c^2) + c^2}}, \text{ woraus } \text{ctg } Pe = \frac{n\sqrt{c^2 + 1}}{c}$$

und hieraus

$$n = \frac{c \text{ ctg } Pe}{\sqrt{c^2 + 1}}$$

Berechnung von r .

Die Indices von r seien: $1 \frac{1}{n} 0$, so ist die Gleichung
 von r :

$\cos rn = n \cos rn' = n \sin rn$ (Fig. 39), woraus

$$n = \operatorname{ctg} rn = 1,501 = \frac{3}{2} \text{ annähernd.}$$

Mithin ist

$$r = \infty P \frac{3}{2} \text{ oder } (320)$$

Berechnung von k.

k liegt in der Zone zkz (Fig. 39a). Daher ergibt sich vermöge der Zonengleichung 4:

$$k = \frac{5}{2} P$$

Berechnung von q.

q liegt in der Zone qzk (Fig. 39a). Daher findet sich vermöge der Zonengleichung 4:

$$q = sP \infty$$

Die Combination weist mithin folgende Formen auf:

$$\begin{array}{ccccccc} \infty P & . & \infty P \frac{3}{2} & . & \infty P \infty & . & sP \frac{3}{2} \\ g & . & r & . & n & . & z \\ (110) & . & (320) & . & (100) & . & (321) \\ & & & & & & (111) \\ & & & & & & (101) \\ & & & & & & (501) \\ & & & & & & . \frac{5}{2} P \\ & & & & & & . P_s \\ & & & & & & . k \\ & & & & & & . e \\ & & & & & & . (552) \\ & & & & & & . (313) \end{array}$$

Zweites Beispiel (Kupferkies von Ramberg bei Daaden)¹⁾.

Die Fig. 40a gibt eine parallelperspectivische, die Fig. 40 eine stereographische Projection des Kupferkieses von Ramberg.

Eine allgemeine Bestimmung lehrt, dass, wenn wir S zur Grundform wählen,

a das basische Pinakoid ∞P

S das Sphenoid $+\frac{P}{2}$

s' das Sphenoid $-\frac{P}{2}$

¹⁾ Vergl. Sadebeck, Ueber die Krystallformen des Kupferkieses. Zeitschr. der deutschen geolog. Gesellsch. 1868, Taf. 14, Fig. 18; vergl. auch Klein, Einleitung in die Krystallberechnung, Stuttgart 1876, S. 178, Taf. V, Fig. 5.

c eine Deuteroypyramide $mP\infty$

y ein Skalenoëder $+\frac{mPn}{2}$

Fig. 40.

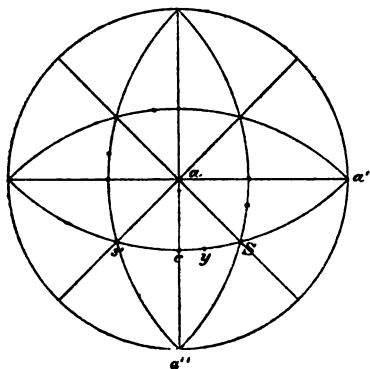
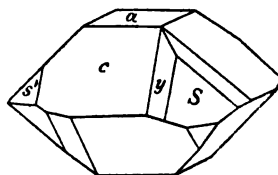


Fig. 40 a.



Bekannt ist der Randkantenwinkel X von Ss' (Fig. 40 a).
Er ist $= 108^\circ 40'$

$c : y = 166^\circ 50'$ (Fig. 40 a).

Um das Axenverhältniss zu finden, setzen wir in Gl. 2, S. 91 für m den Werth 1 und für X den Werth $108^\circ 40'$ und erhalten

$$c = 0,9853$$

Bestimmung von c .

c liegt in der Zone Scs' (Fig. 40). Folglich ergibt sich vermöge der Zonengleichung 4:

$$c = P\infty \text{ oder } (101)$$

Bestimmung von y .

Die Indices von y seien $1 \frac{1}{n} \frac{1}{m}$. Weil y in der Zone Syc (Fig. 40) liegt, muss vermöge der Zonengleichung $m = 1$ sein.

Die Indices von y sind mithin $1 \frac{1}{n} 1$. Die Gleichung von y ist:

$$\begin{aligned} \cos ya'' &= n \cos ya' = c \cos ya \\ n &= \frac{\cos ya''}{\cos ya'} = \frac{\cos ya''}{\sin cy} \end{aligned}$$

Die Gleichung von c ist $\cos ca_{,,} = c \cos ca = c \sin ca_{,,}$
woraus $\text{ctg } ca_{,,} = c$ und hieraus

$$ca_{,,} = 45^{\circ} 25'$$

Aus dem rechtwinkligen sphärischen Dreieck cya'' folgt

$$\cos ya_{,,} = \cos cy \cos ca_{,,} \text{ mithin}$$

$$n = \text{ctg } cy \cos ca_{,,} = 3. \text{ Daher}$$

$$y = + \frac{P_3}{2} \text{ oder } \kappa (313)$$

Die Combination weist mithin auf:

$$\begin{array}{ccccccc} + \frac{P}{2} & . & - \frac{P}{2} & . & oP & . & P\infty & . & + \frac{P_3}{2} \\ S & . & s' & . & a & . & c & . & y \\ \kappa (111) & . & \kappa (1\bar{1}1) & . & (001) & . & (101) & . & \kappa (313) \end{array}$$

Drittes Beispiel (Scheelit)¹⁾.

Fig. 41a repräsentirt eine Combination des Scheelits;
Fig. 41 ist die stereographische Projection, soweit sie zur Be-
rechnung nothwendig ist. An den horizontal Randkanten

Fig. 41.

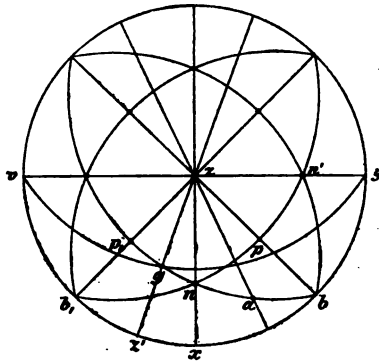
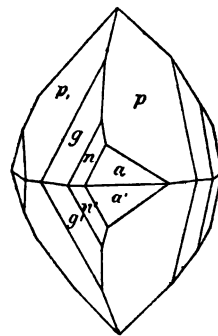


Fig. 41a.



sehen wir, dass nur Pyramiden vorliegen. Wir wählen p zur
Grundform, dann ist

¹⁾ Levy, Descr. d'une collection etc., 1888, T. III, p. 369, Pl. 80, Fig. 4.

p die Pyramide P

n eine Deuteropyramide mP∞

a eine Tritopyramide $\frac{mPn}{2} \frac{r}{1}$

g eine Tritopyramide $\frac{mPn}{2} \frac{1}{r}$

Bekannt sind die Winkel $n : n' = 130^\circ 33'$ (Fig. 41a)

$a : n = 151^\circ 39'$ $g : n = 162^\circ 46'$ (Fig. 41a)

Berechnung von n.

Die Fläche n liegt in der Zone npn' (Fig. 41), daher ergeben sich die Indices von n vermöge der Gl. 4, S. 8: 2 0 1.

Mithin

$$n = \text{,P} \infty \text{ oder } (201)$$

Aus Gl. 2, Seite 92: $mc = \text{tg} \frac{X}{2}$ folgt nun

$$c = \frac{\text{tg} \frac{X}{2}}{m} = \frac{\text{tg} \frac{130^\circ 33'}{2}}{2} = 1,0858$$

Berechnung von a.

Erste Methode. Die Fläche a liegt in der Zone anp, (Fig. 41). Sind die Indices von a: $1 \frac{1}{n} \frac{1}{m}$, so findet man vermöge der Zonengleichung $n = \frac{m}{m-2}$. Die Indices von a sind mithin $1 \frac{m-2}{m} \frac{1}{m}$.

Die Gleichung von a ist

$$\cos ax = \frac{m}{m-2} \cos ay = mc \cos az \text{ woraus}$$

$$\frac{m-2}{m} = \frac{\cos ay}{\cos ax}$$

Die Gleichung von n ist $\frac{1}{2} \cos nx = c \cos nz$ woraus (s. Fig. 41)

$$\text{ctg} nz = \frac{1}{2c}, \text{ mithin } nz = 65^\circ 17'$$

Aus dem sphärischen Dreieck nzb folgt (Fig. 41)

$$\cos nb = \sin nz \cos 45$$

$$nb = 50^\circ 2', \text{ mithin } ab = nb - na = 21^\circ 41'$$

Aus den sphärischen Dreiecken abx und aby folgt

$$\cos ax = \cos ab \cos 45 + \sin ab \sin 45 \cos abx$$

$$\cos ay = \cos ab \cos 45 + \sin ab \sin 45 \cos aby$$

$$\cos ay = \cos ab \cos 45 - \sin ab \sin 45 \cos abx$$

Nun ist $abx = b, p$, mithin folgt durch Division:

$$\frac{\cos ay}{\cos ax} = \frac{1 - \operatorname{tg} ab \cos b, p}{1 + \operatorname{tg} ab \cos b, p} = \frac{m - 2}{m}$$

Um b, p , zu finden, wenden wir die Gl. 15, S. 26 an

$$\cos b, p = \frac{1l' + c^2 (kk' + hh')}{\sqrt{1^2 + c^2 (h^2 + k^2)} \sqrt{1'^2 + c^2 (h'^2 + k'^2)}}$$

indem wir für p , die Indices $1 \bar{1} 1$, für b , die Indices $1 \bar{1} 0$ setzen. Wir erhalten

$$b, p = 33^\circ 4'$$

Setzen wir nun in der obigen Gleichung

$$\operatorname{tg} ab \cos b, p = \operatorname{tg} \varphi \text{ so ist}$$

$$\frac{m - 2}{m} = \operatorname{tg} (45 - \varphi). \text{ Daraus ergibt sich}$$

$$\varphi = 18^\circ 26'$$

$$m = 4 \text{ folglich } n = \frac{m}{m - 2} = 2$$

Mithin ist

$$a = \frac{4P_2}{2} \frac{r}{1} \text{ oder } \pi (4 \ 2 \ 1)$$

Zweite Methode. Setzt man in die Gl. 15:

$$\cos na = \frac{1l' + c^2 (kk' + hh')}{\sqrt{1^2 + c^2 (h^2 + k^2)} \sqrt{1'^2 + c^2 (h'^2 + k'^2)}}$$

für n die Indices $2 \ 0 \ 1$, für a die Indices $1 \ \frac{1}{n} \ \frac{n-1}{2n}$, so erhält man

$$\cos na = \frac{n(4c^2 + 1) - 1}{\sqrt{4c^2 + 1} \sqrt{(n^2 + 1)(4c^2 + 1) - 2n}}$$

woraus

$$\operatorname{ctg} n a = \frac{n (4 c^2 + 1) - 1}{2 c \sqrt{2 (1 + 2 c^2)}}$$

woraus

$$n = \frac{1 + 2 c \operatorname{ctg} n a \sqrt{2 (1 + 2 c^2)}}{4 c^2 + 1} = 2$$

Berechnung von g .

Erste Methode. Die Indices von g seien: $1 \frac{1}{n} \frac{1}{m}$

g liegt in der Zone ngp , mithin ist $\frac{1}{n} = \frac{2 - m}{m}$

Aus dem rechtwinkligen sphärischen Dreieck $g z p$, folgt

$$\cos g z p, = \operatorname{ctg} g z \operatorname{tg} p, z \text{ und}$$

$$\cos g z = \cos g p, \cos z p,$$

Da $z p, = 90 - b, p$, und $g p, = b p, - b g = 90 - (n b + g n)$ ist, so folgt

$$g z = 59^{\circ} 47' \text{ und } g z p, = \alpha = 26^{\circ} 33'$$

Die Indices von g sind: $1 \frac{m-2}{m} \frac{1}{m}$. Die Gleichung

von g ist daher

$$\cos g x = \frac{m}{m-2} \cos g y = m c \cos g z$$

$$\frac{m-2}{m} = \frac{\cos g y}{\cos g x} = - \frac{\cos g v}{\cos g x}$$

Aus den rechtwinkligen sphärischen Dreiecken $g x z'$ und $g v z'$ folgt, wenn $b, z z' = \alpha$ ist,

$$\cos g v = \cos g z' \cos (45 + \alpha)$$

$$\cos g x = \cos g z' \cos (45 - \alpha)$$

hieraus

$$\frac{\cos g v}{\cos g x} = \frac{\cos (45 + \alpha)}{\cos (45 - \alpha)} = \frac{\sin (45 - \alpha)}{\cos (45 - \alpha)} = \operatorname{tg} (45 - \alpha) = 0,333.. = \frac{1}{3}$$

Mithin

$$\frac{2 - m}{m} = \frac{1}{3}, \text{ folglich } m = \frac{3}{2} \text{ und } n = 3$$

$$g = \frac{\frac{3}{2} P_3}{2} \frac{1}{r} \text{ oder } \pi (3 \bar{1} 2)$$

Zweite Methode. Setzt man in die Gleichung

$$\cos gn = \frac{1l' + c^2(kk' + hh')}{\sqrt{1^2 + c^2(h^2 + k^2)} \sqrt{1'^2 + c^2(h'^2 + k'^2)}}$$

für g die Indices $1 \frac{1}{n} \frac{n+1}{2n}$ und für n die Indices 201, so erhält man:

$$\cos gn = \frac{n(4c^2 + 1) + 1}{\sqrt{(4c^2 + 1)} \sqrt{(n^2 + 1)(4c^2 + 1) + 2n}}$$

woraus

$$\text{ctg} gn = \frac{n(4c^2 + 1) + 1}{2c\sqrt{2(1 + 2c^2)}}$$

und hieraus

$$n = \frac{2c\sqrt{2(1 + 2c^2)} \cdot \text{ctg} gn - 1}{4c^2 + 1} = 3$$

Die Combination weist mithin auf:

$$\begin{array}{ccccccc} P & . & {}_2P\infty & . & \frac{{}_4P_2}{2} \frac{r}{1} & . & \frac{{}_3P_3}{2} \frac{1}{r} \\ p & . & n & . & a & . & g \\ (111) & . & (201) & . & \pi(421) & . & \pi(3\bar{1}2) \end{array}$$

Aufgabe. Entwickele die Combination, wenn n zur Grundpyramide gewählt wird.

Resultat:

$$\begin{array}{ccccccc} P . P\infty & . & \frac{{}_3P_3}{2} \frac{r}{1} & . & \frac{P_2}{2} \frac{1}{r} \\ n . p & . & a & . & g \end{array}$$

Viertes Beispiel (Anatas vom Binnenthal)¹⁾.

Die Fig. 42a repräsentirt eine Combination des Anatas vom Binnenthal. Die Fig. 42 gibt eine stereographische Projection der Flächen, die durch Rechnung gefunden werden müssen. Lassen wir die Nebenaxe durch a gehen und gehen von e als $P\infty$ aus, so ist (Fig. 42a)

¹⁾ Vergl. die Mittheilungen von Klein im Jahrb. für Mineralogie, 1875, S. 337, Taf. XI, Fig. 4 und auch Einleitung in die Krystallberechnung von Klein, Stuttgart 1876, S. 174, Taf. 5, Fig. 3.

Nun folgt (s. Fig. 42) aus dem Dreieck $p \underline{m} a$:

$$\cos p a = \cos p \underline{m} \cos 45$$

mithin, da $p a_{,,} = 90 - p \underline{m}$ ist,

$$m = \frac{\operatorname{ctg} p \underline{m} \cos 45}{c}$$

Nun ist $p \underline{m} = 180 - p : m = 21^{\circ} 42'$. Setzt man diesen Werth in die vorstehende Gleichung, so erhält man $m = 1$, mithin ist

$$p = P \text{ oder } (111).$$

Dieselbe Gleichung dient auch zur Berechnung der Pyramiden d, f, h, k . Man findet

$$d = \frac{1}{3} P \text{ oder } (331) \quad h = \frac{1}{2} P \text{ oder } (112)$$

$$f = \frac{1}{2} P \text{ oder } (221) \quad k = \frac{1}{3} P \text{ oder } (113)$$

Nun ergibt sich auch vermöge der Zonengleichung, dass die Flächen $p \underline{e} p'$ (Fig. 42 a) tautozonal sind.

Vermöge der Gl. 15, S. 26 erhält man ebenfalls

$$m = \frac{\operatorname{ctg} p \underline{m} \cos 45}{c}$$

Berechnung von v (s. Fig. 42).

Erste Methode. Um v zu berechnen, müssen wir zunächst aus der Gleichung von e :

$\cos \underline{e} a = c \cos \underline{e} a_{,,}$ oder $\sin \underline{e} a_{,,} = c \cos \underline{e} a_{,,}$ oder $\operatorname{tg} \underline{e} a_{,,} = c$ den Winkel $\underline{e} a_{,,}$ berechnen. Wir finden

$$\underline{e} a_{,,} = 60^{\circ} 30' 30''$$

Die Indices von v seien $m m 1$, so ist die Gleichung von v

$$\frac{\cos v a}{m} = c \cos v a_{,,}$$

mithin

$$m = \frac{\cos v a}{c \cos v a_{,,}}$$

Aus dem sphärischen Dreieck $\underline{e} v a_{,,}$ folgt

$$\cos \underline{e} v = \cos \underline{e} a_{,,} \cos a_{,,} v + \sin \underline{e} a_{,,} \sin a_{,,} v \cos 45$$

Setzt man in dieser Gleichung

$$a) \operatorname{ctg} \varphi = \operatorname{tg} \varphi_{a_{\infty}} \cos 45 = c \cos 45$$

so ist

$$b) \sin (\varphi - \varphi_{a_{\infty}}) = \frac{\cos \varphi \sin \varphi}{\cos \varphi_{a_{\infty}}}$$

Aus dem Dreieck $a \varphi a_{\infty}$ ergibt sich $\cos \varphi a = \sin \varphi_{a_{\infty}} \cos 45$
mithin

$$c) m = \operatorname{tg} \varphi_{a_{\infty}} \cdot \frac{\cos 45}{c}$$

Da $\varphi = 180 - \varphi : e = 47^{\circ} 57'$ ist, so ergibt sich

$$\varphi = 38^{\circ} 39' \text{ und } \varphi_{a_{\infty}} = 19^{\circ} 33'$$

folglich $m = 0,1413 = \frac{1}{7}$ annähernd. Es ist folglich

$$\nu = \frac{1}{7} P \text{ oder } (117).$$

Zweite Methode. Setzt man in Gl. 15, S. 26 für $h'k'l'$ die Indices von ν : $m m 1$ und für $h'k'l'$ die Indices von e : $1 0 1$, so erhält man, wenn $e \nu = w$ gesetzt wird,

$$\cos w = \frac{m c^2 + 1}{\sqrt{c^2 + 1} \sqrt{2 m^2 c^2 + 1}}$$

Daraus folgt

$$+ \sqrt{c^2 + 1} \cos w = \frac{m c^2}{\sqrt{2 m^2 c^2 + 1}} + \frac{1}{\sqrt{2 m^2 c^2 + 1}}$$

Setzt man

$$\frac{1}{\sqrt{2 m^2 c^2 + 1}} = \cos \alpha, \text{ so ist } \frac{m c^2}{\sqrt{2 m^2 c^2 + 1}} = \frac{c}{\sqrt{2}} \sin \alpha$$

mithin

$$\sqrt{c^2 + 1} \cos w = \frac{c}{\sqrt{2}} \sin \alpha + \cos \beta = \operatorname{ctg} \beta \sin \alpha + \cos \alpha \cdot \frac{\sin (\alpha + \beta)}{\sin \beta}$$

wenn $\frac{c}{\sqrt{2}} = \operatorname{ctg} \beta$ gesetzt wird.

$$\text{Aus } \cos \alpha = \frac{1}{\sqrt{2 m^2 c^2 + 1}} \text{ folgt } \operatorname{tg} \alpha = m c \sqrt{2}$$

Mithin hat man zur Bestimmung von ν folgende Gleichungen der Reihe nach zu berechnen:

$$\operatorname{ctg} \beta = \frac{c}{\sqrt{2}} \quad \sin(\alpha + \beta) = \sqrt{c^2 + 1} \cos w \quad m = \frac{\operatorname{tg} \alpha}{c\sqrt{2}}$$

Das sind, wie leicht einzusehen, genau dieselben Gleichungen, die oben gefunden wurden.

Berechnung von n (s. Fig. 42 a).

\underline{n} liegt in den Zonen \underline{enm} und nfn' , folglich ergibt sich vermöge der Gl. 5, S. 9, wenn die Indices von n durch $1 \frac{1}{n} \frac{1}{m}$ bezeichnet werden

$$n = \frac{5}{3} \quad \text{und} \quad m = \frac{5}{2}$$

$$n = \frac{5}{2} P \frac{5}{3} \quad \text{oder} \quad (5 \ 3 \ 2)$$

Die Combination weist mithin auf:

$$\begin{array}{cccccc} P \infty & . & \infty P & . & \infty P \infty & . & 3P & . & 2P \\ \underline{e} & . & \underline{m} & . & a & . & d & . & f \\ (101) & . & (110) & . & (100) & . & (331) & . & (221) \\ . & P & . & \frac{1}{2}P & . & \frac{1}{3}P & . & \frac{1}{7}P & . & \frac{5}{2}P \frac{5}{3} \\ . & p & . & h & . & k & . & v & . & n \\ . & (111) & . & (112) & . & (113) & . & (117) & . & (532) \end{array}$$

Hexagonales System.

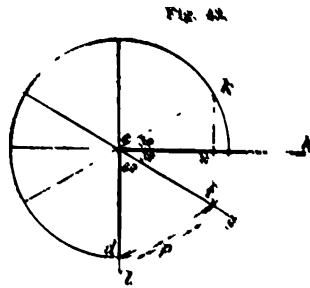
§. 14.

Berechnung der dihexagonalen Pyramiden mPn .

Zur Berechnung der hexagonalen Formen wählen wir drei ungleich grosse auf einander senkrechte Axen (nach dem Vorgehen von Schrauf)¹⁾. In der Fig. 43 repräsentire $de = 1$ die

¹⁾ A. Schrauf, Lehrbuch der Krystallographie und Mineral-Morphologie. Wien 1866.

Grösse und Richtung der X-Axe. df repräsentire eine Fläche der hexagonalen Grundpyramide. Wir verlängern df bis zum Schnittpunkte h mit eu und nehmen eh als Grösse der Y-Axe. Die Z-Axe stehe auf der Ebene der beiden Axen X und Y senkrecht; ihre Grösse sei c (in der Fig. 43 wird sie durch den Punkt e dargestellt). Wir haben zunächst die Parameter der Grundpyramide, alsdann die Parameter und Indices irgend einer Fläche der dihexagonalen Pyramide zu finden.



Die Fläche df der Grundpyramide schneidet die Y-Axe im Punkte h , die X-Axe im Punkte d . Aus dem rechtwinkligen ebenen Dreieck $d e h$ folgt $\operatorname{tg} 60 = \frac{eh}{ed} = eh$, mithin

$$eh = \sqrt{3}$$

Das Parameterverhältniss der Grundpyramide oder das Verhältniss der Axenlängen ist mithin

$$1 : \sqrt{3} : c$$

dp repräsentire eine dihexagonale Pyramidenfläche, welche die X-Axe im Punkte d , mithin in der Entfernung 1 vom Mittelpunkte schneide. Die Y-Axe wird von ihr im Punkte v geschnitten und es fragt sich, wie gross ist ev . Die Fläche dp schneidet die Linie ef im Punkte g und es sei $eg = n$. In dem ebenen Dreieck ged kennen wir die Seite $ge = n$, $de = 1$ und $\angle deg = 60^\circ$. Wir können mithin den Winkel edg berechnen. Die Rechnung ergibt zunächst die Gleichung

$$\operatorname{tg} (edg - 60) = \frac{n}{1} = n$$

Daraus folgt

$$\frac{\operatorname{tg} edg - \operatorname{tg} 60}{1 - \operatorname{tg} edg \operatorname{tg} 60} = n$$

oder

$$\frac{\operatorname{tg} \operatorname{edg} - \sqrt{3}}{1 + \sqrt{3} \cdot \operatorname{tg} \operatorname{edg}} = \frac{n-1}{n+1} \cdot \sqrt{3}$$

Daraus erhält man nach einigen leichten Reductionen

$$\operatorname{tg} \operatorname{edg} = \frac{n\sqrt{3}}{2-n}$$

Aus dem Dreieck edv folgt

$$\operatorname{tg} \operatorname{edg} = \frac{ev}{ed} = \frac{ev}{1} = ev$$

mithin
$$1) \operatorname{ev} = \frac{n\sqrt{3}}{2-n}$$

Aus dieser Gleichung folgt für $n=1$ der Werth $\sqrt{3}$. Für $n=1$ geht aber, wie die Fig. 19 zeigt, ev in eh über und oben wurde schon für eh der Werth $\sqrt{3}$ gefunden. Verlängert man pf bis zum Schnittpunkt s mit der Linie ek , so ergibt sich aus den ähnlichen Dreiecken dfl und sel sogleich $es = \frac{n}{n-1}$

Nehmen wir noch an, die dihexagonale Pyramidenfläche dp schneide die Z -Axe in mc , so ist das Parameterverhältniss der dihexagonalen Pyramidenfläche dp in Bezug auf die angenommenen 3 Axen

$$1 : \frac{n\sqrt{3}}{2-n} : mc$$

Die Parameterverhältnisse der Flächen pf und fw (w zwischen u und h ist nicht gezeichnet) ergeben sich in analoger

Weise. Für pf ist das Verhältniss $n : \frac{n\sqrt{3}}{2n-1} : mc$, für wf

ist es $\frac{n}{n-1} : \frac{n\sqrt{3}}{n+1} : mc$

Die Indices der Fläche dp sind mithin $1 \frac{2-n}{n} \frac{1}{m}$. Die der Fläche pf $\frac{1}{n} \frac{2n-1}{n} \frac{1}{m}$. Die der Fläche fw $\frac{n-1}{n} \frac{n+1}{n} \frac{1}{m}$

Nach diesen Vorbereitungen gehen wir zur Berechnung der dihexagonalen Pyramide über. Die Austrittspunkte der Axen sind in Fig. 44a durch x, y, z bezeichnet.

Aus dem sphärischen Dreieck exz folgt

$$\cos ex = \sin ez \cos \alpha$$

Aus dem sphärischen Dreieck eyz folgt

$$\cos ey = \sin ez \sin \alpha$$

Aus beiden Gleichungen folgt durch Division:

$$\frac{\cos ex}{\cos ey} = \operatorname{ctg} \alpha$$

Nach Gl. 2 ist aber

$$\frac{\cos ex}{\cos ey} = \frac{n\sqrt{3}}{2-n}$$

Mithin ist

$$e) \operatorname{ctg} \alpha = \frac{n\sqrt{3}}{2-n}$$

Aus dieser Gleichung folgt leicht

$$n = \frac{2 \operatorname{ctg} \alpha}{\operatorname{ctg} \alpha + \sqrt{3}}$$

und daraus folgt

$$n - 1 = \frac{\operatorname{ctg} \alpha - \sqrt{3}}{\operatorname{ctg} \alpha + \sqrt{3}}$$

$$2 - n = \frac{2\sqrt{3}}{\operatorname{ctg} \alpha + \sqrt{3}}$$

Durch Division folgt

$$\frac{2-n}{n-1} = \frac{2\sqrt{3}}{\operatorname{ctg} \alpha - \sqrt{3}}$$

Vermöge Gl. d folgt hieraus:

$$f) \frac{2-n}{n-1} = \frac{\sqrt{3} \cos \frac{1}{2} Z}{\cos \frac{1}{2} Y} = \frac{\operatorname{tg} 60 \cos \frac{1}{2} Z}{\cos \frac{1}{2} Y}$$

Aus dem rechtwinkligen sphärischen Dreieck ehz folgt

$$\sin zh = \operatorname{ctg} \alpha \operatorname{ctg} \frac{1}{2} Z$$

und daraus, vermöge Gl. e:

$$\sin zh = \frac{n\sqrt{3}}{2-n} \operatorname{ctg} \frac{1}{2} Z$$

und da $hx = 90 - zh$ ist

$$g) \cos hx = \frac{n\sqrt{3}}{2-n} \operatorname{ctg} \frac{1}{2} Z = \frac{n \operatorname{tg} 60}{2-n} \operatorname{ctg} \frac{1}{2} Z$$

$$\frac{\sin 60}{\sin 134^{\circ} 26'} = \frac{\sin 167^{\circ} 10'}{\sin 134^{\circ} 26'}$$

$$\sin 167^{\circ} 10' = \sin 134^{\circ} 26'$$

$$\frac{\sin 167^{\circ} 10'}{\sin 134^{\circ} 26'} = \frac{\sin 134^{\circ} 26'}{\sin 134^{\circ} 26'}$$

$$\sin 167^{\circ} 10' = \sin 134^{\circ} 26'$$

$$\frac{\sin 167^{\circ} 10'}{\sin 134^{\circ} 26'} = \frac{\sin 134^{\circ} 26'}{\sin 134^{\circ} 26'}$$

$$\frac{\sin 167^{\circ} 10'}{\sin 134^{\circ} 26'} = \frac{\sin 134^{\circ} 26'}{\sin 134^{\circ} 26'}$$

$$\frac{\sin 167^{\circ} 10'}{\sin 134^{\circ} 26'} = \frac{\sin 134^{\circ} 26'}{\sin 134^{\circ} 26'}$$

$$\frac{\sin 167^{\circ} 10'}{\sin 134^{\circ} 26'} = \frac{\sin 134^{\circ} 26'}{\sin 134^{\circ} 26'}$$

$$\frac{\sin 167^{\circ} 10'}{\sin 134^{\circ} 26'} = \frac{\sin 134^{\circ} 26'}{\sin 134^{\circ} 26'}$$

$$\frac{\sin 167^{\circ} 10'}{\sin 134^{\circ} 26'} = \frac{\sin 134^{\circ} 26'}{\sin 134^{\circ} 26'}$$

Um m zu berechnen, muss die Reihe nach folgenden Gleichungen zu berechnen:

$$3) \quad \frac{2-n}{n-1} = \frac{\lg \cos \frac{1}{2} Z}{\lg \cos \frac{1}{2} Y}$$

$$\lg \cos h x = \frac{n \lg 60}{2-n} \lg \frac{1}{2} Z \quad \text{mc} \quad \lg h x$$

Beispiel. An der dihexagonalen Pyramide des Berylls sind bekannt:

$$Z = 134^{\circ} 26' \text{ und } Y = 167^{\circ} 10' \text{ und } c = 0,4000$$

$$\lg \lg 60 = 0,2386$$

$$\lg \cos \frac{1}{2} Z = 9,5880$$

$$\text{E } \lg \cos \frac{Y}{2} = 0,9517$$

$$\lg \frac{2-n}{n-1} = 0,7783$$

$$\frac{2-n}{n-1} = 6$$

$$n = 8$$

$$n = 7$$

$$\lg \lg h x = 0,0015$$

$$\text{E } \lg c = 0,3010$$

$$\lg m = 0,9025$$

$$m = 7,99 \dots$$

$$\lg \frac{2-n}{n-1} = 0,1210$$

$$\lg \lg 60 = 0,2386$$

$$\lg \lg \frac{Z}{2} = 0,0233$$

$$\lg \cos h x = 0,0808$$

$$h x = 14^{\circ} 11' 10''$$

Die dihexagonale Pyramide $sP_{\frac{8}{7}}$ liegt vor.

Die Indices der Fläche e in Bezug auf unsere 3 Axen sind 8 6 1.

Die Indices in Bezug auf die gewöhnlichen 4 Axen sind (1 8 7 1). Der erste Index bezieht sich hier immer auf die links von der X-Axe liegende gewöhnliche Axe, der zweite auf die X-Axe, der dritte auf die rechts von der X-Axe liegende gewöhnliche Axe und der vierte auf die Hauptaxe. Die positiven Richtungen der genannten 3 gewöhnlichen Nebenaxen sind dem Beobachter zugewendet.

b) Gegeben X und Z, gesucht die Indices der Fläche e.

In der Fig. 44 repräsentire e wieder die Fläche $1 \frac{2-n}{n} \frac{1}{m}$

Die Gleichung dieser Fläche ist

$$\cos ex = \frac{n\sqrt{3}}{2-n} \cos ey = mc \cos ez$$

Ferner sei $eh = 90 - \frac{Z}{2}$ und $ek = 90 - \frac{X}{2}$

Aus dem rechtwinkligen sphärischen Dreieck ehz folgt

$$\cos ez = \cos eh \cos hz \text{ oder da } ez = 90 - ek = \frac{X}{2}$$

und $hz = 90 - hx$ ist,

$$\cos \frac{X}{2} = \sin \frac{Z}{2} \sin hx \text{ folglich } \sin hx = \cos \frac{X}{2} : \sin \frac{Z}{2}$$

Aus dem rechtwinkligen sphärischen Dreieck ehx folgt

$$\cos ex = \cos hx \sin \frac{Z}{2}$$

$$\text{Nun ist } mc = \frac{\cos ex}{\cos ez} = \frac{\cos hx \sin \frac{Z}{2}}{\cos \frac{X}{2}}$$

und aus der Gleichung

$$\sin hx = \frac{\cos \frac{X}{2}}{\sin \frac{Z}{2}} \text{ folgt } \frac{\sin \frac{Z}{2}}{\cos \frac{X}{2}} = \frac{1}{\sin hx}$$

Dies substituirt in die letzte Gleichung gibt

$$mc = \text{ctg } hx$$

Ferner ist, da $ey = 90 - eh = \frac{1}{2} Z$ ist:

$$\frac{n\sqrt{3}}{2-n} = \frac{\cos ex}{\cos ey} = \frac{\cos hx \sin \frac{1}{2} Z}{\cos \frac{1}{2} Z} = \cos hx \operatorname{tg} \frac{1}{2} Z$$

Daher

$$\frac{n}{2-n} = \frac{\cos hx \operatorname{tg} \frac{1}{2} Z}{\sqrt{3}} = \cos hx \operatorname{tg} \frac{1}{2} Z \operatorname{ctg} 60.$$

Um daher m und n zu finden, hat man folgende Gleichungen zu berechnen:

$$4) \left\{ \begin{array}{l} \sin hx = \frac{\cos \frac{1}{2} X}{\sin \frac{1}{2} Z} \\ \frac{n}{2-n} = \cos hx \operatorname{tg} \frac{1}{2} Z \operatorname{ctg} 60 \end{array} \right. \quad mc = \operatorname{ctg} hx$$

Beispiel. An der dihexagonalen Pyramide des Berylls kennt man:

$$X = 113^\circ 28' \text{ und } Z = 161^\circ 49' \text{ und } c = 0,4999$$

$$\lg \cos \frac{X}{2} = 9,7392 \quad \lg \operatorname{ctg} hx = 0,1751$$

$$E \lg c = 0,3010$$

$$E \lg \sin \frac{1}{2} Z = 0,0055$$

$$\lg m = 0,4761$$

$$\lg \sin hx = 9,7447$$

$$m = 3$$

$$hx = 33^\circ 45'$$

$$\lg \cos hx = 9,9199$$

$$\lg \operatorname{tg} \frac{1}{2} Z = 0,7958$$

$$\lg \operatorname{ctg} 60 = 9,7614$$

$$\lg \frac{n}{2-n} = 0,4771$$

$$\frac{n}{2-n} = 3$$

$$n = \frac{3}{2}$$

Es liegt die dihexagonale Pyramide sP_2^3 vor.

Die Indices der Pyramidenfläche e in Bezug auf unsere

3 Axen sind: $1 \frac{1}{3} \frac{1}{3}$ oder 3 1 1.

Die Indices in Bezug auf die gewöhnlichen 4 Axen sind (1 3 2 1).

c) Gegeben X und Y, gesucht die Indices der Fläche e.

In der Fig. 44 sei wieder e die dihexagonale Pyramidenfläche

1 $\frac{2-n}{n} \frac{1}{m}$. Die Gleichung dieser Fläche ist

$$\cos ex = \frac{n\sqrt{3}}{2-n} \cos ey = mc \cos ez$$

$$\text{Es sei } ek = 90 - \frac{X}{2} \text{ und } ef = 90 - \frac{Y}{2}$$

Aus dem rechtwinkligen sphärischen Dreieck e f z folgt

$$\sin ef = \sin ez \sin e f z \text{ und da } e f z = 30 - \alpha$$

$$\text{und } ez = 90 - ek = \frac{X}{2} \text{ ist,}$$

$$\cos \frac{Y}{2} = \sin \frac{X}{2} \sin (30 - \alpha)$$

Aus dem rechtwinkligen sphärischen Dreieck e x k folgt

$$\cos ex = \cos ek \cos x k \text{ oder da } x k = \alpha \text{ ist,}$$

$$\cos ex = \sin \frac{X}{2} \cos \alpha$$

Aus dem sphärischen Dreieck e y z folgt

$$\cos ey = \sin ez \cos (90 - \alpha) = \sin ez \sin \alpha = \sin \frac{X}{2} \sin \alpha$$

Nun ist

$$\frac{n\sqrt{3}}{2-n} = \frac{\cos ex}{\cos ey} = \frac{\sin \frac{1}{2} X \cos \alpha}{\sin \frac{1}{2} X \sin \alpha} = \operatorname{ctg} \alpha$$

Mithin

$$\frac{n}{2-n} = \frac{\operatorname{ctg} \alpha}{\sqrt{3}} = \operatorname{ctg} \alpha \cdot \operatorname{ctg} 60$$

Ferner ist

$$mc = \frac{\cos ex}{\cos ez} = \frac{\sin \frac{1}{2} X \cos \alpha}{\cos \frac{1}{2} X} = \operatorname{tg} \frac{1}{2} X \cdot \cos \alpha$$

Um daher m und n zu finden, hat man folgende Gleichungen zu berechnen:

$$5) \left\{ \begin{array}{l} \sin (30 - \alpha) = \frac{\cos \frac{1}{2} Y}{\sin \frac{1}{2} X} \quad \frac{n}{2-n} = \operatorname{ctg} \alpha \cdot \operatorname{ctg} 60 \\ mc = \operatorname{tg} \frac{1}{2} X \cdot \cos \alpha \end{array} \right.$$

Beispiel. An der dihexagonalen Pyramide des Berylls ist bekannt:

$$X = 90^{\circ} 54' \text{ und } Y = 153^{\circ} 1' \text{ und } c = 0,4999$$

$$\begin{array}{ll} \lg \cos \frac{1}{2} Y = 9,3680 & \lg \operatorname{ctg} \alpha = 0,7161 \\ E \lg \sin \frac{1}{2} X = 0,1471 & \lg \operatorname{ctg} 60 = 9,7614 \\ \lg \sin (30 - \alpha) = 9,5151 & \lg \frac{n}{2-n} = 0,4775 \\ 30 - \alpha = 19^{\circ} 7' & \frac{n}{2-n} = 3 \\ \alpha = 10^{\circ} 53' & n = \frac{3}{2} \end{array}$$

$$\begin{array}{l} \lg \operatorname{tg} \frac{1}{2} X = 0,0068 \\ \lg \cos \alpha = 9,9921 \\ E \lg c = 0,3010 \\ \lg m = 0,2999 \\ m = 2 \end{array}$$

Die Pyramide hat die Formel $mP_{\frac{3}{2}}$

Die Indices der Fläche e in Bezug auf unsere 3 Axen sind 6 2 3, in Bezug auf die gewöhnlichen 4 Axen (2 6 4 3).

Berechnung der hexagonalen Pyramide mP .

Den Polkantenwinkel nennen wir Z , den Randkantenwinkel X .

Setzen wir in den eben entwickelten Formeln $Y = 180$, so erhalten wir die zur Berechnung der hexagonalen Pyramide mP dienenden Gleichungen.

a) Gegeben Z .

Aus den Gl. 3, S. 117 folgt für $\frac{Y}{2} = 90$ und $n = 1$

$$1) \cos h x = \operatorname{tg} 60 \operatorname{ctg} \frac{Z}{2} \quad m c = \operatorname{ctg} h x$$

b) Gegeben X.

Aus den Gl. 5, S. 120 folgt für $\frac{Y}{2} = 90$ und $n = 1$:

$\operatorname{tg} \alpha = \operatorname{ctg} 60$, mithin $\alpha = 30$, folglich

$$2) \quad m c = \operatorname{tg} \frac{X}{2} \cos 30$$

Berechnung der Deuteropyramide mP_2 .

In der Fig. 45 repräsentire e die Deuteropyramidenfläche $10 \frac{1}{m}$. Die Gleichung dieser Fläche ist

$$\cos ex = mc \cos ez$$

Fig. 45.

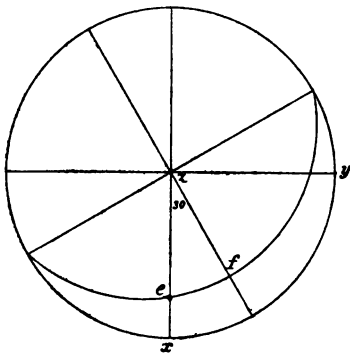
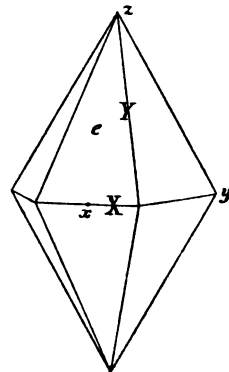


Fig. 45 a.



$$\text{Es sei } ef = 90 - \frac{Y}{2}$$

Aus dem rechtwinkligen sphärischen Dreieck efz folgt

$$\sin ef = \sin ez \sin 30$$

oder

$$\cos \frac{Y}{2} = \sin ez \sin 30 = \cos ex \sin 30$$

mithin

$$\cos ex = \frac{\cos \frac{Y}{2}}{\sin 30} = 2 \cos \frac{Y}{2}$$

Nun ist

$$m c = \frac{\cos e x}{\cos e z} = \frac{\cos e x}{\sin e x} = \operatorname{ctg} e x$$

a) Gegeben Y, gesucht die Indices der Fläche e.

$$1) \cos e x = 2 \cos \frac{Y}{2} \quad m c = \operatorname{ctg} e x$$

b) Gegeben X, gesucht die Indices der Fläche e.

$$2) m c = \operatorname{ctg} e x = \operatorname{tg} \frac{X}{2}$$

Berechnung der dihexagonalen Prismen ∞P_n .

Die zur Berechnung der dihexagonalen Prismen dienenden Gleichungen erhält man, indem man in den oben entwickelten Formeln $X = 180$ setzt.

a) Gegeben Z.

Aus den Gl. 4, S. 119 folgt für $\frac{X}{2} = 90$, $h x = 0$

Mithin

$$1) \frac{n}{2 - n} = \operatorname{tg} \frac{Z}{2} \operatorname{ctg} 60$$

b) Gegeben Y.

Aus den Gl. 5, S. 120 folgt für $\frac{X}{2} = 90$ zunächst

$\sin (30 - \alpha) = \cos \frac{Y}{2}$, woraus $30 - \alpha = 90 - \frac{Y}{2}$, folglich

$\alpha = \frac{Y}{2} - 60$. Mithin

$$2) \frac{n}{2 - n} = \operatorname{ctg} \left(\frac{Y}{2} - 60 \right) \operatorname{ctg} 60$$

Rhomboëdrische Hemiëdrie.

§. 14.

Berechnung der Skalenoëder $\frac{mPn}{2}$.

Die schärfere Polkante des hexagonalen Skalenoëders nennen wir Z, die stumpfere Y und die Randkante X. In der Fig. 46 ist e die Projection der Skalenoëderfläche $1 \frac{2-n}{n} \frac{1}{m}$. Die Gleichung dieser Fläche ist

$$1) \cos ex = \frac{n\sqrt{3}}{2-n} \cos ey = mc \cos ez$$

Fig. 46.

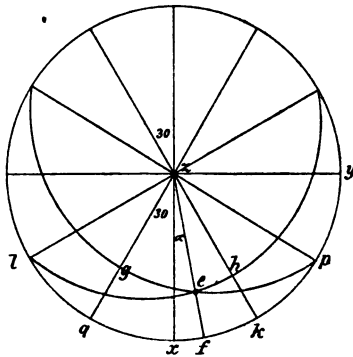
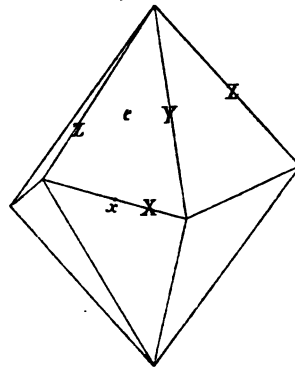


Fig. 46 a.



a) Gegeben X und Z, gesucht die Indices der Fläche e.

Es sei (s. Fig. 46) $eg = 90 - \frac{Z}{2}$ und $ex = 90 - \frac{X}{2}$

Aus dem sphärischen Dreieck exz folgt

$$\cos ex = \sin ez \cos \alpha$$

Aus dem rechtwinkligen sphärischen Dreieck egz folgt

$$\sin eg = \sin ez \sin (30 + \alpha).$$

Aus beiden Gleichungen folgt durch Division

$$\frac{\sin eg}{\cos ex} = \frac{\sin (30 + \alpha)}{\cos \alpha} = \sin 30 + \cos 30 \operatorname{tg} \alpha$$

oder

$$\therefore \frac{\sin \frac{Z}{2}}{\sin \frac{X}{2}} = 1 + \sqrt{3} \operatorname{tg} \alpha$$

Aus dem sphärischen Dreieck exy folgt

$$\cos ey = \sin ex \cos (90^\circ - \alpha) = \sin ex \sin \alpha$$

Nun ist vermöge Gl. 1

$$e) \frac{n \sqrt{3}}{2 - n} = \frac{\cos ex}{\cos ey} = \frac{\sin ex \cos \alpha}{\sin ex \sin \alpha} = \operatorname{ctg} \alpha$$

Aus dieser Gleichung folgt

$$n = \frac{2}{1 + \sqrt{3} \operatorname{tg} \alpha}$$

Aus dieser und der Gl. d folgt

$$f) n = \frac{\sin \frac{X}{2}}{\cos \frac{Z}{2}}$$

Aus dem sphärischen Dreieck exp in welchem $xp = 60$,
 $ep = 90 - eg = \frac{Z}{2}$ und $\sphericalangle epx = 90 - ep\alpha = 90 - \mu\alpha$
 ist, folgt

$$\cos ex = \cos ep \cos 60 + \sin ep \sin 60 \sin \mu\alpha$$

oder

$$\sin \frac{X}{2} = \cos \frac{Z}{2} \cdot \frac{1}{2} + \frac{\sqrt{3}}{2} \sin \frac{Z}{2} \sin \mu\alpha$$

oder

$$\frac{2 \sin \frac{X}{2}}{\cos \frac{Z}{2}} = 1 + \sqrt{3} \operatorname{tg} \frac{Z}{2} \sin \mu\alpha$$

Aus dieser Gleichung folgt mit Berücksichtigung der Gl. f

$$g) \sin \mu\alpha = \frac{2n - 1}{\sqrt{3}} \operatorname{ctg} \frac{Z}{2}$$

Aus den sphärischen Dreiecken exz und ezg folgt

$$\sin ez = \frac{\sin \frac{X}{2}}{\cos \alpha}$$

und

$$\cos ez = \cos zg \sin \frac{Z}{2}$$

Daraus durch Division

$$\operatorname{tg} ez = \frac{\sin \frac{X}{2}}{\cos \alpha \cos zg \sin \frac{Z}{2}}$$

Nun ist vermöge Gl. 1

$$mc = \frac{\cos ex}{\cos ez} = \frac{\sin ez \cos \alpha}{\cos ez} = \operatorname{tg} ez \cos \alpha$$

Mithin

$$mc = \frac{\sin \frac{X}{2}}{\sin \frac{Z}{2} \cos zg}$$

Nach Gl. f ist $\sin \frac{X}{2} = n \cos \frac{Z}{2}$ mithin

$$mc = \frac{n \operatorname{ctg} \frac{Z}{2}}{\cos zg}$$

Setzt man für $\operatorname{ctg} \frac{Z}{2}$ den aus Gl. g folgenden Werth, so ergibt sich

$$h) \quad mc = \frac{n \sqrt{3}}{2n - 1} \operatorname{tg} gz$$

Um daher m und n zu finden, hat man die folgenden Gleichungen zu berechnen:

$$2) \quad \left\{ \begin{array}{l} n = \frac{\sin \frac{X}{2}}{\cos \frac{X}{2}} \quad \sin gz = (2n - 1) \operatorname{ctg} 60 \operatorname{ctg} \frac{Z}{2} \\ mc = \frac{n}{2n - 1} \cdot \operatorname{tg} 60 \cdot \operatorname{tg} gz \end{array} \right.$$

Beispiel. An einem Kalkspathskalenoëder hat man gemessen
 $X = 133^{\circ} 0' 20''$ und $Z = 104^{\circ} 37' 20''$

Bekannt ist ferner $c = 0,5543$

$$\begin{array}{rcl} \lg \sin \frac{X}{2} & = & 9,9624 \\ \lg \cos \frac{Z}{2} & = & 0,2137 \\ \hline \lg n & = & 0,1761 \\ n & = & 1,5 = \frac{3}{2} \end{array} \quad \begin{array}{rcl} \lg (2n - 1) & = & 0,30103 \\ \lg \operatorname{ctg} 60 & = & 9,76144 \\ \lg \operatorname{ctg} \frac{Z}{2} & = & 9,88770 \\ \hline \lg \sin gx & = & 9,95017 \\ gx & = & 63^{\circ} 4' \end{array}$$

$$\begin{array}{rcl} \lg \frac{n}{2n - 1} & = & 9,8751 \\ \lg \operatorname{tg} 60 & = & 0,2386 \\ \lg \operatorname{tg} gx & = & 0,2941 \\ E \lg c & = & 0,0684 \\ \hline \lg m & = & 0,4762 \\ m & = & 2,99 \dots = 3 \end{array}$$

Das Skalenoëder ist $\frac{sP_{\frac{3}{2}}}{2}$

In Bezug auf die gewöhnlichen 4 Axen sind die Indices der Fläche e 1 3 2 1.

b) Gegeben X und Y, gesucht die Indices der Fläche e.
 Die Gl. 1 besteht auch jetzt. Es sei (Fig. 46)

$$ex = 90 - \frac{X}{2} \quad \text{und} \quad eh = 90 - \frac{Y}{2}$$

Aus den beiden sphärischen Dreiecken exz und eyz folgt

$$\begin{array}{l} \cos ex = \sin ez \cos \alpha \\ \cos ey = \sin ez \sin \alpha \end{array}$$

Durch Division folgt

$$\frac{\cos ex}{\cos ey} = \operatorname{ctg} \alpha$$

Nach Gl. 1 ist

$$\frac{n \sqrt{3}}{2 - n} = \frac{\cos ex}{\cos ey}$$

mithin
$$\frac{n\sqrt{3}}{2-n} = \operatorname{ctg} \alpha$$

woraus wie oben unter a folgt

$$n = \frac{2}{1 + \sqrt{3} \operatorname{tg} \alpha}$$

Daraus folgt leicht

$$\text{e) } \frac{n}{n-1} = \frac{2}{1 - \sqrt{3} \operatorname{tg} \alpha}$$

Aus dem sphärischen Dreieck exl , in welchem $xl = 60^\circ$,
 $el = 90 - eh = \frac{Y}{2}$ und $\angle elx = hk = 90 - zh$ ist, folgt

$$\cos ex = \cos 60 \cos \frac{Y}{2} + \sin 60 \sin \frac{Y}{2} \cos hk$$

Daraus folgt

$$\frac{2 \sin \frac{X}{2} - \cos \frac{Y}{2}}{\sqrt{3} \sin \frac{Y}{2}} = \cos hk = \sin zh$$

Aus dem rechtwinkligen sphärischen Dreieck ezh folgt

$$\text{f) } \sin zh = \operatorname{ctg} (30 - \alpha) \operatorname{ctg} \frac{Y}{2}$$

Setzt man diesen Werth für $\sin zh$ in die vorhergehende Gleichung, so ergibt sich

$$\frac{2 \sin \frac{X}{2}}{\sqrt{3} \cos \frac{Y}{2}} - \frac{1}{\sqrt{3}} = \operatorname{ctg} (30 - \alpha) = \frac{\sqrt{3} + \operatorname{tg} \alpha}{1 - \sqrt{3} \operatorname{tg} \alpha}$$

woraus

$$\frac{\sin \frac{X}{2}}{\cos \frac{Y}{2}} = \frac{2}{1 - \sqrt{3} \operatorname{tg} \alpha}$$

Setzt man für $\frac{2}{1 - \sqrt{3} \operatorname{tg} \alpha}$ den aus Gl. e folgenden

Werth, so ergibt sich:

$$\text{g) } \frac{n}{n-1} = \frac{\sin \frac{1}{2} X}{\cos \frac{1}{2} Y}$$

Nach Gl. 1 ist

$$m c = \frac{\cos e x}{\cos e z}$$

Aus dem rechtwinkligen sphärischen Dreieck ezh folgt

$$\cos e z = \cos e h \cos z h \text{ oder } \cos e z = \sin \frac{Y}{2} \cos z h$$

Mithin

$$m c = \frac{\cos e x}{\sin \frac{1}{2} Y \cos z h} = \frac{\sin \frac{1}{2} X}{\sin \frac{1}{2} Y \cos z h}$$

Setzt man für $\sin \frac{1}{2} X$ den aus Gl. g folgenden Werth, so ergibt sich

$$m c = \frac{n}{n-1} \frac{\operatorname{ctg} \frac{1}{2} Y}{\cos z h}$$

Setzt man hier für $\operatorname{ctg} \frac{1}{2} Y$ den aus Gl. f folgenden Werth, so ist

$$m c = \frac{n}{n-1} \operatorname{tg} z h \operatorname{tg} (30 - \alpha) = \frac{n}{n-1} \operatorname{tg} z h \frac{1 - \sqrt{3} \operatorname{tg} \alpha}{\sqrt{3} + \operatorname{tg} \alpha}$$

Setzt man hier für $1 - \sqrt{3} \operatorname{tg} \alpha$ den aus Gl. e folgenden Werth und für $\operatorname{tg} \alpha = \frac{2-n}{n\sqrt{3}}$, so ergibt sich

$$m c = \frac{n\sqrt{3}}{n+1} \operatorname{tg} z h = \frac{n}{n+1} \operatorname{tg} 60 \operatorname{tg} z h$$

Aus der oben entwickelten Gleichung

$$\frac{2 \sin \frac{1}{2} X - \cos \frac{1}{2} Y}{\sqrt{3} \sin \frac{1}{2} Y} = \sin z h$$

folgt

$$\frac{2 \sin \frac{1}{2} X : \cos \frac{1}{2} Y - 1}{\sqrt{3} \operatorname{tg} \frac{1}{2} Y} = \sin z h$$

Berücksichtigt man hier die Gl. g, so folgt

$$\sin z h = \frac{n+1}{(n-1)\sqrt{3} \operatorname{tg} \frac{1}{2} Y} = \frac{n+1}{n-1} \operatorname{ctg} 60 \operatorname{ctg} \frac{1}{2} Y$$

Um m und n zu finden, hat man daher folgende Gleichungen zu berechnen:

$$3) \left\{ \begin{array}{l} \frac{n}{n-1} = \frac{\sin \frac{1}{2} X}{\cos \frac{1}{2} Y} \quad \sin zh = \frac{n+1}{n-1} \operatorname{ctg} 60 \cdot \operatorname{ctg} \frac{1}{2} Y \\ mc = \frac{n}{n+1} \operatorname{tg} 60 \operatorname{tg} zh \end{array} \right.$$

Beispiel. An einem Skalenoëder des Kalkspaths hat man gemessen

$$X = 133^{\circ} 0' 20'' \text{ und } Y = 144^{\circ} 24' 20''$$

mithin

$$\frac{X}{2} = 66^{\circ} 30' 10'' \text{ und } \frac{Y}{2} = 72^{\circ} 12' 10''$$

ausserdem kennt man $c = 0,8543$

$$\begin{array}{rcl} \lg \sin \frac{1}{2} X & = & 9,9624 \\ \text{E } \lg \cos \frac{1}{2} Y & = & 0,5148 \\ \hline \lg \frac{n}{n-1} & = & 0,4772 \\ \frac{n}{n-1} & = & 3 \\ n & = & \frac{3}{2} \end{array} \quad \begin{array}{rcl} \lg \frac{n+1}{n-1} & = & 0,6990 \\ \lg \operatorname{ctg} 60 & = & 9,7614 \\ \lg \operatorname{ctg} \frac{1}{2} Y & = & 9,5065 \\ \hline \lg \sin zh & = & 9,9669 \\ zh & = & 67^{\circ} 55' \end{array}$$

$$\begin{array}{rcl} \lg \frac{n}{n+1} & = & 9,7782 \\ \lg \operatorname{tg} 60 & = & 0,2386 \\ \lg \operatorname{tg} zh & = & 0,3918 \\ \text{E } \lg c & = & 0,0684 \\ \hline \lg m & = & 0,4770 \\ m & = & 3 \end{array} \quad \begin{array}{l} \text{Die Formel des Skalenoëders ist} \\ \text{3P}_{\frac{3}{2}}. \text{ Die Indices der Fläche e in} \\ \text{Bezug auf die gewöhnlichen Axen} \\ \text{sind 1 3 2 1.} \end{array}$$

c) Gegeben Y und Z , gesucht die Indices der Fläche e .

Die Gl. 1 gilt auch jetzt. In der Fig. 46 sei $eg = 90 - \frac{Z}{2}$

$$\text{und } eh = 90 - \frac{Y}{2}$$

Aus den beiden rechtwinkligen sphärischen Dreiecken ehz und egz folgt

$$\begin{array}{l} \sin eh = \sin ez \sin (30 - \alpha) \\ \sin eg = \sin ez \sin (30 + \alpha) \end{array}$$

Aus beiden Gleichungen folgt durch Division

$$\frac{\cos \frac{Y}{2}}{\cos \frac{Z}{2}} = \frac{\sin (30 - \alpha)}{\sin (30 + \alpha)} = \frac{1 - \operatorname{ctg} 30 \cdot \operatorname{tg} \alpha}{1 + \operatorname{ctg} 30 \cdot \operatorname{tg} \alpha}$$

und daraus folgt

$$\sqrt{3} \operatorname{tg} \alpha = \frac{\cos \frac{1}{2} Z - \cos \frac{1}{2} Y}{\cos \frac{1}{2} Z + \cos \frac{1}{2} Y}$$

woraus

$$d) \sqrt{3} \operatorname{tg} \alpha + 1 = \frac{2 \cos \frac{1}{2} Z}{\cos \frac{1}{2} Z + \cos \frac{1}{2} Y}$$

Vermöge Gl. 1 ist

$$\frac{n \sqrt{3}}{2 - n} = \frac{\cos ex}{\cos ey}$$

Aus den sphärischen Dreiecken exx und ezy folgt

$$\cos ex = \sin ez \cos \alpha \text{ und } \cos ey = \sin ez \sin \alpha$$

mithin

$$e) \frac{n \sqrt{3}}{2 - n} = \operatorname{ctg} \alpha$$

woraus wieder wie oben

$$n = \frac{2}{1 + \sqrt{3} \operatorname{tg} \alpha}$$

In Verbindung mit Gl. d folgt

$$n - 1 = \frac{\cos \frac{1}{2} Y}{\cos \frac{1}{2} Z}$$

Aus dem rechtwinkligen sphärischen Dreieck ezh folgt:

$$\sin zh = \operatorname{ctg} (30 - \alpha) \operatorname{ctg} \frac{1}{2} Y$$

Aus der Gleichung

$$n = \frac{2}{1 + \sqrt{3} \operatorname{tg} \alpha}$$

folgt

$$\frac{n + 1}{n - 1} = \sqrt{3} \operatorname{ctg} (30 - \alpha)$$

Setzt man den Werth von $\text{ctg } (30 - \alpha)$ aus dieser Gleichung in die vorhergehende, so folgt

$$f) \sin z h = \frac{n+1}{n-1} \text{ctg } 60 \text{ctg } \frac{1}{2} Y$$

Aus dem sphärischen Dreieck $e x l$ folgt wie früher

$$\cos e x = \frac{1}{2} \cos \frac{1}{2} Y + \frac{\sqrt{3}}{2} \sin \frac{1}{2} Y \sin z h$$

Aus dem rechtwinkligen sphärischen Dreieck $e z h$ folgt

$$\cos e z = \cos z h \sin \frac{1}{2} Y$$

Da

$$m c = \frac{\cos e x}{\cos e z}$$

so folgt

$$m c = \frac{\frac{1}{2} \cos \frac{1}{2} Y + \frac{\sqrt{3}}{2} \sin \frac{1}{2} Y \sin z h}{\cos z h \sin \frac{1}{2} Y} = \frac{\text{ctg } \frac{1}{2} Y}{2 \cos z h} + \frac{\sqrt{3} \text{tg } z h}{2}$$

Setzt man für $\text{ctg } \frac{1}{2} Y$ den aus Gl. f folgenden Werth, so ergibt sich

$$m c = \frac{n}{n+1} \sqrt{3} \text{tg } z h$$

Um m und n zu finden, hat man folgende Gleichungen zu berechnen:

$$4) \left\{ \begin{array}{l} n - 1 = \frac{\cos \frac{1}{2} Y}{\cos \frac{1}{2} Z} \\ \sin z h = \frac{n+1}{n-1} \text{ctg } 60 \text{ctg } \frac{1}{2} Y = \cos h k \\ m c = \frac{n}{n+1} \text{tg } 60 \text{tg } z h \end{array} \right.$$

Beispiel. An einem Skalenoëder des Kalkspaths hat man gemessen:

$$Y = 144^{\circ} 24' 20 \text{ und } Z = 104^{\circ} 37' 20''$$

ausserdem kennt man $c = 0,8543$

$$\begin{array}{rcl}
 \lg \cos \frac{1}{2} Y & = & 9,4852 \\
 E \lg \cos \frac{1}{2} Z & = & 0,2137 \\
 \lg (n - 1) & = & 9,6989 \\
 n - 1 & = & \frac{1}{2} \\
 n & = & \frac{3}{2} \\
 \lg \frac{n}{n+1} & = & 9,7781 \\
 \lg \operatorname{tg} 60 & = & 0,2386 \\
 \lg \operatorname{tg} z h & = & 0,3918 \\
 E \lg c & = & 0,0684 \\
 \lg m & = & 0,4769 \\
 m & = & 3
 \end{array}
 \quad
 \begin{array}{rcl}
 \lg \frac{n+1}{n-1} & = & 0,6990 \\
 \lg \operatorname{ctg} 60 & = & 9,7614 \\
 \lg \operatorname{ctg} \frac{1}{2} Y & = & 9,5065 \\
 \lg \sin z h & = & 9,9669 \\
 z h & = & 67^{\circ} 55'
 \end{array}$$

Das Skalenoëder ist

$$\frac{{}^3P \frac{3}{2}}{2} \quad \text{Die Indices von e sind } 1321$$

Mit Hilfe der sphärischen Dreiecke ex und egz (Fig. 46) gewinnt man neue ebenso einfache Formeln. Die genannten Dreiecke liefern die Gleichungen

$$\cos ex = \frac{1}{2} \cos \frac{Z}{2} + \frac{\sqrt{3}}{2} \sin \frac{Z}{2} \sin gz$$

und

$$\sin gz = \operatorname{ctg} (30 + \alpha) \operatorname{ctg} \frac{Z}{2} = \frac{2n-1}{\sqrt{3}} \operatorname{ctg} \frac{Z}{2} = \cos gq$$

Nun ist

$$mc = \frac{\cos ex}{\cos ez} = \frac{\frac{1}{2} \cos \frac{1}{2} Z + \frac{\sqrt{3}}{2} \sin \frac{1}{2} Z \sin gz}{\cos gz \sin \frac{1}{2} Z} = \frac{\operatorname{ctg} \frac{1}{2} Z}{2 \cos gz} + \frac{\sqrt{3}}{2} \operatorname{tg} gz$$

Setzt man für $\operatorname{ctg} \frac{Z}{2}$ den aus der vorhergehenden Gleichung folgenden Werth, so ergibt sich

$$mc = \frac{n}{2n-1} \operatorname{tg} 60 \operatorname{tg} gz$$

Um m und n zu finden, hat man mithin folgende Gleichungen zu berechnen:

$$5) \begin{cases} n - 1 = \frac{\cos \frac{1}{2} Y}{\cos \frac{1}{2} Z} \\ \sin g z = (2n - 1) \operatorname{ctg} 60 \operatorname{ctg} \frac{1}{2} Z = \cos g q \\ m c = \frac{n}{2n - 1} \operatorname{tg} 60 \operatorname{tg} g z \end{cases}$$

Die Winkel $h k$ und $g q$ in den Gl. 4 und 5 haben noch eine besondere Bedeutung. $g q$ ist, wie sich leicht beweisen lässt, der Winkel, den die kürzere Polkante mit der Z -Achse bildet und $h k$ der Winkel, den die längere Polkante mit der Z -Achse bildet.

Berechnung der Rhomboëder $\frac{m P}{2}$

Die zur Berechnung der Rhomboëder dienenden Gleichungen erhält man leicht aus den vorhergehenden Gleichungen, indem man $n = 1$ und $Y = 180$ setzt. Der blosse Anblick des Rhomboëders lehrt, dass $X = 180 - Z$ ist.

a) Gegeben X , gesucht m .

Aus den Gl. 2, S. 126 folgt

$$1) \sin g z = \operatorname{ctg} 60 \operatorname{tg} \frac{X}{2} \quad m c = \operatorname{tg} 60 \operatorname{tg} g z$$

b) Gegeben Z , gesucht m .

Aus den Gl. 5, S. 134 folgt

$$2) \sin g z = \operatorname{ctg} 60 \operatorname{ctg} \frac{Z}{2} \quad m c = \operatorname{tg} 60 \operatorname{tg} g z$$

§. 15.

Secundäre Ableitung, Bezeichnung und Berechnung der Skalenoëder.

Da die meisten hexagonal krystallisirenden Mineralien der rhomboëdrischen Hemiëdrie unterworfen sind, so hat man die Rhomboëder und Skalenoëder noch auf eine andere repräsentativere Weise bezeichnet.

Das aus der Grundpyramide P abgeleitete Rhomboëder bezeichnet man mit R und nennt es das Grundrhomboëder. Das aus mP abgeleitete Rhomboëder bezeichnet man entsprechend mit mR. Da aus jeder Pyramide mP zwei Rhomboëder abgeleitet werden können, ein Rhomboëder $+ mR$ und ein Rhomboëder $- mR$, und da zwei Rhomboëder $+ mR$ und $- mR$ im Gleichgewichte ausgebildet den Eindruck einer Pyramide mP machen, so können wir uns die ganze Grundreihe der hexagonalen Pyramiden als eine Reihe von Rhomboëdern vorstellen, so wie es das folgende Schema veranschaulicht.

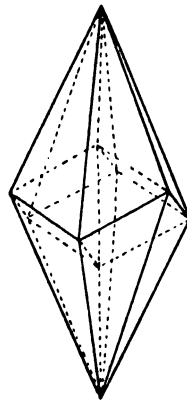
$$m < 1 \qquad m > 1$$

$$oR \dots \pm mR \dots \pm R \dots \pm mR \dots \infty R$$

Die Grenzformen ∞R (Protoprisma) und oR (basischer Hauptschnitt) bedürfen nicht der doppelten Zeichen.

Vergleichen wir die Rand- und Mittelkanten eines Rhomboëders mit den Rand- oder Mittelkanten des Skalenoëders, so bemerken wir, dass beide in ihrer Lage vollkommen übereinstimmen, dass mithin, weil aus den Randkanten des Rhomboëders das ganze Rhomboëder construiert werden kann, einem jeden Skalenoëder ein einziges Rhomboëder eingeschrieben werden kann, welches mit dem Skalenoëder die Randkanten gemein hat (Fig. 47). Dieses Rhomboëder nennt man das Rhomboëder der Mittelkanten. Aus einem Rhomboëder lassen sich nun in der folgenden Weise alle möglichen Skalenoëder ableiten. Wir multipliciren die Hauptaxe m c des Rhomboëders mR mit einer Zahl n und legen durch jede Randkante des Rhomboëders zwei Flächen, welche die Hauptaxe in ihren neuen Endpunkten schneiden. Das dadurch entstehende Skalenoëder bezeichnen wir mit mR.n. Der kleinste Werth, den n annehmen kann, ist 1, der grösste ∞ und es ist sofort einleuchtend, dass $mR \infty$ mit dem Deutero-prisma ∞P_2 zusammenfällt.

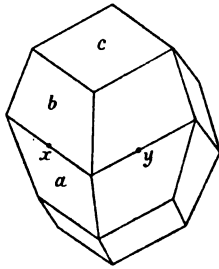
Fig. 47.



Da man auch aus den Polkanten eines jeden Rhomboëders das Rhomboëder selbst construiren kann, ein jedes Skalenoëder

aber drei schärfere und drei stumpfere Polkanten besitzt, so kann man einem jeden Skalenoëder noch zwei andere Rhomboëder einschreiben. Das eine Rhomboëder hat zu Polkanten die längeren Polkanten, das andere die kürzeren Polkanten des Skalenoëders. Das erstere nennt man das Rhomboëder der längeren Polkanten, das zweite das Rhomboëder der kürzeren Polkanten. Ist mithin ein Skalenoëder gegeben, so kann man nach dem eben Gesagten leicht die drei Rhomboëder hinein-construiren. Kennt man mithin das m und n eines Skalenoëders $\frac{mPn}{2}$, so muss man das m' der drei eingeschriebenen Rhomboëder $m'R$ berechnen können.

Fig. 48.



Die Fig. 48 repräsentirt eine Combination des Skalenoëders $b \frac{mPn}{2}$ mit dem eingeschriebenen Rhomboëder $\frac{m'P}{2}$ oder $m'R = c$. Vermöge der Zonengleichung ist es nun sehr leicht, m' aus m und n zu berechnen.

Die Indices der Fläche a sind $1, \frac{-(2-n)}{n}, -\frac{1}{m}$

Die Indices der Fläche b sind $1, \frac{2-n}{n}, \frac{1}{m}$

Die Indices der Fläche c sind $1, 1, \frac{1}{m'}$

Mithin muss vermöge der Gl. 4, S. 8 sein:

$$\frac{2}{m} - \frac{1}{m'} \cdot \frac{2(2-n)}{n} = 0$$

woraus

$$m' = \frac{m(2-n)}{n}$$

Das Rhomboëder der Mittelkanten hat daher das Zeichen:

$$\frac{m(2-n)}{n} P + \frac{n}{2}$$

Um das Rhomboëder der kürzeren Polkanten zu berechnen, denken wir uns auf jeder der oberen und unteren längeren Polkanten einen gleichweit vom Endpunkte der Hauptaxe abstehenden Punkt und legen durch denselben eine Ebene parallel mit je zwei kürzeren Polkanten. Diese Ebenen schneiden die Flächen des Skalenoëders in Kanten, die den kürzeren Polkanten des Skalenoëders parallel sind und es ist klar, dass wir jetzt eine Combination des Skalenoëders mit dem Rhomboëder der kürzeren Polkanten vor uns haben. Wie oben, finden wir als das Zeichen für das Rhomboëder der kürzeren Polkanten:

$$+ \frac{\frac{m(2n-1)}{n} p}{2}$$

Um das Rhomboëder der längeren Polkanten zu berechnen, denken wir uns auf jeder der oberen und unteren kürzeren Polkanten einen gleichweit vom Endpunkte der Hauptaxe abstehenden Punkt und legen durch denselben eine Ebene parallel mit je zwei längeren Polkanten. Diese Ebenen schneiden die Flächen des Skalenoëders in Kanten, die den längeren Polkanten des Skalenoëders parallel sind und es ist klar, dass wir nun eine Combination des Skalenoëders mit dem Rhomboëder der längeren Polkanten vor uns haben. Wir finden als Zeichen für das Rhomboëder der längeren Polkanten wie oben:

$$- \frac{\frac{m(n+1)}{n} p}{2}$$

Vergleicht man die Längen der Hauptaxen dieser drei aus dem Skalenoëder abgeleiteten Rhomboëder, so erhält man die interessante Beziehung:

$$n + 1 = (2n - 1) + (2 - n)$$

In Worten: Die halbe Hauptaxe des Rhomboëders der längeren Polkanten ist gleich der Summe der halben Hauptaxen der beiden anderen Rhomboëder.

Wir legen uns jetzt die Frage vor: welcher Zusammenhang besteht zwischen den beiden Zeichen $\frac{mPn}{2}$ und $m'P'n'$ des

Skalenoëders, oder wie kann man m' und n' aus m und n finden und umgekehrt?

In dem Zeichen $m'Rn'$ bedeutet $m'R$, wie wir gesehen haben, das Rhomboëder der Mittelkanten des Skalenoëders $\frac{mPn}{2}$ und wir haben gefunden:

$$m' = \frac{m(2-n)}{n}$$

Die Grösse n' war die Zahl, mit welcher m' multiplicirt werden musste, damit das m des Skalenoëders $\frac{mPn}{2}$ herauskam. Daher muss sein:

$$m'n' = m \text{ oder } \frac{m(2-n)}{n} n' = m$$

Daraus folgt

$$n' = \frac{n}{2-n}$$

und daraus folgt

$$n = \frac{2n'}{n'+1}$$

Zwischen den beiden Zeichen $\frac{mPn}{2}$ und $m'Rn'$ besteht mithin die Beziehung:

$$m'Rn' = \frac{m(2-n)}{n} R \frac{n}{2-n} \text{ äquivalent } \frac{mPn}{2}$$

$$\text{und } mRn \text{ äquivalent } \frac{mnP \frac{2n}{n+1}}{2}$$

Wollen wir die für das Skalenoëder $\frac{mPn}{2}$ durchgeführten Rechnungsformeln so umformen, dass sie dem secundären Zeichen $m'Rn'$ entsprechen, so haben wir, da $m'Rn'$ äquivalent $\frac{m'n'P \frac{2n'}{n'+1}}{2} = \frac{mPn}{2}$ ist, in den früheren Formeln $m'n'$ für m , und $\frac{2n'}{n'+1}$ für n zu setzen. Ist dies geschehen, so

können die Accente weggelassen werden und wir erhalten die für mRn geltenden Gleichungen.

Oben haben wir gefunden, dass die dem Skalenoëder $\frac{mPn}{2}$ eingeschriebenen 3 Rhomboëder die Zeichen haben:

$$+\frac{m(2-n)}{2}P \quad +\frac{m(2n-1)}{2}P \quad \text{und} \quad -\frac{m(n-1)}{2}P$$

Aus dem Vorhergehenden ergibt sich nun, dass die dem Skalenoëder $m'Rn'$ eingeschriebenen 3 Rhomboëder die secundären Zeichen haben:

$$+m'R \quad +\frac{1}{2}m'(3n'-1)R \quad \text{und} \quad -\frac{1}{2}m'(3n'+1)R$$

§. 16.

Entwicklung zusammengesetzter Combinationen.

Erstes Beispiel (Beryll) ¹⁾.

Die Fig. 49a repräsentirt eine sechszählige holodrische Combination des Berylls. Wählen wir P zur Grundform, so lehrt eine allgemeine Bestimmung, dass

Fig. 49.

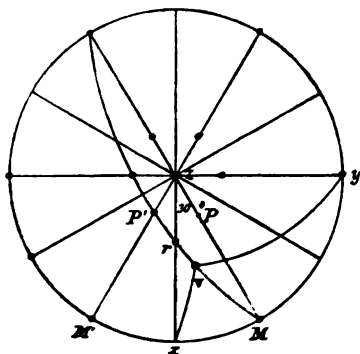
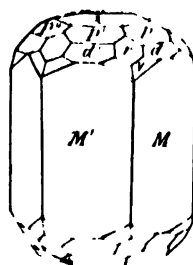


Fig. 49a.



¹⁾ Naumann, Lehrbuch d. reinen u. angewandten Krystallographie, 1830, S. 493, Fig. 459.

P die Pyramide P
 z der basische Hauptschnitt oP
 d eine Pyramide mP
 M das Prisma ∞ P
 r eine Pyramide zweiter Ordnung mP₂
 v eine dihexagonale Pyramide mP_n

Die Fig. 49 gibt eine stereographische Projection derjenigen Flächen, deren Berechnung aus dem Zonenverbande allein nicht möglich ist.

Bekannt ist der Winkel $v : M = 142^{\circ} 15'$ (Fig. 49a)
 und der Polkantenwinkel $P : P' = 151^{\circ} 3'$

Berechnung des Axenverhältnisses.

Aus Gl. 1, S. 121

$$\cos hx = \operatorname{tg} 60 \operatorname{ctg} \frac{Z}{2} \text{ und } mc = \operatorname{ctg} hx$$

folgt, wenn man $m = 1$ setzt:

$$hx = 63^{\circ} 26' 22'' \text{ und } c = 0,4999$$

Berechnung von r.

Die x-Axe gehe durch die Kante, die M mit M' verbindet.
 r liegt in der Zone MvrP' (Fig. 49 und 49a).

Setzt man daher in die Zonengleichung 4, S. 8 für M die Indices 110, für P' die Indices $1\bar{1}1$ und für r die Indices $10\frac{1}{m}$, so erhält man $m = 2$. Mithin ist $r = 2P_2$. Die Indices von r sind 1211 (in Bezug auf die gewöhnlichen 4 Axen).

Die Reihenfolge der Indices in Bezug auf die gewöhnlichen 4 Axen wird nach der S. 118 angegebenen Regel gebildet.

Bestimmung von d.

d liegt in der Zone drd' (Fig. 49a). Setzt man daher in die Zonengleichung die Indices von $11\frac{1}{m}$ für d, die Indices

$1 \bar{1} \frac{1}{m}$ für d' und die Indices $2 \ 0 \ 1$ für r , so erhält man $m = 2$.
Mithin ist $d = {}_2P$ oder $(0 \ 2 \ 2 \ 1)$ in Bezug auf die gewöhnlichen 4 Axen.

Bestimmung von v .

Erste Methode. v liegt in der Zone $MvrP'$. Die Indices von v seien $1, \frac{2-n}{n}, \frac{1}{m}$. Die Indices von M sind $1 \ 1 \ 0$, die von P' sind $1 \bar{1} \ 1$. Mithin ergibt sich vermöge der Zonengleichung: $m = \frac{n}{n-1}$ oder $n = \frac{m}{m-1}$. Die Gleichung von v ist:

$$\cos vx = \frac{n\sqrt{3}}{2-n} \cos vy = mc \cos vz$$

$$\frac{2-n}{n\sqrt{3}} = \frac{\cos vy}{\cos vx} \text{ und } mc = \frac{\cos vx}{\cos vz}$$

Da die Indices von P gleich $1 \ 1 \ 1$ sind, so ist die Gleichung von P

$$\cos Px = \sqrt{3} \cos Py = c \cos Pz$$

Aus dem Dreieck Pxz (Fig. 49) folgt

$$\cos Px = \sin Pz \cos 30$$

mithin ist

$$\sin Pz \cos 30 = c \cos Pz$$

woraus

$$\operatorname{tg} Pz = \frac{c}{\cos 30}$$

Daraus folgt

$$Pz = 29^\circ 59' 42'' \text{ mithin } PM = 60^\circ 0' 18'' = P'M'$$

Aus dem Dreieck $P'M'M$ (Fig. 49) folgt

$$\sin M'M = \operatorname{ctg} P'MM' \operatorname{tg} M'P'$$

woraus, da $M'M = 60^\circ$ ist,

$$P'MM' = 63^\circ 26' 22''$$

Aus den sphärischen Dreiecken vMy und vMx folgt

$$\cos vy = \cos Mv \cos 60 - \sin Mv \sin 60 \cos vMx$$

$$\cos vx = \cos Mv \cos 30 + \sin Mv \sin 30 \cos vMx$$

Da $\cos 60 = \sin 30$ und $\sin 60 = \cos 30$ ist, so folgt

$$\frac{\cos v y}{\cos v x} = \frac{\cos M v \sin 30 - \sin M v \cos 30 \cos v M x}{\cos M v \cos 30 + \sin M v \sin 30 \cos v M x} \\ = \frac{\operatorname{tg} 30 - \operatorname{tg} M v \cos v M x}{1 + \operatorname{tg} M v \cos v M x \operatorname{tg} 30}$$

Setzt man

a) $\operatorname{tg} \varphi = \operatorname{tg} M v \cos v M x$, so ist

$$\frac{2-n}{n\sqrt{3}} = \frac{\cos v y}{\cos v x} = \operatorname{tg} (30 - \varphi), \text{ mithin}$$

$$\text{b) } \frac{2-n}{n} = \sqrt{3} \operatorname{tg} (30 - \varphi) = \operatorname{tg} 60 \operatorname{tg} (30 - \varphi)$$

Da $M v = 180 - M : v$, so findet sich

$$n = \frac{3}{2} \text{ mithin } m = 3$$

folglich

$v = {}_3P_{\frac{3}{2}}$ oder (1 3 2 1) (bezogen auf die gewöhnlichen 4 Axen).

Zweite Methode. Setzt man in Gl. 17, S. 26

$$\cos w = \frac{3 l l' + c^2 k k' + 3 c^2 h h'}{\sqrt{3 l^2 + c^2 k^2 + 3 c^2 h^2} \sqrt{3 l'^2 + c^2 k'^2 + 3 c^2 h'^2}}$$

für w den Werth $M v = 180 - M : v = 37^\circ 45'$, für $h k l$ die

Werthe 1 1 0 und für $h' k' l'$ die Werthe $1 \frac{2-n}{n} \frac{1}{m}$ und für n

den Werth $n = \frac{m}{m-1}$, so erhält man die Gleichung:

$$\cos w = \frac{(2m-1)c}{\sqrt{4c^2(m^2-m+1)+3}}$$

woraus folgt

$$\operatorname{ctg} w = \frac{c(2m-1)}{\sqrt{3}\sqrt{1+c^2}}$$

woraus

$$2m-1 = \frac{\operatorname{ctg} M v \cdot \sqrt{3}\sqrt{1+c^2}}{c}$$

Die Combination weist mithin auf:

$$\infty P . o P . P . {}_3P . {}_3P_2 . {}_3P_{\frac{3}{2}} \\ M . z . P . d . r . v$$

Zweites Beispiel (Apatit) ¹⁾.

Die Fig. 50 repräsentirt eine zehnzählige Combination des Apatites. Wählt man d zur Grundpyramide, so ist

d die Pyramide P

e und v sind Pyramiden mP

P ist der basische Hauptschnitt oP

M das Prisma \propto P

s und a sind Deuteropyramiden mP₂

l und r sind Tritopyramiden $+\left[\frac{mPn}{2}\right]$

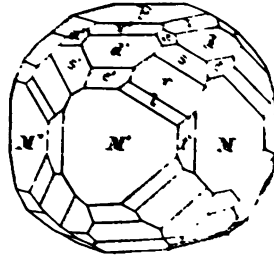
f das Deuteroprisma \propto P₂

Bekannt ist der Winkel

$$d:d' = 142^\circ 15' 20''$$

(der Polkantenwinkel der Grundpyramide).

Fig. 50.



Berechnung des Axenverhältnisses der Grundpyramide.

Aus Gl. 1, S. 121:

$$\cos hx = \operatorname{tg} 60 \operatorname{ctg} \frac{Z}{2} \text{ und } mc = \operatorname{ctg} hx$$

folgt, wenn man $m = 1$ und $Z = 142^\circ 15' 20''$ setzt:

$$c = 0,7346$$

Die x-Axe geht durch die Kante, die M' mit M'' bildet.

Aus dem Zonenverbande können alle Formen ermittelt werden.

Bestimmung von a.

a liegt in der Zone d'ad.

Indices von d': 1 1 1

Indices von d: 0 2 1

Indices von a: $\frac{1}{2} \frac{3}{2} \frac{1}{m}$ oder m, 3m, 2

Setzt man diese Werthe in die Zonengleichung 4, S. 8, so ergibt sich $m = 1$. Mithin ist

$a = P_2$ oder $(\bar{1} 1 2 2)$ (bezogen auf die gewöhnlichen 4 Axen).

¹⁾ Vgl. Naumann, Lehrbuch der reinen und angewandten Krystallographie, Leipzig 1830, S. 504, Fig. 465.

Bestimmung von v.

v liegt in der Zone a'v'v

Die Indices von a' sind: 1 0 1

Die Indices von v' sind: $1\ 1\ \frac{1}{m}$ oder m m 1

Die Indices von v sind: $0\ 2\ \frac{1}{m}$ oder 0, 2 m, 1

Vermöge der Zonengleichung erhält man nun: $m = \frac{1}{2}$

Mithin ist

$$v = \frac{1}{2} P \text{ oder } (\bar{1}\ 0\ 1\ 2)$$

Bestimmung von s'.

s' liegt in der Zone s'd'a

Indices von s' seien $1\ 0\ \frac{1}{m}$ oder m 0 1

Indices von d' sind 1 1 1

Indices von a sind 1 3 2

Mithin ergibt sich aus der Zonengleichung $m = 2$. Folglich ist

$$s' = {}_2P_2 \text{ oder } (1\ 2\ 1\ 1)$$

Bestimmung von e'.

Mit Hilfe des Goniometers hat man gefunden, dass die Flächen e'se tautozonal sind.

Die Indices von e' seien $1\ 1\ \frac{1}{m}$ oder m m 1

Die Indices von e sind $0\ 2\ \frac{1}{m}$ oder 0, 2 m, 1

Die Indices von s sind 2 6 2 oder 1 3 1

Vermöge der Zonengleichung erhält man $m = 2$. Mithin ist

$$e' = {}_2P \text{ oder } (0\ 2\ 2\ 1)$$

Bestimmung von l und r.

l und r liegen in der Zone M'lr_s

Die Indices von M' sind 1 1 0

Die Indices von s sind 1 3 1

Die Indices von l oder r seien $\frac{1}{n} \frac{2n-1}{n} \frac{1}{m}$

so muss vermöge der Zonengleichung $m = \frac{n}{n-1}$ und $n = \frac{m}{m-1}$ sein. Beide Formen l und r haben daher das Zeichen

$$+ \left[\frac{mP \frac{m}{m-1}}{2} \right]$$

l liegt noch in der Zone e'lf

Die Indices von e' sind 2 2 1

Die Indices von f sind 1 3 0

Die Indices von l sind $\frac{1}{n} \frac{2n-1}{n} \frac{n-1}{n}$

Mit Hilfe der Zonengleichung findet man $n = \frac{4}{3}$, mithin $m = 4$, folglich ist

$$l = + \left[\frac{4P \frac{4}{3}}{2} \right] \text{ Die Indices von l sind } \bar{1} \ 3 \ 4 \ 1$$

r liegt noch in der Zone d'rf, daher findet sich vermöge der Zonengleichung $m = 3$ und $n = \frac{3}{2}$, mithin ist

$$r = + \left[\frac{3P \frac{3}{2}}{2} \right] \text{ Indices von r: } (\bar{1} \ 2 \ 3 \ 1)$$

Die Combination weist mithin auf:

$$\begin{array}{ccccccc} \infty P & . & \infty P_2 & . & oP & . & \frac{1}{2}P & . & P \\ M' & . & f & . & P & . & v & . & d' \\ (0 \ 1 \ 1 \ 0) & . & (\bar{1} \ 1 \ 2 \ 0) & . & (0 \ 0 \ 0 \ 1) & . & (\bar{1} \ 0 \ 1 \ 2) & . & (0 \ 1 \ 1 \ 1) \\ & . & 2P & . & P_2 & . & 2P_2 & . & + \left[\frac{4P \frac{4}{3}}{2} \right] & . & + \left[\frac{3P \frac{3}{2}}{2} \right] \\ & . & e' & . & a & . & s' & . & l & . & r \\ & . & (0 \ 2 \ 2 \ 1) & . & (\bar{1} \ 1 \ 2 \ 2) & . & (1 \ 2 \ 1 \ 1) & . & (\bar{1} \ 3 \ 4 \ 1) & . & (\bar{1} \ 2 \ 3 \ 1) \end{array}$$

Drittes Beispiel (Kalkspath) ¹⁾.

Die Fig. 51 a repräsentirt eine siebenzählige rhomboëdrische Combination des Kalkspaths. Wählt man P zum Grundrhomboëder, so ist

P das Rhomboëder R

d das Prisma ∞ R

t und r sind 2 Skalenoëder mRn

e, φ und f sind 3 negative Rhomboëder — mR

Die x-Axe geht durch die Kante, in welcher d und d'' sich schneiden (Fig. 51 a).

Fig. 51.

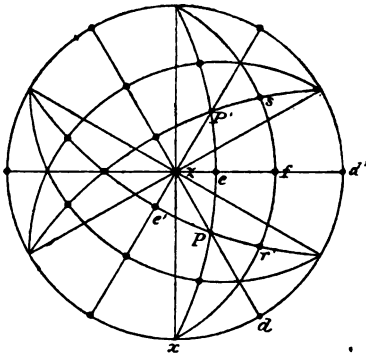
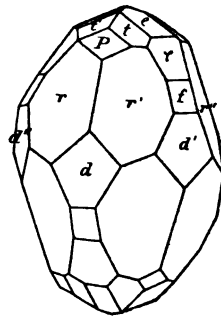


Fig. 51 a.



Die Fig. 51 repräsentirt eine stereographische Projection, soweit sie zur Berechnung erwünscht ist.

Bekannt ist der Polkantenwinkel des Rhomboëders P: $105^\circ 5'$ (Fig. 51 a).

Ferner kennt man den Winkel $f : d' = 153^\circ 7'$ (Fig. 51 a).

Aus der Gl. 2, S. 134

$$\sin gz = \operatorname{ctg} 60 \operatorname{ctg} \frac{Z}{2} \text{ und } mc = \operatorname{tg} 60 \operatorname{tg} gz$$

folgt, wenn man $Z = 105^\circ 5'$ und $m = 1$ setzt:

$$c = 0,8543$$

¹⁾ Naumann, Lehrbuch d. reinen u. angewandten Krystallographie, Bd. 1, S. 500, Fig. 461.

Bestimmung von e.

e liegt in der Zone PeP' (Fig. 51), lässt sich mithin vermöge der Zonengleichung ermitteln, wenn man für P die Indices $1\ 1\ 1$, für P' die Indices $\bar{1}\ 1\ 1$ und für e die Indices $0\ 2\ \frac{1}{m}$ oder $0\ 2m\ 1$ setzt. Man findet $m = \frac{1}{2}$, mithin ist

$$e = -\frac{1}{2}R \text{ Indices von } e: (\bar{1}\ 0\ 1\ 2)$$

Bestimmung von f.

Erste Methode. Die Indices von f seien $0\ 2\ \frac{1}{m}$ oder $0, 2m, 1$, so ist die Gleichung von f:

$$\frac{\sqrt{3}}{2} \cos fd' = cm \sin fd'$$

woraus

$$m = \frac{\sqrt{3}}{2c} \operatorname{ctg} fd' = \frac{\sin 60 \operatorname{ctg} fd'}{c}$$

Nun ist $fd' = 180 - f : d' = 26^\circ 53$. Daher ergibt sich $m = 2$. Mithin ist

$$f = -2R \text{ Indices von } f: (\bar{2}\ 0\ 2\ 1)$$

Zweite Methode. Setzt man in der Gleichung

$$\cos w = \frac{3\ 1\ 1' + c^2 k k' + 3\ c^2 h h'}{\sqrt{3\ 1^2 + c^2 k^2 + 3\ c^2 h^2} \sqrt{3\ 1'^2 + c^2 k'^2 + 3\ c^2 h'^2}}$$

für hkl die Indices von f: $0\ 2m\ 1$, für $h'k'l'$ die Indices von d' : $0\ 1\ 0$, so ergibt sich die Gleichung

$$\cos fd' = \frac{2mc}{\sqrt{4m^2c^2 + 3}}$$

woraus

$$\operatorname{ctg} fd' = \frac{2mc}{\sqrt{3}}$$

woraus

$$m = \frac{\sqrt{3} \operatorname{ctg} fd'}{2c} = \frac{\sin 60 \operatorname{ctg} fd'}{c}$$

Bestimmung von r' .

r' liegt in den zwei Zonen $r'fr''$ und $r'Pe'$ (Fig. 51), wird mithin mit Hilfe der Zonengleichung bestimmt.

Die Indices von r' seien $\frac{1}{n} \frac{2n-1}{n} \frac{1}{m}$

Die Indices von e' sind $1 \bar{1} 2$

Die Indices von P sind $1 1 1$

Die Indices von r'' sind $\frac{\bar{1}}{n} \frac{2n-1}{n} \frac{1}{m}$

Man findet $n = \frac{3}{2}$ und $m = 3$, mithin ist

$$r' = \frac{{}^3P_{\frac{3}{2}}}{2} \quad \text{Indices von } r' \text{ sind: } \bar{1} 2 3 1$$

Da $\frac{mPn}{2} = \frac{m'n'P}{2} \frac{2n'}{n'+1}$ äquivalent $m'Rn'$ ist (S. 138),

so ist in unserem Falle $m'n' = 3$ und $\frac{2n'}{n'+1} = \frac{3}{2}$. Daraus folgt $n' = 3$ und $m' = 1$, mithin ist

$$\frac{{}^3P_{\frac{3}{2}}}{2} \text{ gleichwerthig mit } R_s.$$

Bestimmung von t .

t liegt in der Zone Pte

Sind die Indices von t : $\frac{1}{n} \frac{2n-1}{n} \frac{1}{m}$, so folgt vermöge

der Zonengleichung $n = \frac{m}{2m-1}$

Da die Combinationsskante von t und r' in Fig. 51 a horizontal ist, so muss t die x -Axe in derselben Entfernung schneiden, in der diese von r' geschnitten wird; mithin muss n in der letzten Gleichung $= \frac{3}{2}$ sein; alsdann folgt $m = \frac{3}{4}$; folglich ist

$$t = \frac{{}^{\frac{3}{4}}P_{\frac{3}{2}}}{2} \text{ äquivalent } \frac{1}{4} R_s \quad \text{Indices von } t \text{ sind: } \bar{1} 2 3 4$$

Bestimmung von φ .

φ liegt in der Zone $\varphi tt'$ (Fig. 51a). Sind die Indices von $\varphi: 02\frac{1}{m}$, so ergibt sich $m = \frac{5}{4}$

Mithin ist

$$\varphi = -\frac{5}{4}R \quad \text{Indices von } \varphi \text{ sind: } \bar{5}054$$

Die Combination weist mithin auf:

$$\begin{array}{cccccc} R_3 & . & \frac{1}{4}R_3 & . & \infty R & . & -\frac{5}{4}R & . & -\frac{1}{2}R \\ r' & . & t & . & d & . & \varphi & . & e \\ (\bar{1}231) & . & (\bar{1}234) & . & (0110) & . & (\bar{5}054) & . & (\bar{1}012) \\ & & & . & -\frac{1}{2}R & . & R & & \\ & & & . & f & . & P & & \\ & & & . & (\bar{2}021) & . & (0111) & & \end{array}$$

Viertes Beispiel (Eisenglanz¹⁾).

Die Fig. 52a repräsentirt eine fünfzählige Combination. Wählt man R zum Grundrhomboëder, so lehrt eine allgemeine Bestimmung, dass

v und s zwei Rhomboëder mR

n eine Pyramide zweiter Ordnung mP2

g ein Skalenoëder mRn ist.

Fig. 52.

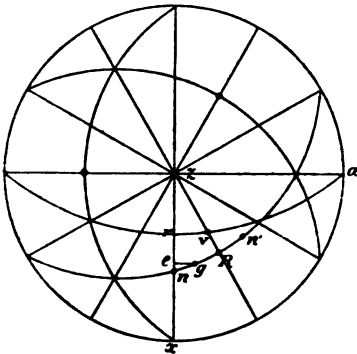
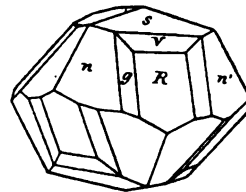


Fig. 52a.



¹⁾ Naumann, Lehrbuch d. reinen u. angewandten Kryst.
Bd. 1, S. 503, Fig. 464.

Die Fig. 52 repräsentirt eine stereographische Projection derjenigen Flächen, deren Berechnung eine correcte Projection wünschenswerth erscheinen lässt.

Bekannt ist der Randkantenwinkel X des Grundrhomboëders R. Er ist $93^{\circ} 50'$.

Bekannt sind ferner die Winkel

$$R : v = 165^{\circ} 51' \text{ (Fig. 52 a)}$$

$$R : s = 143^{\circ} 54'$$

$$R : g = 163^{\circ} 42'$$

Aus den Gl. 1 Seite 134

$$\sin g z = \operatorname{ctg} 60 \operatorname{tg} \frac{X}{2}$$

$$m c = \operatorname{tg} 60 \operatorname{tg} g z .$$

folgt, wenn man $X = 94^{\circ}$ und $m = 1$ setzt:

$$c = 1,359$$

Bestimmung von v.

Erste Methode. Die Indices von R sind 1 1 1; die Gleichung von R ist

$$\cos R x = \sqrt{3} \cos R a = c \cos R z$$

Aus dem sphärischen Dreieck R x z folgt

$$\cos R x = \sin R z \cos 30$$

Aus beiden Gleichungen folgt

$$\operatorname{tg} R z = \frac{c}{\cos 30}$$

woraus

$$R z = 57^{\circ} 29' 30''$$

Es ist $v z = R z - R v = 43^{\circ} 20' 30''$, denn

$$R v = 180 - R : v$$

Die Indices von v seien $11 \frac{1}{m}$ oder m m 1, so ist die

Gleichung von v:

$$\cos v x = \sqrt{3} \cos v a = m c \cos v z$$

woraus folgt

$$m c = \frac{\cos v x}{\cos v z}$$

Aus den sphärischen Dreiecken $\nu r x$ und $\nu r z$ folgt

$$\cos \nu x = \cos r \nu \cos r x$$

und

$$\cos \nu z = \cos r \nu \cos r z$$

Aus beiden Gleichungen folgt durch Division:

$$\frac{\cos \nu x}{\cos \nu z} = \frac{\cos r x}{\cos r z} = \frac{\sin r z}{\cos r z} = \operatorname{tg} r z$$

Mithin ist

$$m = \frac{\operatorname{tg} r z}{c}$$

Aus dem sphärischen Dreieck $\nu r z$ folgt $\cos 30 = \operatorname{tg} r z \operatorname{ctg} z \nu$ folglich

$$m = \frac{\cos 30 \cdot \operatorname{tg} z \nu}{c}$$

Setzt man für $z \nu$ und c die oben gefundenen Werthe, so ergibt sich $m = 0,6014 = \frac{3}{5}$ annähernd. Mithin ist

$$\nu = \frac{3}{5} R \quad \text{Indices von } \nu: 0335$$

Ebenso ergibt sich

$$s = \frac{1}{4} R \quad \text{Indices von } s: (0114)$$

Zweite Methode. Setzt man in die Gl. 17, S. 26

$$\cos w = \frac{3l'l' + c^2 k k' + 3c^2 h h'}{\sqrt{3l'^2 + c^2 k'^2 + 3c^2 h'^2} \sqrt{3l'^2 + c^2 k'^2 + 3c^2 h'^2}}$$

für hkl die Indices von $R:111$ für $h'k'l'$ die Indices von $\nu:mm1$, so ergibt sich

$$\cos w = \frac{3 + 4mc^2}{\sqrt{4c^2 + 3} \sqrt{4m^2c^2 + 3}}$$

woraus

$$\sin w = \frac{2c\sqrt{3}(1-m)}{\sqrt{4c^2 + 3} \sqrt{4m^2c^2 + 3}}$$

Aus beiden Gleichungen erhält man

$$\operatorname{ctg} w = + \frac{4mc^2 + 3}{2c\sqrt{3}(1-m)}$$

Daraus ergibt sich

$$1 - m = \frac{4c^2 + 3}{4c^2 + 2c\sqrt{3} \operatorname{ctg} w}$$

Setzt man für w seinen Werth $14^{\circ}9'$, so erhält man

$$1 - m = 0,4$$

mithin

$$m = 0,6 = \frac{3}{5}$$

Bestimmung von n .

n liegt in der Zone $ngRn'$ ergibt sich mithin aus der Zonengleichung, wenn man für R die Indices 111, für n die Indices $m01$ und für n' die Indices $\frac{1}{2} \frac{3}{2} \frac{1}{m}$ oder $m, 3m, 2$ setzt. Man findet $m = \frac{4}{3}$, mithin ist

$$n = \frac{4}{3} P_2 \quad \text{Die Indices von } n \text{ sind } 2423$$

Bestimmung von g .

Erste Methode. g liegt in der Zone ngR . Die Indices von g seien: $1 \frac{2-n}{n} \frac{1}{m}$. Vermöge der Zonengleichung ergibt sich alsdann $m = \frac{2n}{n+1}$. Die Indices von g sind nunmehr

$$1 \frac{2-n}{n} \frac{n+1}{2n} \text{ oder } 2n, 2(2-n), n+1.$$

Die Gleichung von g ist:

$$\cos gx = \frac{n\sqrt{3}}{2-n} \cos ga = \frac{2nc}{n+1} \cos gz$$

Daraus folgt

$$\frac{n\sqrt{3}}{2-n} = \frac{\cos gx}{\cos ga} \text{ oder } \frac{2nc}{n+1} = \frac{\cos gx}{\cos gz}$$

Aus dem rechtwinkligen sphärischen Dreieck nRz findet man

$$Rn = 25^{\circ}57'30'' \text{ und } znR = 74^{\circ}25'$$

Da $Rg = 180 - R : g = 16^{\circ}18'$ ist, so ergibt sich

$$gn = 9^{\circ}39'30''$$

Aus dem rechtwinkligen sphärischen Dreieck nge findet man nun

$$en = 2^{\circ}37'$$

Aus der Gleichung von n: $\frac{3}{4} \cos nx = c \cos nz$ oder $\frac{3}{4} \sin nz = c \cos nz$ folgt $\operatorname{tg} nz = \frac{4c}{3}$. Daraus ergibt sich

$$nz = 61^{\circ}6' \text{ folglich } ez = nz - ne = 58^{\circ}29'$$

Aus den rechtwinkligen sphärischen Dreiecken xge und gez folgt

$$\cos gx = \cos eg \sin ez$$

$$\cos gz = \cos eg \cos ez$$

Durch Division erhält man aus beiden Gleichungen

$$\operatorname{tg} ez = \frac{\cos gx}{\cos gz}$$

Nun ist

$$\frac{\cos gx}{\cos gz} = \frac{2nc}{n+1}$$

folglich ist

$$\frac{2n}{n+1} = \frac{\operatorname{tg} ez}{c}$$

Daraus ergibt sich

$$\frac{2n}{n+1} = 1,2 \text{ mithin } n = \frac{3}{2} \text{ folglich } m = \frac{6}{5}$$

Mithin ist

$$g = \frac{\frac{6}{5} P^{\frac{3}{2}}}{2} \text{ äquivalent } \frac{2}{5} R_s \text{ Die Indices von } g \text{ sind } 2645$$

Zweite Methode. Setzt man in der Gleichung

$$\cos w = \frac{3l'l' + c^2kk' + 3c^2hh'}{\sqrt{3l^2 + c^2k^2 + 3c^2h^2} \sqrt{3l'^2 + c^2k'^2 + 3c^2h'^2}}$$

für hkl die Indices von R: 111 und für h'k'l' die Indices von g:

$$1 \frac{2-n}{n} \frac{n+1}{2n}$$

so erhält man die Gleichung:

$$\cos w = \frac{(n+1) \sqrt{4c^2 + 3}}{\sqrt{3(n+1)^2 + 16c^2(n^2 - n + 1)}}$$

woraus

$$\sin w = \frac{(n-1) c \sqrt{12}}{\sqrt{3} (n+1)^2 + 16c^2 (n^2 - n + 1)}$$

Durch Division der beiden Gleichungen erhält man:

$$\operatorname{ctg} w = \frac{(n+1) \sqrt{4c^2 + 3}}{(n-1) c \sqrt{12}}$$

woraus folgt

$$\frac{n+1}{n-1} = \frac{c \sqrt{12} \operatorname{ctg} w}{\sqrt{4c^2 + 3}}$$

Setzt man in dieser Gleichung $w = 16^\circ 18'$, so erhält man

$$\frac{n+1}{n-1} = 5 \text{ mithin } n = \frac{3}{2}, \text{ wie oben.}$$

Die Combination weist mithin auf:

$$\begin{array}{ccccccc} R & . & \frac{4}{3} P_2 & . & \frac{1}{4} R & . & \frac{3}{5} R & . & \frac{2}{5} R_3 \\ R & . & n & . & s & . & v & . & g \end{array}$$

Fünftes Beispiel (Bergkrystall).

Die Fig. 53a repräsentirt eine sechszählige tetartoëdrische Combination des Quarzes. Wählen wir R zum Grundrhomboëder, so ist

Fig. 53.

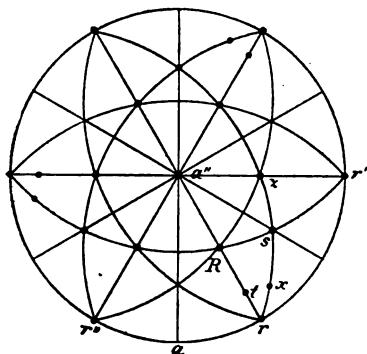
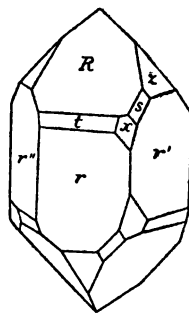


Fig. 53a.



z ein Rhomboëder — m R

s eine trigonale Pyramide $\frac{m P_2}{4} r$

x ein trigonales Trapezoëder $\frac{m P n}{4} r$

t ein Rhomboëder m R

r das Prisma ∞R

Die x-Axe geht durch die Kante, in welcher sich r und r'' schneiden. Die Fig. 53 gibt eine stereographische Projection der Combination.

Bekannt ist der Winkel an der Polkante des Grundrhomboëder: $94^{\circ}15'$.

Ferner kennt man (s. Fig. 53a) die Winkel:

$$t : r = 168^{\circ}52' \text{ in der Zone } Rtr$$

$$x : r = 168^{\circ} \quad " \quad " \quad " \quad rxs$$

$$R : z = 133^{\circ}44'$$

Berechnung der Länge der Hauptaxe.

Aus den Gleichungen $\sin gz = \operatorname{ctg} 60 \operatorname{ctg} \frac{Z}{2}$ und

$mc = \operatorname{tg} 60 \operatorname{tg} gz$ folgt, wenn man $m=1$ und $Z=94^{\circ}15'$ setzt:

$$c = 1, 1$$

Bestimmung von z.

Die Indices von z sind $0 \ 2 \ \frac{1}{m}$ oder $0, 2m, 1$

Die Gleichung von z ist:

$$\frac{\sqrt{3} \cos z r'}{2} = \frac{mc \cos za''}{1} = mc \sin zr'$$

woraus

$$m = \frac{\sqrt{3} \operatorname{ctg} z r'}{2c} = \frac{\sin 60 \operatorname{ctg} zr'}{c} = \frac{\sin 60 \operatorname{tg} za''}{c}$$

Man findet za'' , wenn man das rechtwinklige Dreieck, dessen Hypotenuse $a''z$ ist und dessen eine Kathete $\frac{Rz}{2}$ (Fig 53)

ist, berechnet. Alsdann ergibt sich $m = 1$

Mithin ist

$$z = -R \text{ Die Indices von } z \text{ sind}$$

Bestimmung von s.

s liegt in der Zone Rsr', kann mithin vermöge der Zonengleichung bestimmt werden. Die Indices von R sind 1 1 1, die von r' sind 0 1 0 und die von s $\frac{1}{2} \frac{3}{2} \frac{1}{m}$ oder m 3 m 2. Man findet m = 2. Mithin ist

$$s = \frac{{}_2P_2}{4} r \quad \text{Die Indices von s sind: } \bar{1} 1 2 1$$

Bestimmung von t.

Die Indices von t seien $1 1 \frac{1}{m}$ oder m m 1, so ist die Gleichung von t

$$\cos ta = \sqrt{3} \cos tr' = c m \cos ta''$$

Daraus folgt

$$m = \frac{\cos ta}{c \cos ta''}$$

ta ergibt sich aus dem rechtwinkligen Dreieck tar

$$\cos ta = \cos tr \cos 30$$

Mithin ist

$$m = \frac{\cos tr \cos 30}{c \cos ta''} = \frac{\text{ctg tr} \cdot \cos 30}{c}$$

Man findet m = 4. Mithin ist

$$t = {}_4R \quad \text{Die Indices von t sind: } 0 4 4 1$$

Dasselbe Resultat erhält man auch mit Hilfe der Gl. 17, S. 26.

Bestimmung von x.

Erste Methode. x liegt in der Zone rx s. Die Indices von x seien $\frac{1}{n} \frac{2n-1}{n} \frac{1}{m}$. Die Indices von r sind 1 1 0, die von s sind 1 3 1. Vermöge der Zonengleichung ergibt sich nun $n = \frac{m}{m-1}$. Die Indices von x sind mithin

$$\frac{m-1}{m} \frac{m+1}{m} \frac{1}{m} \quad \text{oder } m-1, m+1, 1.$$

Die Gleichung von x ist

$$\frac{\cos xa}{m-1} = \frac{\sqrt{3} \cos xr'}{m+1} = c \cos xa''$$

Daraus folgt

$$\frac{m+1}{m-1} = \frac{\sqrt{3} \cos xr'}{\cos xa}$$

Aus den sphärischen Dreiecken xar und xrr' folgt

$$\begin{aligned} \cos xa &= \cos xr \cos 30 + \sin xr \sin 30 \cos xra \\ &= \cos xr \cos 30 - \sin xr \sin 30 \cos xrr' \\ \cos xr' &= \cos xr \cos 60 + \sin xr \sin 60 \cos xrr' \end{aligned}$$

Aus beiden Gleichungen folgt durch Division und Reduction

$$\frac{\cos xr'}{\cos xa} = \frac{\operatorname{tg} 30 + \operatorname{tg} xr \cos xrr'}{1 - \operatorname{tg} xr \cos xrr' \operatorname{tg} 30}$$

Setzt man

$$\operatorname{tg} xr \cos xrr' = \operatorname{tg} \varphi$$

so ist

$$\frac{\cos xr'}{\cos xa} = \operatorname{tg} (30 + \varphi)$$

Mithin ist

$$\frac{m+1}{m-1} = \sqrt{3} \operatorname{tg} (30 + \varphi)$$

Der Winkel xrr' ergibt sich aus dem rechtwinkligen sphärischen Dreieck zrr' vermöge der Gleichung

$$\operatorname{tg} xrr' = \frac{\operatorname{tg} zr'}{\sin 60} = \frac{\operatorname{ctg} za''}{\sin 60}$$

Demnach hat man der Reihe nach folgende Gleichungen zu berechnen:

$$\begin{aligned} \operatorname{tg} xrr' &= \frac{\operatorname{ctg} za''}{\sin 60} & \operatorname{tg} \varphi &= \operatorname{tg} xr \cos xrr' \\ \frac{m+1}{m-1} &= \sqrt{3} \operatorname{tg} (30 + \varphi) \end{aligned}$$

Man findet $m = 6$. Mithin ist $n = \frac{6}{5}$. Folglich ist

$$x = \frac{{}^6P_{\frac{6}{5}}}{4} \quad \text{Die Indices von } x \text{ sind: } \bar{1} 5 6 1$$

Zweite Methode. Setzen wir in der Gleichung

$$\cos w = \frac{3ll' + c^2kk' + 3c^2hh'}{\sqrt{3l^2 + c^2k^2 + 3c^2h^2} \sqrt{3l'^2 + c^2k'^2 + 3c^2h'^2}}$$

für hkl die Indices von x: m — 1, m + 1, 1, für h'k'l' die Indices von r: 1 1 0, so erhalten wir die Gleichung

$$\cos w = \frac{c(2m - 1)}{\sqrt{3 + 4c^2(m^2 - m + 1)}}$$

Daraus folgt

$$\text{ctg } w = \frac{c(2m + 1^2)}{\sqrt{3} \sqrt{1 + c^2}}$$

Daraus folgt

$$2m - 1 = \frac{\sqrt{3} \text{ctg } w \sqrt{1 + c^2}}{c}$$

Setzt man $w = xr = 180 - x : r = 120^\circ$, so ist

$$2m - 1 = 11, \text{ woraus } m = 6$$

Die Combination weist auf:

$$\begin{array}{ccccccc} + R & . & - R & . & \infty R & . & \frac{2P_2}{4} . \frac{6P_5}{4} . 4R \\ R & . & z & . & r & . & s . x . t \end{array}$$

Sechstes Beispiel (Rothgiltigerz)¹⁾.

Die Fig. 54 a repräsentirt eine vierzehnzählige Combination des Rothgiltigerzes von Freiberg. Wählt man p zum Grundrhomboëder, so sind

q und z' zwei Rhomboëder — mR

M ist das trigonale Prisma $\frac{\infty R}{2}$

R ein ditrigonales Prisma ∞Rn

N das Deuteroprisma ∞P_2

a, k und g sind drei Skalenoëder $+\frac{mPn}{2}$

i', r', l', s' und v sind fünf Skalenoëder $-\frac{mPn}{2}$

¹⁾ Vgl. Klein, Einleitung in die Krystallberechnung, Stuttgart 1876, S. 373, Taf. XII, Fig. 1.

Bekannt ist der Polkantenwinkel von $\perp R$. Er ist gleich $108^\circ 42'$.

Ferner kennt man $a': p = 164^\circ 5'$

$g: g' = 171^\circ 30'$

$g': p = 137^\circ 38'$

$z': i' = 163^\circ 40'$

$z': l' = 152^\circ 0'$

$l': s' = 173^\circ 54'$

$r': l' = 171^\circ 46'$

$q: z' = 126^\circ 50'$

Fig. 54.

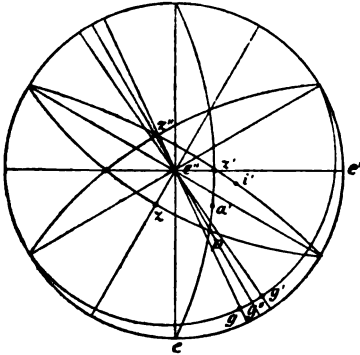
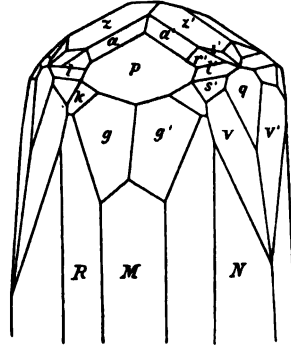


Fig. 54 a.



Die Fig. 54 gibt eine stereographische Projection, soweit sie zur Berechnung erwünscht ist.

Berechnung der Länge der Hauptaxe.

Aus den Gleichungen $\sin gz = \operatorname{ctg} 60 \operatorname{ctg} \frac{Z}{2}$ und

$m c = \operatorname{tg} 60 \operatorname{tg} gz$ (S. 134) folgt für $m = 1$ und $Z = 108^\circ 42'$
 $c = 0,78799$

Berechnung von z' .

z' liegt in der Zone epz' (Fig. 54). Mithin ergibt sich

$z' = -\frac{1}{2} R$ Die Indices von z' sind: $\bar{1} 0 1 2$

Berechnung von a' .

Erste Methode. Das Skalenoëder a' liegt in der Zone $p a' z'$.

Die Indices von p sind 1 1 1, die von z' sind 0 2 2 oder 0 1 1, die von a' sind $\frac{1}{n} \frac{2n-1}{n} \frac{1}{m}$. Mit Hilfe der Zonengleichung findet man $m = \frac{n}{2n-1}$. Die Indices von a' sind mithin 1, $2n-1$, $2n-1$.

Die Gleichung von a' ist

$$\cos a'e = \frac{\sqrt{3} \cos a'e'}{2n-1} = \frac{c}{2n-1} \cos a'ee''$$

Daraus folgt

$$2n-1 = \frac{\sqrt{3} \cos a'e'}{\cos a'e}$$

Aus dem sphärischen Dreieck $a'ee'$ folgt

$$\cos a'e' = \sin a'e \cos a'ee'$$

Mithin

$$2n-1 = \sqrt{3} \operatorname{tg} a'e \cos a'ee' = \operatorname{tg} 60 \operatorname{tg} a'e \cdot \cos a'ee'$$

Der Winkel $a'e$ ist gleich $a'p + pe$. Für die Winkel pe und $a'ee'$ findet man leicht: $pe = 54^\circ 21'$ und $a'ee' = 65^\circ 32'$. Alsdann ergibt sich $2n-1 = 2$, folglich

$$n = \frac{3}{2} \text{ und } m = \frac{3}{4}$$

Mithin ist

$$a' = + \frac{{}^3P_2}{2} \text{ äquivalent } \frac{1}{4}R_3 \text{ Indices von } a': (\bar{1} 2 3 4)$$

Zweite Methode. Setzt man in der Gleichung

$$\cos w = \frac{3ll' + c^2kk' + 3c^2hh'}{\sqrt{3l^2 + c^2k^2 + 3c^2h^2} \sqrt{3l'^2 + c^2k'^2 + 3c^2h'^2}}$$

für hkl die Indices von p : 1 1 1 und für $h'k'l'$ die Indices von a' : 1, $2n-1$, $2n-1$, so erhält man:

$$\cos w = \frac{3(2n-1) + c^2 \cdot 2(n+1)}{\sqrt{4c^2 + 3} \sqrt{3(2n-1)^2 + 4c^2(n^2 - n + 1)}}$$

woraus

$$\operatorname{ctg} w = \frac{2(n-1)(c^2+3)+3+4c^2}{(n-1) \cdot 2c\sqrt{3}\sqrt{c^2+3}}$$

Daraus folgt

$$n-1 = \frac{3+4c^2}{2c\sqrt{3}\sqrt{c^2+3} \cdot \operatorname{ctg} w - 2(c^2+3)}$$

Setzt man hier $w = 164^\circ 5'$, so erhält man

$$n = \frac{3}{2} \text{ (wie oben).}$$

Bestimmung von g' .

Erste Methode. Die Indices von g' seien $\frac{1}{n} \frac{2n-1}{n} \frac{1}{m}$

Die Gleichung von g' ist mithin

$$n \cos g' e = \frac{n\sqrt{3}}{2n-1} \cos g' e' = m c \cos g' e''$$

Hieraus folgt

$$2n-1 = \frac{\sqrt{3} \cos g' e'}{\cos g' e} \text{ und } m = \frac{n \cos g' e}{c \cos g' e''}$$

Aus der Fig. 54 ersieht man, dass $g'g'' = \frac{1}{2} g'g' = 4^\circ 15'$; ausserdem ist $pg' = 180 - p : g' = 42^\circ 22'$

Man berechne zuerst das rechtwinklige sphärische Dreieck $pg'g''$. Man findet $pg'' = 42^\circ 11' 35''$, $\sphericalangle gpg'' = 6^\circ 18' 50''$ und $\sphericalangle pg'g'' = 85^\circ 19' 37''$. Leicht findet man auch $pe'' = 42^\circ 18'$.

Nunmehr kennt man in dem sphärischen Dreieck $pg'e''$ folgende Stücke: $pg' = 42^\circ 22'$, $pe'' = 42^\circ 18'$ und $e''pg' = 180 - g'pg'' = 173^\circ 41' 10''$. Die Berechnung dieses Dreiecks liefert uns $g'e'' = 84^\circ 30' 20''$.

Aus dem sphärischen Dreieck $g'e'e''$ finden wir $g'e = 34^\circ 39'$ und aus dem sphärischen Dreieck $g'e''e'$ ergibt sich $g'e' = 55^\circ 55'$.

Daher ergibt sich $2n-1 = 1,18$, mithin $n = 1,09 = \frac{12}{11}$

annähernd und $m = 11,89 = 12$ annähernd. Mithin ist

$g' = \frac{{}_{12}P_{11}^{12}}{2}$ äquivalent $10R \frac{6}{5}$. Die Indices von g' sind $\bar{1} 11 12 1$

Zweite Methode. Die zwei Zonen $g'g'$ und pe'' (s. Fig. 54) schneiden sich in dem Punkte g'' . Die Indices von g'' ergeben sich mithin vermöge der Zonengleichung aus den Indices von g : $1 \frac{2-n}{n} \frac{1}{m}$, denen von g' : $\frac{1}{n} \frac{2n-1}{n} \frac{1}{m}$, denen von p : 111 und denen von e'' : 001 . Man findet für g'' die Indices: $m(n+1)$, $m(n+1)$, $2n$.

Setzt man nun in die Gleichung

$$\cos w = \frac{3ll' + c^2kk' + 3c^2hh'}{\sqrt{3l^2 + c^2k^2 + 3c^2h^2} \sqrt{3l'^2 + c^2k'^2 + 3c^2h'^2}}$$

für hkl die Indices von g' : $\frac{1}{n} \frac{2n-1}{n} \frac{1}{m}$ und für $h'k'l'$ die Indices von g'' : $m(n+1)$, $m(n+1)$, $2n$, so erhält man

$$\cos g''g' = \frac{\sqrt{3n^2 + m^2c^2(n+1)^2}}{\sqrt{3n^2 + 4m^2c^2(1+n^2-n)}}$$

woraus

$$\sin g''g' = \frac{mc(n-1)\sqrt{3}}{\sqrt{3n^2 + 4m^2c^2(1+n^2-n)}}$$

Aus beiden Gleichungen folgt

$$a) \operatorname{tg} g''g' = \frac{mc(n-1)\sqrt{3}}{\sqrt{3n^2 + m^2c^2(n+1)^2}}$$

Setzen wir in die obige Gleichung für hkl die Indices von p : 111 und für $h'k'l'$ die Indices von g' : $\frac{1}{n} \frac{2n-1}{n} \frac{1}{m}$, so erhalten wir die Gleichung:

$$\cos g'p = \frac{3n + 2mc^2(n+1)}{\sqrt{3 + 4c^2} \sqrt{3n^2 + 4m^2c^2(1+n^2-n)}}$$

Da $\cos g'g'' > \cos g'p$ ist, so kann man setzen:

$$\cos \varphi = \frac{\cos g'p}{\cos g'g''}$$

daraus folgt

$$\sin \varphi = \frac{\sqrt{3} [mc(n+1) - 2nc]}{\sqrt{3 + 4c^2} \sqrt{m^2c^2(n+1)^2 + 3n^2}}$$

und daraus

$$b) \frac{\sqrt{3 + 4c^2} \cdot \sin \varphi}{\sqrt{3}} = \frac{mc(n+1)}{\sqrt{m^2c^2(n+1)^2 + 3n^2}} - \frac{2nc\sqrt{3}}{\sqrt{3}\sqrt{m^2c^2(n+1)^2 + 3n^2}}$$

Setzt man

$$c) \cos \alpha = \frac{mc(n+1)}{\sqrt{m^2c^2(n+1)^2 + 3n^2}}$$

so ist

$$d) \sin \alpha = \frac{n\sqrt{3}}{\sqrt{m^2c^2(n+1)^2 + 3n^2}}$$

Setzt man noch

$$\operatorname{tg} \delta = \frac{2c}{\sqrt{3}}$$

so ergibt sich aus der Gl. b:

$$\frac{\sqrt{3 + 4c^2} \cdot \sin \varphi}{\sqrt{3}} = \cos \alpha - \operatorname{tg} \delta \sin \varphi = \frac{\cos(\alpha + \delta)}{\cos \delta}$$

Daraus folgt

$$\cos(\alpha + \delta) = \frac{\cos \delta \cdot \sin \varphi \sqrt{3 + 4c^2}}{\sqrt{3}}$$

$$\text{oder da } \cos \delta = \frac{\sqrt{3}}{\sqrt{3 + 4c^2}} \text{ ist, } \cos(\alpha + \delta) = \sin \varphi$$

Aus Gl. a und Gl. c folgt

$$\frac{n+1}{n-1} = \frac{\cos \alpha \sqrt{3}}{\operatorname{tg} g''g'}$$

m erhält man durch Division der Gleichungen c und d.

Wir haben mithin, um m und n zu finden, der Reihe nach folgende Gleichungen zu berechnen:

$$\begin{aligned} 1) \operatorname{tg} \delta &= \frac{2c}{\sqrt{3}} & 2) \cos \varphi &= \frac{\cos g'p}{\cos g'g''} \\ 3) \cos(\alpha + \delta) &= \sin \varphi & 4) \frac{n+1}{n-1} &= \frac{\cos \alpha \sqrt{3}}{\operatorname{tg} g''g'} \\ 5) m &= \frac{n\sqrt{3} \operatorname{ctg} \alpha}{(n+1)c} \end{aligned}$$

Die Rechnung liefert

$$\delta = 42^\circ 17' 40'' \quad \varphi = 42^\circ 22' \quad \alpha + \delta = 47^\circ 48' 30''$$

$$\frac{n+1}{n-1} = 23,2 \text{ und } m = 11,893 = 12 \text{ annähernd.}$$

Die Berechnung der übrigen Formen bietet keine Schwierigkeiten mehr. Wir deuten sie daher im Folgenden nur ganz kurz an.

Bestimmung von k.

Das Skalenoëder k ergibt sich aus dem Schnitt der zwei Zonen Mgk und kpa'z' (Fig. 54a). Man findet

$$k = \frac{{}_3P_{\frac{3}{2}}}{2} \text{ äquivalent } R_3 \text{ Die Indices von k sind } 1\ 3\ 2\ 1$$

Bestimmung von R.

Das ditrigonale Prisma R bildet mit dem Skalenoëder k horizontale Combinationskanten; daher ist

$$R = \frac{\infty R_{\frac{3}{2}}}{2} \text{ Die Indices von R sind } 1\ 3\ 2\ 0$$

Bestimmung von i'.

Das Skalenoëder i' liegt in der Zone i'z'z'' (Fig. 54).

z'' ist in Fig. 54a nicht sichtbar. Daher muss vermöge

$$\text{der Zonengleichung } n = \frac{4m}{2m+1} \text{ sein.}$$

Da die Indices von z' 0 2 2, von z'' 1 1 2 und von i' $\frac{n-1}{n} \frac{n+1}{n} \frac{1}{m}$ sind, so kann man leicht z'e'', z'e' und e''z'z'' finden. Vermöge der Gleichung von i' ergibt sich dann m = 1, mithin $n = \frac{4}{3}$.

m ergibt sich auch aus der leicht abzuleitenden Gleichung

$$\alpha) 2m - 1 = \frac{4(3 + c^2)}{-c\sqrt{3}\sqrt{12 + c^2} \cdot \text{ctg } z':i' - 3c^2}$$

Mithin ist

$$i' = -\frac{P_{\frac{4}{3}}}{2} \text{ äquivalent } -\frac{1}{2} R_3 \text{ Die Indices von i' sind } \bar{3}\ 1\ 4\ 4$$

Bestimmung von l'.

l' liegt in der Zone z'i'l'; mithin muss $n = \frac{4m}{2m+1}$ sein.

m ergibt sich aus der Gl. α , wenn man statt z':i' setzt z':l' = 152°. Man findet

$$m = \frac{3}{2}, \text{ mithin } n = \frac{3}{2}$$

l' liegt auch in der Zone lPl' und kann mithin auch ohne die Gl. α bestimmt werden. Es ist

$$l' = -\frac{\frac{3}{2}P^{\frac{3}{2}}}{2} \text{ äquivalent } -\frac{1}{2}Rs \text{ Die Indices von l' sind } \bar{2}132$$

Bestimmung von r' und s'.

Die beiden Skalenoëder r' und s' bilden mit l' horizontale Combinationskanten, folglich haben sie das Zeichen $-\frac{mP^{\frac{3}{2}}}{2}$

Die Berechnung von m ist für beide Skalenoëder dieselbe. m ergibt sich aus der Gleichung

$$2m - 3 = \frac{9 + 21c^2}{-c\sqrt{21} \text{ ctg } l':s' - 7c^2}$$

Man findet $m = \frac{15}{8}$, folglich $n = \frac{3}{2}$. Mithin ist

$$s' = -\frac{\frac{15}{8}P^{\frac{3}{2}}}{2} \text{ äquivalent } -\frac{5}{8}Rs \text{ Die Indices von s' sind } \bar{1}05158$$

Das m des Skalenoëders r' ergibt sich aus der Gleichung

$$2m - 3 = \frac{9 + 21c^2}{c\sqrt{21} \text{ ctg } r':l' - 7c^2}$$

$$r' = -\frac{\frac{9}{8}P^{\frac{3}{2}}}{2} \text{ äquivalent } -\frac{3}{8}Rs \text{ Indices von r' sind } \bar{0}398$$

Bestimmung von q.

Man bestimmt q aus dem Winkel q:z' = 126°50'. Es ist

$$2m - 1 = \frac{3 + c^2}{-c\sqrt{3} \text{ ctg } q:z' - c^2}$$

Man findet m = 5. Mithin ist

$$q = -sR \text{ Die Indices von q sind } \bar{5}051$$

Bestimmung von v.

v liegt in der Zone Nvq und in der Zone g'v'v'. Die letztere Zone ist durch das Reflexionsgoniometer constatirt worden. Man findet

$$v = -\frac{7P_6^7}{2} \text{ äquivalent } -sR_6^7 \text{ Die Indices von v sind } \bar{6} \ 1 \ 7 \ 1$$

Die Combination weist mithin auf:

$$\begin{array}{ccccccccccc} +R & . & -\frac{1}{2}R & . & -sR & . & \frac{\infty R}{2} & . & \frac{\infty R}{2} & . & \infty P_2 \\ p & . & z' & . & q & . & M & . & R & . & N \\ . & \frac{1}{4}R_3 & . & R_3 & . & 10R_6^6 & . & -\frac{1}{2}R_2 & . & -\frac{1}{2}R_3 & . & -\frac{5}{8}R_3 \\ . & a & . & k & . & g & . & i' & . & l' & . & s' \\ & & & & & & & -\frac{3}{8}R_3 & . & -sR_6^7 & & \\ & & & & & & & r' & . & v & & \end{array}$$

Rhombisches System.

§. 17.

Berechnung der rhombischen Pyramide P.

In der Fig. 55 repräsentire e die Projection der rhombischen Pyramide P und es sei $eg = 90 - \frac{Y}{2}$ und $eh = 90 - \frac{X}{2}$. Die Indices von e sind 1 1 1, mithin ist die Gleichung der Fläche e, wenn man, wie üblich, $b = 1$ setzt:

$$a \cos ex = \cos ey = c \cos ez$$

Daraus

$$a = \frac{\cos ey}{\cos ex} \text{ und } c = \frac{\cos ey}{\cos ez}$$

Fig. 55.

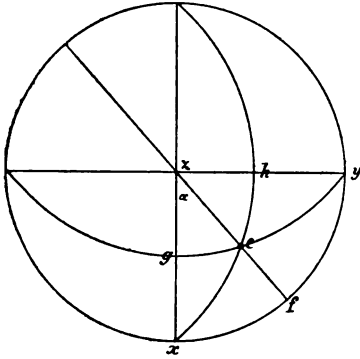
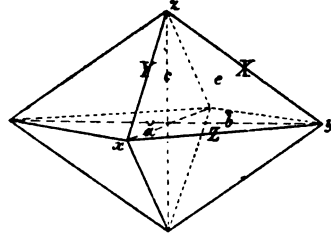


Fig. 55a.



a) Gegeben X und Y, gesucht a und c.

Da

$$ey = 90 - eg = \frac{Y}{2} \quad \text{und} \quad ex = 90 - eh = \frac{X}{2}$$

ist, so folgt

$$a = \frac{\cos ey}{\cos ex} = \frac{\cos \frac{1}{2} Y}{\cos \frac{1}{2} X}$$

Aus dem rechtwinkligen sphärischen Dreieck eyh folgt

$$\cos ey = \cos eh \cos hy = \cos eh \sin zh$$

woraus

$$\sin zh = \frac{\cos \frac{1}{2} Y}{\sin \frac{1}{2} X}$$

Aus dem rechtwinkligen sphärischen Dreieck zhe folgt

$$\cos ez = \cos zh \sin \frac{1}{2} X$$

Nun ist

$$c = \frac{\cos ey}{\cos ez} = \frac{\cos \frac{1}{2} Y}{\cos zh \sin \frac{1}{2} X}$$

und da

$$\cos \frac{1}{2} Y = \sin \frac{1}{2} X \sin zh$$

ist, so folgt

$$c = \operatorname{tg} zh$$

Um daher a und c zu finden, hat man folgende Gleichungen zu berechnen:

$$1) \ a = \frac{\cos \frac{1}{2} Y}{\cos \frac{1}{2} X} \quad \sin zh = \frac{\cos \frac{1}{2} Y}{\sin \frac{1}{2} X} \quad c = \operatorname{tg} zh$$

b) Gegeben X und Z , gesucht a und c .

Es sei $ef = 90 - \frac{Z}{2}$, so folgt aus dem sphärischen

Dreieck ezh

$$\cos ez = \cos eh \cos zh$$

woraus

$$\cos zh = \frac{\cos \frac{1}{2} Z}{\sin \frac{1}{2} X}$$

Aus dem rechtwinkligen sphärischen Dreieck ehy folgt

$$\cos ey = \cos eh \sin zh$$

Nun ist

$$c = \frac{\cos ey}{\cos ez} = \frac{\cos eh \sin zh}{\cos \frac{1}{2} Z} = \frac{\sin \frac{1}{2} X \sin zh}{\cos \frac{1}{2} Z} = \frac{\sin \frac{1}{2} X \sin zh}{\sin \frac{1}{2} X \cos zh}$$

folglich

$$c = \operatorname{tg} zh$$

Es ist

$$a = \frac{\cos ey}{\cos ex} = \frac{\cos eh \cos hy}{\cos \frac{1}{2} X} = \frac{\sin \frac{1}{2} X \sin zh}{\cos \frac{1}{2} X} = \operatorname{tg} \frac{1}{2} X \sin zh$$

Um daher a und c zu finden, hat man zu berechnen:

$$2) \ \cos zh = \frac{\cos \frac{1}{2} Z}{\sin \frac{1}{2} X} \quad c = \operatorname{tg} zh \quad a = \operatorname{tg} \frac{1}{2} X \sin zh$$

c) Gegeben Y und Z , gesucht a und c .

Es ist

$$c = \frac{\cos ey}{\cos ez} = \frac{\cos \frac{1}{2} Y}{\cos \frac{1}{2} Z}$$

Aus dem rechtwinkligen sphärischen Dreieck gez folgt

$$\sin ge = \sin ze \sin \alpha$$

woraus

$$\sin \alpha = \frac{\cos \frac{1}{2} Y}{\sin \frac{1}{2} Z}$$

$$\text{Nun ist } a = \frac{\cos ey}{\cos ex} = \frac{\cos \frac{1}{2} Y}{\sin ez \cos \alpha} = \frac{\sin \frac{1}{2} Z \sin \alpha}{\sin \frac{1}{2} Z \cos \alpha}$$

folglich $a = \operatorname{tg} \alpha$

Um daher a und c zu finden, hat man folgende Gleichungen zu berechnen:

$$3) \quad c = \frac{\cos \frac{1}{2} Y}{\cos \frac{1}{2} Z} \quad \sin \alpha = \frac{\cos \frac{1}{2} Y}{\sin \frac{1}{2} Z} \quad a = \operatorname{tg} \alpha$$

Setzen wir in den vorstehenden Formeln mc statt c , so gelten sie für die Pyramide mP .

Setzen wir mc statt c und na statt a , so gelten sie für die Pyramide $m\bar{P}n$.

Setzen wir $\frac{mc}{n}$ statt c und $\frac{a}{n}$ statt a , so gelten sie für die Pyramide $m\bar{P}n$.

Setzt man in den Formeln 1 bis 3 $\frac{Z}{2} = 90$, so erhält man die für das Prisma ∞P geltenden Gleichungen.

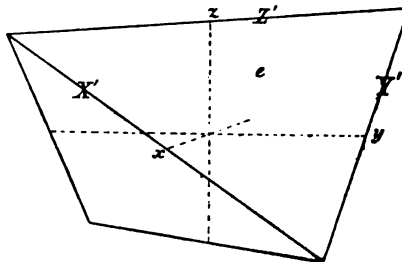
§. 18.

Berechnung der rhombischen Sphenoide.

Den Polkantenwinkel (s. Fig. 56) der rhombischen Sphenoide bezeichnen wir durch Z' , den Kantenwinkel der längeren Mittelkante durch X' , den der kürzeren Mittelkante durch Y' . In der Fig. 55 repräsentire e die Projection der Sphenoidfläche e in Fig. 56. Repräsentirt e eine Fläche des Sphenoids $\frac{P}{2}$, so sind die Indices von e : 1 1 1 und die Gleichung von e ist, wenn man $b = 1$ setzt:

$$a \cos ex = \cos ey = c \cos ez$$

Fig. 56.



1) Gegeben X' und Z' , gesucht a und c .

In der Fig. 55 ist

$$ex = 90 - \frac{X'}{2} \quad ey = 90 - \frac{Y'}{2} \quad ez = 90 - \frac{Z'}{2}$$

Ferner ist

$$a = \frac{\cos ey}{\cos ex} \quad \text{und} \quad c = \frac{\cos ey}{\cos ez}$$

Aus dem sphärischen Dreieck exz folgt $\cos ex = \sin ze \cos z$

woraus
$$\cos z = \frac{\cos ex}{\sin ez} = \frac{\sin \frac{1}{2} X'}{\cos \frac{1}{2} Z'}$$

Aus dem sphärischen Dreieck yez folgt

$$\cos ey = \sin z \sin ze = \sin z \cos \frac{1}{2} Z'$$

Man hat daher, um a und c zu finden, folgende Gleichungen zu berechnen:

$$4) \left\{ \begin{array}{l} \cos z = \frac{\sin \frac{1}{2} X'}{\cos \frac{1}{2} Z'} \quad a = \frac{\sin z \cos \frac{1}{2} Z'}{\sin \frac{1}{2} X'} \\ c = \sin z \operatorname{ctg} \frac{1}{2} Z' \end{array} \right.$$

2) Gegeben X' und Y' , gesucht a und c .

Aus dem sphärischen Dreieck exy folgt

$$\cos ey = \sin ex \cos exy \quad \text{woraus}$$

$$\cos exy = \frac{\sin \frac{1}{2} Y'}{\cos \frac{1}{2} X'}$$

Aus dem rechtwinkligen sphärischen Dreieck exf folgt

$$\sin ef = \sin ex \sin exy = \cos ez$$

Um a und c zu finden, hat man folgende Gleichungen zu berechnen:

$$5) \left\{ \begin{array}{l} a = \frac{\sin \frac{1}{2} Y'}{\sin \frac{1}{2} X'} \quad \cos exy = \frac{\sin \frac{1}{2} Y'}{\cos \frac{1}{2} X'} \\ c = \frac{\sin \frac{1}{2} Y'}{\cos \frac{1}{2} X' \sin exy} \end{array} \right.$$

3) Gegeben Y' und Z' , gesucht a und c .

Aus dem sphärischen Dreieck eyz (Fig. 55) folgt

$$\cos ey = \sin ez \sin z$$

$$\text{Daraus folgt } \sin \alpha = \frac{\sin \frac{1}{2} Y'}{\cos \frac{1}{2} Z'}$$

Aus dem sphärischen Dreieck $e x z$ folgt

$$\cos e x = \sin e z \cos \alpha = \cos \frac{1}{2} Z' \cos \alpha$$

Um daher a und c zu finden, hat man folgende Gleichungen zu berechnen:

$$6) \ c = \frac{\sin \frac{1}{2} Y'}{\sin \frac{1}{2} Z'} \quad \sin \alpha = \frac{\sin \frac{1}{2} Y'}{\cos \frac{1}{2} Z'} \quad a = \frac{\sin \frac{1}{2} Y'}{\cos \frac{1}{2} Z' \cos \alpha}$$

§. 19.

Berechnung complicirter Combinationen.

Erstes Beispiel (Aragonit).¹⁾

Die Fig. 57a repräsentirt eine achtzählige Combination des Aragonits. Wählt man P zur Grundpyramide, so ist

N das Prisma ∞P

R das Brachypinakoid $\infty \check{P} \infty$

o, k, v sind Domen $m \check{P} \infty$

n und s sind Pyramiden $m \check{P} n$.

Fig. 57.

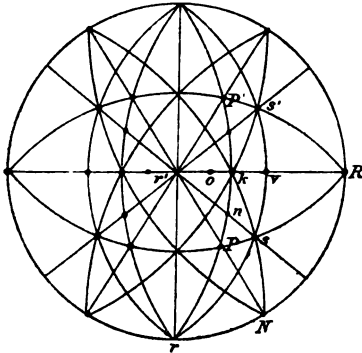
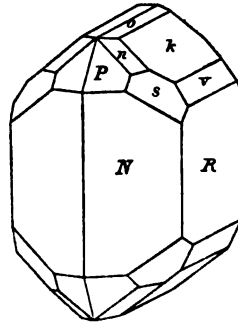


Fig. 57a.



Die Fig. 57 ist eine stereographische Projection der Combination. Die Vertheilung der Flächen und die wichtigsten Zonen treten hier dem Beobachter klar vor Augen.

¹⁾ Vergl. Naumann, Lehrbuch d. reinen u. angewandten Krystallographie, 1830, Bd. 2, S. 41, Fig. 518.

Bekannt sind die Polkantenwinkel X und Y der Pyramide P

$$X = 93^{\circ}36'40'' \quad Y = 129^{\circ}32'20''$$

Bekannt ist ferner der Winkel $o:k = 164^{\circ}2'$

Aus den Gl. 1 Seite 168 erhält man

$$a = 0,6228 \text{ und } c = 0,7207$$

Mithin ist

$$a : b : c = 0,6228 : 1 : 0,7207$$

Bestimmung von k .

k liegt in der Zone Pnk (Fig. 57). Setzt man in der Zonengleichung für P die Indices 111 , für P' die Indices $\bar{1}11$ und für k die Indices $01\frac{1}{m}$ oder $0m1$, so erhält man $m = 1$. Mithin ist

$$k = \check{P}_{\infty}$$

Bestimmung von s .

s liegt in den Zonen Nsk und PsR . Die Indices von s seien $\frac{1}{n}1\frac{1}{m}$, die von R sind 010 , die von N sind 110 , die von k sind 011 . Mit Hilfe der Zonengleichung erhält man $m = n = 2$. Mithin ist

$$s = {}_2\check{P}_2$$

Bestimmung von n .

Die Pyramiden n und s schneiden sich in horizontalen Combinationskanten, mithin sind die Flächen snr' (Fig. 57) tautozonal ($r' = oP$), folglich $n = 2$. Da n auch noch in der Zone Pnk liegt, so ergibt sich $m = 1$. Mithin ist

$$n = \check{P}_2$$

Bestimmung von v .

Das Doma liegt in der Zone svs' (Fig. 57). Als Indices von v erhält man daher 021 . Mithin ist

$$v = {}_2\check{P}_{\infty}$$

Bestimmung von o.

Erste Methode. Die Indices von o seien $0\ 1\ \frac{1}{m}$ oder $0\ m\ 1$.

Die Gleichung von o ist mithin

$$\frac{1}{m} \cos oR = c \cos or' = c \sin oR$$

$$m = \frac{\text{ctg } oR}{c} = \frac{\text{ctg } (ok + kR)}{c}$$

Die Gleichung von k ist

$$\cos kR = c \sin kR \quad \text{ctg } kR = c$$

$$kR = 54^\circ 13' \quad ok = 15^\circ 58 \text{ folglich } oR = 70^\circ 11$$

Nunmehr ergibt sich $m = 0,5$. Folglich ist

$$o = \frac{1}{2} \tilde{P} \infty$$

Zweite Methode. Setzen wir in die Gl. 14 S. 26

$$\cos PP' = \frac{(ab)^2 ll' + (ac)^2 kk' + (bc)^2 hh'}{\sqrt{(ab)^2 l^2 + (ac)^2 k^2 + (bc)^2 h^2} \sqrt{(ab)^2 l'^2 + (ac)^2 k'^2 + (bc)^2 h'^2}}$$

Für hkl die Indices von o: $0\ m\ 1$ und für $h'k'l'$ die Indices von k: $0\ 1\ 1$, so erhalten wir, wenn $b = 1$ gesetzt wird, die Gleichung

$$\cos ok = \frac{mc^2 + 1}{\sqrt{1 + c^2} \sqrt{1 + m^2 c^2}}$$

woraus

$$\sin ko = \frac{c(1 - m)}{\sqrt{c^2 + 1} \sqrt{m^2 c^2 + 1}}$$

(weil $m < 1$)

Aus beiden Gleichungen folgt

$$\text{ctg } ko = \frac{mc^2 + 1}{c(1 - m)}$$

$$m = \frac{c \text{ctg } ko - 1}{c^2 + c \text{ctg } ko} = 0,5$$

wie oben.

Die Combination weist folgende Formen auf:

$$P. \infty P. \infty \tilde{P} \infty . \tilde{P} \infty . s \tilde{P}_2 . \tilde{P}_2 . \frac{1}{2} \tilde{P} \infty . s \tilde{P} \infty$$

$$P. \quad N. \quad R \quad . \quad k \quad . \quad s \quad . \quad n \quad . \quad o \quad . \quad v$$

Zweites Beispiel (Weissbleierz) ¹⁾.

Die Fig. 58a repräsentirt eine zehnzählige Combination des Weissbleierz von der Grube Taininsk im Nertschinsker Berg-

Fig. 58.

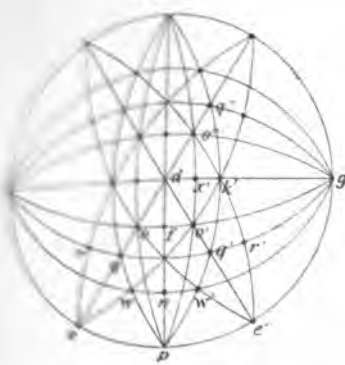
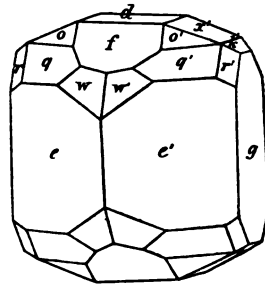


Fig. 58a.



so ist, Transbaikalien. Wählen wir q' zur Grundpyramide,

- o' eine Pyramide mP
- e' das Prisma ∞P
- f ein Makrodoma $m\bar{P}\infty$
- x' und k' sind Brachydomen $m\bar{P}\infty$
- r' ist eine Pyramide $m\bar{P}n$
- w' eine Pyramide $m\bar{P}n$
- g das Brachypinakoid $\infty\bar{P}\infty$
- d das basische Pinakoid oP

Bekannt sind folgende Winkel:

$$\begin{array}{ll} e : e' = 117^\circ 14' 10'' \text{ (Fig. 58a)} & w : w' = 148^\circ 36' \\ d : k' = 144^\circ 8' & w' : f = 140^\circ 43' \\ d : f = 149^\circ 20' & \end{array}$$

Vermittelt des Goniometers wurde die Tautozonalität der Flächen $q'k'q''$ (Fig. 58) constatirt.

¹⁾ Vergl. N. v. Kokscharow, Mat. zur Mineralogie Russlands, Bd. VI, p. 100 u. f., Taf. LXXIX, Fig. 13; vergl. auch C. Klein, Einleitung in die Kristallographie, S. 199, Taf. VI, Fig. 1.

Die Fig. 58 ist eine stereographische Projection der Combination. Die Vertheilung der Flächen und der Zonenverband treten dem Auge klar hervor.

Bestimmung von k' .

Die Indices von k' seien $0\ 1\ \frac{1}{m}$ oder $0\ m\ 1$. Da k' in der Zone $q'k'q''$ (Fig. 58) liegt, so ergibt sich $m = 1$. Mithin ist $k' = \bar{P}\infty$ Die Indices von k' sind $0\ 1\ 1$

Bestimmung des Axenverhältnisses.

Das Dreieck $q'dk'$ (Fig. 58) lässt sich berechnen; denn man kennt darin $dk' = 180 - d:k' = 35^\circ 52'$; ferner ist $dk'q' = 90$ und $q'dk' = ge' = 90 - pe' = 90 - \frac{1}{2} e e' = 58^\circ 37' 5''$

Man findet

$$q'd = 54^\circ 14' 10'' \quad k'q' = 43^\circ 50' 45''$$

folglich

$$q'p = 90 - k'q' = 46^\circ 9' 15''$$

Aus dem rechtwinkligen Dreieck $k'gq'$ erhält man nun

$$gq' = 65^\circ 0' 14''$$

Die Gleichung der Fläche q' ist, wenn man $b = 1$ setzt:

$$a \cos q'p = \cos q'g = c \cos q'd$$

daraus

$$a = \frac{\cos q'g}{\cos q'p} \quad c = \frac{\cos q'g}{\cos q'd}$$

Die Rechnung ergibt

$$a = 0,6098 \text{ und } c = 0,7229$$

Mithin ist

$$a : b : c = 0,6098 : 1 : 0,7229$$

Bestimmung von f .

Die Indices von f seien $m\ 0\ 1$, so ist die Gleichung von f

$$\frac{a}{m} \cos fp = c \cos fd$$

folglich ist

$$m = \frac{a}{c} \operatorname{tg} fd$$

Die Rechnung ergibt

$$m = \frac{1}{2}$$

Mithin ist

$$f = \frac{1}{2} \bar{P} \infty$$

Bestimmung von o' .

Die Indices von o' seien $1 \frac{1}{n} \frac{1}{m}$. Da o' in der Zone $e'q'o'$ liegt, so muss vermöge der Zonengleichung $n = 1$ sein. Da o' auch in der Zone ofo' liegt, so ergibt sich $m = \frac{1}{2}$. Mithin ist

$$o' = \frac{1}{2} P$$

Bestimmung von x' .

x' liegt in der Zone $o'x'o''$ (Fig. 58). Die Indices von x' seien $0 \ 1 \frac{1}{m}$ oder $0m1$. Mit Hilfe der Zonengleichung findet man $m = \frac{1}{2}$. Mithin ist

$$x' = \frac{1}{2} \bar{P} \infty$$

Berechnung von w'

Erste Methode. Die Indices von w' seien $1 \frac{1}{n} \frac{1}{m}$. Die Gleichung von w' ist daher, wenn $b = 1$ gesetzt wird,

$$a \cos w'p = n \cos w'g = cm \cos w'd$$

Daraus folgt

$$n = \frac{a \cos w'p}{\cos w'g} \quad m = \frac{a \cos w'p}{c \cos w'd}$$

Man kennt die Winkel

$$w'g = 90^\circ - \frac{1}{2} w'c = 13^\circ 42' \text{ und } w'd = 32^\circ 17'$$

Aus dem rechtwinkligen sphärischen Dreieck $w'n f$ erhält man nun

$$f n = 36^{\circ} 29' 10''$$

und da $d f = 30^{\circ} 40'$

ist, so ist $n d = 67^{\circ} 9' 10''$

und $p n = 22^{\circ} 50' 50''$

Nunmehr berechne man das sphärische Dreieck $w'n p$. Man findet

$$p w' = 27^{\circ} 28' 50'' \text{ und } n p w' = 35^{\circ} 54'$$

Aus den beiden rechtwinkligen sphärischen Dreiecken $w'n p$ und $w'nd$ folgt

$$\cos w' p = \cos w' n \cos n p$$

$$\cos w' d = \cos w' n \cos n d$$

Durch Division erhält man

$$\frac{\cos w' p}{\cos w' d} = \frac{\cos p n}{\cos n d}$$

Mithin ist

$$m = \frac{a \cos p n}{c \cos n d} = 2$$

Aus dem sphärischen Dreieck $g w' p$ folgt

$$\cos w' g = \sin w' p \sin n p w'$$

$$w' g = 74^{\circ} 18'$$

Nunmehr erhält man

$$n = \frac{a \cos w' p}{\cos w' g} = 2$$

Mithin ist

$$w' = {}_2\bar{P}_2$$

Zweite Methode. Setzt man in der Gl. 14, S. 26 für hkl die Indices von $n: m 0 1$, für $h'k'l'$ die Indices von

$w': 1 \frac{1}{n} \frac{1}{m}$, so erhält man

$$\cos n w' = \frac{n \sqrt{a^2 + m^2 c^2}}{\sqrt{N}}$$

woraus

$$\sin n w' = \frac{a m c}{\sqrt{N}}$$

worin $N = m^2 c^2 n^2 + m^2 c^2 a^2 + a^2 n^2$

Setzt man in dieselbe Gleichung für hkl die Indices von f :
 $1\ 0\ 2$, für $h'k'l'$ die Indices von w' : $1\ \frac{1}{n}\ \frac{1}{m}$, so erhält man

$$\cos w'f = \frac{n(m^2 + 2a^2)}{\sqrt{c^2 + 4a^2} \sqrt{n}}$$

Aus dieser und der vorhergehenden Gleichung folgt

$$\frac{\cos w'f \sqrt{c^2 + 4a^2}}{\cos nw'} = \frac{mc^2}{\sqrt{a^2 + m^2 c^2}} + \frac{2a^2}{\sqrt{a^2 + m^2 c^2}}$$

Setzt man

$$\frac{mc}{\sqrt{a^2 + m^2 c^2}} = \cos \varphi$$

so ist

$$\sin \varphi = \frac{a}{\sqrt{a^2 + m^2 c^2}}$$

Durch Einführung dieser Grössen in die vorhergehende Gleichung ergibt sich

$$\frac{\cos w'f \sqrt{c^2 + 4a^2}}{c \cos nw'} = \cos \varphi + \frac{2a}{c} \sin \varphi = \cos \varphi + \operatorname{ctg} \alpha \sin \varphi$$

wenn man

$$\operatorname{ctg} \alpha = \frac{2a}{c}$$

setzt. Nunmehr folgt

$$\sin(\alpha + \varphi) = \frac{\cos w'f \sqrt{c^2 + 4a^2} \cdot \sin \alpha}{c \cos nw'}$$

Es ist aber $\sin \alpha = \frac{c}{\sqrt{c^2 + 4a^2}}$, mithin

$$\sin(\alpha + \varphi) = \frac{\cos w'f}{\cos nw'}$$

und da

$$\operatorname{ctg} \varphi = \frac{mc}{a} \quad \text{und} \quad \operatorname{tg} nw' = \frac{amc}{n \sqrt{a^2 + m^2 c^2}} = \frac{a}{n} \cos \varphi$$

ist, so hat man der Reihe nach folgende Gleichungen zu berechnen:

$$1) \operatorname{ctg} \alpha = \frac{2a}{c} \qquad 2) \sin(\alpha + \varphi) = \frac{\cos w'f}{\cos nw'}$$

$$3) m = \frac{a \operatorname{ctg} \varphi}{c} \qquad 4) n = \frac{a \cos \varphi}{\operatorname{tg} nw'}$$

Bestimmung von r' .

Die Indices von r' seien $\frac{1}{n} 1 \frac{1}{m}$. Da r' in den beiden Zonen $q'r'g$ und $e'r'k'$ liegt, so erhält man mit Hilfe der Zonengleichung $m = n = 2$. Folglich ist

$$r' = {}_2\bar{P}_2$$

Die Combination weist auf:

$$P \cdot \infty P \cdot \infty \bar{P} \infty \cdot \bar{P} \infty \cdot \frac{1}{2} \bar{P} \infty \cdot \frac{1}{2} \bar{P} \infty \cdot \frac{1}{2} P \cdot {}_2\bar{P}_2 \cdot {}_2\bar{P}_2 \cdot o P$$

$$q' \cdot e' \cdot g \cdot k' \cdot x' \cdot f \cdot o' \cdot w' \cdot r' \cdot d$$

Drittes Beispiel (Asparagin) ¹⁾.

Die Fig. 59a repräsentirt eine vierzählige Combination des Asparagins. Eine allgemeine Bestimmung lehrt, dass

$$o \text{ das Sphenoid } = \frac{P}{2}$$

$$p \text{ das Prisma } \infty P$$

$$c \text{ der basische Hauptschnitt } o P$$

und

$$q \text{ ein Brachydoma } m\bar{P} \infty \text{ ist.}$$

Fig. 59.

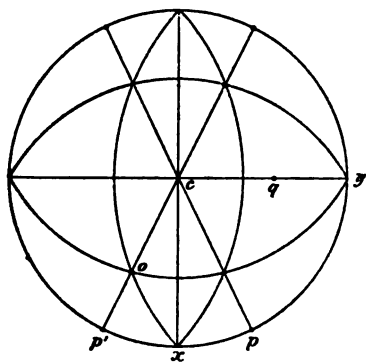
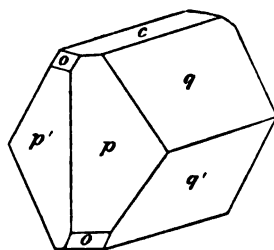


Fig. 59a.



¹⁾ Vergl. Groth, Poggendorffs Ann. 135, 651 und auch Groth, Physikalische Krystallographie, 1876, S. 372, Fig. 445.

10 1 1

... ..

... ..

... ..

... ..

$$x = 0.4737$$

Die Gleichung von x ist

$$x = e \cos \alpha$$

$$\frac{e \cos \alpha}{x} = a \cos \alpha' \cos p' x$$

... ..

... ..

... ..

$$\frac{e \cos \alpha}{x}$$

... ..

Wird ist

Viertes Beispiel (Bleivitriol) ¹⁾.

Die Fig. 60a repräsentirt eine elfzählige Combination des Bleivitriols von Anglesea. In dieser Fig. 60a läuft die Brachydiagonale nicht, wie in den vorhergehenden Figuren, auf den Beobachter zu, sie geht hier von links nach rechts und die

Fig. 60.

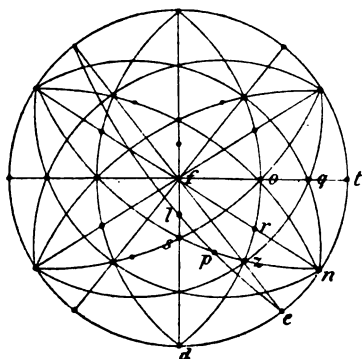
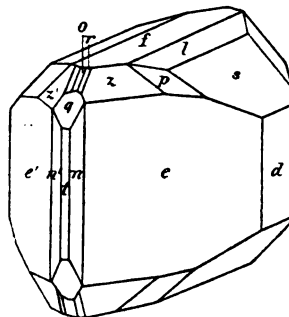


Fig. 60a.



Makrodiagonale läuft auf den Beobachter zu. In Fig. 60 dagegen geht die Makrodiagonale wie gewöhnlich von links nach rechts. Sehen wir z als Grundpyramide an, so ist

- e das Prisma ∞P
- f der basische Hauptschnitt oP
- t das Brachypinakoid $\infty \bar{P} \infty$
- s und l sind Makrodomen $m\bar{P} \infty$
- r ist eine Pyramide $m\bar{P}n$
- n ein Prisma $\infty \bar{P}n$
- o und q sind Brachydomen $m\bar{P} \infty$
- p ist eine Pyramide $m\bar{P}n$

Bekannt sind die Winkel (s. Fig. 60a)

$s : d = 129^\circ 24'$	$l : d = 112^\circ 19'$
$e' : e = 76^\circ 16' 30''$	$o : f = 127^\circ 47' 45''$
$q : f = 104^\circ 30'$	$o : r = 153^\circ 18'$
$p : s = 155^\circ 11'$	$p : e = 142^\circ 57'$

¹⁾ Vergl. V. v. Lang, Versuch einer Monographie des Bleivitriols. Sitzungsber. der k. k. Akademie der Wissensch., 1859, Bd. 36, Fig. 80. Vergl. auch Klein, Einleitung in die Krystallberechnung, S. 206, Taf. VI, Fig. 6.

Die Fig. 60 ist eine stereographische Projection der Com-
position, in welcher die Lage der Flächen und die
Winkel der Zonen klar zu sehen sind.

Im Folgenden ist die Bestimmung, wenn sie keine
Schwierigkeiten verursacht, angegeben.

Bestimmung der Winkel α und Ermittlung des
Verhältnisses $\frac{r}{s}$.

Die Zone 100 ist autozonal; daher ergibt sich

$$r = s \text{ und } r = \bar{P}n$$

Es ist ferner, dass $\text{tg } \frac{1}{2} (e' : e) = a = 0,78516$

ist, $\alpha = 91,1$ und der Gleichung von o
 $\text{tg } (180 - o : f) = 1,2894$.

Es ist $\alpha = 84$, daher

$$\frac{r}{s} = 0,7852 : 1 : 1,2894$$

Bestimmung von s und l .

Es ist s senkrecht 100 $\frac{1}{m}$, so folgt leicht

$$m = \frac{a \text{ ctg } s d}{e}$$

Es genügt auch zur Berechnung von l , nur
den Winkel 100 zu kennen. Man findet

$$s = \frac{1}{2} \bar{P} \alpha \text{ und } l = \frac{1}{2} \bar{P} \alpha$$

Bestimmung von q .

Es ist q senkrecht 100 $\frac{1}{m}$, so folgt aus der Gleichung

$$\text{tg } (180 - q : f) = \frac{a}{e}$$

$$q = \frac{1}{2} \bar{P} \alpha$$

Bestimmung von n' .

n' liegt in der Zone $n'qz$. Die Indices von n' seien $\frac{1}{n} 1 0$ oder $\bar{1} n 0$, so folgt vermöge der Zonengleichung $n = 2$. Mithin ist

$$n' = \infty \bar{P}_2$$

Bestimmung von r .

Die Indices von r seien $\frac{1}{n} 1 1$, so findet man leicht

$$n = \frac{c}{\sqrt{1+c^2}} \frac{\text{ctg } \alpha}{a} = \frac{c}{\sqrt{1+c^2}} \frac{(\text{tg } 180 - 0 : r)}{a} = 2$$

Mithin ist

$$r = \bar{P}_2$$

Bestimmung von p .

p liegt in den Zonen zps und epl (Fig. 60 a). Daher ergibt sich leicht

$$p = \frac{3}{4} \bar{P}_2$$

Wüsste man nicht, dass p in diese beiden Zonen fiel, so könnte es nach folgender Methode berechnet werden (s. Fig. 60). Gegeben $pe = 37^\circ 3'$ und $ps = 24^\circ 49'$.

Aus den Indices von $e d$ und l berechne man die Winkel
 $ed = 38^\circ 8'$ und $le = 72^\circ 37'$

Aus dem rechtwinkligen sphärischen Dreieck led folgt nun
 $led = 75^\circ 46' 20'' = \alpha$

Sind die Indices von p : $1 \frac{1}{n} \frac{1}{m}$, so ist die Gleichung von p :

$$a \cos pd = n \cos pt = m c \cos pf$$

Daraus folgt

$$n = \frac{a \cos pd}{\cos pt}$$

Aus den sphärischen Dreiecken ped und pet folgt

$$\cos pd = \cos pe \cos ed + \sin pe \sin ed \cos \alpha$$

$$\cos pt = \cos pe \cos et - \sin pe \sin et \cos \alpha$$



verschiedenen Winkel bildet. Diese Gleichung lässt sich leicht in folgender Weise zu einer brauchbaren umgestalten.

Die Fig. 61 repräsentirt diesmal eine Projection auf die xz -Ebene. Es sei $zyx = 180 - \beta$ und es repräsentire e die Projection der Krystallfläche hkl und o die der Krystallfläche 001 (basischer Hauptschnitt), so ist $xyo = 90$. Es sei ferner yx' senkrecht auf yz .

Fig. 61.

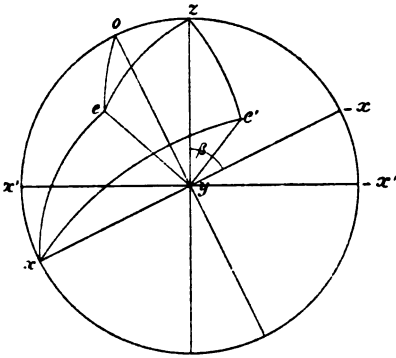
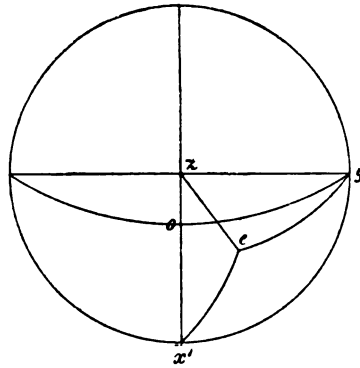


Fig. 62.



Aus dem sphärischen Dreieck eyx folgt

$$\cos ex = \sin ey \cos eyx = \sin ey \sin eyo$$

Aus dem sphärischen Dreieck eyz folgt

$$\cos ez = \sin ey \cos eyz = \sin ey \sin eyx'$$

Setzt man diese Werthe für $\cos ex$ und $\cos ez$ in die obige Gleichung der Krystallfläche e , so erhält man für die Krystallfläche e die neue Gleichung:

$$1) \frac{a}{h} \sin eyo = \frac{b}{k} \operatorname{ctg} ey = \frac{c}{l} \sin eyx'$$

Dieselbe Gleichung gilt auch für die Fläche e' , deren Indices $\bar{h}kl$ sind; nur muss man in der Gl. 1 e' statt e schreiben. Der Beweis wird mit Hilfe der beiden Dreiecke $e'yx$ und $e'yz$ geführt und bietet keine Schwierigkeiten, wesshalb wir ihn übergehen. Die Gleichung der Fläche e' , deren Indices $\bar{h}kl$ sind, ist demnach nicht

$$-\frac{1}{2} \sin \epsilon = -\frac{1}{2} \sin \epsilon' = \frac{c}{2} \sin \epsilon' \gamma \gamma'$$

oder

$$-\frac{1}{2} \sin \epsilon = -\frac{1}{2} \sin \epsilon' = \frac{c}{2} \sin \epsilon' \gamma \gamma'$$

Die Gleichung der Fläche hkl deren Indices hkl sind, ist

$$h \sin \epsilon = k \sin \epsilon' = l \sin \epsilon'' = \frac{c}{l} \sin \epsilon \gamma \gamma'$$

oder auch für die Fläche e , deren Indices

seien hkl , sehr leicht.

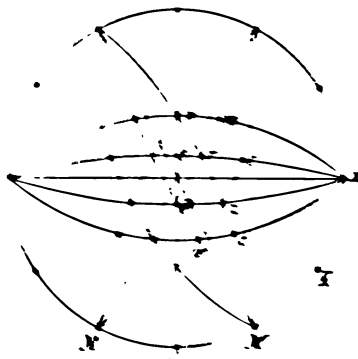
§ 20. Darstellung complicirter Krystalle.

§ 21.

Beispiel (Hornblende vom Vesuv).

Die Hornblende vom Vesuv repräsentirt eine zwölfzählige Combination der Krystallflächen. Die Fig. 64a ist eine Projection auf die Fläche hkl senkrecht zur Prismenfläche M . Die Klinodiagonale

Fig. 63.



ist auf den Beobachter zu, die negative Hemipyramide liegt also daher gegenüber. Wir wählen r zur positiven Grundpyramide und p zum basalen Hauptschnitt. Die Fig. 63 ist graphische Projection der Combination.

Es ist s das Orthopinakoid $\infty P \infty$
 q eine negative Hemipyramide $- mPn$
 e ein positives Hemiorthodoma $+ mP \infty$
 x das Klinopinakoid $\infty P \infty$
 c eine positive Hemipyramide $+ mPn$
 t eine negative Hemipyramide $- mPn$
 d' ein Klinodoma $mP \infty$
 M das Prisma ∞P
 k ein Prisma ∞Pn
 l eine positive Hemipyramide $+ mPn$

Fig. 64.

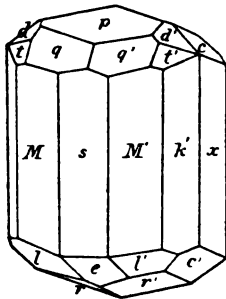
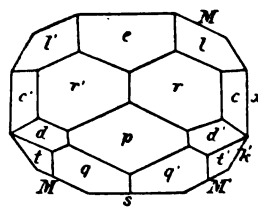


Fig. 64a.



Bekannt sind die Winkel ¹⁾:

$$\begin{array}{ll} p : s = 104^\circ 58' & M : M' = 124^\circ 11' \\ r : r' = 148^\circ 28' & x : k' = 147^\circ 49' \\ c : x = 130^\circ 15' & \end{array}$$

Hieraus ergeben sich für die Fig. 63 die Winkel:

$$\begin{array}{lll} ps = 75^\circ 2' & tr = 15^\circ 46' & sM' = 27^\circ 54' 30'' \\ xk' = 32^\circ 11' & cx = 49^\circ 45' & \end{array}$$

Bestimmung des Axenverhältnisses.

Es ist (Fig. 63) $ps = \beta = 75^\circ 2'$

Aus dem rechtwinkligen sphärischen Dreieck spM' folgt
(s. Fig. 63)

$$\operatorname{tg} spM' = \frac{\operatorname{tg} sM'}{\sin \beta}$$

¹⁾ Die Fundamentalwinkel sind der Tabelle aus der Mineralogie von Des-Cloizeaux, 1862, T. I, p. 77 und 78 entnommen. Vergl. auch Klein, Einleitung in die Krystallberechnung, S. 250, Taf. VII, Fig. 7 u. 7a.

Aus dem rechtwinkligen sphärischen Dreieck ptr folgt
 mithin $\sin pt = \text{ctg } tpr \text{ tg } tr = \text{ctg } spM' \text{ tg } tr$

$$\sin pt = \frac{\sin \beta \text{ tg } tr}{\text{tg } sM'}$$

Die Gleichung der Fläche r ist, da rxp = pt ist:

$$a \sin pt = b \text{ ctg } rx = c \sin rxs$$

woraus, wenn wir, wie üblich, b = 1 setzen, folgt:

$$a = \frac{\text{ctg } rx}{\sin pt} = \frac{\text{tg } tr}{\sin pt} \text{ und } c = \frac{\text{ctg } rx}{\sin rxs} = \frac{\text{tg } tr}{\sin (\beta + tp)}$$

Daraus

$$a = 0,54826 \text{ und } c = 0,29377$$

Daher

$$a : b : c = 0,54826 : 1 : 0,29377$$

Bestimmung von k'.

Die Indices der Fläche k' sind: $\frac{1}{n} \mid 0$. Die Gleichung der Fläche k' ist mithin:

$$a n \sin k'xp = \text{ctg } k'x \text{ und, da } k'xp = ps = \beta \text{ ist,}$$

$$n = \frac{\text{ctg } k'x}{a \sin \beta}$$

Hieraus folgt n = 3, mithin ist

$$k' = xP\hat{s}$$

Bestimmung von c.

c liegt in der Zone xcr. Vermöge der Zonengleichung folgt, dass c das Zeichen mPm haben muss.

Die Indices von c sind $-\frac{1}{m} \mid \frac{1}{m}$, mithin ist die Gleichung von c:

$$a m \sin exp = \text{ctg } ex = c m \sin exs$$

$$m = \frac{\text{ctg } ex}{c \sin exs} = \frac{\text{ctg } ex}{c \sin (\beta - pt)}$$

Daraus folgt m = 3, mithin ist

$$c = -sP\hat{s}$$

P der basische Hauptschnitt,
 T ein Prisma $\propto P\bar{n}$
 n ein Klinodoma $mP\infty$
 M das Klinopinakoid $\propto P\infty$
 x und y sind Hemiorthodomen $+ mP\overline{\infty}$

Bekannt (s. Fig. 65 a) sind die Winkel

$$P : T = 112^{\circ} 13' \quad T' : T = 118^{\circ} 47' \quad o' : o = 126^{\circ} 17'$$

$$P : n = 153^{\circ} 30' \text{ und (s. Fig. 65) } P_y = 80^{\circ} 18'$$

Bestimmung von T.

T liegt in der Zone oTp (s. Fig. 65 a); aus der Zonen-
 gleichung folgt $n = 1$, mithin ist

$$T = \infty P$$

Bestimmung des Axenverhältnisses und des Winkels β .

Aus dem rechtwinkligen sphärischen Dreieck PTx' folgt,
 da $Px' = \beta$ ist,

$$\cos \beta = \frac{\cos PT}{\cos x'T}$$

Da $PT = 180 - P : T$ und $x'T = 90 - \frac{T' : T}{2}$ ist, so
 findet man:

$$\beta = 63^{\circ} 56' 20''$$

Die Gleichung der Fläche T, deren Indices 110 sind, ist:

$$a \sin TMP = \text{ctg } TM$$

wenn $b = 1$ gesetzt wird.

Daraus folgt, da $TMP = Px' = \beta$ ist:

$$a = \frac{\text{ctg } TM}{\sin TMP} = \frac{\text{tg } Tx'}{\sin \beta} = 0.65842$$

Aus dem rechtwinkligen sphärischen Dreieck PTx' folgt

$$\sin TPx' = \frac{\sin x'T}{\sin PT}$$

Daraus findet man

$$TPx' = oPx = 33^{\circ} 22'$$

Aus dem rechtwinkligen sphärischen Dreieck Pxo folgt nun

$$\sin Px = \operatorname{ctg} oPx \operatorname{tg} xo$$

Daraus findet man

$$Px = 50^{\circ} 16'$$

Die Gleichung der Fläche o , deren Indices $\bar{1} 1 1$ sind, ist

$$a \sin xP = \operatorname{ctg} oM = c \sin xx'$$

Daraus folgt

$$c = \frac{\operatorname{ctg} oM}{\sin xx'} = \frac{\operatorname{tg} ox}{\sin xx'} = \frac{\operatorname{tg} ox}{\sin (\beta + Px)} = 0,55527$$

Das Axenverhältniss ist mithin:

$$a : b : c = 0,65842 : 1 : 0,55527$$

Bestimmung von n .

Die Indices von n seien $0 m 1$, so ist die Gleichung von n :

$$\frac{1}{m} \operatorname{ctg} nm = c \sin nMx' = c \sin \beta$$

Daraus

$$m = \frac{\operatorname{ctg} nm}{c \sin \beta} = \frac{\operatorname{tg} Pn}{c \sin \beta} = 1$$

Mithin ist

$$n = P\infty$$

Bestimmung von y und x .

Die Indices von y seien $\bar{1} 0 \frac{1}{m}$, so ist die Gleichung von y :

$$a \sin Py = mc \sin (\beta + Py)$$

Daraus folgt

$$m = \frac{a \sin Py}{c \sin (\beta + Py)} = 2$$

Mithin ist

$$y = + \frac{1}{2} P\infty$$

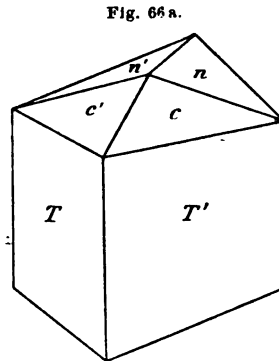
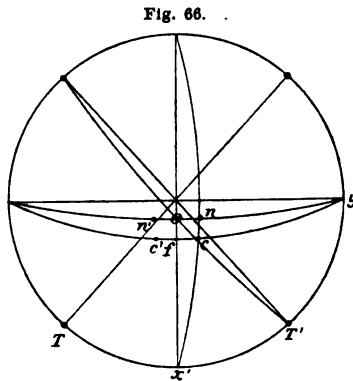
Die Indices von x ergeben sich aus der Zone $o'xo$.

Die Combination weist mithin auf:

$$\begin{array}{ccccccc} \infty P & . & \infty P\infty & . & oP & . & P\infty & . & +P & . & +P\infty & . & +\frac{1}{2}P\infty \\ T & . & M & . & P & . & n & . & o & . & x & . & y \end{array}$$

Drittes Beispiel (Tribenzhydroxylamin) ¹⁾.

Die Fig. 66a repräsentirt eine dreizählige Combination des Tribenzhydroxylamins. Die Klinodiagonale steigt vom



Beobachter aus in die Höhe. Die Fig. 66 ist eine stereographische Projection der Combination. Wählen wir cc' zur negativen Grundpyramide, so ist (s. Fig. 66a)

TT' das Prisma und

nn' eine positive Hemipyramide oder ein Klinodoma $mP \propto$

Bekannt sind die Winkel (s. Fig. 66a):

$$T : T' = 96^{\circ} 36' \quad c : c' = 149^{\circ} 24' \quad c : T' = 118^{\circ} 14'$$

$$n : n' = 146^{\circ} 50' \text{ und } n' : c' = 162^{\circ} 50'$$

Aus diesen Winkeln findet man für die Fig. 66 die Winkel:

$$cy = 74^{\circ} 42' \quad cT' = 61^{\circ} 46' \quad yT' = 48^{\circ} 18'$$

$$nc = 17^{\circ} 10' \text{ und } no = 16^{\circ} 35'$$

Berechnung des Axenverhältnisses und des Winkels β .

Die Indices der Fläche c sind 1 1 1, die der Basis o sind 0 0 1.

¹⁾ Vergl. die Mittheilungen von C. Klein in den Annalen der Chemie und Pharmacie, Bd. 166, p. 181 und s. auch C. Klein, Einleitung in die Krystallberechnung, 1876, S. 258.

Die Gleichung der Fläche c ist, wenn $b = 1$ gesetzt wird:

$$a \sin cyo = \text{ctg } cy = c \sin cyx' \text{ oder da}$$

$$cyx' = fx' \text{ und } cyo = fo \text{ ist:}$$

$$a \sin fo = \text{ctg } cy = c \sin fx'$$

Daraus folgt

$$a = \frac{\text{ctg } cy}{\sin fo} \quad c = \frac{\text{ctg } cy}{\sin fx'}$$

Um fx' zu finden, berechne man das sphärische Dreieck cyT' , dessen drei Seiten bekannt sind. Die Rechnung ergibt:

$$fx' = 65^\circ 35' 54'' \text{ und } ycT' = fco = 50^\circ 30' 44''$$

In dem rechtwinkligen sphärischen Dreieck fco kennt man fc und fco ; mithin kann es berechnet werden. Die Rechnung ergibt:

$$fo = 17^\circ 45' 25''$$

Da $\beta = ox' = fx' + fo$ ist, so folgt

$$\beta = 83^\circ 21' 20''$$

Aus den oberen zwei Gleichungen findet man:

$$a = 0,8971 \quad c = 0,3004$$

Daher

$$a : b : c = 0,8971 : 1 : 0,3004$$

Berechnung von n .

n kann eine Klinodomenfläche, kann aber auch eine Pyramidenfläche repräsentieren.

Gesetzt n sei ein Klinodoma $mP \infty$. In diesem Falle müsste die Kante, in der sich die beiden Flächen n und n' schneiden, der Klinodiagonale parallel sein. Die Senkrechte vom Axenmittelpunkte auf diese Linie müsste daher mit der Senkrechten auf die Basis zusammenfallen.

Die Indices des Punktes n seien $01 \frac{1}{m}$, so ist die Gleichung von n :

$$\text{tg } no = mc \sin ox'$$

Aus dem sphärischen Dreieck nyc , dessen drei Seiten bekannt sind, folgt

$$\cos nc = \cos ny \cos cy + \sin ny \sin cy \cos fo$$

Aus dieser Gleichung folgt

$$fo = 17^{\circ} 48'$$

Oben wurde $fo = 17^{\circ} 45' 25''$ gefunden.

Beide Werthe für fo stimmen so genau miteinander überein, dass die kleine Differenz von $2' 35''$ auf Rechnung der Beobachtungsfehler zu setzen ist. Aus der Gleichung

$$m = \frac{\operatorname{tg} no}{c \sin ox}, \text{ findet sich } m = 1. \text{ Mithin ist}$$

$$n = P \infty$$

Viertes Beispiel (Epidot) ¹⁾.

Die Fig. 67 a repräsentirt eine 18zählige Combination des Epidots aus dem Untersulzbachthal im Pinzgau. Die Klinodiagonale fällt von links nach rechts herab, die Orthodiagonale

Fig. 67.

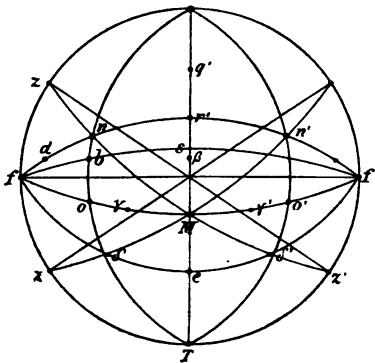
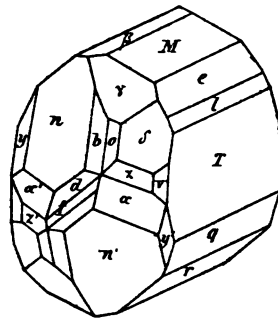


Fig. 67 a.



läuft auf den Beobachter zu. Wählt man M zu oP , n zu $+P$ und T zu $\infty P \infty$, so ist

f das Klinopinakoid $\infty P \infty$

e und l sind negative Hemiorthodomen — $mP \infty$

¹⁾ S. die Mittheilungen von C. Klein im „Neuen Jahrbuch für Mineralogie“, 1872, p. 113; vergl. auch Einleitung in die Krystallberechnung von C. Klein, Stuttgart 1876, S. 237, Taf. VII, Fig. 3; vergl. auch: Ueber die Krystallformen des Epidot von H. Bücking, Zeitschrift für Krystallographie, Bd. 2, S. 321.

β , q und r sind positive Hemiorthodomen $+ mP\infty$

γ und o sind Klinodomen $mP\infty$

z ist das Prisma ∞P

α' , b , y und d sind positive Hemipyramiden $+ mPn$

v ist ein Prisma $\infty P\bar{n}$

δ eine negative Hemipyramide $- mPn$

Bekannt sind die Winkel (s. Fig. 67 a):

$$M : T = 115^{\circ} 24' \quad M : \beta = 145^{\circ} 39'$$

$$M : r = 63^{\circ} 42' \quad M : l = 133^{\circ} 50'$$

$$z : z' = 109^{\circ} 59' 30'' \quad T : q = 154^{\circ} 2'$$

$$f : d = 170^{\circ} \quad M : \gamma = 140^{\circ} 48'$$

$$M : e = 145^{\circ} 17' 40'' \quad T : b = 79^{\circ} 53'$$

Die Fig. 67 ist eine stereographische Projection einiger Flächen der Combination. In dieser Projection geht die Orthodiagonale von links nach rechts.

Berechnung des Axenverhältnisses und des Winkels β .

Der Winkel $MT = 180 - M : T$ ist $= \beta = 64^{\circ} 36'$

Die Indices von z' (Fig. 67) sind 1 1 0. Die Gleichung von z' ist:

$$a \sin MT = \operatorname{ctg} z' f' = \operatorname{tg} Tz'$$

wenn M die Projection der Basis (0 0 1) ist. Aus dieser Gleichung folgt

$$a = \frac{\operatorname{tg} Tz'}{\sin MT} = \frac{\operatorname{tg} Tz'}{\sin \beta} = \frac{\operatorname{tg} \frac{1}{2} (z : z')}{\sin \beta}$$

$$= \frac{\operatorname{tg} 55^{\circ}}{\sin 64^{\circ} 36'} = 1,58073$$

Da r' (Fig. 67) in der Zone $nr'n'$ liegt, so findet man für r' die Indices 1 0 1. Die Gleichung von r' ist mithin

$$a \sin r'M = c \sin r'T$$

woraus

$$c = \frac{a \sin r'M}{\sin r'T}$$

Nun ist

$r'M = 180 - Mr = M : r = 63^{\circ} 42'$ und $r'T = \beta + r'M = 128^{\circ} 18'$

Mithin ergibt sich

$$c = 1,80574$$

Berechnung von e und l.

Die Indices von e seien $10 \frac{1}{m}$, so ist die Gleichung von e:

$$a \sin Me = mc \sin eT$$

woraus

$$m = \frac{a \sin Me}{a \sin eT} = \frac{a \sin Me}{c \sin (\beta - Me)}$$

Da $Me = 180 - M : e = 34^\circ 42' 20''$ ist, so folgt $m = 1$.

Mithin ist

$$e = - P\overline{\omega}, \text{ ebenso findet man } l = - 2P\overline{\omega}$$

Berechnung von β .

Die Indices von β seien $10 \frac{1}{m}$. Die Gleichung von β ist

$$a \sin M\beta = mc \sin \beta T \quad (\text{Fig. 67})$$

Daraus

$$m = \frac{a \sin M\beta}{c \sin \beta T} = \frac{a \sin M\beta}{c \sin (M\beta + \beta)} = \frac{1}{2}$$

Mithin ist

$$\beta = + \frac{1}{2} P\overline{\omega}$$

Berechnung von q' (Fig. 67).

Die Indices von q' seien $10 \frac{1}{m}$. Die Gleichung von q' ist

$$a \sin Mq' = cm \sin q'T$$

Daraus

$$m = \frac{a \sin Mq'}{c \sin q'T} = \frac{a \sin (q'T - \beta)}{c \sin q'T} = \frac{a \sin 89^\circ 26'}{c \sin 154^\circ 2'} = 2$$

Mithin ist

$$q' = + 2P\overline{\omega}$$

Berechnung von δ .

Die Indices von δ seien $\frac{1}{n} \bar{1} \frac{1}{m}$

Weil δ in den beiden Zonen $T\delta n$ und $z\delta$ liegt, so ergibt sich vermöge der Zonengleichung $m = n = 1$. Mithin ist

$$\delta = - P$$

Berechnung von γ .

Die Indices von γ seien $0 \bar{1} \frac{1}{m}$. Die Gleichung von γ ist daher

$$\operatorname{tg} M\gamma = m c \sin MT = m c \sin \beta$$

Daraus

$$m = \frac{\operatorname{tg} M\gamma}{c \sin \beta} = \frac{1}{2}$$

Mithin ist

$$\gamma = \frac{1}{2} P \infty$$

Berechnung von d (Fig. 67).

Die Indices von d seien $\frac{\bar{1}}{n} \bar{1} \frac{1}{m}$. Da d in der Zone fdn liegt, so folgt vermöge der Zonengleichung $m = n$. Die Indices von d sind jetzt: $\frac{\bar{1}}{n} \bar{1} \frac{1}{n}$ oder $\bar{1} \bar{n} 1$. Die Gleichung von d ist mithin

$$a \sin r'M = \frac{1}{n} \operatorname{ctg} df' = c \sin r'T$$

Daraus

$$n = \frac{\operatorname{ctg} df'}{a \sin r'M} = 4,0015 = 4 \text{ annähernd.}$$

Mithin ist

$$d = + 4P\bar{1}$$

Berechnung von b (Fig. 67).

Die Indices von b seien $\frac{\bar{1}}{n} \bar{1} \frac{1}{m}$. Weil b in der Zone $T\in n$ liegt, muss $m = 1$ sein. Die Indices von b sind daher $\frac{\bar{1}}{n} \bar{1} 1$. Die Gleichung von b ist mithin

$$a n \sin sM = \operatorname{tg} bs = c \sin sT$$

Daraus

$$n = \frac{c \sin sT}{a \sin sM}$$

Der Winkel T_s ergibt sich aus dem rechtwinkligen sphärischen Dreieck bsT , wenn der Winkel bTs desselben bekannt ist. Der letztere kann aus dem rechtwinkligen sphärischen Dreieck $nr'T$ berechnet werden, wenn nr' zuvor ermittelt worden ist.

Die Gleichung von n , deren Indices $\bar{1} \bar{1} 1$ sind, ist

$$a \sin r'M = \operatorname{tg} nr' = c \sin r'T$$

Daraus folgt

$$\operatorname{tg} nr' = a \sin r'M$$

Aus dem rechtwinkligen sphärischen Dreieck $nr'T$ folgt

$$\operatorname{ctg} nTr' = \frac{\sin r'T}{\operatorname{tg} nr'} = \frac{\sin r'T}{a \sin r'M}$$

Daraus

$$nTr' = 61^\circ 1'$$

Aus dem rechtwinkligen sphärischen Dreieck bsT folgt

$$\operatorname{tg} Ts = \cos r'Tn \operatorname{tg} Tb$$

Daraus

$$Ts = 110^\circ 13'$$

Mithin ist

$$Ms = Ts - MT = 45^\circ 37'$$

Nunmehr folgt aus der obigen Gleichung für n :

$$n = 1,5 = \frac{3}{2}$$

Mithin ist

$$b = + P \frac{3}{2}$$

Die übrigen Flächen ergeben sich aus dem Zonenverbande. v liegt in der Zone $v\delta\gamma$. Vermöge der Zonengleichung ergibt sich

$$v = \infty P\bar{2}$$

y' liegt in den beiden Zonen $n'y'T$ und $y'qy''$ rechts von q (Fig. 67a). Aus der Zonengleichung findet man

$$y = + 2P\bar{2}$$

α ergibt sich als Durchschnitt der beiden Zonen $\alpha z\delta$ und $\alpha y'q$

$$\alpha = + 2P$$

o liegt in der Zone $no\delta$. Mithin ist

$$o = P\bar{2}$$

Die Combination weist folgende Formen auf:

$$\begin{aligned}
 & + P \cdot o P \cdot \infty P \overline{\infty} \cdot \infty P \hat{\infty} \cdot - P \cdot \infty P \cdot + P \overline{\infty} \\
 & \quad n \cdot M \cdot T \cdot f \cdot \delta \cdot z \cdot r \\
 & \cdot - P \overline{\infty} \cdot - {}_2 P \overline{\infty} \cdot + \frac{1}{2} P \overline{\infty} \cdot + {}_2 P \overline{\infty} \cdot \frac{1}{2} P \hat{\infty} \\
 & \cdot e \cdot l \cdot \beta \cdot q \cdot \gamma \\
 & \cdot {}_4 P \hat{\infty} \cdot + P \frac{1}{2} \cdot \infty P \hat{\infty} \cdot {}_2 P \hat{\infty} \cdot {}_2 P \cdot P \hat{\infty} \\
 & \cdot d \cdot b \cdot v \cdot y' \cdot \alpha \cdot o
 \end{aligned}$$

Das triklone Krystallsystem.

§. 22.

Die Indices der Krystallfläche P in Fig. 68 seien h k l.
Die Gleichung dieser Fläche ist auch in diesem System

$$\frac{a}{h} \cos Px = \frac{b}{k} \cos Py = \frac{c}{l} \cos Pz$$

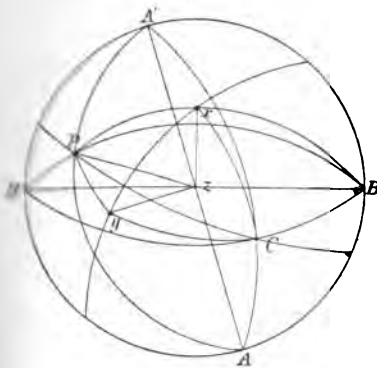
In dieser Form findet aber die Gleichung keine Anwendung,
denn x, y und z repräsentiren nicht die Pole der Krystall-

flächen 1 0 0, 0 1 0, 0 0 1, sondern sind die Punkte auf der Oberfläche der Kugel, in denen diese von den drei Axen durchstoehen wird. Um eine für die Berechnung brauchbare Formel zu erhalten, formen wir die Gleichung in folgender Weise um.

Durch xy, xz und yz denken wir uns grösste Kreise gelegt und construiren die Pole dieser Kreise. Es sei A der Pol des Kreises yz;

es repräsentirt mithin A die Fläche, deren Indices 1 0 0 sind. Ist B der Pol des Kreises xz, so repräsentirt B die Fläche 0 1 0, und C repräsentirt die Fläche 0 0 1, wenn C der Pol des Kreises xy ist.

Fig. 68.



Es ist nun leicht einzusehen, dass auch z der Pol von AB , y der Pol von AC und x der Pol von BC ist. Es ist mithin nach einem bekannten Satze der Stereometrie:

$$\begin{aligned}yz &= \alpha = 180 - CAB \\xz &= \beta = 180 - CBA \\xy &= \gamma = 180 - ACB\end{aligned}$$

Legen wir durch je zwei Punkte auf der Oberfläche der Kugel einen grössten Kreis, so erhalten wir, ausser anderen, das sphärische Dreieck PCx , aus dem folgt

$\cos Px = \sin PC \cos PCx$, denn x ist der Pol von BC , mithin ist $xC = 90^\circ$. Da x von jedem Punkte des Kreises BC einen Abstand von 90° hat, so ist $\sphericalangle xCB = xCB' = 90^\circ$ und $\sphericalangle PCx = 90 - PCB'$, folglich ist $\cos PCx = \sin PCB' = \sin (180 - PCB) = \sin PCB$. Die vorstehende Gleichung geht daher über in die folgende:

$$a) \cos Px = \sin PC \sin PCB$$

Aus dem sphärischen Dreieck PBx folgt in analoger Weise, weil $xB = 90^\circ$ ist,

$$\begin{aligned}b) \cos Px &= \sin PB \cos PBx = \sin PB \cos (90 - PBC) \\&= \sin PB \sin PBC\end{aligned}$$

Aus dem sphärischen Dreieck PyC folgt, weil $yC = 90^\circ$ ist, $\cos Py = \sin PC \cos PCy = \sin PC \cos (90 - PCA')$
 $= \sin PC \sin PCA'$

$$c) \cos Py = \sin PC \sin (180 - PCA) = \sin PC \sin PCA$$

Aus dem sphärischen Dreieck PyA folgt, weil $yA = 90^\circ$ ist,

$$\begin{aligned}d) \cos Py &= \sin PA \cos yAP = \sin PA \cos (90 - PAC) \\&= \sin PA \sin PAC\end{aligned}$$

Aus dem sphärischen Dreieck PzB folgt

$$\begin{aligned}e) \cos Pz &= \sin PB \cos zBP = \sin PB \cos (90 - PBA') \\&= \sin PB \sin PBA' = \sin PB \sin PBA\end{aligned}$$

Aus dem sphärischen Dreieck PzA folgt

$$\begin{aligned}f) \cos Pz &= \sin PA \cos PAz = \sin PA \cos (90 - PAB') \\&= \sin PA \sin PAB' = \sin PA \sin PAB\end{aligned}$$

Setzt man die Werthe für $\cos Px$, $\cos Py$ und Pz aus
 den Gl. 2, 3, 4, 5, 6 in die Gleichung

$$\frac{a}{h} \cos Px = \frac{b}{k} \cos Py = \frac{c}{l} \cos Pz$$

so erhält man die Gleichungen

$$1) \begin{cases} \frac{a}{h} \sin PCB = \frac{b}{k} \sin PCA \\ \frac{b}{k} \sin PAC = \frac{c}{l} \sin PAB \\ \frac{a}{h} \sin PBC = \frac{c}{l} \sin PBA \end{cases}$$

Diese Hauptgleichungen des triklinen Systems gelten, was
 leicht zu beweisen ist, wenn die Indices von P sind: hkl oder
 hkl oder hkl oder hkl. Der Pol P mag mithin auf der oberen
 Hälfte der Oberfläche der Kugel liegen wo er will, die Gl. 1
 bleiben richtig.

Berechnung complicirter Combinationen.

§. 23.

Erstes Beispiel (Albit).

Die Fig. 69a repräsentirt eine zwölfzählige Combination
 des Albits. Die Fig. 69 ist die stereographische Projection der
 Combination. Wählen wir P zum basischen Hauptschnitt,
 M zum Brachypinakoid und o zur Grundpyramide, so ist:

- l ein Prisma $\propto \bar{P}; n$
- T ein Prisma $\propto \bar{P}n$
- r die Pyramide $\propto P$
- f ein Prisma $\propto \bar{P}; n$
- o ein Prisma $\propto \bar{P}n$
- e ein Doma $m, \bar{P} \propto$
- n ein Doma m, \bar{P}, \propto
- x und y zwei Doma m, \bar{P}, \propto

Bekannt sind die Winkel ¹⁾:

$$T : l = 120^{\circ} 47' \quad P : o = 57^{\circ} 48' = P o' \text{ in Fig. 69}$$

$$P : l = 114^{\circ} 42' \quad M : f = 149^{\circ} 35'$$

$$P : T = 110^{\circ} 50' \quad M' : n = 46^{\circ} 50' \text{ (Fig. 69)}$$

$$P : M = 93^{\circ} 36'$$

Fig. 69.

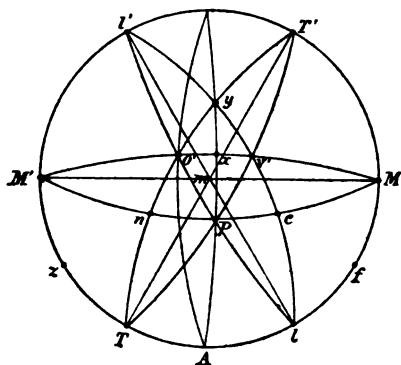
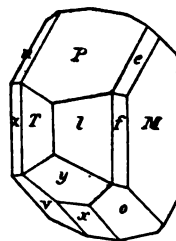


Fig. 69 a.



Berechnung von l und T.

l liegt in der Zone lPo' (o' hinten, in der Fig. 69a nicht sichtbar), daher ergibt sich vermöge der Zonengleichung:

$$l = \infty P,$$

und T liegt in der Zone TPv' (v' hinten, in der Fig. 69a nicht sichtbar), daher

$$T = \infty ,P$$

Construction des Poles P des basischen Hauptschnitts (Fig. 69).

Im triklinen Systeme muss der Pol P des basischen Hauptschnitts durch eine besondere Construction gefunden werden, die man auch in den anderen Systemen für eine Fläche zur Anwendung bringt, die nicht durch den Zonenverband, sondern nur durch die Winkel, die sie mit anderen Flächen bildet, zu

¹⁾ Die Winkel sind dem Werke: Manuel de Minéralogie par Des-Cloizeaux, T. I, p. 318, entlehnt.

construieren ist. In der Fig. 69 kann das Dreieck $TP1$ berechnet werden. Man findet $P1T = 79^{\circ}34'$, folglich $P1M = 100^{\circ}26'$. Nun kann auch das Dreieck $P1M$ berechnet werden. Man findet: $MP1 = 59^{\circ}$, $M1 = 60^{\circ}27'$ und $PM1 = 63^{\circ}32'$. Nennen wir den Mittelpunkt des Kreises in Fig. 69 m und errichten in m eine Senkrechte auf die Linie MM' , so schneidet diese den Bogen MPM' in einem Punkte nahe bei P , den wir P' nennen wollen (nicht gezeichnet). Es ist

$$mP' = \sphericalangle mMP' = 90 - PM1$$

Der Punkt P' ist nach den früheren Erläuterungen leicht zu construieren. Durch die drei Punkte $MP'M'$ lege man einen Kreis, so erhält man den Bogen $MP'M'$, in welchem P liegt. In analoger Weise construiere man den Bogen $1P1'$. Der Durchschnitt der beiden Bögen MPM' und $1P1'$ liefert den Pol P des basischen Hauptschnitts.

Berechnung von MA (Fig. 69).

Es sei A der Pol des Makropinakoids 100 . Dieser Pol A muss construiert werden, wiewohl das Makropinakoid in der Fig. 69a gar nicht vorkommt, weil sonst die Axenlängen a , b und c aus der Gl. 1, S. 202 nicht berechnet werden können.

Die Berechnung erfolgt mit Hilfe der Gl. 7 und 8 oder 9, S. 12 und 13. Die Gl. 9, S. 13 heisst:

$$\frac{\text{ctg } PS - \text{ctg } PP'}{\text{ctg } PQ - \text{ctg } PP'} = \frac{ke - fh}{fh' - ek'} \cdot \frac{qh' - pk'}{kp - qh}$$

Lässt man die vier tautozonalen Flächen $PQSP'$, auf welche diese Gleichung sich bezieht, zusammenfallen mit den Flächen M , 1 , A und T , deren Indices sind: 010 , 110 , 100 und $1\bar{1}0$, so lässt sich $PS = MA$ berechnen, weil die Winkel $M1 = 60^{\circ}27'$ und $MT = M1 + T1 = 119^{\circ}40'$ bekannt sind.

Die rechte Seite der vorstehenden Gleichung ist $\frac{1}{2}$; daher findet man

$$\text{ctg } MA = \frac{1}{2} (\text{ctg } M1 + \text{ctg } MT)$$

$$MA = 90^{\circ}4'20''$$

Mit Hilfe dieses Winkels MA kann man A sofort in die Fig. 69 eintragen.

Berechnung der Axenwinkel und der Axenlängen.

Da die Flächen A, M, P die Indices 1 0 0, 0 1 0, 0 0 1 haben, so hat man nur nach den früheren Ausführungen das sphärische Dreieck AMP zu berechnen. Die Seiten des dazu gehörigen Polardreiecks sind die Winkel xy, xz und yz der Axen; und zwar ist

$$\begin{aligned}\alpha &= 180 - PAM \\ \beta &= 180 - PMA \text{ und} \\ \gamma &= 180 - MPA\end{aligned}$$

Die Berechnung des Dreiecks P1A, in welchem $P1A = 79^\circ 34'$, $P1 = 65^\circ 18'$ und $A1 = 29^\circ 37' 20''$ ist, liefert:

$$PA1 = 85^\circ 56' 7'' \quad A P1 = 32^\circ 51' 33'' \quad PA = 63^\circ 36'$$

Nun findet man nach Berechnung des Dreiecks AMP:

$$\alpha = 94^\circ 3' 53'' \quad \beta = 116^\circ 28' \quad \gamma = 88^\circ 8' 27''$$

Die Berechnung des Dreiecks o'PA, in welchem bekannt sind $PA = 63^\circ 36'$, $PO' = 57^\circ 48'$ und $o'PA = 147^\circ 8' 27''$, liefert:

$$AO' = 113^\circ 33' 40'' \quad AO'P = 32^\circ 1' 19'' \quad o'AP = 30^\circ 3' 41''$$

Nunmehr liefern die Gl. 1, S. 202, wenn man $b = 1$ setzt:

$$\begin{aligned}a &= \frac{\sin o'PA}{\sin o'PM} & c &= \frac{\sin o'AP}{\sin o'AM} \\ a &= 0,63297 & c &= 0,55731\end{aligned}$$

Berechnung von f.

Die Indices von f seien $\frac{1}{n}$ 1 0; die Gleichung von f ist alsdann (s. Gl. 1, S. 202):

$$\begin{aligned}a n \sin fPM &= \sin fPA \\ n &= \frac{\sin fPA}{a \sin fPM}\end{aligned}$$

In dem sphärischen Dreieck fPM kennt man

$$MP = 86^\circ 24' \quad Mf = 30^\circ 25' \quad PMf = PMA = 63^\circ 32'$$

Die Berechnung desselben liefert:

$$MPf = 28^\circ 9' 55'' \quad PMf = 111^\circ 29' 35''$$

Berechnung von α

$$\angle PA = 63^\circ 41' 38''$$

Berechnung von n

$$n = 3.005 = 3 \text{ annähernd.}$$

Berechnung von β

$$\beta = \alpha \cdot \bar{P} \cdot \gamma$$

Berechnung von n

Die Gleichung von n ist:

$$\sin nAP = n \cdot c \sin nAM$$

$$n = \frac{\sin nAP}{c \sin nAM}$$

Die Gleichung von n ergibt sich aus dem sphärischen Dreieck

Berechnung von α

$$\angle PA = 63^\circ 41' 38'' \quad \angle AP = 63^\circ 38' \quad \angle PA = 63^\circ 8' 27''$$

Berechnung von β

$$\beta = \alpha \cdot \bar{P} \cdot \gamma$$

Berechnung von γ

$$\gamma = \angle AP - \angle PA = 139^\circ 18' 27''$$

Die Gleichung von n ergibt sich aus dem sphärischen Dreieck

$$n = \frac{\sin nAP}{c \sin nAM}$$

Berechnung von n

Die Gleichung von n ergibt sich aus dem sphärischen Dreieck

$$n = \frac{\sin nAP}{c \sin nAM}$$

Berechnung von n

Die Gleichung von n ergibt sich aus dem sphärischen Dreieck

$$n = \frac{\sin nAP}{c \sin nAM}$$

Berechnung von n

Die Gleichung von n ergibt sich aus dem sphärischen Dreieck

Berechnung von α

$$\alpha = \frac{\sin nAP}{c \sin nAM}$$

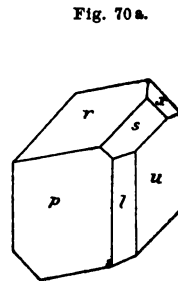
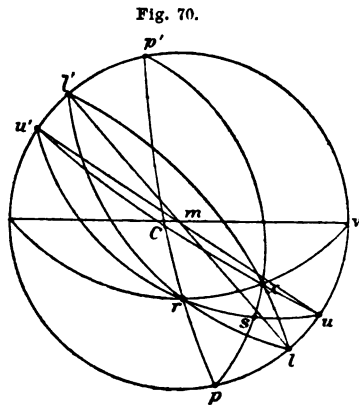
Die Combination weist auf:

$$\begin{array}{ccccccc} oP & . & \infty P & . & s \bar{P} & . & \infty \bar{P} \infty . \infty P' . s \bar{P}' \infty . P, \\ P & . & T & . & n & . & M . l . e . o \\ & . & \infty \bar{P} s & . & \bar{P} \infty . P . \infty \bar{P}' s & . & s \bar{P} \infty \\ & . & z & . & x & . & v . f . y \end{array}$$

Zweites Beispiel (Axinit).

Die Fig. 70a repräsentirt eine Combination des Axinites. Die Fig. 70 ist die stereographische Projection der Combination. Eine allgemeine Bestimmung lehrt, dass, wenn wir r zu P und x zu P' wählen:

- p das Prisma ∞P
- u das Prisma $\infty P'$
- s ein Makrodoma $m \bar{P}' \infty$
- l das Makropinakoid $\infty \bar{P} \infty$ ist.



Bekannt sind die Winkel (in Fig. 70a)

$$\begin{array}{ll} l : u = 164^\circ 25' & \text{daraus folgt für Fig. 70: } lu = 15^\circ 35' \\ l : x = 147^\circ 33' & lx = 32^\circ 27' \\ x : u = 149^\circ 28' & xu = 30^\circ 32' \\ r : x = 139^\circ 6' & rx = 40^\circ 54' \\ l : r = 124^\circ 33' ^1) & lr = 55^\circ 27' \end{array}$$

¹⁾ Vergl. Des-Cloizeaux, *Minéralogie*, 1862, T. I, p. 515 u. f.; vergl. auch Naumann-Zirkel, *Elemente der Mineralogie*, S. 535; vergl. auch Klein, *Einleitung in die Krystallberechnung*, S. 293.

Berechnung des Pinakoids 0 0 1 (C) in Fig. 70.

Zuerst muss pl berechnet werden. Die vier Flächen p , l , u und v , denen die Indices $1 \bar{1} 0$, $1 0 0$, $1 1 0$ und $0 1 0$ zukommen, sind tautozonal. Da die Winkel lu und uv bekannt sind, so kann pl mit Hilfe der Gl. 6, S. 12 berechnet werden. Die rechte Seite der Gl. 6 ist, wenn wir die Flächen $pluv$ der Reihe nach zusammenfallen lassen mit den Flächen $PQSP'$, auf welche sich die Gl. 6 bezieht, gleich $\frac{1}{2}$. Die Gl. 6 heisst dann:

$$\frac{\sin PQ}{\sin P'Q} \cdot \frac{\sin P'S}{\sin PS} = \frac{1}{2}$$

Setzen wir $PS = PQ + QS$ und $P'S = QP' - QS$, so ergibt sich die Gleichung:

$$\frac{\text{ctg } QS - \text{ctg } QP'}{\text{ctg } QS + \text{ctg } QP} = \frac{1}{2}$$

Daraus folgt

$$\text{ctg } QP = \text{ctg } QS - 2 \text{ctg } QP'$$

oder auf die Fig. 70 übertragen:

$$\text{ctg } pl = \text{ctg } lu - 2 \text{ctg } (lu + uv)$$

Die Rechnung ergibt:

$$pl = 28^\circ 55'$$

Nun lässt sich das Dreieck rlp berechnen. In diesem Dreieck kennt man

$$rl = 55^\circ 27' \quad pl = 28^\circ 55' \quad rlp = 58^\circ 31' 20''$$

Die Rechnung liefert:

$$rpl = 98^\circ 16' 50'' \quad prl = 35^\circ 31' 10'' \quad pr = 45^\circ 13'$$

Nun lässt sich das Dreieck rxC berechnen. Die Rechnung liefert:

$$Cx = 65^\circ 13' 20'' \quad rC = 44^\circ 43' 20'' \quad rCx = 44^\circ 11' 20''$$

Die Berechnung des Dreiecks Cxv liefert:

$$Cvx = 43^\circ 24' \quad xCv = 32^\circ 56' \quad Cv = 98^\circ 5'$$

Die Construction von C bietet nun keine Schwierigkeiten mehr.

π und v zwei Tetartopyramiden $m\bar{P},n$
 i eine Tetartopyramide $m\bar{P},n$
 w eine Tetartopyramide $m,\bar{P}n$
 s und μ zwei Tetartopyramiden $m,\bar{P}n$
 b eine Tetartopyramide $m\bar{P},n$
 f ein Hemiprisma $\infty P',n$
 z ein Hemiprisma $\infty ,P'n$
 d eine Tetartopyramide $m\bar{P},n$

Fig. 71.

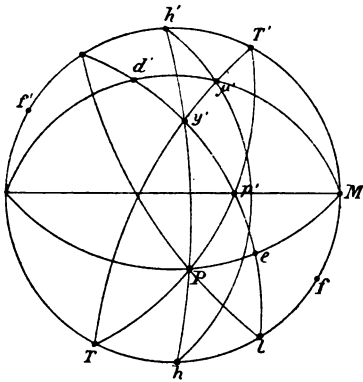
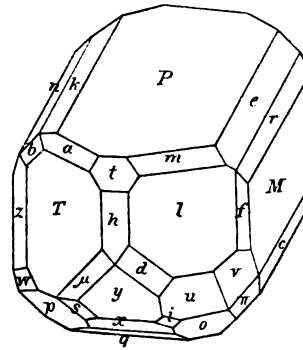


Fig. 71a.



Die Fig. 71 ist die stereographische Projection eines Theils der Flächen.

Bekannt sind die Winkel (nach Marignac und Des-Cloizeaux, s. Fig. 71a):

$P : M = 94^{\circ} 10'$	$T : l = 120^{\circ} 30'$	$P : k = 161^{\circ} 22'$
$P : l = 114^{\circ} 7'$	$P : e = 137^{\circ} 22'$	$l : f = 151^{\circ} 25'$
$M : l = 121^{\circ} 56'$	$P : r = 112^{\circ} 19'$	$T : z = 148^{\circ} 33'$
	$h : \mu = 155^{\circ} 13'$	
	$P : \mu = 97^{\circ} 53'$	
	$s : h = 125^{\circ} 37' 30''$	
	$c : P' = 104^{\circ} 50'$	

Construction von P in Fig. 71.

Zunächst berechne man das Dreieck MP_l , in dem alle drei Seiten gegeben sind: $PM = 85^{\circ} 50'$, $Pl = 65^{\circ} 53'$ und

$\alpha = 58^{\circ}4'$. Man findet $lPM = 56^{\circ}44'20''$, $PMl = 64^{\circ}4'$ und $PlM = 100^{\circ}40'20''$. Nunmehr kann man die beiden Linien MP und lP construiren und deren Durchschnitt ist der Pol P des basischen Hauptschnitts.

Berechnung des Makropinakoids 100 (h).

Die vier Flächen T, h, l und M, deren Indices $1\bar{1}0$, 100, 110 und 010, sind tautozonal. Da die Winkel Tl und Ml bekannt sind, so lässt sich der Winkel Th vermöge der Gl. 9, S. 13 berechnen. Wir lassen zu dem Zwecke die Flächen T, h, l, M der Reihe nach mit den Flächen P, Q, S, P', auf welche sich die Gl. 9 bezieht, zusammenfallen. Die rechte Seite der Gl. 9 ist gleich $\frac{1}{2}$, mithin ergibt sich:

$$\text{ctg } PQ = 2 \text{ ctg } PS - \text{ctg } PP'$$

oder auf die Fig. 71 übertragen:

$$\text{ctg } Th = 2 \text{ ctg } Tl - \text{ctg } TM$$

Die Rechnung ergibt

$$Th = 30^{\circ}28'$$

mithin

$$hl = 29^{\circ}2'$$

Berechnung der Axenwinkel.

Das Dreieck Phl kann nunmehr berechnet werden. Die Berechnung ergibt:

$$Phl = 86^{\circ}46'40'' = 180 - \alpha$$

$$hPl = 32^{\circ}4' \text{ und } Ph = 63^{\circ}56'20''$$

Nun ist

$$hPM = hPl + lPM = 88^{\circ}48'20'' = 180 - \gamma$$

und

$$PMh = 64^{\circ}4' = 180 - \beta$$

Daher

$$\alpha = 93^{\circ}13'20'' \quad \beta = 115^{\circ}56' \quad \gamma = 91^{\circ}11'40''$$

Berechnung der Axenlängen.

Die Indices des Hemiprismas 1 sind 1 1 0; die Gleichung von 1 ist folglich nach Gl. 1, S. 202, wenn man $b = 1$ setzt:

$$a \sin 1PM = \sin 1Ph$$

$$a = \frac{\sin 1Ph}{\sin 1PM} = 0,63492$$

Um c zu berechnen, müssen wir erst e bestimmen. e liegt in den Zonen (s. Fig. 71a) PeM und lep' (p' hinten, nicht sichtbar, in der Fig. 71 aber sichtbar). Daher ergibt sich

$$e = z, \bar{P}' \infty$$

Die Indices von e sind $0 \ 1 \ \frac{1}{2}$ oder 021. Die Gleichung von e ist mithin, wenn $b = 1$ gesetzt wird:

$$\frac{1}{2} \sin ehP = c \sin ehM \quad c = \frac{\sin ehP}{2 \sin ehM}$$

Der Winkel ehP ist gleich $PhM - ehM$. Da $Me = MP - Pe = 43^\circ 12'$ ist, so findet man aus dem Dreieck ehM folgende Stücke:

$$Meh = 107^\circ 32' \quad ehM = 40^\circ 48' 40''$$

$$eh = 70^\circ 22' 20''$$

Daher

$$ehP = 45^\circ 58'$$

Mithin

$$c = 0,55002$$

Das Axenverhältniss ist mithin

$$0,63492 : 1 : 0,55002$$

Berechnung der Flächen $t, m, a, y, x, u, d, i, v, n, \pi$
(s. Fig. 71a).

Vermöge der Zonengleichung ergibt sich:

$$t = z, \bar{P}' \infty \text{ (Zone etT)}$$

$$m = P' \text{ (Zonen emT und lmP)}$$

$$a = 'P \text{ (Zonen atl und TaP)}$$

$$\begin{aligned}
 y &= 2, \bar{P}, \infty \text{ (Zone pyl)} \\
 x &= 2, \bar{P}, \infty \text{ (Zone pxo)} \\
 u &= 2 P, \text{ (Zonen yuM und oul)} \\
 d &= 4 \bar{P}, 2 \text{ (Zonen udh und ydl)} \\
 i &= \frac{4}{3} \bar{P}, 2 \text{ (Zonen xiu und oiy)} \\
 v &= 4 \bar{P}, 2 \text{ (Zonen uvM und vlt)} \\
 n &= 2' \bar{P}, \infty \text{ (Zone Tno';} \\
 &\quad \text{o' hinten, nicht sichtbar in Fig. 71 a)} \\
 \pi &= 2 \bar{P}, 2 \text{ (Zonen lv\pi und xo\pi)}
 \end{aligned}$$

Berechnung von r, k, c.

Die Indices von r seien $0 \ 1 \ \frac{1}{m}$ oder $0 \ m \ 1$. Die Gleichung von r ist mithin (s. Gl. 1, S. 202):

$$\frac{1}{m} \sin rhP = c \sin rhM$$

$$m = \frac{\sin rhP}{c \sin rhM}$$

Die Winkel rhM und rhP erhält man durch Berechnung des Dreiecks rhM. (r ist in Fig. 71 nicht gezeichnet. Es liegt auf dem Bogen eM zwischen e und M.) Die Berechnung liefert:

$$rhM = 16^\circ 33' 30'' \quad hrM = 113^\circ 58' 10'' \quad rh = 79^\circ 23' 20''.$$

Da $rhP = PhM - rhM$ ist, so folgt $rhP = 70^\circ 13' 10''$

Mithin

$$m = 6,0023 = 6 \text{ annähernd.}$$

Mithin ist

$$r = 6, \bar{P}', \infty$$

Ebenso ergibt sich:

$$k = \frac{2}{3} \bar{P}', \infty \text{ und } c = 6 \bar{P}', \infty$$

Berechnung von f.

Die Indices von f seien $1 \ \frac{1}{n} \ 0$ oder $n \ 1 \ 0$

$$\frac{a}{n} \sin fPM = \frac{1}{1} \sin fPh$$

Die Berechnung des Dreiecks fPM liefert:

$$fPh = 61^\circ 21' 50'' \text{ und } fPM = 27^\circ 26'$$

Daraus folgt

$$n = \frac{1}{3}$$

Das ist aber nicht möglich, weil $n > 1$ sein muss. Die Indices von f sind daher nicht $1 \frac{1}{n} 0$, sondern $\frac{1}{n} 1 0$ oder $1 n 0$ mit anderen Worten: f ist nicht ein makrodiagonales, sondern ein brachydiagonales Hemiprisma. Die Gleichung von f ist mithin

$$\begin{aligned} a \sin fPM &= \frac{1}{n} \sin fPh \\ n &= \frac{\sin fPh}{a \sin fPM} = 3 \end{aligned}$$

Mithin ist

$$f = \infty \check{P}'_s$$

Für z findet man in analoger Weise:

$$z = \infty \check{P}_s$$

Berechnung von μ' .

Die Indices von μ' seien (s. Fig. 71): $\bar{1} \frac{1}{n} \frac{1}{m}$, so sind die Gleichungen von μ' :

$$\begin{aligned} a \sin \mu'PM &= n \sin \mu'Ph \\ n \sin \mu'hP &= m c \sin \mu'hM \end{aligned}$$

Daraus folgt

$$n = \frac{a \sin \mu'PM}{\sin \mu'Ph} \quad m = \frac{n \sin \mu'hP}{c \sin \mu'hM}$$

Um die Winkel $\mu'PM$, $\mu'hP$ u. s. w. zu finden, berechne man das sphärische Dreieck $\mu'Ph$, in dem die 3 Seiten $\mu'P = 97^\circ 53'$, $\mu'h = 155^\circ 13'$ und $Ph = 63^\circ 56' 20''$ bekannt sind.

Die Rechnung liefert:

$$Ph\mu' = 45^\circ 58' 20'' \quad hP\mu' = 162^\circ 17' \quad P\mu'h = 40^\circ 42'$$

Nun ergibt sich leicht

$$\mu'PM = 73^\circ 28' 40'' \quad \mu'hM = 40^\circ 48' 20''$$

Daher folgt

$$n = 2 \text{ und } m = 4$$

Mithin ist

$$\mu = 4, \bar{P}_2$$

Berechnung von μ' , wenn der Winkel $\mu'h$ allein bekannt ist.

Da μ in der Zone $y\mu T$ liegt (Fig. 71a), so ergibt sich leicht, dass

$$m = \frac{2n}{n-1}$$

sein muss.

Es genügt mithin zur Berechnung von m und n ein einziger Winkel, z. B. der Winkel $\mu'h$ (Fig. 71). Die Rechnung soll diesmal nur angedeutet werden.

Da die Indices von y' bekannt sind, so kann man mit Hilfe der dritten Gleichung der Gl. 1, S. 202 den Winkel $y'MP$ berechnen; alsdann kennt man auch den Winkel $y'Mh$. Nun kann man das Dreieck $y'Mh$ berechnen, aus dem sich hy' ergibt. Die Berechnung des Dreiecks Thy' liefert den Winkel $Ty'h = 180 - \mu'y'P$. Nun kann das Dreieck $\mu'y'h$ und dann das Dreieck $\mu'y'P$ berechnet werden.

Berechnung von s .

s liegt in der Zone psy (Fig. 71a), folglich muss vermöge der Zonengleichung

$$m = \frac{2n}{n+1}$$

sein.

Da der Winkel $s:h$ bekannt ist, so kann s , wie eben gezeigt worden ist, berechnet werden. Die Rechnung ergibt:

$$s = \frac{4}{3}, \bar{P}_2$$

Berechnung von b, w und q.

Die Tetartopyramide b liegt in den Zonen Tbn und zba (Fig. 71a), mithin ergibt sich vermöge der Zonengleichung

$$b = 4 \cdot \check{P}_2$$

Die Tetartopyramide w liegt in den Zonen pwz und wTt. Mithin

$$w = 4 \cdot \check{P}_2$$

q liegt in der Zone qp w. Mithin

$$q = \frac{2}{3} \cdot \bar{P}, \infty$$

Die Combination weist folgende Formen auf:

Pinakoide und Hemiprismen	Makrodiagonale Hemidomen	Brachydiagonale Hemidomen
P = oP	t = 2 · \check{P}' ∞	e = 2 · \check{P}' ∞
h = ∞ \bar{P} ∞	q = $\frac{2}{3}$ · \bar{P}, ∞	r = 6 · \check{P}' ∞
M = ∞ \check{P} ∞	x = \bar{P}, ∞	k = $\frac{2}{3}$ · \check{P}, ∞
T = ∞ · P	y = 2 · \bar{P}, ∞	n = 2 · \check{P}, ∞
l = ∞ P,		c = 6 · \check{P}, ∞
z = ∞ · \check{P}_2		
f = ∞ $\check{P}', 2$		

Tetartopyramiden

m = P'	b = 4 · \check{P}_2
a = P	
o = P,	π = 2 · \check{P}_2
p = P	μ = 4 · \bar{P}_2
u = 2 P,	d = 4 · \bar{P}_2
v = 4 · \check{P}_2	s = $\frac{4}{3}$ · \bar{P}_2
w = 4 · \check{P}_2	i = $\frac{4}{3}$ · \bar{P}_2

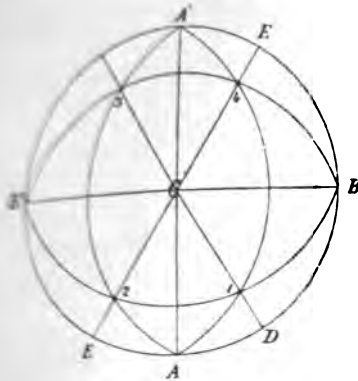
Viertes Beispiel (Bibromorthonitrophenol) ¹⁾.

Die Krystalle des Bibromorthonitrophenols bilden eine Combination von oP mit den vier Tetartopyramiden P',. Arzruni ¹⁾ berechnete die Elemente des Krystalls aus drei Winkeln, welche

¹⁾ Annalen der Physik u. Chemie von Poggendorff, Bd. 152, S. 286.

„P mit T, mit P und P' bildet, und aus den Winkeln P': P, und P: P', die alle wegen günstiger Beschaffenheit der Flächen genau gemessen werden konnten. Hier sollen zur Uebung die Elemente des Krystalls aus fünf Winkeln der vier Tetartopyramiden 'P,' berechnet werden.

Fig. 72.



Die vier Tetartopyramiden sind in der Fig. 72, die eine stereographische Projection der Tetartopyramiden ist, durch 1, 2, 3 und 4 bezeichnet.

Bekannt sind die Winkel:

$$\begin{aligned} \angle 24 &= 148^\circ 8' \\ 12 &= 60^\circ 25' \\ 14 &= 112^\circ 5' \\ 34 &= 60^\circ 5' \\ 23 &= 107^\circ \end{aligned}$$

Die Gl. 1, S. 202, die zur Berechnung der Axenlängen dienen, enthalten die Winkel PAB, PAC und diese sind es, die wir zunächst zu ermitteln haben. In der Fig. 72 seien A, B und C die Pinakoide 100, 010 und 001. Weder diese Pinakoide, noch die Tetartopyramiden können vorläufig construirt werden. Daher entwerfe man zunächst eine Handzeichnung, damit man die Berechnung der sphärischen Dreiecke verfolgen kann. Mit Hilfe der Zonengleichung findet man, dass die Flächen 21B, ebenso die Flächen 32A und 41A und 34B tautozonal sind. Der Durchschnitt der beiden Zonen AB und 31 liefert die Hemiprismenfläche D (110), der Durchschnitt der Zonen AB und 42 die Hemiprismenfläche E (110). Die Pinakoidfläche C liegt in den zwei Zonen 24 und 13, kann mithin construirt werden, wenn die Winkel bekannt sind, welche die beiden Zonen mit dem Grundkreise AB bilden.

Man berechne nun der Reihe nach folgende sphärische Dreiecke:

- 1) 234 2) 241 3) 341 4) 2C1 5) 21A 6) 1AC

Zur Berechnung von $\angle D$ bediene man sich der Gl. 9, S. 13, deren rechte Seite $= \frac{1}{2}$ ist. Die Gleichung geht, wenn man die linke Seite derselben einer einfachen Umformung unterwirft, über in die Gleichung

$$\text{ctg } \angle D = \text{ctg } \angle C - 2 \text{ ctg } \angle B$$

Nun berechne man noch die sphärischen Dreiecke $\triangle A D$, $\triangle D B$ und $\triangle C D B$; alsdann erhält man

$$\alpha = 180 - \angle C A B = 82^{\circ} 36' 30''$$

$$\beta = 180 - \angle C B A = 90^{\circ} 45'$$

$$\gamma = 180 - \angle A C B = 89^{\circ} 21' 30''$$

Das Parameterverhältniss wird mit Hilfe der Gl. 1, S. 202 berechnet. Man findet

$$a : b : c = 0,6114 : 1 : 1,8241$$

Da der Winkel $\angle C A B = 97^{\circ} 23' 30''$ nur wenig von 90° abweicht, so ist die gerade Linie $A C A'$ an Stelle des nur wenig davon abweichenden Bogens gezeichnet worden. Dasselbe gilt für $B C B'$ und $D C$. Die Construction des Bogens $A D A'$ setzt die Kenntniss des Winkels $\angle A B$ voraus. Dieser Winkel wurde aber schon aus dem Dreieck $\triangle A D$ berechnet. Die Rechnung lieferte:

$$\angle A B = 30^{\circ} 10' \quad A D = 31^{\circ} 41' \quad D B = 58^{\circ} 19'$$

§. 23. Von der Zwillingssymmetrie.

Das Zwillingssystem ist rechtwinklig.

§. 24.

Man findet häufig vorkommende Erscheinung, dass zwei Krystalle nach einem bestimmten Gesetze verzwillt sind. Dieses Gesetz nennt man das Zwillingsgesetz, die so entstandenen Krystalle Zwillingskrystalle.

Zwillingskrystalle mit parallelen Axen und Flächen sind als Wiederholungen zu betrachten und bedürfen keiner mathematischen Behandlung.

Zwillingskrystalle, deren Axen nicht parallel sind, bilden den Gegenstand der folgenden Untersuchungen.

Die Fläche, mit welcher beide Krystallindividuen zusammengefasst sind, wird Zwillingsfläche, die Normale zur Zwillingsfläche Zwillingsaxe genannt.

Die Erfahrung hat gelehrt, dass erstens die Zwillingsaxe (auch Endrehungsaxe genannt) eine im krystallographischen System mögliche krystallographische Linie, also eine Kante, Axe oder Flächennormale ist, und dass zweitens der Drehungswinkel stets 180° ist. Der Drehungswinkel ist derjenige Winkel, um welchen man das eine Individuum drehen muss, bis es mit dem andern so zusammenfällt, dass die Flächen des einen den Flächen des andern parallel oder als Fortsetzung der Flächen des andern erscheinen. Auch in den Fällen, wo schon eine Drehung um 180° genügt, um die beiden Individuen in die erwähnte Stellung

zu bringen, gilt dies Gesetz; denn eine Drehung um 180° hat alsdann denselben Effect.

Zwei Individuen sind entweder mit einer Fläche aneinander gewachsen oder sie haben sich durchdrungen. Im ersten Falle nennt man sie Juxtapositions-, im zweiten Falle Penetrationszwillinge. Das oben angegebene Gesetz ist für beide dasselbe. Es bleibt auch dasselbe, ob beide Individuen sich vollständig durchdrungen, also einen gemeinsamen Mittelpunkt haben, oder ob sie nur mehr oder weniger in einander geschoben sind.

Bei der folgenden Untersuchung nehmen wir daher an, beide Individuen seien um einen und denselben Mittelpunkt ausgebildet und liegen symmetrisch gegen eine bestimmte Fläche.

Die mathematische Theorie hat zu ermitteln:

1) Die relative Lage der Krystallaxen des zweiten Individuums, bezogen auf die Axen des als fix angenommenen ersten Krystalls,

2) die Indices der Flächen des zweiten Individuums, bezogen auf die Indices und Axen des ersten Individuums und

3) die Lage der Zwillingssaxe oder die Indices der Fläche, mit welcher beide Individuen an einander gewachsen sind.

Zu 1. Ist in Fig. 73 P der Pol einer Fläche, deren Indices in Bezug auf die Axen $X Y Z$ $h k l$ sind, so ist nach Gl. 12, S. 24:

$$\cos PX = \frac{bch}{\sqrt{N}}$$

$$\cos PY = \frac{ack}{\sqrt{N}}$$

$$\cos PZ = \frac{abl}{\sqrt{N}}$$

worin

$$N = a^2 b^2 l^2 + a^2 c^2 k^2 + b^2 c^2 h^2 \text{ ist.}$$

Denken wir uns den Punkt P mit dem Mittelpunkte der Kugel verbunden, so nennt man die entstehende Linie den

Fig. 73.

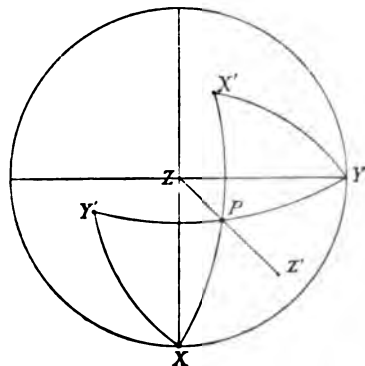


Fig. 72. Wir drehen wir das Axensystem um diesen Winkel von 180° , so kommt es in die Lage Fig. 73.

Die Winkel zwischen den Kryptallaxen des zweiten Individuums, die wir hier als fix angenommenen ersten Individuums, ist nichts anderes als die Berechnung der Winkel $X'Y, X'Z, Y'Y, Y'X, Y'Z, Z'Z$, welche aus der Fig. 73 ersieht man sofort, dass $X'Z'$ und $Y'Z = Z'Y$ ist. Da das Axensystem um den Träger (Zwillingsaxe) durch 180° gedreht wird, sieht man auch, dass $X'X = 2PX = 2PX'$, $Y'Y = 2PY$ und $Z'Z = 2PZ = 2PZ'$ ist. Daraus

$$\cos 2PX = 2 \cos^2 PX - 1 = 2 \frac{b^2 c^2 h^2}{N} - 1 \\ = \frac{b^2 c^2 h^2 - a^2 b^2 f^2 - a^2 c^2 k^2}{N}$$

$$\cos 2PY = 2 \cos^2 PY - 1 = \frac{2 a^2 c^2 k^2}{N} - 1 \\ = \frac{a^2 c^2 k^2 - a^2 b^2 f^2 - b^2 c^2 h^2}{N}$$

$$\cos 2PZ = 2 \cos^2 PZ - 1 = \frac{2 a^2 b^2 f^2}{N} - 1 \\ = \frac{a^2 b^2 f^2 - a^2 c^2 k^2 - b^2 c^2 h^2}{N}$$

aus dem sphärischen Dreieck PXY folgt

$$\cos XPY = \cos PX \cos PY - \sin PX \sin PY \cos X'PY$$

da $\angle XPY = 180^\circ - X'PY$ ist:

$$\cos XPY = \cos PX \cos PY - \sin PX \sin PY \cos XPY$$

Der Winkel XPY ergibt sich aus dem sphärischen Dreieck

$$\cos XPY = \cos PX \cos PY - \sin PX \sin PY \cos XPY$$

da $\angle XPY = 90^\circ$ ist, so folgt

$$\cos PX \sin PY \cos XPY = - \cos PX \cos PY$$

einmal diesen Wert in die vorhergehende Gleichung

einmal auch die $PX = PY$ ist:

$$\cos^2 PX \cos^2 PY - \cos PX \cos PY = 2 \cos PX \cos PY$$

Setzt man für $\cos PX$ und $\cos PY$ die oben angeführten Werthe, so ist

$$2) \left\{ \begin{array}{l} \cos X'Y = \frac{2abc^2hk}{N} \\ \cos X'Z = \frac{2ab^2chl}{N} \\ \cos YZ' = \frac{2a^2bckl}{N} \\ N = a^2b^2l^2 + a^2c^2k^2 + b^2c^2h^2 \end{array} \right. \text{ Ebenso findet man}$$

Durch die Gl. 1 und 2, die für alle rechtwinkligen Systeme gelten, ist der ersten Forderung Genüge geleistet.

Zu 2. Die Indices der Flächen des zweiten Individuums, bezogen auf die Indices und Axen des ersten Individuums, sind zu ermitteln.

Da in Fig. 73 die Punkte X' , Y' und Z' zugleich Flächen repräsentiren, so kann man nach den Indices dieser Flächen in Bezug auf das Axensystem XYZ fragen.

Die Indices von X' in Bezug auf die Axen XYZ seien x_1, x_2, x_3 , so ist die Gleichung von X' :

$$\frac{a}{x_1} \cos X'X = \frac{b}{x_2} \cos X'Y = \frac{c}{x_3} \cos X'Z$$

Daraus folgt

$$\frac{x_2}{x_1} = \frac{b \cos X'Y}{a \cos X'X} \text{ und } \frac{x_3}{x_1} = \frac{c \cos X'Z}{a \cos X'X}$$

Da von den drei Indices x_1, x_2, x_3 einer willkürlich angenommen werden kann, so setze man $x_1 = a \cos X'X$, alsdann ist $x_2 = b \cos X'Y$ und $x_3 = c \cos X'Z$. In analoger Weise erhält man die Indices y_1, y_2, y_3 von Y' und die Indices z_1, z_2, z_3 von Z' . Setzt man noch für $\cos X'X$ die Werthe aus den Gl. 1 und 2, so ergeben sich für die Indices x_1, x_2, x_3 von X' in Bezug auf XYZ die Werthe:

$$\begin{aligned}
 x_1 &= \frac{a(b^2 c^2 h^2 - a^2 b^2 l^2 - a^2 c^2 k^2)}{N} \\
 x_2 &= \frac{2 a b^2 c^2 h k}{N} & x_3 &= \frac{2 a b^2 c^2 h l}{N} \\
 \text{Für die Indices } x_1, x_2, x_3 \text{ von } Y' \text{ in Bezug auf } XYZ \\
 \text{die Werthe:} \\
 y_1 &= \frac{b(a^2 c^2 k^2 - a^2 b^2 l^2 - b^2 c^2 h^2)}{N} \\
 y_2 &= \frac{2 a^2 b c^2 k l}{N}
 \end{aligned}$$

Für die Indices z_1, z_2, z_3 von Z' in Bezug auf XYZ die Werthe:

$$\begin{aligned}
 z_1 &= \frac{2 a^2 b^2 c h l}{N} & z_2 &= \frac{2 a^2 b^2 c k l}{N} \\
 z_3 &= \frac{c(a^2 b^2 l^2 - a^2 c^2 k^2 - b^2 c^2 h^2)}{N}
 \end{aligned}$$

worin

$$N = a^2 b^2 l^2 + a^2 c^2 k^2 + b^2 c^2 h^2$$

Es ist nun auch leicht, die Winkel zu finden, welche irgend eine Ebene M , deren Indices in Bezug auf XYZ efg sind, mit den Axen $X'Y'Z'$ bildet. Die gesuchten Winkel sind MX' , MY' und MZ' . Da die Indices von M , X' , Y' und Z' bekannt sind, so ergibt sich vermöge Gl. 14, S. 26

$$4) \left\{ \begin{aligned} \cos MX' &= \frac{a^2 b^2 g x_3 + a^2 c^2 f x_2 + b^2 c^2 e x_1}{\sqrt{N_1} \sqrt{N_2}} \\ \cos MY' &= \frac{a^2 b^2 g y_3 + a^2 c^2 f y_2 + b^2 c^2 e y_1}{\sqrt{N_1} \sqrt{N_3}} \\ \cos MZ' &= \frac{a^2 b^2 g z_3 + a^2 c^2 f z_2 + b^2 c^2 e z_1}{\sqrt{N_1} \sqrt{N_4}} \end{aligned} \right.$$

worin

$$\begin{aligned}
 N_1 &= a^2 b^2 g^2 + a^2 c^2 f^2 + b^2 c^2 e^2 \\
 N_2 &= a^2 b^2 x_3^2 + a^2 c^2 x_2^2 + b^2 c^2 x_1^2 \text{ u. s. w. ist.}
 \end{aligned}$$

In diesen Gleichungen haben x_1, y_1, z_1 und x_2, y_2, z_2 die Werthe, welche ihnen die Gl. 3 zuweisen.

Es bleibt nun noch übrig, die Indices $e' f' g'$ der Fläche M in Bezug auf das Axensystem $X' Y' Z'$ zu ermitteln. Wie schon erwähnt, sind die Indices von M in Bezug auf das Axensystem XYZ efg .

Die Gleichungen der Fläche M , bezogen auf die Axen $X' Y' Z'$, sind:

$$\frac{a}{e'} \cos MX' = \frac{b}{f'} \cos MY' = \frac{c}{g'} \cos MZ'$$

Daraus folgt

$$\frac{f'}{e'} = \frac{b \cos MY'}{a \cos MX'} \text{ und } \frac{g'}{e'} = \frac{c \cos MZ'}{a \cos MX'}$$

Da ein Index willkürlich angenommen werden kann, so setze man

$$e' = a \cos MX'$$

Dann ist

$$f' = b \cos MY'$$

und

$$g' = c \cos MZ'$$

Setzt man in diesen Gleichungen für $\cos MX'$, $\cos MY'$ und $\cos MZ'$ die Werthe aus den Gl. 4, setzt dann für $x_1 x_2 x_3$, $y_1 y_2 y_3$ u. s. w. die Werthe aus den Gl. 3, so haben die entstehenden Gleichungen den Faktor $\frac{a^2 b^2 c^2}{N \sqrt{N_1} \sqrt{N_2}}$ gemeinschaftlich. Da jeder der drei Indices mit einer beliebigen Zahl multiplicirt oder dividirt werden darf, so kann man jeden der drei Indices durch den gemeinschaftlichen Faktor dividiren. Die Indices $e' f' g'$ erhalten dann, bezogen auf die Axen $X' Y' Z'$, die Werthe:

$$5) \begin{cases} e' = e (b^2 c^2 h^2 - a^2 b^2 l^2 - a^2 c^2 k^2) + 2 a^2 h (b^2 l g + c^2 k f) \\ f' = f (a^2 c^2 k^2 - a^2 b^2 l^2 - b^2 c^2 h^2) + 2 b^2 k (a^2 l g + c^2 h e) \\ g' = g (a^2 b^2 l^2 - b^2 c^2 h^2 - a^2 c^2 k^2) + 2 c^2 l (b^2 h e + a^2 k f) \end{cases}$$

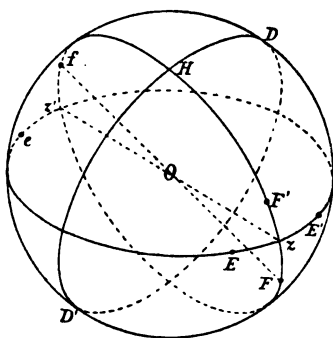
In diesen Gleichungen beziehen sich die Indices hkl und efg auf die Axen XYZ .

Durch diese Gleichungen ist die zweite Forderung erfüllt.

Zu 3. Bestimmung der Indices der Zwillingsfläche.

In der Fig. 74 sei zz' die Zwillingsaxe und DHD' die Zwillingsfläche. Da der Punkt z der Pol der Zwillingsfläche

Fig. 74.



DHD' ist, so hat man die Indices von z zu ermitteln. Sind E und E' die Pole homologer Flächen beider Individuen, so müssen diese Flächen eine solche Lage haben, dass E mit E' zusammenfällt, wenn man das eine Individuum um die Zwillingsaxe zz' durch 180° dreht. Das ist nur möglich, wenn die drei Flächen E , z und E' tautozonal sind und wenn $Ez = E'z$ ist, d. i. wenn der

Winkel EE' durch den Pol z halbirt wird. Sind F und F' zwei andere homologe Flächen beider Individuen, so müssen ebenso F , z und F' tautozonal sein. Da z der Durchschnittspunkt der beiden Zonen $F'F$ und $E'E$ ist, so folgt die Regel: Die Zwillingsfläche wird aus zwei bekannten Zonen der beiden Individuen mittelst der Zonengleichung berechnet.

Ist nur eine Zone der beiden Individuen bekannt, oder tritt nur ein Paar homologer Flächen auf, z. B. F und F' , so ist Folgendes zu bemerken. Die Gegenfläche von F im zweiten Individuum ist f und es ist $fz' = Fz = F'z$. Da $H z = H z' = 90$ ist, so folgt

$$HF' = 90 - F'z = Hz' - fz' = Hf$$

d. h. die Zwillingsfläche halbirt den Winkel der beiden homologen Flächen.

Mit Hilfe dieses Satzes ist es, wie wir sehen werden, leicht, die Indices der Zwillingsfläche zu finden.

Anwendung der vorgetragenen Lehren auf reguläre Gestalten.

§. 25.

Parallelfächen von $mOn(hkl)$.

Zwei Zwillingsgesetze sind es besonders, welche die regulären Formen beherrschen. Die Zwillingssachsen beider Individuen sind parallel oder fallen zusammen. Dieses Gesetz bedarf keiner mathematischen Behandlung.

Das zweite Gesetz umfasst alle diejenigen Zwillinge, bei welchen die Zwillingssäule eine Oktaëderfläche ist.

Wollen wir die im vorhergehenden Paragraphen entwickelten Formeln auf dieses Gesetz anwenden, so haben wir, weil die Zwillingssäule P eine Oktaëderfläche ist, $h = k = l = 1$ zu setzen, und weil im regulären System die Parameter der Grundebene einander gleich sind, so müssen wir auch $a = b = c = 1$ setzen.

Denken wir uns zwei Hexakisoktaëderflächen nach diesem Gesetze verwachsen, so haben wir uns zu fragen: Welche Werthe haben die Indices einer Hexakisoktaëderfläche im System XYZ , wenn die homologe Fläche, bezogen auf dasselbe System XYZ , die Indices

$$1) \ 1 \ \frac{1}{n} \ \frac{1}{m} \quad 2) \ 1 \ \frac{1}{n} \ \frac{\bar{1}}{m} \quad 3) \ 1 \ \frac{\bar{1}}{n} \ \frac{1}{m} \quad 4) \ 1 \ \frac{\bar{1}}{n} \ \frac{\bar{1}}{m}$$

hat? $m > n > 1$. Das ist genau dasselbe, als wenn man sagt: Die Indices einer Hexakisoktaëderfläche in Bezug auf das Axensystem XYZ seien $1 \ \frac{1}{n} \ \frac{1}{m}$. Welche Werthe haben die Indices derselben Fläche in Bezug auf das Axensystem $X'Y'Z'$? oder als wenn man sagt: Die Indices einer Hexakisoktaëderfläche in Bezug auf die Axen XYZ seien $1 \ \frac{1}{n} \ \frac{1}{m}$. Welche Werthe haben die Indices derselben Fläche in Bezug auf dasselbe Axensystem, nachdem die Fläche durch 180° um die Zwillingssaxe gedreht worden ist?

Erster Fall. Die Indices einer Hexakisoktaëderfläche im System XYZ seien $1 \frac{1}{n} \frac{1}{m}$

Setzen wir in den Gl. 5, S. 225 für efg die Werthe $1 \frac{1}{n} \frac{1}{m}$ und für $h = k = l = a = b = c$ den Werth 1, so erhalten wir

$$e' = \frac{2m + 2n - mn}{mn} \quad f' = \frac{2n + 2m - m}{mn} \\ g' = \frac{2mn + 2m - n}{mn}$$

Da man jeden der drei Indices mit einer beliebigen Zahl multipliciren darf, so können wir den gemeinschaftlichen Nenner mn weglassen. Der grösste von den drei Indices ist $2mn + 2m - n$, der kleinste ist $2m + 2n - mn$ ¹⁾.

Demnach sind die Indices der Hexakisoktaëderfläche, die im System XYZ die Indices $1 \frac{1}{n} \frac{1}{m}$ hat, im System X'Y'Z':

$$2mn + 2m - n \quad 2mn + 2n - m \quad 2m + 2n - mn$$

Früher wurde gezeigt, dass dem Zeichen hkl , worin $h > k > l$, das Naumann'sche Zeichen $\frac{h}{l} \text{ O } \frac{h}{k}$ entspricht.

Alle Hexakisoktaëderflächen, welche im System XYZ das Parameterverhältniss $m : 1 : n$ haben, haben im System X'Y'Z' das Parameterverhältniss

$$\frac{2mn + 2m - n}{2m + 2n - mn} : 1 : \frac{2mn + 2m - n}{2mn + 2n - m}$$

Diesem Verhältniss entspricht die Formel:

$$\frac{2mn + 2m - n}{2m + 2n - mn} \text{ O } \frac{2mn + 2m - n}{2mn + 2n - m}$$

¹⁾ Man setze, um zu erfahren, welcher von zweien Indices der grössere ist, $2m + 2n - mn > 2mn + 2n - m$, so folgt daraus $1 > n$. Da aber n stets > 1 sein muss, so ist $2m + 2n - mn < 2mn + 2n - m$.

Zweiter Fall. Die Indices einer Hexakisoktaëderfläche seien im System XYZ: $1 \frac{1}{n} \frac{\bar{1}}{m}$

Setzen wir in Gl. 5, S. 225 für efg die Werthe $1 \frac{1}{n} \frac{\bar{1}}{m}$ so ergeben sich die Indices derselben Fläche in Bezug auf das System X'Y'Z':

$$2mn + 2m + n \quad 2mn - m - 2n \quad 2m - mn - 2n$$

Der erste dieser drei Indices ist der grösste. Um zu erfahren, welcher von den beiden anderen der grössere ist, haben wir die absoluten Werthe zu vergleichen. Ist

$$2mn - m - 2n < mn + 2n - 2m$$

oder ist

$$n > \frac{m}{4 - m}$$

so ist das Parameterverhältniss derselben Fläche in Bezug auf das System X'Y'Z':

$$\frac{2mn + 2m + n}{2mn - m - 2n} : 1 : \frac{2mn + 2m + n}{mn + 2n - 2m}$$

Ist

$$n < \frac{m}{4 - m}$$

so ist das Parameterverhältniss derselben Fläche, bezogen auf das System X'Y'Z':

$$\frac{2mn + 2m + n}{mn + 2n - 2m} : 1 : \frac{2mn + 2m + n}{2mn - 2n - m}$$

Ist endlich

$$n = \frac{m}{4 - m}$$

so ist das Parameterverhältniss derselben Fläche, bezogen auf das System X'Y'Z':

$$\frac{3}{m - 2} : 1 : \frac{3}{m - 2}$$

Diesem Verhältniss entspricht eine Ikositetraëderfläche.

Dritter Fall. Die Indices einer Hexakisoktaëderfläche im System XYZ seien $1 \frac{\bar{1}}{n} \frac{1}{m}$

Mit Hilfe der Gl. 5 findet man Folgendes. Ist

$$n < \frac{4m}{m+1}$$

so ist das Parameterverhältniss derselben Fläche, bezogen auf das System X'Y'Z':

$$\frac{2mn + m + 2n}{2mn - 2m - n} : 1 : \frac{2mn + m + 2n}{mn + 2m - 2n}$$

Ist

$$n > \frac{4m}{m+1}$$

so ist das Verhältniss der Parameter:

$$\frac{2mn + m + 2n}{mn + 2m - 2n} : 1 : \frac{2mn + m + 2n}{2mn - 2m - n}$$

Ist

$$n = \frac{4m}{m+1}$$

so ist das Parameterverhältniss:

$$\frac{3(m+1)}{2(m-1)} : 1 : \frac{3(m+1)}{2(m-1)}$$

Diesem Verhältniss entspricht eine Ikositetraëderfläche.

Vierter Fall. Die Indices einer Hexakisoktaëderfläche im System XYZ seien $1 \frac{\bar{1}}{n} \frac{\bar{1}}{m}$

Ist

$$n < \frac{m}{m-4} \text{ (oder } mn + 2m + 2n > 2mn + m - 2n)$$

so ist das Parameterverhältniss derselben Fläche, bezogen auf das System X'Y'Z':

$$\frac{mn + 2m + 2n}{2mn + n - 2m} : 1 : \frac{mn + 2m + 2n}{2mn + m - 2n}$$

Ist

$$n = \frac{m}{m - 4}$$

so ist das Parameterverhältniss:

$$\frac{m - 2}{3} : 1 : 1$$

Diesem Verhältniss entspricht eine Fläche des Triakisoktaëders.

Ist

$$n > \frac{m}{m - 4}$$

so ist das Parameterverhältniss:

$$\frac{2mn + m - 2n}{2mn + n - 2m} : 1 : \frac{2mn + m - 2n}{mn + 2m + 2n}$$

§. 26.

Parallelfächen von mOm .

Um die Parameter oder Indices einer Ikositetraëderfläche, bezogen auf die Axen XYZ, zu erhalten, deren homologe Fläche in demselben Axensystem die Indices

$$1) \ m \ 1 \ 1 \quad 2) \ \bar{m} \ 1 \ 1 \quad 3) \ m \ \bar{1} \ 1$$

hat, setzen wir in den Formeln des vorhergehenden Paragraphen $n = m$.

Erster Fall. $m \ 1 \ 1$.

Dem Zeichen (hll) entspricht das Naumann'sche Zeichen $\frac{h}{1} \ 0 \ \frac{h}{1}$. Sind die Indices einer Ikositetraëderfläche, bezogen auf das Axensystem XYZ, $m \ 1 \ 1$, so sind die Indices derselben Fläche, bezogen auf $X'Y'Z'$:

$$2m + 1 \quad 2m + 1 \quad 4 - m$$

Diese Indices entsprechen einer Fläche des Triakisoktaëders

$$\frac{2m + 1}{4 - m} \ 0$$

wenn $m < 4$.

Sie entsprechen einer Fläche des Rhombendodekaëders ∞O ,
wenn $m = 4$ und entsprechen einer Fläche des Triakisoktaëders

$$\frac{2m+1}{m-4} O$$

wenn $m > 4$ ist.

Zweiter Fall ($\bar{m} \ 1 \ 1$). Parameter $-1, m, m$.

Die Flächen, welche das vorstehende Parameterverhältniss
in dem einen System haben, haben im anderen Systeme das
Parameterverhältniss:

$$1 : 1 : \frac{m+4}{2m-1}$$

wenn $m+4 > 2m-1$ oder $m < 5$ (Ikositetraëder),
1 : 1 : 1, wenn $m = 5$ (Oktaëder),

$$\frac{2m-1}{m+4} : 1 : 1$$

wenn $m > 5$ (Triakisoktaëder).

Dritter Fall ($m \ 1 \ 1$). Parameter $1, -m, m$.

Die Flächen, welche das vorstehende Parameterverhältniss
in dem einen System haben, haben im anderen Systeme das
Parameterverhältniss:

$$\frac{2m+3}{2m-3} : 1 : \frac{2m+3}{m}$$

3 (Hexakisoktaëder),

wenn $m = 3$ (Ikositetraëder),

$$\frac{2m+3}{m} : 1 : \frac{2m+3}{2m-3}$$

wenn $m > 3$ (Hexakisoktaëder).

§. 27.

Parallellflächen von mO .

Um die Indices einer Fläche des Triakisoktaëders in Bezug
auf das zweite Axensystem $X'Y'Z'$ zu erhalten, setzen wir in

den Formeln des §. 25 $n = 1$. Auch hier sind 3 Fälle zu unterscheiden.

Erster Fall ($m \ m \ 1$). Parameter 1, 1, m .

Die Flächen des Triakisoktaëders, welche das Parameterverhältniss $m : 1 : 1$ im System XYZ haben, haben im System $X'Y'Z'$ das Parameterverhältniss:

$$\frac{4m - 1}{m + 2} : 1 : \frac{4m - 1}{m + 2} \text{ (Ikositetraëder).}$$

Zweiter Fall ($m \ m \ \bar{1}$). Parameter 1, 1, $-m$.

Die Flächen, welche im System XYZ das Parameterverhältniss $-m : 1 : 1$ haben, haben im System $X'Y'Z'$ das Parameterverhältniss:

$$\frac{4m + 1}{2 - m} : 1 : \frac{4m + 1}{2 - m}$$

wenn $m < 2$ (Ikositetraëder),

$\infty : 1 : \infty$, wenn $m = 2$ (Hexaëder),

$$\frac{4m + 1}{m - 2} : 1 : \frac{4m + 1}{m - 2} \text{ wenn } m > 2.$$

Dritter Fall ($m \ \bar{m} \ \bar{1}$). Parameter 1, -1 , $-m$.

Die Flächen, welche das Parameterverhältniss $-m : 1 : -1$ im Systeme XYZ haben, haben im Systeme $X'Y'Z'$ das Parameterverhältniss:

$$3m + 2 : 1 : \frac{3m + 2}{3m - 2} \text{ (Hexakisoktaëder).}$$

§. 28.

Paralleelflächen von $\infty \ 0 \ n$.

In den Formeln des §. 25 setzen wir $m = \infty$ und unterscheiden zwei Fälle.

Erster Fall ($n \neq 0$). Parameter 1, n , ∞ .

Die Flächen, welche im System XYZ das Parameterverhältniss $\infty : 1 : n$ haben, haben im System $X'Y'Z'$ das Parameterverhältniss

$$\frac{2(n+1)}{2-n} : 1 : \frac{2(n+1)}{2n-1}$$

wenn $n < 2$ (Hexakisoktaëder),

$$\infty : 1 : 2$$

wenn $n = 2$ (Tetrakisoktaëder),

$$\frac{2(n+1)}{n-2} : 1 : \frac{2(n+1)}{2n-1}$$

wenn $n > 2$ (Hexakisoktaëder)

Zweiter Fall ($\bar{n} \neq 0$). Parameter -1 , n , ∞ .

Die Flächen, welche im System XYZ das Parameterverhältniss $\infty : 1 : -n$ haben, haben im System $X'Y'Z'$ das Parameterverhältniss

$$\frac{2n+1}{2(n-1)} : 1 : \frac{2n+1}{n+2}$$

wenn $n < 4$ (Hexakisoktaëder),

$$\frac{3}{2} : 1 : \frac{3}{2}$$

wenn $n = 4$ (Ikositetraëder),

$$\frac{2n+1}{n+2} : 1 : \frac{2n+1}{2(n-1)}$$

wenn $n > 4$ (Hexakisoktaëder).

§. 29.

Parallelfächen von $\infty 0$.

Erster Fall (1 0 1). Parameter 1, ∞ , 1.

Die Flächen, welche im System XYZ das Parameterverhältniss $\infty : 1 : 1$ haben, haben im System X'Y'Z' das Parameterverhältniss

4 : 1 : 4 (Ikositetraeder).

Zweiter Fall (1 0 $\bar{1}$). Parameter 1, ∞ , — 1.

Die Flächen, welche im System XYZ das Parameterverhältniss $\infty : 1 : -1$ haben, haben im System X'Y'Z' das Parameterverhältniss

$\infty : 1 : 1$ (Rhombendodekaeder).

§. 30.

Parallelfächen von 0.

Den Flächen des Oktaeders in dem einen Individuum sind im anderen zwei Flächen von 0 und sechs Flächen von $\infty 0$ parallel.

§. 31.

Parallelfächen von $\infty 0 \infty$.

Den Flächen des Hexaeders in dem einen Individuum sind sechs Flächen von $\infty 0$ in dem anderen Individuum parallel.

§. 32.

Bestimmung der Zwillingfläche.

Erstes Beispiel (Spinell, Magneteisen).

Erstes Verfahren. Eine am Spinell und Magneteisen häufig auftretende Zwillingbildung ist in Fig. 75 im Durch-

schnitt, in Fig. 75a in parallelperspectivischer Ansicht dargestellt. Der Winkel der beiden Flächen oo in Fig. 75a (eg in Fig. 75) ist $109^{\circ}28'16''$. Bei der Berechnung des Oktaëders haben wir den Winkel zweier Oktaëderflächen gleich $109^{\circ}28'16''$ gefunden. Die Flächen oo in Fig. 75a, eg in Fig. 75 sind

Fig. 75.

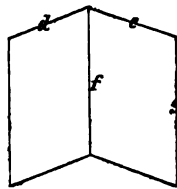
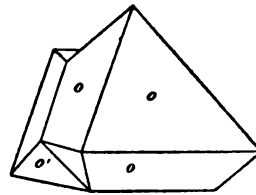


Fig. 75a.



mithin Oktaëderflächen. Die drei Flächen dfe in Fig. 75 sind tautozonal, denn sie schneiden sich in einer auf der Papierebene senkrechten Linie. Kann bewiesen werden, dass f parallel der Oktaëderfläche g ist, so ist die Zwillingsfläche f eine Oktaëderfläche. Im §. 24, S. 226 ist gezeigt worden, dass die Zwillingsfläche f den Winkel der beiden Flächen d und e halbt. Dieser Winkel de ist gleich $141^{\circ}3'28''$; der halbe Winkel fe ist gleich $70^{\circ}31'44''$ und da dieser Winkel den Winkel eg zu 180° ergänzt, so ist f parallel g. Mithin ist die Zwillingsfläche eine Oktaëderfläche, was auch der blosse Anblick lehrt.

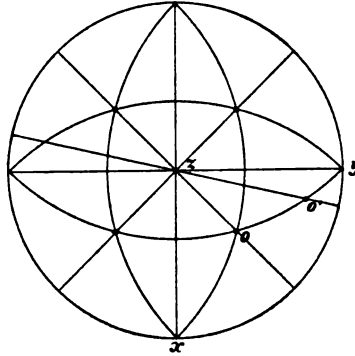
Zweites Verfahren. Die Zwillingsfläche liegt in zwei Zonen, ergibt sich mithin als Durchschnitt derselben. Die erste Zone wird gebildet von den Flächen, deren Indices $\bar{1}11$ und $\frac{1}{m} \frac{\bar{1}}{m} 1$, die zweite Zone von den Flächen, deren Indices 111 und $\frac{1}{m} 1 \frac{1}{m}$ sind. Mit Hilfe der Zonengleichung findet man für die Indices von f die Werthe $1\bar{1}1$. f ist mithin eine Oktaëderfläche.

Drittes Verfahren. Die Oktaëderfläche, welche im System XYZ die Indices $11\bar{1}$ hat, erhält nach ihrer Drehung um die Zwillingsaxe durch 60° die Indices $\frac{1}{m} 1 \frac{1}{m}$ oder $1m1$



bezogen auf dasselbe System XYZ. (Es ist das genau dasselbe, als wenn man sagt: Die Fläche, die im System XYZ die Indices $11\bar{1}$ hat, hat im System $X'Y'Z'$ die Indices $1m1$.)

Fig. 76.



In Fig. 76 sei o' die Fläche, deren Indices $1m1$, und o die Oktaëderfläche, deren Indices 111 sind. Die Gleichung von o' ist:

$$\cos o'x = \frac{1}{m} \cos o'y = \cos o'z$$

Daraus

$$m = \frac{\cos o'y}{\cos o'z} = \frac{\cos o'y}{\sin o'y \cos 45} = \frac{\text{ctg } o'y}{\cos 45}$$

Da $o'y = oy - oo = 15^\circ 47'$ ist, so folgt

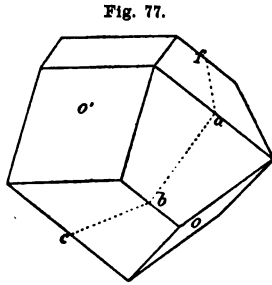
$$m = 5$$

Oben wurde gezeigt, dass, wenn zwei Oktaëder mit einer Oktaëderfläche als Zwillingsfläche verwachsen sind, eine Fläche des zweiten Oktaëders nach der Drehung die Indices 151 oder das Parameterverhältniss $5:1:5$ erhält. In unserem Falle hat eine Oktaëderfläche $11\bar{1}$ nach der Drehung die Indices 151 erhalten, folglich ist die Zwillingsfläche die Oktaëderfläche.

Zu demselben Resultate gelangt man auch ohne Zeichnung, wenn man die Gl. 5, S. 225 anwendet.

Zweites Beispiel (Zinkblende).

Die Fig. 77 repräsentirt eine an der Zinkblende häufig vorkommende Combination. Jeder Kantenwinkel ist 120° , daher liegt $\infty 0$ vor.



Die Fläche des Rhombendodekaeders, die im System XYZ die Indices $0\ 1\ \bar{1}$ hat, hat nach ihrer Drehung um 180° in Bezug auf dasselbe System die Indices $\bar{1}\ \frac{1}{m}\ \frac{\bar{1}}{m}$ oder $\bar{m}\ 1\ \bar{1}$ und bildet dann mit ihrer Nachbarfläche ($\bar{1}\ m\ \bar{1}$) einen Winkel von 120° . Setzt man in der Gl. 16, S. 26

$$\cos w = \frac{h h' + k k' + l l'}{\sqrt{h^2 + k^2 + l^2} \sqrt{h'^2 + k'^2 + l'^2}}$$

für hkl und $h'k'l'$ die Werthe $\bar{m}\ 1\ \bar{1}$ und $\bar{1}\ m\ \bar{1}$, so erhält man die Gleichung

$$\cos w = \frac{2m + 1}{m^2 + 2} \quad (w = 180 - 120 = 60)$$

Daraus folgt

$$\sqrt{2} \sin \frac{w}{2} = \frac{m - 1}{\sqrt{m^2 + 2}} = \frac{m}{\sqrt{m^2 + 2}} - \frac{1}{\sqrt{m^2 + 2}}$$

Setzt man

$$\cos \varphi = \frac{m}{\sqrt{m^2 + 2}}$$

so ist

$$m = \sqrt{2} \operatorname{ctg} \varphi$$

und

$$\sqrt{2} \sin \frac{w}{2} = \cos \varphi - \frac{\sin \varphi}{\sqrt{2}}$$

Setzt man

$$\operatorname{tg} \psi = \sqrt{2}$$

so ist

$$\sqrt{2} \sin \frac{w}{2} = \cos \varphi - \sin \varphi \cdot \operatorname{ctg} \psi = \frac{\sin (\psi - \varphi)}{\sin \psi}$$

Daraus

$$\sin(\psi - \varphi) = \sqrt{2} \sin \phi \sin \frac{w}{2}$$

Die Rechnung ergibt $\psi = 54^\circ 44'$, $\varphi = 19^\circ 28'$ und $m = 4$.

Die Fläche $01\bar{1}$ im System XYZ hat nach ihrer Drehung um 180° bezogen auf dasselbe System die Indices $\bar{4}1\bar{1}$. Dies sind die Indices einer Fläche des Ikositetraëders $4O_4$. Setzt man in den Gl. 5, S. 225 für efg die Werthe $01\bar{1}$, für $e'f'g'$ die Werthe $\bar{4}1\bar{1}$, so kann man die Indices hkl der Zwillingsfläche aus diesen Gl. 5 ermitteln. Man erhält zunächst die drei Gleichungen

$$\begin{aligned} 4 &= 2hl - 2hk \\ 1 &= k^2 - l^2 - h^2 - 2kl \\ 1 &= -k^2 + l^2 - h^2 - 2kl \end{aligned}$$

Aus den beiden letzten Gleichungen erhält man durch Subtraction:

$$2k^2 = 2l^2 \text{ oder } k^2 = l^2$$

woraus

$$k = \pm l$$

Von den beiden Werthen von k ist nur der zweite $k = -l$ zu verwerthen; denn setzt man den Werth $k = l$ in die erste Gleichung, so erhält man $4 = 0$, was nicht möglich ist. Für $k = -l$ geht die erste Gleichung über in

$$hl = 1$$

Durch Division der zwei ersten Gleichungen erhält man für $k = -l$ die Gleichung:

$$1 = \frac{1}{2 \frac{l}{h} - \frac{h}{l}}$$

Aus dieser Gleichung folgt

$$\frac{1}{h} = 1 \text{ und } \frac{1}{h} = -\frac{1}{2}$$

Der letzte Werth

$$\frac{1}{h} = -\frac{1}{2}$$

verbunden mit der Gl. $hl = 1$ liefert imaginäre Indices, ist daher nicht zu gebrauchen. Der Werth $\frac{1}{h} = 1$ liefert mit $hl = 1$ die Werthe $h = \pm 1$ und $l = \pm 1$. Die Indices der Zwillingfläche sind mithin

$$1\bar{1}1 \text{ oder } \bar{1}1\bar{1}$$

Diese Indices repräsentiren eine Oktaëderfläche. Die Zwillingfläche ist mithin eine Oktaëderfläche. Das lehrt hier wiederum schon der bloße Anblick, kann aber auch aus §. 29 erkannt werden.

Anwendung der im §. 24 vorgetragenen Theorien auf das tetragonale Krystallsystem.

Erstes Zwillingsgesetz: Zwillingfläche ist die Deutero-
pyramide $P\infty$ oder $(1\ 0\ 1)$.

§. 33.

Parallellflächen von mPn .

Die Indices einer Fläche der ditetragonalen Pyramide in Bezug auf XYZ seien

$$1) \ 1 \ \frac{1}{n} \ \frac{1}{m} \quad 2) \ \frac{1}{n} \ 1 \ \frac{1}{m} \quad 3) \ \frac{\bar{1}}{n} \ 1 \ \frac{1}{m} \quad 4) \ \bar{1} \ \frac{1}{n} \ \frac{1}{m}$$

Welche Werthe haben die Indices, bezogen auf dasselbe System XYZ, nachdem die Fläche um die Zwillingaxe durch 180° gedreht worden ist? Die gesuchten Indices seien $e'f'g'$.

Erster Fall $\left(1 \ \frac{1}{n} \ \frac{1}{m}\right)$. Parameter 1, n, mc.

In den Gl. 5, S. 225 setzen wir $a = b = 1$ und für efg die Werthe $1 \ \frac{1}{n} \ \frac{1}{m}$ und für hkl die Werthe 1 0 1.

Dadurch erhalten wir:

$$\begin{aligned} e' &= n [m (c^2 - 1) + 2] & f' &= -m (c^2 + 1) \\ g' &= n [c^2 (2m - 1) + 1] \end{aligned}$$

Der erste Index bezieht sich auf die X-Axe, der zweite auf die Y-Axe, der dritte auf die Z-Axe. In der Formel mPn ist m stets der Coefficient der Hauptaxe und kann ≥ 1 sein; n dagegen ist stets > 1 und bezieht sich auf eine Nebenaxe. Aus den Indices erhält man die Ableitungszahlen:

$$\frac{1}{e'} \frac{1}{f'} \frac{1}{g'}$$

Ist $f' > e'$, so ist $\frac{1}{f'} < \frac{1}{e'}$

Man multiplicire jeden Index mit f' . Die Fläche gehört folglich der Gestalt

$$\frac{f'}{g'} P \frac{f'}{e'} \text{ an.}$$

Ist $f' < e'$, so ist $\frac{1}{f'} > \frac{1}{e'}$

Man multiplicire jeden Index mit e' . Die Fläche gehört folglich der Gestalt

$$\frac{e'}{g'} P \frac{e'}{f'} \text{ an.}$$

Ist $f' = e'$, so gehört die Fläche der Gestalt

$$\frac{e'}{g'} P \text{ an.}$$

In unserem speciellen Falle ist mithin die Gestalt

$$\frac{m (c^2 + 1)}{n [c^2 (2m - 1) + 1]} P \frac{m (c^2 + 1)}{n [m (c^2 - 1) + 2]}$$

wenn

$$\frac{m (c^2 + 1)}{n [m (c^2 - 1) + 2]} > 1 \text{ ist,}$$

$$\frac{m (c^2 - 1) + 2}{c^2 (2m - 1) + 1} P \frac{n [m (c^2 - 1) + 2]}{m (c^2 + 1)}$$

wenn

$$\frac{m (c^2 + 1)}{n [m (c^2 - 1) + 2]} < 1 \text{ ist.}$$

Parameter $n, 1, m, c$.

für e, f, g zu setzen

$$\frac{1}{2} \frac{1}{n}$$

$$r = -mn(c^2 + 1)$$

$$1(1 - c^2)$$

Gestalt die Formel:

$$\frac{mn(c^2 + 1)}{2n + m(c^2 - 1)}$$

$$\frac{mn(c^2 - 1)}{2n - m(c^2 - 1)} > 1$$

$$\frac{2n + m(c^2 - 1)}{mn(c^2 + 1)}$$

$$\frac{mn(c^2 - 1)}{2n - m(c^2 - 1)} < 1 \text{ ist.}$$

Parameter $n, 1, m, c$.

für e, f, g die Werthe \bar{m}, m, n

$$r = -mn(c^2 + 1)$$

$$1(1 - c^2) - 2mc^2$$

Gestalt die Formel:

$$\frac{mn(c^2 + 1)}{2n - m(c^2 - 1)}$$

$$\frac{mn(c^2 + 1)}{2n - m(c^2 - 1)} > 1$$

$$\frac{m(c^2 - 1) - 2n}{mn(c^2 + 1)}$$

wenn

$$\frac{m n (c^2 + 1)}{2 n - m (c^2 - 1)} < 1 \text{ ist.}$$

Vierter Fall $\left(1 \frac{1}{n} \frac{1}{m}\right)$. Parameter $1, n, m$.

In den Gl. 5 setzen wir für $e f g$ die Werthe $\bar{m} n, m, n$ und erhalten:

$$\begin{aligned} e' &= m n (1 - c^2) + 2 n & f' &= - m (c^2 + 1) \\ g' &= n (1 - c^2) - 2 m n c^2 \end{aligned}$$

Daraus ergibt sich für die Gestalt die Formel:

$$\frac{m (c^2 + 1)}{n [c^2 (2 m + 1) - 1]} P \frac{m (c^2 + 1)}{n [m (c^2 - 1) - 2]}$$

wenn

$$\frac{m (c^2 + 1)}{n [m (c^2 - 1) - 2]} > 1$$

oder

$$\frac{m (c^2 - 1) - 2}{c^2 (2 m + 1) - 1} P \frac{n [m (c^2 - 1) - 2]}{m (c^2 + 1)}$$

wenn

$$\frac{m (c^2 + 1)}{n [m (c^2 - 1) - 2]} < 1$$

§. 34.

Parallelfächen von $m P$.

In den Formeln des vorhergehenden Paragraphen setzen wir $n = 1$ und haben dann nur zwei Fälle zu unterscheiden.

Erster Fall $\left(1 \ 1 \ \frac{1}{m}\right)$. Parameter $1, 1, m$.

Die Fläche, welche im System XYZ die Indices $1 \ 1 \ \frac{1}{m}$ hat, hat nach ihrer Drehung um 180° , bezogen auf dasselbe System, die Indices:

$$\begin{aligned} e' &= m (c^2 - 1) + 2 & f' &= - m (c^2 + 1) \\ g' &= c^2 (2 m - 1) + 1 \end{aligned}$$

Zu

ist

$$\frac{(c^2 + 1)}{(c^2 - 1) + 2}$$

$$\frac{1}{2} > 1$$

$$\frac{(c^2 - 1) + 2}{m(c^2 + 1)}$$

$$\frac{1}{2} < 1 \text{ ist.}$$

Parameter $1, 1, m c$.

$\frac{1}{m}$ sind nach der Drehung der

$$\frac{1}{2} = -m(c^2 + 1)$$

$$\frac{1}{2} = 2 m c^2$$

ergibt die Formel:

$$\frac{m(c^2 + 1)}{2 - m(c^2 - 1)}$$

$$\frac{1}{2} > 1$$

$$\frac{m(c^2 - 1) - 2}{m(c^2 + 1)}$$

$$\frac{1}{2} < 1 \text{ ist.}$$

$$\frac{1}{2} = 2$$

von $m P \infty$.

Wir setzen wir $n = \infty$ und unter-

Erster Fall $\left(1 \ 0 \ \frac{1}{m}\right)$. Parameter 1, ∞ , m c.

Die Fläche $1 \ 0 \ \frac{1}{m}$ hat nach ihrer Drehung um 180° die Indices

$$e' = m(c^2 - 1) + 2 \quad f' = 0 \quad g' = c^2(2m - 1) + 1$$

Daraus erhalten wir für die Gestalt die Formel:

$$\frac{m(c^2 - 1) + 2}{c^2(2m - 1) + 1} P \infty$$

Zweiter Fall $\left(0 \ 1 \ \frac{1}{m}\right)$. Parameter ∞ , 1, m c.

Nun ist

$$e' = 2 \quad f' = -m(c^2 + 1) \quad g' = 1 - c^2$$

Daraus ergibt sich für die Gestalt die Formel:

$$\frac{m(c^2 + 1)}{1 - c^2} P \frac{m(c^2 + 1)}{2}$$

wenn

$$\frac{m(c^2 + 1)}{2} > 1$$

oder

$$\frac{2}{1 - c^2} P \frac{2}{m(c^2 + 1)}$$

wenn

$$\frac{m(c^2 + 1)}{2} < 1 \text{ ist.}$$

Dritter Fall $\left(1 \ 0 \ \frac{1}{m}\right)$. Parameter -1 , ∞ , m c.

Nun ist

$$e' = m(1 - c^2) + 2 \quad f' = 0 \quad g' = 1 - c^2 - 2mc^2$$

Daraus folgt die Formel

$$\frac{m(c^2 - 1) - 2}{c^2(2m + 1) - 1} P \infty$$

§. 36.

Parallellflächen von ∞Pn .

In den Formeln des §. 33 setzen wir $m = \infty$ und unterscheiden zwei Fälle:

Erster Fall $\left(1 \frac{1}{n} 0\right)$. Parameter 1, n , ∞ .

Die Fläche $1 \frac{1}{n} 0$ hat nach ihrer Drehung um 180° die Indices

$$e' = n(c^2 - 1) \quad f' = -(c^2 + 1) \quad g' = 2nc^2$$

Daraus ergibt sich für die Gestalt die Formel:

$$\frac{c^2 + 1}{2nc^2} P \frac{c^2 + 1}{n(c^2 - 1)}$$

wenn

$$\frac{c^2 + 1}{n(c^2 - 1)} > 1$$

$$\frac{n(c^2 - 1)}{2nc^2} P \frac{n(c^2 - 1)}{c^2 + 1}$$

wenn

$$\frac{c^2 + 1}{n(c^2 - 1)} < 1 \text{ ist.}$$

Zweiter Fall $\left(\frac{1}{n} 1 0\right)$. Parameter n , 1, ∞ .

Nun ergibt sich

$$e' = c^2 - 1 \quad f' = -n(c^2 + 1) \quad g' = 2c^2$$

Daraus folgt für die Gestalt die Formel:

$$\frac{n(c^2 + 1)}{2c^2} P \frac{n(c^2 + 1)}{c^2 - 1}$$

§. 37.

Parallellflächen von ∞P .

Setzen wir in den Formeln des vorhergehenden Paragraphen $n = 1$, so erhalten wir das folgende Resultat.

Die Fläche 1 1 0 hat nach ihrer Drehung um 180° die Indices

$$e' = c^2 - 1 \quad f' = -(c^2 + 1) \quad g' = 2c^2$$

Daraus erhält man für die Gestalt die Formel:

$$\frac{c^2 + 1}{2c^2} P \frac{c^2 + 1}{c^2 - 1}$$

§. 38.

Parallelfächen von $\infty P \infty$.

In den Formeln des §. 36 setzen wir $n = \infty$ und erhalten das folgende Resultat.

Die Fläche 1 0 0 hat nach ihrer Drehung um 180° die Indices

$$e' = c^2 - 1 \quad f' = 0 \quad g' = 2c^2$$

Daraus ergibt sich für die Gestalt die Formel:

$$\frac{c^2 - 1}{2c^2} P \infty$$

Zweites Zwillingsgesetz: Die Zwillingsfläche ist eine Fläche der Grundpyramide P.

§. 39.

Parallelfächen von $m P n$.

Wir denken uns zwei ditetragonale Pyramiden nach diesem Gesetze verwachsen und fragen uns: Welche Werthe haben die Indices einer Pyramidenfläche nach ihrer Drehung um 180° , wenn sie vor der Drehung die Werthe

$$1) \ 1 \ \frac{1}{n} \ \frac{1}{m} \quad 2) \ 1 \ \frac{\bar{1}}{n} \ \frac{1}{m} \quad 3) \ \bar{1} \ \frac{1}{n} \ \frac{1}{m} \quad 4) \ \bar{1} \ \frac{\bar{1}}{n} \ \frac{1}{m}$$

hatten?

Erster Fall $\left(1 \frac{1}{n} \frac{1}{m}\right)$. Parameter 1, n, mc.

In den Formeln 5, S. 225 setzen wir für efg die Werthe mn, m, n und erhalten für die gesuchten Indices die Werthe:

$$\begin{aligned} e' &= 2mc^2 - mn + 2n & f' &= 2mnc^2 - m + 2n \\ g' &= 2mc^2(n + 1) - n(2c^2 - 1) \end{aligned}$$

Daraus findet man leicht, wie im vorhergehenden Paragraphen gezeigt wurde, für die Gestalten die Formeln.

Zweiter Fall $\left(1 \frac{\bar{1}}{n} \frac{1}{m}\right)$. Parameter 1, $-n$, mc.

Man findet für $e'f'g'$ die Werthe:

$$\begin{aligned} e' &= -mn - 2mc^2 + 2n & f' &= 2mnc^2 + m + 2n \\ g' &= 2mc^2(n - 1) + n(1 - 2c^2) \end{aligned}$$

Dritter Fall $\left(\bar{1} \frac{1}{n} \frac{1}{m}\right)$. Parameter -1 , n, mc.

$$\begin{aligned} e' &= mn + 2mc^2 + 2n & f' &= -2mnc^2 - m + 2n \\ g' &= -2mc^2(n - 1) + n(1 - 2c^2) \end{aligned}$$

Vierter Fall $\left(\bar{1} \frac{\bar{1}}{n} \frac{1}{m}\right)$. Parameter -1 , $-n$, mc.

$$\begin{aligned} e' &= mn - 2mc^2 + 2n & f' &= m - 2mnc^2 + 2n \\ g' &= -2mc^2(1 + n) + n(1 - 2c^2) \end{aligned}$$

Wir unterlassen es hier zu specialisiren, weil es genau so geschieht, wie in den vorhergehenden Paragraphen gezeigt wurde.

Drittes Zwillingsgesetz: Die Zwillingsfläche ist eine Fläche des Prismas $\propto P$.

Dieses Gesetz ist ohne allen Einfluss auf die holoëdrischen Gestalten, für die hemiëdrischen Gestalten hat es eine Reproduction der holoëdrischen Muttergestalten zur Folge. Die Theorie hat mithin keine Aufgabe zu lösen.

§. 40.

Bestimmung der Zwillingsfläche (Zinnstein).

Erstes Verfahren. Die Fig. 78 repräsentirt eine parallelperspektivische Projection eines Zwillings, der am Zinnerz häufig vorkommt.

Fig. 78.

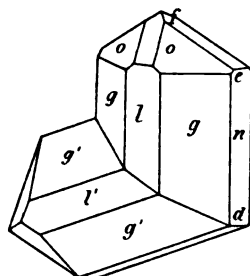
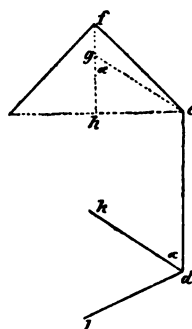


Fig. 79.



Die Fig. 79 ist ein Durchschnitt durch fed . In Fig. 79 repräsentirt dk die Zwillingsfläche. Die Flächen ed , dk und dl (Fig. 79) sind tautozonal; denn sie schneiden sich in einer Geraden. Wir wissen aber, dass die Zwillingsfläche dk den Winkel der beiden Flächen ld und de halbt. Dieser Winkel lde ist gleich $112^\circ 7'$. Wenn gezeigt werden kann, dass die Linie dk der Linie fe parallel ist, dann muss die Zwillingsfläche die DeuteroPyramide $P \infty$ sein. Ist dk nicht parallel ef , so ist die Zwillingsfläche eine DeuteroPyramide $mP \infty$, und m ist noch zu ermitteln. Ziehen wir die Hilfslinie ge parallel dk , so folgt aus dem ebenen rechtwinkligen Dreieck geh :

$$\text{ctg } \alpha = \frac{gh}{he} = \frac{mc}{1}$$

denn die Pyramide o in Fig. 78 wird zur Grundpyramide gewählt. Nun ist $c = 0,6721$ (S. 100) und $\alpha = 56^\circ 3' 30''$. Mithin ist

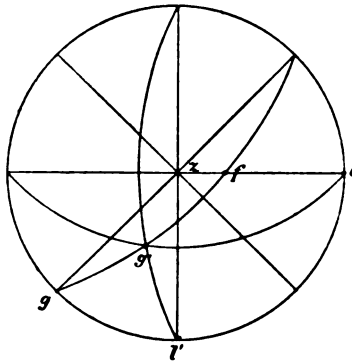
$$m = 1$$

Es fällt folglich der Punkt g in Fig. 79 mit f zusammen; die Linie dk ist parallel ef und die Zwillingsfläche ist die DeuteroPyramide $P \infty$.

Zweites Verfahren. Die Zwillingsfläche soll aus den beiden Winkeln $g'l'$ und $g'g$ ermittelt werden. Die Fläche g' hat die Indices (s. Fig. 80) $1 \frac{1}{n} \frac{1}{m}$. Die Gleichung der Fläche g' ist daher

$$\cos g'l' = -n \cos g'l = mc \cos g'z$$

Fig. 80.



Um $g'z$, $g'l$ zu finden, berechne man zunächst das sphärische Dreieck $gg'l'$, in welchem

$$gl' = g'l' = 45^\circ \text{ und } g'g = 46^\circ 28'$$

ist. Die Rechnung ergibt

$$g'l'g = 67^\circ 49' \text{ und } l'gg' = 64^\circ 34'$$

mithin

$$g'l'z = 22^\circ 11' \text{ und } g'gz = 25^\circ 26'$$

Nun ist

$$n = -\frac{\cos g'l'}{\cos g'l} = \frac{\cos g'l'}{\sin g'l' \sin g'l'z} = \frac{\text{ctg } g'l'}{\sin g'l'z} = 2,649$$

$$m = \frac{\cos g'l'}{c \sin g'l' \cos g'l'z} = \frac{\text{ctg } g'l'}{c \cos g'l'z} = 1,607$$

Die Flächen g , g' und die Zwillingsfläche f (Fig. 80) sind tautozonal. Die Indices der Zwillingsfläche f seien $0 \ 1 \ \frac{1}{m'}$. Vermöge der Zonengleichung ergibt sich

$$m' = \frac{m(n-1)}{n}$$

Setzt man $m = 1,607$ und $n = 2,649$, so erhält man

$$m' = 1$$

Die Zwillingsfläche hat die Indices $0\ 1\ 1$, folglich ist sie die Deuteropyramide $P\infty$.

f ergibt sich auch aus dem Schnitt der beiden Zonen gg' und zl .

Drittes Verfahren. Die Zwillingsfläche soll aus denselben Winkeln $g'g$ und $g'l'$ in anderer Weise ermittelt werden.

Man bestimme die Indices von g' wie vorher. Dreht man das untere Individuum um 180° , so kommt g' in die Lage, in welcher es die Indices $\bar{1}\ 1\ 0$ hat (g gegenüber). Setzt man in den Gl. 5, S. 225 für efg die Werthe $\bar{1}\ 1\ 0$, für $e'f'g'$ die Werthe $1\ \frac{\bar{1}}{2,649}\ \frac{1}{1,607}$ und $a = b = 1$, so kann man die Indices hkl der Zwillingsfläche berechnen. Man erhält zunächst die drei Gleichungen:

$$\begin{aligned} mn &= -c^2h^2 + l^2 + c^2k^2 + 2hkc^2 \\ -m &= -c^2h^2 - l^2 + c^2k^2 - 2hkc^2 \\ n &= 2c^2l(k - h) \end{aligned}$$

Addirt man die beiden ersten und dividirt die Summe durch die dritte Gleichung, so erhält man

$$\frac{m(n-1)}{n} = \frac{k}{1} + \frac{h}{1}$$

Der Anblick der Figur lehrt, dass die Indices der Zwillingsfläche die Werthe $0\ 1\ \frac{1}{m'}$ haben. Setzt man $h = 0$, $k = 1$

und $l = \frac{1}{m'}$, so ergibt sich $m' = \frac{m(n-1)}{n} = 1$ wie vorher.

Bestätigt wird diese Untersuchung durch die Resultate des §. 37. Dort wurden zwei Prismenflächen mit der Deuteropyramide $P\infty$ als Zwillingsfläche verwachsen gedacht und es wurde gezeigt, dass die Fläche des Prismas ∞P , wenn sie durch 180° um die Zwillingsaxe gedreht wird, zu der Pyramide

$$\frac{c^2 + 1}{2c^2} P \frac{c^2 + 1}{c^2 - 1} = 1,607 P 2,649 \text{ wird.}$$

Anwendung der vorgetragenen Theorie auf das hexagonale Krystallsystem.

§. 41.

Zwillinge in den holoëdrischen Krystallreihen gehören zu den Seltenheiten; in den hemiëdrischen und tetartoëdrischen Krystallreihen kommen sie aber häufig vor. Zwillinge mit parallelen und nicht parallelen Axen kommen auch hier vor. Die ersteren sind gewöhnlich so verwachsen, als ob die Natur die holoëdrische oder hemiëdrische Stammform reproduciren wollte. Solche Zwillinge bedürfen nicht der mathematischen Behandlung.

Hier beschäftigen wir uns allein mit den Zwillingen, deren Axen nicht parallel sind.

Die Gl. 5, S. 225 gelten auch für dieses System, dem wir, wie in §. 14, S. 112 gezeigt worden ist, rechtwinklige Axen unterlegten, deren Grössenverhältnisse $1 : \sqrt{3} : c$ sind.

In den Gl. 5, S. 225 haben wir daher zu setzen

$$a = 1 \qquad b = \sqrt{3} \qquad c = c$$

und erhalten:

$$1) \begin{cases} e' = e (3h^2c^2 - 3l^2 - k^2c^2) + 2h (3lg + kfc^2) \\ f' = f (k^2c^2 - 3l^2 - 3c^2h^2) + 6k (lg + hec^2) \\ g' = g (3l^2 - 3c^2h^2 - k^2c^2) + 2c^2l (3he + kf) \end{cases}$$

§. 42.

Erstes Zwillingsgesetz: Die Zwillingungsfläche ist eine Fläche der Pyramide $m'P$.

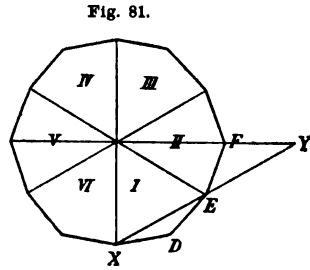
Die Indices einer Pyramidenfläche von $m'P$ seien $1 \ 1 \ \frac{1}{m'}$ oder $m' \ m' \ 1$ (Parameter $1, \sqrt{3}, m'c$). Setzen wir in die vorstehenden Gl. 1 für hkl die Werthe $m' \ m' \ 1$, so erhalten wir:

$$2) \begin{cases} e' = e (2m'^2c^2 - 3) + 2m' (3g + c^2m'f) \\ f' = -f (2m'^2c^2 + 3) + 6m' (g + c^2em') \\ g' = g (3 - 4m'^2c^2) + 2c^2m' (3e + f) \end{cases}$$

§. 43.

Parallelf lächen von mPn .

Wir denken uns zwei dihexagonale Pyramiden oder zwei hexagonale Skalenoëder nach diesem Zwillingsgesetze verwachsen und gruppiren zunächst die Indices der Flächen XD, DE, EF u. s. w. nach den abwechselnden Sextanten. Vorher mag noch bemerkt werden, dass, wenn O in Fig. 81 der Schnittpunkt der Axen ist, $OX = 1$, $OY = \sqrt{3}$ und OZ (nicht sichtbar) gleich c ist, dass ferner die Indices der Fläche XD



$$1 \frac{2-n}{n} \frac{1}{m} \text{ oder } mn, m(2-n), n$$

die der Fläche DE

$$\frac{1}{n} \frac{2n-1}{n} \frac{1}{m} \text{ oder } m, m(2n-1), n$$

und die der Fläche EF

$$\frac{n-1}{n} \frac{n+1}{n} \frac{1}{m} \text{ oder } m(n-1), m(n+1), n \text{ sind.}$$

$$\begin{array}{ll} \text{I} \left\{ \begin{array}{l} mn, m(2-n), n \\ m, m(2n-1), n \end{array} \right. & \text{II} \left\{ \begin{array}{l} -m(n-1), m(n+1), n \\ m(n-1), m(n+1), n \end{array} \right. \\ \text{III} \left\{ \begin{array}{l} -mn, m(2-n), n \\ -m, m(2n-1), n \end{array} \right. & \text{IV} \left\{ \begin{array}{l} -mn, -m(2-n), n \\ -m, -m(2n-1), n \end{array} \right. \\ \text{V} \left\{ \begin{array}{l} -m(n-1), -m(n+1), n \\ m(n-1), -m(n+1), n \end{array} \right. & \text{VI} \left\{ \begin{array}{l} mn, -m(2-n), n \\ m, -m(2n-1), n \end{array} \right. \end{array}$$

Die in den Sextanten I, III und V liegenden Flächen repräsentiren zugleich die obere Hälfte des positiven Skalenoëders; die in den Sextanten IV, VI und II liegenden Flächen die obere Hälfte des negativen Skalenoëders — $\frac{mPn}{2}$

Erster Fall. Indices $mn, m(2-n), n$.

Parameter $1, \frac{n\sqrt{3}}{2-n}, mc$.

Welche Werthe haben die Indices der Fläche $mn, m(2-n), n$, nachdem diese Fläche durch 180° um die Zwillingsaxe gedreht worden ist? — Wir setzen in den Gl. 2, S. 252 für efg die Werthe $mn, m(2-n), n$ und erhalten für die gesuchten Indices $e'f'g'$ folgende Werthe:

$$e' = 4m'^2 mc^2 + 3n(2m' - m)$$

$$f' = 4m'^2 mc^2 (2n - 1) + 3(2m'n + mn - 2m) \\ = 4m'^2 mnc^2 + 3(2m'n - m) + m(n - 1)(4m'^2 c^2 + 3)$$

$$g' = 4m'mc^2 (n + 1) - n(4m'^2 c^2 - 3)$$

Zweiter Fall. Indices $m, m(2n-1), n$.

Parameter $n, \frac{n\sqrt{3}}{2n-1}, mc$.

In den Gl. 2, S. 252 setzen wir für efg die Werthe $m, m(2n-1), n$ und erhalten:

$$e' = 4m'^2 mnc^2 + 3(2m'n - m)$$

$$f' = 4m'^2 mc^2 (2 - n) + 3(2m'n - 2mn + m)$$

$$g' = 4m'mc^2 (n + 1) - 4m'^2 nc^2 + 3n$$

Dritter Fall. Indices $m(n-1), m(n+1), n$.

Parameter $\frac{n}{n-1}, \frac{n\sqrt{3}}{n+1}, mc$.

In den Gl. 2, S. 252 setzen wir für efg die Werthe $m(n-1), m(n+1), n$ und erhalten:

$$e' = 4m'^2 mnc^2 + 3(2m'n - mn + m)$$

$$f' = -4m'^2 mc^2 (2 - n) + 3(2m'n - mn - m)$$

$$g' = +4m'mc^2 (2n - 1) - 4m'^2 nc^2 + 3n$$

Vierter Fall. Indices — $m n$, $m (2 - n)$, n .

Parameter — $1, \frac{n \sqrt{3}}{2 - n}, m c$.

Setzt man in den Gl. 2, S. 252 für efg die vorstehenden Indices, so erhält man:

$$\begin{aligned} e' &= -4 m'^2 m c^2 (n - 1) + 3 n (2 m' + m) \\ f' &= -4 m'^2 m c^2 (n + 1) + 3 (2 m' n + m n - 2 m) \\ g' &= -4 m' m c^2 (2 n - 1) + 3 n - 4 m'^2 n c^2 \end{aligned}$$

Fünfter Fall. Indices — m , $m (2 n - 1)$, n .

Parameter — $n, \frac{n \sqrt{3}}{2 n - 1}, m c$.

Setzt man in den Gl. 2, S. 252 für efg die vorstehenden Indices, so erhält man:

$$\begin{aligned} e' &= 4 m'^2 m c^2 (n - 1) + 3 (2 m' n + m) \\ f' &= -4 m'^2 m c^2 (n + 1) + 3 (2 m' n - 2 m n + m) \\ g' &= -4 m' m c^2 (-n + 2) - 4 m'^2 n c^2 + 3 n \end{aligned}$$

Sechster Fall. Indices — $m (n - 1)$, $m (n + 1)$, n .

Parameter — $\frac{-n}{n - 1}, \frac{n \sqrt{3}}{n + 1}, m c$.

Setzt man in den Gl. 2, S. 252 für efg die vorstehenden Indices, so erhält man:

$$\begin{aligned} e' &= 4 m'^2 m c^2 + 3 (m n - m + 2 m' n) \\ f' &= -4 m'^2 m c^2 (2 n - 1) + 3 (2 m' n - m n - m) \\ g' &= +4 m' m c^2 (2 - n) - 4 m'^2 n c^2 + 3 n \end{aligned}$$

Siebenter Fall. Indices $m n$, — $m (2 - n)$, n .

Parameter $1, -\frac{n \sqrt{3}}{2 - n}, m c$.

Setzt man für efg in den Gl. 2, S. 252 die vorstehenden Indices, so erhält man:

$$\begin{aligned} e' &= 4 m'^2 m c^2 (n - 1) + 3 n (2 m' - m) \\ f' &= 4 m'^2 m c^2 (n + 1) + 3 (2 m' n + 2 m - m n) \\ g' &= 4 m' m c^2 (2 n - 1) - 4 m'^2 n c^2 + 3 n \end{aligned}$$

Achter Fall. Indices $m, -m(2n-1), n$.

$$\text{Parameter } n, -\frac{n\sqrt{3}}{2n-1}, mc.$$

Setzt man für efg in den Gl. 2, S. 252 die vorstehenden Indices, so erhält man:

$$\begin{aligned} e' &= -4m'^2mc^2(n-1) + 3(2m'n - m) \\ f' &= 4m'^2mc^2(n+1) + 3(2m'n + 2mn - m) \\ g' &= -4m'mc^2(n-2) - 4m'^2nc^2 + 3n \end{aligned}$$

Neunter Fall. Indices $m(n-1), -m(n+1), n$.

$$\text{Parameter } \frac{n}{n-1}, \frac{-n\sqrt{3}}{n+1}, mc.$$

Setzt man in den Gl. 2, S. 252 für efg die vorstehenden Indices, so erhält man:

$$\begin{aligned} e' &= -4m'^2mc^2 + 3(2m'n - mn + m) \\ f' &= 4m'^2mc^2(2n-1) + 3(2m'n + mn + m) \\ g' &= 4m'mc^2(n-2) - 4m'^2nc^2 + 3n \end{aligned}$$

Zehnter Fall. Indices $-mn, -m(2-n), n$.

$$\text{Parameter } -1, \frac{-n\sqrt{3}}{2-n}, mc.$$

Setzt man in den Gl. 2, S. 252 für efg die vorstehenden Indices, so erhält man:

$$\begin{aligned} e' &= -4m'^2mc^2 + 3(2m'n + mn) \\ f' &= -4m'^2mc^2(2n-1) + 3(2m'n + 2m - mn) \\ g' &= -4m'mc^2(n+1) - 4m'^2nc^2 + 3n \end{aligned}$$

Elfter Fall. Indices $-m, -m(2n-1), n$.

$$\text{Parameter } -n, -\frac{n\sqrt{3}}{2n-1}, mc.$$

Setzt man in den Gl. 2, S. 252 für efg die vorstehenden Indices, so erhält man:

$$\begin{aligned} e' &= -4m'^2mnc^2 + 3(2m'n + m) \\ f' &= -4m'^2mc^2(2-n) + 3(2m'n + 2mn - m) \\ g' &= -4m'mc^2(n+1) - 4m'^2nc^2 + 3n \end{aligned}$$

Zwölfter Fall. Indices $-m(n-1)$, $-m(n+1)$, n .

$$\text{Parameter } \frac{-n}{n-1}, -\frac{n\sqrt{3}}{n+1}, mc.$$

Setzt man in den Gl. 2, S. 252 für efg die vorstehenden Indices, so erhält man:

$$e' = -4m'^2 m n c^2 + 3(2m'n + mn - m)$$

$$f' = 4m'^2 m c^2 (2 - n) + 3(2m'n + mn + m)$$

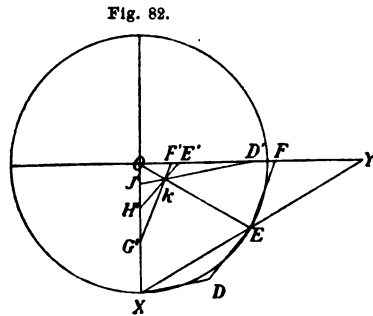
$$g' = -4m' m c^2 (2n - 1) - 4m'^2 n c^2 + 3n$$

§. 44.

Discussion der Resultate des vorhergehenden Paragraphen.

In der Fig. 82 sollen die Linien XD, DE und EF drei Flächen irgend einer dihexagonalen Pyramide mPn repräsentiren. Es fragt sich: Wie kann man aus den Indices $e'f'g'$, die sich auf das angenommene dreizählige Axensystem XYZ beziehen, die Indices für das gewöhnliche vierzählige Axensystem finden?

Der Anblick der Fig. 81 lehrt sofort, dass, abgesehen von dem Vorzeichen, alle Flächen der dihexagonalen Pyramiden mPn in Bezug auf XYZ entweder die Indices von XD oder von DE oder von EF haben müssen. Dreht man das eine Individuum um die Zwillingsaxe durch 180° , so müssen die Flächen desselben nach der Drehung in Bezug auf dasselbe Axensystem XYZ Indices haben, die in ihrer Form, abgesehen vom Vorzeichen, entweder mit denen von XD oder von DE oder von EF übereinstimmen.



Die Indices von XD sind: $1, \frac{2-n}{n}, \frac{1}{m}$

Die Ableitungszahlen sind: $1, \frac{n}{2-n}, m$

Die Indices von DE sind: $\frac{1}{n}, \frac{2n-1}{n}, \frac{1}{m}$

Die Ableitungszahlen sind: $n, \frac{n}{2n-1}, m$

Die Indices von EF sind: $\frac{n-1}{n}, \frac{n+1}{n}, \frac{1}{m}$

Die Ableitungszahlen sind: $\frac{n}{n-1}, \frac{n}{n+1}, m$

Nach ihrer Drehung um die Zwillingsaxe kann daher eine Fläche entweder die Lage J'D' parallel XD oder H'E' parallel DE oder G'F' parallel EF haben; in jedem anderen Sextanten hat sie eine analoge Lage. Wir verschieben die Flächen J'D', H'E' und G'F' parallel mit sich selbst so, dass sie die Lage XD, DE und EF annehmen. In dieser Lage sind ihre Indices eben allgemein angegeben worden. Um die Indices für die letztere Lage zu erhalten, müssen wir jeden der drei Indices e' f' g' des vorhergehenden Paragraphen mit einer noch zu suchenden Zahl (Verschiebungsfaktor) multipliciren.

Wir denken uns die Linie XD verlängert, bis sie die Linie OY in dem (nicht gezeichneten) Punkte D'', die Linie DE verlängert, bis sie die Linie OY in E'' (nicht gezeichnet) und die Linie OX in D''', die Linie EF verlängert, bis sie OX in E''' schneidet. Wir erhalten dann die ähnlichen Dreiecke $OJ'D' \sim OXD''$, $OH'E' \sim OD'''E''$ und $OG'F' \sim OE'''F$, aus denen folgt:

$$1) \frac{OJ'}{OD'} = \frac{OX}{OD''} = \frac{2-n}{n} < 1, \text{ weil } n > \frac{1}{2} \text{ sein muss,}$$

$$2) \frac{OH'}{OE'} = \frac{OD'''}{OE''} = 2n-1 > \frac{1}{3}, \text{ weil } n > \frac{1}{2} \text{ sein muss,}$$

$$3) \frac{OG'}{OF'} = \frac{OE'''}{OF} = \frac{n+1}{n-1} > 3, \text{ weil } n > \frac{1}{2} \text{ sein muss.}$$

Die Verhältnisse auf der linken Seite der vorstehenden Gleichungen sind nichts anderes als die Verhältnisse der Ableitungszahlen oder die Quotienten $\frac{f'}{e'}$, die man aus den Gleichungen des vorhergehenden Paragraphen zu entnehmen hat.

4) Ist $\frac{f'}{e'} < 1$, so ist $\frac{f'}{e'} = \frac{2 - n}{n}$

5) Ist $\frac{f'}{e'} > 1$, so ist $\frac{f'}{e'} = 2n - 1$

6) Ist $\frac{f'}{e'} > 3$, so ist $\frac{f'}{e'} = \frac{n + 1}{n - 1}$

7) Ist $f' = e'$, so muss vermöge Gl. 4 und 5 $n = 1$ sein.

Aus diesen Gleichungen findet man n . Hat man n ermittelt, so ist OF , OE'' , OD'' , OE''' und OD''' zu finden.

Nennen wir den Verschiebungsfaktor λ , so muss z. B.

$$OF' \cdot \lambda = OF$$

$$\lambda = \frac{OF}{OF'} \text{ sein.}$$

Multipliziert man jede der drei Ableitungszahlen $\frac{1}{e'} \frac{1}{f'} \frac{1}{g'}$ mit dem Verschiebungsfaktor λ , so ist

$$m = \frac{\lambda}{g'} = \frac{OF}{OF'} \cdot \frac{1}{g'}$$

Da

$$OF' = \frac{1}{f'} \sqrt{3} \text{ und } OF = \frac{n}{n + 1} \sqrt{3}$$

ist, so folgt

$$m = \frac{n}{n + 1} \cdot \frac{f'}{g'}$$

In analoger Weise sind die anderen Fälle zu behandeln. Dies sind die Resultate:

8) Ist $\frac{f'}{e'} < 1$, so ist $\frac{f'}{e'} = \frac{2 - n}{n}$ und

$$m = \frac{n}{2 - n} \frac{f'}{g'} = \frac{e'}{g'} \text{ (s. oben bei 4).}$$

9) Ist $\frac{f'}{e'} > 1$, so ist $\frac{f'}{e'} = 2n - 1$ und

$$m = \frac{n}{2n-1} \frac{f'}{g'} = \frac{ne'}{g'}$$

10) Ist $\frac{f'}{e'} > 3$, so ist $\frac{f'}{e'} = \frac{n+1}{n-1}$ und

$$m = \frac{n}{n+1} \frac{f'}{g'} = \frac{ne'}{(n-1)g'}$$

11) Ist $\frac{f'}{e'} = 1$, so ist $n = 1$ und $m = \frac{f'}{g'}$

Nunmehr ist es leicht, die Indices und Ableitungszahlen für die gewöhnlichen vier Axen anzugeben.

Ein specielles Beispiel mag zur weiteren Erläuterung dienen. Es sei $e' = 2$, $f' = 10$ und $g' = 8$.

Da $\frac{f'}{e'} > 3$, so ist vermöge Gl. 10:

$$5 = \frac{n+1}{n-1} \text{ mithin } n = \frac{3}{2} \text{ und}$$

$$m = \frac{3}{4} \text{ (Formel } \frac{3}{4} P \frac{3}{2} \text{)}$$

Man könnte nach der Grösse von Ok fragen, weil Ok in die gewöhnliche Axe OE fällt. Aus ähnlichen Dreiecken z. B. $OkF' \sim OEF$ erhält man leicht

$$\text{für die Fläche } F'G' \text{ den Werth von } Ok = \frac{n+1}{n} \cdot \frac{1}{f'}$$

$$\text{für die Fläche } E'H' \text{ den Werth von } Ok = \frac{2n-1}{n} \cdot \frac{1}{f'}$$

$$\text{für die Fläche } D'J' \text{ den Werth von } Ok = \frac{2-n}{f'}$$

§. 45.

Parallelfächen der hexagonalen Pyramide mP

$$\text{oder der Rhomboëder } \pm \frac{mP}{2} = \pm mR.$$

Setzen wir in den Resultaten des §. 43 für n den Werth 1, so erhalten wir die Indices $e'f'g'$ der Fläche, die

vor ihrer Drehung in Bezug auf dasselbe Axensystem die Indices efg hatte.

Erster Fall. Sextant I (Fig. 81).

Indices der Fläche XE: $1 \ 1 \ \frac{1}{m}$. Parameter $1, \sqrt{3}, m c$.

$$e' = 4m'^2 m c^2 + 3 (2m' - m)$$

$$f' = 4m'^2 m c^2 + 3 (2m' - m)$$

$$g' = 8m' m c^2 - 4m'^2 c^2 + 3$$

Zweiter Fall. Sextant IV (Fig. 81).

Indices $\bar{1} \ \bar{1} \ \frac{1}{m}$. Parameter $-1, -\sqrt{3}, m c$.

$$e' = -4m'^2 m c^2 + 3 (2m' + m)$$

$$f' = -4m'^2 m c^2 + 3 (2m' + m)$$

$$g' = -8m' m c^2 - 4m'^2 c^2 + 3$$

Dritter Fall. Sextant II (Fig. 81).

Indices: $0 \ 2 \ \frac{1}{m}$. Parameter $\infty, \frac{\sqrt{3}}{2}, m c$.

$$e' = 4m'^2 m c^2 + 6m' = 2m' (3 + 2m' m c^2)$$

$$f' = -4m'^2 m c^2 + 6 (m' - m)$$

$$g' = 4m' m c^2 - 4m'^2 c^2 + 3$$

Vierter Fall. Sextant V (Fig. 81).

Indices $0 \ \bar{2} \ \frac{1}{m}$. Parameter $\infty, \frac{-\sqrt{3}}{2}, m c$.

$$e' = -4m'^2 m c^2 + 6m'$$

$$f' = 4m'^2 m c^2 + 6 (m + m')$$

$$g' = -4m' m c^2 - 4m'^2 c^2 + 3$$

Fünfter Fall. Sextant III.

Indices $\bar{1} \ 1 \ \frac{1}{m}$. Parameter $-1, \sqrt{3}, m c$.

$$e' = 3 (2m' + m)$$

$$f' = -8m'^2 m c^2 + 3 (2m' - m)$$

$$g' = -4m' m c^2 - 4m'^2 c^2 + 3$$

Sechster Fall. Sextant VI.

Indices $1 \bar{1} \frac{1}{m}$. Parameter 1, $-\sqrt{3}$, m.c.

$$e' = 3 (2m' - m)$$

$$f' = 8m'^2 m c^2 + 3 (2m' + m)$$

$$g' = 4m' m c^2 - 4m'^2 c^2 + 3$$

§. 46.

Discussion der Resultate des vorhergehenden Paragraphen.

Ein Blick auf die vorstehenden Indices lehrt, dass sie im Allgemeinen Skalenoëderflächen entsprechen; denn die Indices $e'f'$ einer Rhomboëderfläche müssen einander gleich sein.

Erster Fall. Die Indices e' und f' auf S. 261 sind einander gleich. In diesem Falle repräsentiren die Indices $e'f'g'$ eine Rhomboëderfläche. Um die Formel des Rhomboëders zu erhalten, bilden wir aus den Indices die Ableitungszahlen und verschieben die Rhomboëderfläche parallel mit sich selbst, bis sie die X-Axe in der Entfernung 1 schneidet. Wir multipliciren zu dem Zwecke jede Ableitungszahl mit $4m'^2 m c^2 + 3 (2m' - m)$. Das Verhältniss der Ableitungszahlen ist alsdann:

$$1 : 1 : \frac{4m'^2 m c^2 + 3 (2m' - m)}{8m' m c^2 - 4m'^2 c^2 + 3}$$

Die Formel ist

$$\frac{4m'^2 m c^2 + 3 (2m' - m)}{8m' m c^2 - (4m'^2 c^2 - 3)} R$$

Ist $8m' m c^2 = 4m'^2 c^2 - 3$ so geht vorstehende Formel in ∞R über.

Ist $4m'^2 m c^2 + 3 (2m' - m) = 0$, so geht sie über in o P.

Ist $8m' m c^2 > 4m'^2 c^2 - 3$, so befindet sich das Rhomboëder in analoger Stellung.

Ist $8m' m c^2 < 4m'^2 c^2 - 3$, so befindet es sich in antilogrer Stellung.

Zweiter Fall. Die Indices e' und f' sind gleich; mithin repräsentiren die Indices $e'f'g'$ eine Rhomboëderfläche. Die Formel des Rhomboëders ist:

$$\frac{-4m'^2mc^2 + 3(2m' + m)}{-8m'mc^2 - 4m'^2c^2 + 3} R = \frac{4m'^2mc^2 - 3(2m' + m)}{8m'mc^2 + 4m'^2c^2 - 3} R$$

Discussion wie vorher.

Dritter bis sechster Fall. Die Indices $e'f'g'$ repräsentiren eine Sklenoëderfläche. Die Discussion ist wie oben S. 259.

§. 47.

Parallellflächen der Deuteropyramiden mP_2 .

In den Resultaten des §. 43 setzen wir $n = 2$ und erhalten:

Erster Fall. Indices $m\ 0\ 1$. Parameter $1, \infty, mc$.

$$\begin{aligned} e' &= 2m'^2mc^2 + 3(2m' - m) & f' &= 6m'(1 + m'mc^2) \\ g' &= 6m'mc^2 - (4m'^2c^2 - 3) \end{aligned}$$

Zweiter Fall. Indices $\bar{m}\ 0\ 1$. Parameter $-1, \infty, mc$.

$$\begin{aligned} e' &= 2m'^2mc^2 + 3(2m' + m) & f' &= 6m'(1 - m'mc^2) \\ g' &= -6m'mc^2 + 3 - 4m'^2c^2 \end{aligned}$$

Dritter Fall. Indices $m, 3m, 2$. Parameter $2, \frac{2\sqrt{3}}{3}, mc$.

$$\begin{aligned} e' &= 8m'^2mc^2 + 3(4m' - m) & f' &= 3(4m' - 3m) \\ g' &= 12m'mc^2 - 8m'^2c^2 + 6 \end{aligned}$$

Vierter Fall. Indices $-m, 3m, 2$. Parameter $-2, \frac{2\sqrt{3}}{3}, mc$.

$$\begin{aligned} e' &= 4m'^2mc^2 + 3(4m' + m) & f' &= -12m'^2mc^2 + 3(4m' - 3m) \\ g' &= -8m'^2c^2 + 6 \end{aligned}$$

Fünfter Fall. Indices $m, -3m, 2$.

Parameter $2, -\frac{2\sqrt{3}}{3}, mc$.

$$\begin{aligned} e' &= -4m'^2mc^2 + 3(4m' - m) \\ f' &= 12m'^2mc^2 + 3(4m' + 3m) & g' &= -8m'^2c^2 + 6 \end{aligned}$$

Sechster Fall. Indices $-m, -3m, 2$.

Parameter $-2, \frac{-2\sqrt{3}}{3}, mc$.

$$\begin{aligned} e' &= -8m'^2mc^2 + 3(4m' + m) & f' &= 3(4m' + 3m) \\ g' &= -12m'mc^2 - 8m'^2c^2 + 6 \end{aligned}$$

Die Discussion dieser Werthe ist genau so, wie oben gelehrt wurde. Die weitere Specialisirung unterlassen wir.

§. 48.

Zweites Zwillingsgesetz: Die Zwillingsfläche ist oP .

Nach diesem Gesetz sind die meisten hexagonalen Zwillinge gebildet. Wirkliche Zwillinge sind nach diesem Gesetz jedoch nur für hemiëdrische Formen möglich.

Setzen wir in den Gl. 1, S. 252 für hkl die Indices des basischen Hauptschnitts: 001 , so erhalten wir die Gleichungen:

$$e' = -e \quad f' = -f \quad g' = g$$

ein Resultat, das auch die blosse Anschauung schon liefert. Dieses Zwillingsgesetz hat daher zur Folge, dass die beiden hemiëdrischen Gestalten ihre Muttergestalt zu reproduciren suchen.

§. 49.

Bestimmung der Zwillingsfläche.

Erstes Beispiel (Calcit).

Fig. 83.



Erstes Verfahren. Die Fig. 83 repräsentirt eine am Calcit beobachtete Zwillingsbildung. Der blosse Anblick der Fig. 83 lehrt hier schon, dass die Zwillingsfläche der basische Hauptschnitt oP ist. — Durch Rechnung erhalten wir dasselbe Resultat auf folgende Weise. Die Zwillingsfläche liegt in den beiden Zonen rr' und ss' , ergibt sich mithin vermöge der Zonengleichung. Die Indices von r sind: $mn, m(2-n), n$

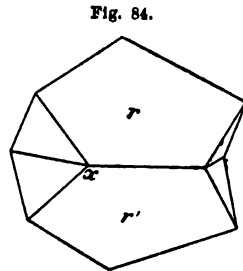
$$\begin{aligned} & \quad , \quad , \quad r' \quad , \quad mn, m(2-n), -n \\ & \quad , \quad , \quad s \quad , \quad m(n-1), m(n+1), n \\ & \quad , \quad , \quad s' \quad , \quad m(n-1), m(n+1), -n \end{aligned}$$

Vermöge Gl. 5, S. 9 erhält man als Indices des Durchschnittspunktes beider Zonen: 0 0 1. Dies sind die Indices des basischen Hauptschnitts.

Zweites Verfahren. Im §. 48 wurde gezeigt, dass, wenn zwei hemiëdrische Formen mit der Zwillingsfläche oP verwachsen sind, die Indices efg des einen Individuums nach der Drehung durch 180° in die Indices $\bar{e} \bar{f} \bar{g}$ oder $e f \bar{g}$ übergehen. In unserem Falle sind zwei Skalenoëder verwachsen, und wie die vorstehenden Indices lehren, sind die Indices efg der Fläche r z. B. nach der Drehung durch 180° , übergegangen in $e f \bar{g}$ ¹⁾, folglich ist die Zwillingsfläche der basische Hauptschnitt oP.

Zweites Beispiel (Calcit).

Erstes Verfahren. Die Fig. 84 repräsentirt eine am Calcit beobachtete Zwillingsbildung. Der Austrittspunkt der X-Axe ist durch x bezeichnet. Auch hier lehrt schon der blosse Anblick der Fig. 84, dass die Zwillingsfläche der basische Hauptschnitt ist. Durch Rechnung kann die Zwillingsfläche in folgender Weise ermittelt werden.



Die Flächen r r' und die Zwillingsfläche sind tautozonal. Die r und r' entsprechenden, nicht gezeichneten Flächen rechts hinten von r und r' und die Zwillingsfläche sind gleichfalls tautozonal. Die Zwillingsfläche liegt somit in zwei Zonen und ergibt sich folglich vermöge der Gl. 5, S. 9 als Durchschnitt derselben.

Die Indices von r sind 1 1 1.

Die Indices von r' sind 1 1 $\bar{1}$.

Die Indices der zwei rechts hinten, r und r' entsprechenden Flächen sind $\bar{1} 1 1$ und $\bar{1} 1 \bar{1}$.

¹⁾ Die Fläche r kommt nach ihrer Drehung durch 180° in die Lage, in welcher sie der Fläche r' parallel ist.

Vermöge der Gl. 5, S. 9 erhält man für die Indices der Zwillingsfläche die Werthe 0 0 1. Dies sind die Indices des basischen Hauptschnitts.

Auch das zweite Verfahren, das im ersten Beispiel zur Anwendung kam, kann hier und zwar mit denselben Worten angewandt werden.

Zweites Verfahren. Berechnung der Zwillingsfläche mit Hilfe des Winkels $r:r' = 90$. Dieser Winkel $r:r'$ wird durch die Zwillingsfläche halbirt. Sind die Indices der Zwillingsfläche hkl und die Indices der Fläche r gleich 1 1 1, so ist vermöge Gl. 17, S. 26

$$\cos 45 = \frac{3l^2 + c^2k + 3c^2h}{\sqrt{3l^2 + k^2c^2 + 3c^2h^2} \sqrt{4c^2 + 3}}$$

Da die Flächen r r' und die Zwillingsfläche tautozonal sind, so muss vermöge der Zonengleichung

$$k = h \text{ sein.}$$

Setzen wir $l = 1$, so ist

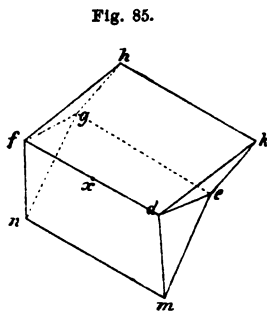
$$\cos 45 = \frac{3 + 4c^2h}{\sqrt{4c^2 + 3} \sqrt{3 + 4c^2h}} = \frac{\sqrt{4c^2h + 3}}{\sqrt{4c^2 + 3}}$$

Nun ist $c = 0,8543$, folglich ergibt sich aus vorstehender Gleichung:

$$h = 0 = k$$

Die Zwillingsfläche ist der basische Hauptschnitt.

Drittes Beispiel (Calcit).



Erstes Verfahren. Die Fig. 85 repräsentirt eine andere, am Calcit beobachtete Zwillingsbildung. Der Austrittspunkt der X-Axe ist durch x bezeichnet. Der einspringende Winkel der beiden Zwillingsflächen ist $141^\circ 46'$. Der Polantenwinkel (hk) ist $105^\circ 5'$. Daraus lässt sich der Winkel berechnen, den die Fläche fgh mit der Kante hk bildet. Er ist $190^\circ 7'$.

Nun wissen wir, dass die Zwillingsfläche den Winkel $141^{\circ}46'$ halbiert. Die Hälfte dieses Winkels ist $70^{\circ}53'$ und diese Hälfte ergänzt den Winkel $109^{\circ}7'$ zu 180° ; mithin ist die Zwillingsfläche der Kante kh parallel. Das lehrt auch schon der blosse Anblick. Da der Polkantenwinkel $105^{\circ}5'$ ist, so liegt das Grundrhomboëder R vor. Die Polkante hk wird aber abgestumpft durch das Rhomboëder $-\frac{1}{2}R$. Die Zwillingsfläche ist mithin eine Fläche des Rhomboëders $-\frac{1}{2}R$.

Zweites Verfahren. Lassen wir die X -Axe mitten durch die Linie dm gehen, so sind die Indices der Fläche dem gleich $1\ 1\ 1$, die der Fläche dek gleich $1\ 1\ \frac{1}{m}$. Die Indices der Zwillingsfläche seien $\bar{h}\bar{k}l$ oder $hk\bar{l}$. Da die drei genannten Flächen tautozonal sind, so folgt vermöge der Zonengleichung:

$$h - k = 0 \text{ folglich } h = k$$

Der einspringende Winkel $141^{\circ}46'$ wird durch die Zwillingsfläche halbiert. Der Cosinus des Winkels $109^{\circ}7'$, den die Normalen der Zwillingsfläche und der Fläche dem bilden, ist:

$$\cos 109^{\circ}7' = \frac{-3\ l' + c^2 k k' + 3\ c^2 h h'}{\sqrt{3\ l'^2 + c^2 k^2 + 3\ c^2 h^2} \sqrt{3\ l'^2 + c^2 k'^2 + 3\ c^2 h'^2}}$$

Setzen wir in diese Gleichung

$$h = k = 1 \text{ und } h' = k' = l' = 1$$

so erhalten wir die Gleichung

$$\begin{aligned} \sqrt{4\ c^2 + 3} \cos 109^{\circ}7' &= \frac{-3 + 4\ c^2}{\sqrt{3 + 4\ c^2}} \\ &= \frac{-3}{\sqrt{3 + 4\ c^2}} + \frac{4\ c^2}{\sqrt{3 + 4\ c^2}} \end{aligned}$$

Setzt man

$$\frac{\sqrt{3} \cdot 1}{\sqrt{3 + 4\ c^2}} = \cos \varphi \text{ und } \operatorname{ctg} \alpha = \frac{2\ c}{\sqrt{3}}$$

so ist

$$\sin (\varphi - \alpha) = \frac{\sin \alpha \cos 109^{\circ}7' \sqrt{4\ c^2 + 3}}{\sqrt{3}} \text{ und } \frac{1}{1} = \frac{\sqrt{3} \operatorname{tg} \varphi}{2\ c}$$

Setzt man $c = 0,8543$, so erhält man

$$\alpha = 45^{\circ} 23' \quad \varphi = 26^{\circ} 16' \text{ oder } 115^{\circ} 30'$$

$$\frac{1}{1} = + 0,5 \text{ oder } \frac{1}{1} = - 2,0965$$

Der letzte Werth ist irrational und negativ, folglich zu verwerfen.

Die Indices der Zwillingsfläche sind daher $11\bar{2}$ oder $\bar{1}\bar{1}2$.

Die Zwillingsfläche ist eine Fläche des Rhomboëders $-\frac{1}{2}R$.

Anwendung der Theorie auf das rhombische Krystallsystem.

Erstes Zwillingsgesetz: Zwillingsfläche eine Fläche von ∞P .

§. 50.

Parallelfächen von mP .

Wir denken uns zwei rhombische Pyramiden mP nach diesem Zwillingsgesetze verwachsen und suchen die Indices $e'f'g'$ einer Pyramidenfläche, die vor ihrer Drehung durch 180° , bezogen auf dasselbe Axensystem, die Indices efg hatte. Zwei Fälle haben wir zu berücksichtigen.

Erster Fall. Indices $mm1$. Parameter $a, 1, mc$.

Wir setzen in den Gl. 5, S. 225 für hkl die Werthe 110 und für efg die Werthe $mm1$ und erhalten:

$$e' = m \quad f' = m \quad g' = -1$$

Diese Indices entsprechen einer Fläche der Pyramide mP .

Zweiter Fall. Indices $\bar{m}m1$. Parameter $-a, 1, mc$.

Für efg setzen wir in den Gl. 5, S. 225: $\bar{m}m1$ und erhalten:

$$e' = mc^2(3a^2 - 1) \quad f' = -mc^2(3 - a^2) \quad g' = -c^2(1 + a^2)$$

Da die Brachydiagonale a stets kleiner als 1 ist, so ist $3a^2 - 1 < 3 - a^2$.

Die drei Indices sind an Grösse verschieden. Es liegt mithin der allgemeinste Fall vor. Die drei Indices $e' f' g'$ müssen entweder eine Fläche der Brachypyramiden $m\bar{P}n$ oder der Makropyramiden $m\bar{P}n$ repräsentiren. Die Discussion der drei Gleichungen hat zu zeigen, ob wir es mit Brachy- oder Makropyramiden zu thun haben. Zunächst bilden wir die Ableitungszahlen (die reciproken Werthe der Indices). Multiplirciren wir die erste Ableitungszahl $\frac{1}{e'}$ mit a und die letzte $\frac{1}{g'}$ mit c , so haben wir die Parameter der durch 180° gedrehten Fläche.

Fig. 86.

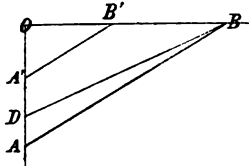
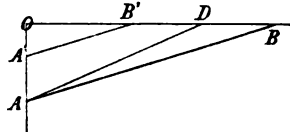


Fig. 87.



In den Figuren 86 und 87 sei

$$OA' = \frac{1}{e'} a \text{ und } OB' = \frac{1}{f'} \cdot b = \frac{1}{f'} \cdot 1 = \frac{1}{f'}$$

In der Fig. 86 sei $OD = a$ und $OB = b = 1$; in der Fig. 87 sei $OA = a$ und $OD = b = 1$. Hat die gedrehte Fläche die Lage $A'B'$ der Fig. 86, so muss sie, da $n > 1$ ist, bis zum Punkte B parallel mit sich selbst bis AB verschoben werden und gehört, wie der Anblick der Fig. 86 lehrt, einer Brachypyramide $m\bar{P}n$ an; hat sie dagegen die Lage $A'B'$ der Fig. 87, so muss sie parallel mit sich selbst bis zum Punkte A verschoben werden und gehört einer Makropyramide $m\bar{P}n$ an.

Aus beiden Fig. 86 und 87 folgt:

$$\frac{OA}{OB} = \frac{OA'}{OB'} = \frac{af'}{e'}$$

Für Fig. 86 erhält man, da $OB = 1$ ist,

$$OA = \frac{af'}{e'}$$

Da $OA > OD$ oder $OA > a$ ist, so muss für die **Brachypyramiden**

$$\frac{f'}{e'} > 1$$

oder $f' > e'$ sein.

Für Fig. 87 ist, da $OA = a$ ist,

$$OB = \frac{e'}{g'}$$

Da $OB > OD$ oder $OB > 1$ ist, so muss für die **Makropyramiden**

$$\frac{e'}{g'} > 1 \text{ oder } \frac{f'}{g'} < 1$$

oder $f' < e'$ sein.

Sind mithin die drei Indices ungleich und ist $f' > e'$, so liegt eine Brachypyramide vor. Ist aber $f' < e'$, so liegt eine Makropyramide vor. Ist $f' = e'$, so liegt eine Pyramide mP vor.

Um die Formel der Brachypyramide $f' > e'$ zu erhalten, hat man die drei A. Formeln $\frac{1}{e'}$, $\frac{1}{f'}$ und $\frac{1}{g'}$ mit f' zu multiplizieren.

Ist $f' > e'$, so ist die Formel der Brachypyramide

$$\frac{f'}{e'} \geq \frac{f'}{g'}$$

Ist $f' < e'$, so ist die Formel der Makropyramide

$$\frac{f'}{g'} \geq \frac{e'}{g'}$$

Ist $f' = e'$, so liegt die Pyramide $\frac{e'}{g'}$ P vor.

Wenn wir diese Theorie auf unseren speziellen Fall an, so erhalten wir für $f' > e'$ die Indices einer Fläche der Brachypyramide $\frac{3-a^2}{3a^2-1}$ sind.

Ist $f' < e'$, so geht diese Pyramide über in das

§. 51.

Parallelfächen der Makropyramiden $m\bar{P}n$.

Wir unterscheiden auch hier zwei Fälle.

Erster Fall. Indices mn , m , n . Parameter a , n , mc .

In den Gl. 5, S. 225 setzen wir 110 für hkl und mn , m , n für efg und erhalten:

$$e' = m [n + a^2 (2 - n)] \quad f' = m [(2n - 1) + a^2] \\ g' = -n (a^2 + 1)$$

Da $(2n - 1) + a^2 > n + a^2 (2 - n)$ ist, weil daraus folgt, dass $a < 1$ ist, so ist $f' > e'$; mithin sind $e'f'g'$ die Indices einer Fläche der Brachypyramide

$$\frac{m (2n + a^2 - 1)}{n (a^2 + 1)} \bar{P} \frac{2n + a^2 - 1}{n + a^2 (2 - n)}$$

Zweiter Fall. Indices mn , \bar{m} , n . Parameter a , $-n$, mc .

In den Gl. 5, S. 225 setzen wir 110 für hkl und mn , \bar{m} , n für efg und erhalten:

$$e' = m [n - a^2 (n + 2)] \quad f' = m (2n - a^2 + 1) \\ g' = -n (1 + a^2)$$

Da $2n - a^2 + 1 > n - a^2 n - 2a^2$ ist, weil daraus folgt, dass $n + a^2 + na^2 + 1 > 0$ ist, so ist $f' > e'$; mithin sind $e'f'g'$ die Indices einer Fläche der Brachypyramide

$$\frac{m [2n - a^2 + 1]}{n (1 + a^2)} \bar{P} \frac{2n - a^2 + 1}{n - a^2 (n + 2)}$$

$$\text{Ist} \quad n = \frac{2a^2}{1 - a^2}$$

so geht diese Pyramide über in das Brachydoma

$$\frac{m (a^2 + 1)}{2a^2} \bar{P} \infty$$

§. 52.

Parallelfächen der Brachypyramiden $m\check{P}n$.

Erster Fall. Indices m , mn , n . Parameter na , 1 , mc .

In den Gl. 5, S. 225 setzen wir 110 für hkl und m , mn , n für efg und erhalten:

$$e' = m [(2n - 1) a^2 + 1] \quad f' = m [na^2 - n + 2] \\ g' = -n (1 + a^2)$$

Da $(2n - 1) a^2 + 1 > na^2 - n + 2$, weil daraus folgt $n > 1$, so ist $e' > f'$. Mithin sind $e' f' g'$ die Indices einer Fläche der Makropyramide

$$\frac{m [(2n - 1) a^2 + 1]}{n (1 + a^2)} \bar{p} \frac{a^2 (2n - 1) + 1}{na^2 - n + 2}$$

Zweiter Fall. Indices \bar{m} , mn , n . Parameter — na , 1, mc .

Wir setzen in den Gl. 5, S. 225 nun 1 1 0 für hkl und \bar{m} , mn , n für efg und erhalten:

$$e' = m (2na^2 + a^2 - 1) \quad f' = -m (n + 2 - na^2) \\ g' = -n (1 + a^2)$$

Da hier $2na^2 + a^2 - 1 \begin{matrix} \geq \\ \leq \end{matrix} n + 2 - na^2$ sein kann, so haben wir drei specielle Fälle zu unterscheiden:

α) $2na^2 + a^2 - 1 > n + 2 - na^2$ oder $a^2 (3n + 1) > 3 + n$ oder $e' > f'$.

In diesem Falle sind $e' f' g'$ die Indices einer Fläche der Makropyramide

$$\frac{m (2na^2 + a^2 - 1)}{n (1 + a^2)} \bar{p} \frac{2na^2 + a^2 - 1}{n + 2 - na^2}$$

β) $a^2 (3n + 1) = 3 + n$ oder $e' = f'$.

In diesem Falle sind $e' f' g'$ die Indices einer Fläche der Pyramide

$$\frac{m (n + 1)}{2n} p$$

γ) $a^2 (3n + 1) < 3 + n$ oder $e' < f'$.

In diesem Falle sind $e' f' g'$ die Indices einer Fläche der Brachypyramide

$$\frac{m (n + 2 - na^2)}{n (1 + a^2)} \bar{p} \frac{n + 2 - na^2}{2na^2 + a^2 - 1}$$

Für $a^2 = \frac{1}{2n + 1}$

geht diese Brachypyramide über in das Brachydoma

$$\frac{m (n + 1)}{n} \bar{p} \infty$$

Die weitere Specialisirung übergehen wir.

Zweites Zwillingsgesetz: Die Zwillingsfläche ist eine Fläche des Brachydomas $m'P\infty$.

§. 53.

Parallellflächen der Pyramiden mP .

Wir denken uns zwei Pyramiden mP nach diesem Zwillingsgesetz verwachsen und suchen die Indices $e'f'g'$ einer Pyramidenfläche, die von ihrer Drehung durch 180° in Bezug auf ein und dasselbe Axensystem die Indices efg hatte.

Erster Fall. Indices $mm1$. Parameter $a, 1, mc$.

In den Gl. 5, S. 225 setzen wir $0m'1$ für hkl und $mm1$ für efg und erhalten:

$$e' = -m(1 + m'^2c^2) \quad f' = mm'^2c^2 - m + 2m' \\ g' = 1 - m'^2c^2 + 2mm'c^2$$

$\alpha)$ $m(1 + m'^2c^2) > mm'^2c^2 - m + 2m'$ oder $m > m'$ das ist $e' > f'$, so sind $e'f'g'$ die Indices der Makropyramide

$$\frac{m(1 + m'^2c^2)}{2mm'c^2 + 1 - m'^2c^2} \bar{P} \frac{m(1 + m'^2c^2)}{mm'^2c^2 - m + 2m'}$$

$\beta)$ $m < m'$, das ist $e' < f'$. Jetzt sind $e'f'g'$ die Indices der Brachypyramide

$$\frac{mm'^2c^2 - m + 2m'}{1 - m'^2c^2 + 2mm'c^2} \bar{P} \frac{mm'^2c^2 - m + 2m'}{m(1 + m'^2c^2)}$$

$\gamma)$ $m = m'$, das ist $f' = e'$. In diesem Falle sind $e'f'g'$ die Indices der Pyramide $\frac{e'}{g'}P$

Zweiter Fall. Indices $m, \bar{m}, 1$. Parameter $a, -1, mc$.

In den Gl. 5, S. 225 setzen wir $0m'1$ für hkl und $m\bar{m}1$ für efg und erhalten:

$$e' = -m(1 + m'^2c^2) \quad f' = -mm'^2c^2 + m + 2m' \\ g' = 1 - m'^2c^2 - 2m'mc^2$$

$\alpha)$ Ist $e' > f'$ oder $mm'c^2 > 1$, so sind $e'f'g'$ die Indices der Makropyramide $\frac{e'}{g'}\bar{P}\frac{e'}{f'}$

- § Ist $e' = f'$ oder $mm'c^2 < 1$. so sind $e'f'g'$ die Indices
 Brachypyramide $\frac{f'}{g'} \bar{P} \frac{f'}{e'}$
- § Ist $e' = f'$ oder $mm'c^2 = 1$. so sind $e'f'g'$ die Indices
 Pyramide $\frac{e'}{g'} P$

§. 54.

Parallellflächen der Makropyramiden $m\bar{P}n$.

- Erster Fall. Indices mn, m, n . Parameter a, n, mc .
- $$e' = mn(1 + m'^2c^2) \quad f' = mm'^2c^2 - m + 2m'n$$
- $$g' = n - m'^2nc^2 + 2m'mc^2$$
- 1) $e' = f'$, so sind $e'f'g'$ die Indices einer Fläche der
 Pyramide $\frac{e'}{g'} P \frac{e'}{f'}$
- 2) $e' < f'$, so sind $e'f'g'$ die Indices einer Fläche der
 Pyramide $\frac{f'}{g'} \bar{P} \frac{f'}{e'}$
- 3) $e' = f'$, so sind $e'f'g'$ die Indices einer Fläche der
 Pyramide $\frac{e'}{g'} P$
- Zweiter Fall. Indices mn, \bar{m}, n . Parameter $a, -n, mc$.
- $$e' = -mn(1 + m'^2c^2) \quad f' = -mm'^2c^2 + m + 2m'n$$
- $$g' = n - m'^2nc^2 - 2m'mc^2$$
- Drei Fälle wie vorher.

§. 55.

Parallellflächen der Brachypyramiden $m\bar{P}n$.

- Erster Fall. Indices m, mn, n . Parameter $na, 1, mc$.
- $$e' = -m(1 + m'^2c^2) \quad f' = mm'^2nc^2 - mn + 2m'n$$
- $$g' = n - m'^2nc^2 + 2m'mnc^2$$
- Drei Fälle. Discussion wie vorher.

Zweiter Fall. Indices $m, -mn, n$. Parameter $na, -1, mc$.

$$\begin{aligned} e' &= -m(1 + m'^2 c^2) & f' &= -mm'^2 nc^2 + mn + 2m'n \\ g &= n - m'^2 nc^2 - 2m'mnc^2 \end{aligned}$$

Drei Fälle, wie oben.

§. 56.

Drittes Zwillingsgesetz: Die Zwillingsfläche ist eine Fläche des Makrodomas $m'\bar{P}\infty$.

Parallellflächen von mP .

Erster Fall. Indices $mm1$. Parameter $a, 1, mc$.

In den Gl. 5, S. 225 setzen wir $m'01$ für hkl und $mm1$ für efg und erhalten

$$\begin{aligned} e' &= mm'^2 c^2 - ma^2 + 2m'a^2 & f' &= -m(a^2 + m'^2 c^2) \\ g' &= 2m'mc^2 + a^2 - m'^2 c^2 \end{aligned}$$

Discussion wie oben.

Zweiter Fall. Indices $\bar{m}m1$. Parameter $-a, 1, mc$.

In den Gl. 5, S. 225 setzen wir $m'01$ für hkl und $\bar{m}m1$ für efg und erhalten:

$$\begin{aligned} e' &= +2m'a^2 + ma^2 - mm'^2 c^2 & f' &= -m(a^2 + m'^2 c^2) \\ g' &= a^2 - m'^2 c^2 - 2m'mc^2 \end{aligned}$$

Parallellflächen von $m\bar{P}n$.

Erster Fall. Indices mn, m, n . Parameter a, n, mc .

In den Gl. 5, S. 225 setzen wir $m'01$ für hkl und mn, m, n für efg und erhalten:

$$\begin{aligned} e' &= mm'^2 nc^2 + 2m'na^2 - mna^2 & f' &= -m(a^2 + m'^2 c^2) \\ g' &= 2m'mnc^2 + na^2 - m'^2 nc^2 \end{aligned}$$

Zweiter Fall. Indices $-mn, m, n$. Parameter $-a, n, mc$.

$$\begin{aligned} e' &= -mm'^2 nc^2 + mna^2 + 2m'na^2 & f' &= -m(a^2 + m'^2 c^2) \\ g' &= na^2 - m'^2 nc^2 - 2m'mnc^2 \end{aligned}$$

Parallelogramm von $m\bar{P}n$.

Die Flächen a, b, c, d, e, f sind Parameter $na, 1, mc$.

$$a^2 + b^2 + c^2 = na^2 + 1 + mc^2 \quad f' = -mn(a^2 + m^2c^2)$$

$$g = -mn(a^2 + m^2nc^2)$$

Die Flächen a, b, c, d, e, f sind Parameter $-na, 1, mc$.

$$a^2 + b^2 + c^2 = na^2 + 1 + mc^2 \quad f' = -mn(a^2 + m^2c^2)$$

$$g = -mn(a^2 + m^2nc^2)$$

§ 57.

Bestimmung der Zwillingsfläche.

Ein Beispiel (Aragonit).

Die Fig. 58 repräsentirt eine Zwillings-
Die Fig. 58 ist ein Schnitt senkrecht
auf den Flächen d und e Prismenflächen repräsentiren.
Der auspringende Winkel γ ist gleich
dem Winkel der beiden
Prismenflächen d und e . Der Winkel γ
an den Flächen f und g wird durch
die Zwillingsfläche h halbiert; mithin ist
die Zwillingsfläche h kann bewiesen wer-
den, dass $\alpha = 180 - \beta$ ist, so ist die
Zwillingsfläche h der Prismenfläche d
gleich, mithin selbst eine Prismenfläche.
Der Winkel $\alpha = 180 - \beta = 121^\circ 55'$ und
die Zwillingsfläche ist

gegeben durch die Gl. 14. S. 26

$$h = \frac{(bc)^2 hh'}{a^2 b^2 c^2 + (ac)^2 k^2 + (bc)^2 h'^2}$$

$$h = \frac{(bc)^2 hh'}{a^2 b^2 c^2 + (ac)^2 k^2 + (bc)^2 h'^2}$$

die Fläche v .

Die Indices der Fläche r sind $0\ 1\ 0$, die der Fläche v $1\ \frac{1}{n}\ 0$ oder $n\ 1\ 0$. Setzt man noch $b = 1$ und $w = 180 - \gamma = 63^\circ 50'$, so ist

$$\cos 63^\circ 50' = \frac{a}{\sqrt{n^2 + a^2}}$$

woraus

$$n = a \operatorname{tg} 63^\circ 50' = \operatorname{ctg} \beta \cdot \operatorname{tg} 63^\circ 50'$$

weil a wie aus der Fig. 88 folgt $= \operatorname{ctg} \beta = \operatorname{ctg} 58^\circ 5'$ ist.

$$n = 1,268$$

Die Indices der Fläche v sind mithin $1,268, 1, 0$. Dies sind auch die Indices der Parallelfäche g .

Dreht man das obere Individuum um die Zwillingsaxe durch 180° , so fällt g in die Fortsetzung von r , oder: die Indices $0\ 1\ 0$ von r gehen nach der Drehung durch 180° über in die Indices $1,268, 1, 0$. Setzen wir in den Gl. 5, S. 225 für efg die Werthe $0\ 1\ 0$ und für $e'f'g'$ die Werthe $1,268, 1, 0$, so können wir die Indices hkl der Zwillingsfläche ermitteln. Wir erhalten die drei Gleichungen

$$1,268 = 2a^2 c^2 k h \quad 1 = a^2 c^2 k^2 - a^2 l^2 - c^2 h^2 \quad \text{und} \quad kl = 0$$

Aus der letzten Gleichung folgt, dass entweder k oder l oder beide gleich Null sind. Wäre $k = 0$, so müsste auch die rechte Seite der ersten Gleichung gleich Null sein. Da das nicht möglich ist, so muss $l = 0$ sein.

Aus den beiden Gleichungen

$$1,268 = 2a^2 c^2 k h \quad \text{und} \quad 1 = a^2 c^2 k^2 - c^2 h^2$$

folgt durch Division:

$$1,268 = \frac{2a^2 \frac{k}{h}}{a^2 \frac{k^2}{h^2} - 1}$$

Aus dieser Gleichung folgt $\frac{k}{h} = -1$ oder $-k = +h$.

Der zweite Werth für $\frac{k}{h}$ ist irrational, mithin zu verwerfen.

Die Indices der Zwillingungsfläche sind mithin $h \bar{h} 0$ oder $1 \bar{1} 0$.
Die Zwillingungsfläche ist eine Fläche des Prismas $\propto P$.

Drittes Verfahren. Der Winkel γ wird durch die Zwillingungsfläche halbiert. Die Indices der Zwillingungsfläche seien $n' 1 0$. Der Winkel, den h mit n' bildet, ist $= 180 - \frac{\gamma}{2}$ und es ist vermöge der obigen Beziehung für $\cos w$:

$$\cos \frac{1}{2} \gamma = \frac{1}{\sqrt{1+n'^2}} \quad \text{voraus } n' = a \operatorname{tg} \frac{1}{2} \gamma = 1$$

Die Indices der Zwillingungsfläche sind mithin $\bar{1} 1 0$. Die Zwillingungsfläche ist eine Fläche des Prismas $\propto P$.

Viertes Verfahren. Die Zwillingungsfläche kann aus der Tangentialwinkel w berechnet werden. Zuerst hat man die Fläche k zu finden. Dies kann vermöge der Beziehung für $\cos w$ oder mit Hilfe einer stereographischen Projection geschehen. Aus den Winkeln $w = 144^\circ$ und den Indices von $v: 1,268$, $h: 1,000$ erhält man die Indices von k die Werthe:

$$k: 1,000 = 1, \frac{1}{b'}, \frac{1}{m} \quad (\text{abgekürzt}).$$

Die Indices von k sind $0 1 1$ und die von $h: \bar{1} 1 0$ sind, vermöge der Gleichung

$$a' \frac{mb'}{b' - m} = 1$$

Die Indices der Zwillingungsfläche sind mithin $\bar{1} 1 0$.

Um dieses Resultat durch die Untersuchungen zu bestätigen, wurde gefunden, dass die Indices der Fläche $r: 1,000$ bei Drehung der Fläche durch 180° übergehen in $\bar{1} 1 0$. Aus den Resultaten des §. 52 folgt, dass wenn die Zwillingungsfläche eine Fläche des Rhomboëdroids (r) $\propto \bar{P} \propto$ nach der Drehung in eine Fläche des Makroprisma (g)

$$r: 1,000 = \bar{P}: 1,000$$

Zweites Beispiel (Markasit).

Die Fig. 89 und 90 sind Schnitte senkrecht zur Vertical-axe. Die Zwillingsfläche ist durch die Linie gh angedeutet;

Fig. 89.

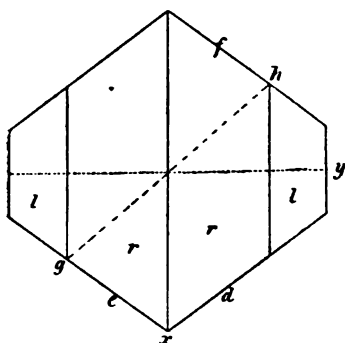
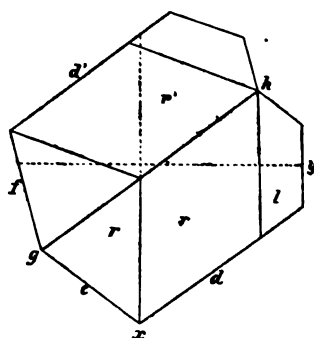


Fig. 90.



de ist das Prisma ∞P ($de = 106^\circ 5'$); l ist das Doma $\tilde{P} \infty$ ($l:l = 80^\circ 20'$); r ist das Doma $\frac{1}{3}\tilde{P} \infty$ ($r:r = 136^\circ 54'$); das Axenverhältniss ist $a:b:c = 0,7519:1:1,1845$. In der Fig. 90 ist der hintere Theil um die Zwillingsaxe durch 180° gedreht; die Fig. 89 zeigt den Krystall vor der Drehung.

Erstes Verfahren. Um die Zwillingsfläche zu bestimmen, messen wir den Winkel $fge = 147^\circ 50'$ (Fig. 90). Die Hälfte dieses Winkels ist $73^\circ 55'$ und dieser Winkel und der Winkel des Prismas ed ($106^\circ 5'$) geben zusammen 180° . Mithin ist gh parallel d und folglich ist die Zwillingsfläche eine Fläche des Prismas ∞P .

Zweites Verfahren. Die Indices der Fläche e (Fig. 90) sind $1\bar{1}0$, die der Zwillingsfläche gh : $n10$. Nennen wir den Winkel der Normalen auf gh und e kurz w ($w = 106^\circ 5'$), so ist vermöge der obigen Gleichung für $\cos w$:

$$\cos w = \frac{a^2 - n}{\sqrt{a^2 + 1} \sqrt{a^2 + n^2}} = \frac{1}{\sqrt{a^2 + 1}} \left(\frac{a^2}{\sqrt{a^2 + n^2}} - \frac{n}{\sqrt{a^2 + n^2}} \right)$$

Setzt man

$$\frac{n}{\sqrt{a^2 + n^2}} = \cos \varphi$$

Die
Die

Zw

\bar{n}'

es

$$= \frac{1}{\dots}$$

$$= \dots (\varphi - \varphi)$$

Z

... Werth
... Anblick

...

... hkl der
... man diese
... verwenden will.
... der Drehung
... Fläche f in
... durch 180°
... sind jetzt

Nennen wir w
 $w = 32^\circ 15'$

...

...



folglich

$$n = 0,1111 \dots \text{ oder } n = 3,484$$

Der Anblick der Fig. 90 lehrt, dass nur der Werth $n = 3,484$ möglich ist. Die Indices der Zwillingsfläche sind allgemein $n' 1 0$. Setzt man diese Werthe in die Gl. 5, S. 225, so erhält man

$$n' = \frac{n + 1}{2c^2(1 + a^2)} = 1$$

Die Indices der Zwillingsfläche sind mithin $1 1 0$. Bestätigt wird dieses Resultat durch die Untersuchungen des §. 50. Dort wurde gefunden, dass das Prisma ∞P nach der Drehung durch 180° übergeht in

$$\infty \check{P} \frac{3 - a^2}{3a^2 - 1} = \infty \check{P}_{3,497}$$

Der obige Werth $3,484$ stimmt mit $3,497$ hinreichend genau.

Viertes Verfahren. Die drei Flächen r' , r und gh (Fig. 90) sind tautozonal. Man bestimme die Indices der Fläche r' aus den Winkeln $r':r$ und $r':d'$ und findet für sie die Werthe

$$\bar{1}, \frac{1}{2,6014}, \frac{1}{0,24078}$$

Die Indices von r sind $0 1 3$.

Vermöge der Zonengleichung findet man für den Index n' der Zwillingsfläche

$$n' = \frac{3mn}{n - 3m} = 1$$

wenn $m = 0,24078$ und $n = 2,6014$ ist.

§. 58.

II. Das Axensystem ist schiefwinklig.

Auch hier haben wir der Reihe nach die drei Aufgaben zu lösen:

so ist

Setzt man noch

so ist

$$\sqrt{a^2}$$

Daraus folgt

$$\sin(\varphi - \psi)$$

$$\psi - \varphi$$

$$\varphi$$

$$n$$

Der zweite

für n , nämlich

der Fig. 89

Die Indie

Drittes

Zwillingsfläch

Gleichung zur

muss man die

in Bezug auf

Fig. 89 hat

nimmt sie

allgemein:

Die

den Winkel

so ist

Setzt

so ist

ten

ge-

$$\bar{X}Y = \gamma,$$

$$= 2 \cdot P \text{ sei}$$

deren

$X, Y, Z,$

Es sind die

$X'Z, Y'Y,$

$Z'X$ und $Z'Y$

das Axen-

den Träger (P)

dreht worden

man sofort, dass

$= 2PX'$, ebenso

$= 2PZ'$ ist. Da-

$$\cos^2 PY = 2 \cos^2 PY - 1$$

$$-$$

$$\cos^2 PZ = \frac{l^2 R}{c^2 N}$$

$$= \cos^2 \alpha - \cos^2 \beta - \cos^2 \gamma$$

$$= \frac{1}{2} \sin^2 \gamma$$

$$B' = \frac{hk}{ab} C']$$

$$B' = \cos \beta - \cos \alpha \cos \gamma$$

$$= \cos \alpha \cos \beta$$

in die ersten Gleichungen ein, so

$$\begin{aligned} X'X &= 2h^2 R - N \cdot a^2 \\ Y'Y &= 2k^2 R - N \cdot b^2 \\ Z'Z &= 2l^2 R - N \cdot c^2 \end{aligned}$$

Um $X'Y$, $X'Z$ u. s. w. zu ermitteln, verfahren wir genau so, wie es bei rechtwinkligen Axen gezeigt wurde.

Aus dem sphärischen Dreieck $X'YP$ (s. Fig. 73) folgt ¹⁾:

$$\begin{aligned}\cos X'Y &= \cos X'P \cos PY + \sin X'P \sin PY \cos X'PY \\ &= \cos X'P \cos PY - \sin X'P \sin PY \cos XPY.\end{aligned}$$

Aus dem sphärischen Dreieck XPY folgt:

$$\cos XPY = \frac{\cos \gamma - \cos XP \cos PY}{\sin XP \sin PY}$$

Setzt man diesen Werth in die vorhergehende Gleichung und bedenkt, dass $X'P = XP$ und $X'Y = XY'$ ist, so folgt:

$$\cos X'Y = 2 \cos PX \cos PY - \cos \gamma$$

Setzt man in die vorstehende Gleichung die obigen Werthe für $\cos PX \cos PY$, so erhält man:

$$2) \begin{cases} abN \cos X'Y = abN \cos XY' = 2hkR - abN \cos \gamma \\ \text{ebenso findet man:} \\ acN \cos X'Z = acN \cos XZ' = 2hlR - acN \cos \beta \\ bcN \cos Y'Z = bcN \cos YZ' = 2klR - bcN \cos \alpha \end{cases}$$

Durch die Gl. 1 und 2 ist die erste Aufgabe gelöst.

2) Die Indices der Flächen des zweiten Individuums, bezogen auf die Indices und Axen des ersten Individuums, sind zu ermitteln.

Wir verfahren genau wie bei rechtwinkligen Axen. Zuerst suchen wir die Indices der Flächen X' , Y' und Z' in Bezug auf das Axensystem XYZ (Fig. 73). Die Indices von X' in Bezug auf XYZ seien $x_1 x_2 x_3$, so ist die Gleichung von X' :

$$\frac{a}{x_1} \cos X'X = \frac{b}{x_2} \cos X'Y = \frac{c}{x_3} \cos X'Z$$

woraus

$$\frac{x_2}{x_1} = \frac{b \cos X'Y}{a \cos X'X} \text{ und } \frac{x_3}{x_1} = \frac{c \cos X'Z}{a \cos X'X}$$

¹⁾ Vergl. A. Schrauf, Lehrbuch der Krystallographie und Mineral-Morphologie. Wien 1866.

$$4) \left\{ \begin{array}{l} N_1 = \frac{e^2}{a^2} \sin^2 \alpha + \frac{f^2}{b^2} \sin^2 \beta + \frac{g^2}{c^2} \sin^2 \gamma \\ \quad - 2 \left[\frac{fg}{bc} A' + \frac{eg}{ac} B' + \frac{ef}{ab} C' \right] \\ N_2 = \frac{x_1^2}{a^2} \sin^2 \alpha + \frac{x_2^2}{b^2} \sin^2 \beta + \frac{x_3^2}{c^2} \sin^2 \gamma \\ \quad - 2 \left[\frac{x_2 x_3}{bc} A' + \frac{x_1 x_3}{ac} B' + \frac{x_1 x_2}{ab} C' \right] \text{ u. s. w.} \end{array} \right.$$

Es bleibt noch übrig, die Indices $e'f'g'$ der Fläche M in Bezug auf das Axensystem $X'Y'Z'$ zu ermitteln. In Bezug auf das Axensystem XYZ sind die Indices von M , wie schon erwähnt, efg . Die Gleichungen der Fläche M , bezogen auf das Axensystem $X'Y'Z'$, sind:

$$\frac{a}{e'} \cos MX' = \frac{b}{f'} \cos MY' = \frac{c}{g'} \cos MZ'$$

Daraus folgt

$$\frac{f'}{e'} = \frac{b \cos MY'}{a \cos MX'} \quad \frac{g'}{e'} = \frac{c \cos MZ'}{a \cos MX'}$$

Da ein Index willkürlich angenommen werden darf, so setze man:

$$e' = a \cos MX'$$

alsdann ist:

$$f' = b \cos MY'$$

und

$$g' = c \cos MZ'$$

Setzt man in diesen Gleichungen für $\cos MX'$, $\cos MY'$ und $\cos MZ'$ die Werthe aus den Gl. 4, substituirt dann für $x_1, x_2, x_3, y_1, y_2, y_3$ u. s. w. die Werthe aus den Gl. 3, so erhält man, wenn man die gemeinschaftlichen Faktoren weglässt:

Da ein Index willkürlich angenommen
setze man $x_1 = a \cos X'X$, dann ist x_2
 $x_3 = c \cos X'Z$

Setzt man für $\cos X'X$, $\cos X'Y$ u.
den Gl. 1 und 2, so erhält man für
Bezug auf XYZ die Werthe:

$$3) \left\{ \begin{array}{l} x_1 = \frac{2h^2 R - a^2 N}{aN} \quad x_2 = \frac{2hlR - acN \cos \beta}{aN} \\ x_3 = \frac{2hlR - acN \cos \beta}{aN} \\ y_1 = \frac{2hkr - ab \cos \gamma}{bN} \quad y_3 = \frac{2klR - c^2}{bN} \\ z_1 = \frac{2hlR - acN \cos \beta}{cN} \quad z_3 = \frac{2l^2 R - c^2}{c} \end{array} \right.$$

Die Indices irgend einer
seien efg. Es sollen die Win
werden, welche diese Ebene
Da die Indices von M, X', Y
aus Gl. 19, S. 29:

$$4) \left\{ \begin{array}{l} \cos MX' = \frac{H}{\sqrt{N_1} \sqrt{N_2}} \\ \text{worin} \\ H = \frac{ex_1}{a^2} \sin \beta \\ - \frac{A'}{bc} (gx_2 + fy_2) \\ H_1 = \frac{ex_1}{a^2} \sin \beta \\ - \frac{A'}{bc} (gx_2 + fy_2) \end{array} \right.$$

In diesen Gleichungen ist:

$$\begin{aligned} E_1 &= 2h^2R - a^2N & E_1 &= 2klR - bcN \cos \alpha \\ E_2 &= 2k^2R - b^2N & E_2 &= 2hlR - acN \cos \beta \\ E_3 &= 2l^2R - c^2N & E_3 &= 2hkR - abN \cos \gamma \\ A' &= \cos \alpha - \cos \beta \cos \gamma & B' &= \cos \beta - \cos \alpha \cos \gamma \\ C' &= \cos \gamma - \cos \alpha \cos \beta \end{aligned}$$

$$\sin^2 \gamma = 1 - \cos^2 \alpha - \cos^2 \beta - \cos^2 \gamma + 2 \cos \alpha \cos \beta \cos \gamma$$

$$N = \frac{h^2}{a^2} \sin^2 \alpha + \frac{k^2}{b^2} \sin^2 \beta + \frac{l^2}{c^2} \sin^2 \gamma - 2 \left[\frac{kl}{bc} A' + \frac{hl}{ac} B' + \frac{hk}{ab} C' \right]$$

Setzt man in diesen Gleichungen $\alpha = \beta = \gamma = 90$, so erhält man die Gl. 5, S. 325.

3) Die Indices der Zwillingsfläche sind zu erstellen.

Alles, was S. 226 in Betreff dieses Punktes gesagt worden ist, gilt auch hier.

§. 59.

Anwendung der im vorigen Paragraphen vorgetragenen Theorie auf das monosymmetrische (monokline) Krystallsystem.

Die Zwillingsbildung im monosymmetrischen System erfolgt gewöhnlich nach folgenden einfachen Gesetzen:

- 1) Die Zwillingsaxe ist die Normale des Orthopinakoids.
- 2) Die Zwillingsaxe ist die Normale der Basis oP
- 3) Die Zwillingsaxe ist die Normale von $\pm mP\infty$

Setzen wir in den Formeln des vorhergehenden Paragraphen $\alpha = \gamma = 90$, so erhalten wir die für das monosymmetrische System geltenden Gleichungen:

$$\begin{aligned}
 e' &= \frac{ae \left[\frac{h^2}{a^2} - \frac{k^2}{b^2} \sin^2 \beta - \frac{l^2}{c^2} \right] + af \frac{2kh}{b^2} \sin^2 \beta + ag \left[\frac{2hl}{c^2} - \frac{2h^2}{ac} \cos \beta \right]}{\sqrt{\left[\frac{D_1^2}{a^2} + \frac{E_3^2}{b^2} \sin^2 \beta + \frac{E_2^2}{c^2} - \frac{2 \cos \beta}{ac} D_1 E_2 \right]}} \\
 f' &= \frac{be \left[\frac{2kh}{a^2} - \frac{2kl}{ac} \cos \beta \right] + bf \left[\frac{k^2}{b^2} \sin^2 \beta - \frac{h^2}{a^2} - \frac{l^2}{c^2} + \frac{2hl}{ac} \cos \beta \right] + bg \left[\frac{2kl}{c^2} - \frac{2kh}{ac} \cos \beta \right]}{\sqrt{\left[\frac{E_3^2}{a^2} + \frac{D_2^2}{b^2} \sin^2 \beta + \frac{E_1^2}{c^2} - \frac{2 \cos \beta}{ac} E_3 E_1 \right]}} \\
 g' &= \frac{ce \left[\frac{2hl}{a^2} - \frac{2l^2}{ac} \cos \beta \right] + cf \frac{2kl}{b^2} \sin^2 \beta + cg \left[\frac{l^2}{c^2} - \frac{h^2}{a^2} - \frac{k^2}{b^2} \sin^2 \beta \right]}{\sqrt{\left[\frac{E_2^2}{a^2} + \frac{E_1^2}{b^2} \sin^2 \beta + \frac{D_3^2}{c^2} - \frac{2 \cos \beta}{ac} E_2 D_3 \right]}} \\
 N &= \frac{h^2}{a^2} + \frac{k^2}{b^2} \sin^2 \beta + \frac{l^2}{c^2} - \frac{2hl}{ac} \cos \beta \\
 \left. \begin{aligned} D_1 &= 2h^2 \sin^2 \beta - a^2 N & E_1 &= 2kl \sin^2 \beta \\ D_2 &= 2k^2 \sin^2 \beta - b^2 N & E_2 &= 2hl \sin^2 \beta - ac N \cos \beta \\ D_3 &= 2l^2 \sin^2 \beta - c^2 N & E_3 &= 2hk \sin^2 \beta \end{aligned} \right\}
 \end{aligned}$$

Die vorstehenden Gleichungen geben uns die Indices $e'f'g'$ einer Fläche, die vor ihrer Drehung durch 180° in Bezug auf ein und dasselbe Axensystem die Indices efg hatte. Wir haben zu zeigen, wie man mit Hilfe dieser Indices die repräsentative Formel bilden kann.

In der Fig. 86 sei $OD = a$ und $BO = b = 1 > a$. In der Fig. 91 sei $OA = a$ und $OD = b = 1 < a$. Die Lage

der Fläche nach ihrer Drehung durch 180° sei in beiden Figuren $A'B'$. Diese Fläche wird parallel mit sich selbst verschoben, bis sie die Lage AB einnimmt, d. i. bis sie mit ihrem einen Endpunkt in den Endpunkt der einen Axe und mit dem

Fig. 86.

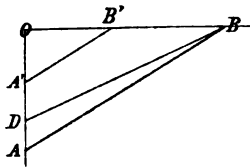
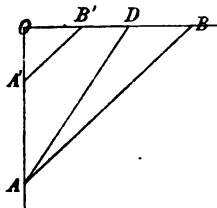


Fig. 91.



anderen Endpunkt über den Endpunkt der anderen Axe fällt. Die Linie AB in Fig. 86 repräsentirt dann allgemein eine der Pyramiden $mP\bar{n}$, in Fig. 91 dagegen eine der Pyramiden $mP\bar{n}$. Aus beiden Figuren folgt:

$$\frac{AO}{A'O} = \frac{BO}{B'O}$$

Nun ist $A'O = \frac{1}{e'} \cdot a$ und $B'O = \frac{1}{f'} b = \frac{1}{f'}$, mithin, da in Fig. 86 $BO = 1$ und $AO = na$ ist,

$$AO = \frac{A'O}{B'O} = \frac{af'}{e'} = na$$

folglich

$$n = \frac{f'}{e'}$$

Da n stets > 1 ist, so muss für eine Pyramide der klinodiagonalen Reihe (s. Fig. 86) $\frac{f'}{e'} > 1$ oder $e' < f'$ sein.

In Fig. 91 repräsentirt AB eine Pyramide der orthodiagonalen Reihe und wir erhalten aus obiger Gleichung, da nun $AO = a$ und $OB = nb = n$ ist,

$$OB = \frac{B'O}{A'O} AO = \frac{e'}{f'} = n$$

Da $n > 1$ ist, so muss nun $e' > f'$ sein.

Daraus ergibt sich folgende Regel für die Bildung der Formeln. Sind die drei Indices $e'f'g'$ von einander verschieden

und ist $e' < f'$, so liegt die Pyramide $\frac{f'}{g'} P \frac{\bar{f}'}{e'}$

ist aber $e' > f'$, so liegt die Pyramide $\frac{e'}{g'} P \frac{\bar{e}'}{f'}$

ist $e' = f'$, so liegt die Pyramide $\frac{e'}{g'} P$ vor.

Es ist nunmehr leicht, aus diesen drei Hauptfällen alle möglichen Fälle zu ermitteln. Man braucht nur dem $e'f'g'$ alle Werthe von Null bis $\pm e'f'g'$ beizulegen.

§. 60.

Erstes Zwillingsgesetz: Die Zwillingungsfläche ist das Orthopinakoid.

Setzen wir in den Gl. 6, S. 288 für hkl die Indices des Orthopinakoids $1\ 0\ 0$, so erhalten wir die Gleichungen:

$$7) \ e' = e - \frac{2ag \cos \beta}{c} \quad f' = -f \quad g' = -g$$

Parallelfächen der Pyramide $+ mP$.

Indices $m\ m\ \bar{1}$ oder $\bar{m}\ m\ 1$.

Parameter $a, b, -mc$ oder $-a, b, mc$.

Setzen wir in den Gl. 7, S. 290 für efg die Werthe $m\ m\ \bar{1}$ oder $\bar{m}\ m\ 1$, so erhalten wir für $e'f'g'$ die Werthe:

$$e' = m + \frac{2a \cos \beta}{c} \quad f' = -m \quad g' = 1$$

Daraus folgt die Formel

$$- (m + 2h) P \frac{\overline{m + 2h}}{m}$$

wenn man $\frac{a \cos \beta}{c} = h$ setzt.

Parallelfächen der Pyramide $- mP$.

Indices $m\ \bar{m}\ 1$. Parameter $a, -b, mc$.

Setzen wir in den Gl. 7, S. 290 für efg die Werthe $m\ \bar{m}\ 1$, so erhalten wir für $e'f'g'$ die Werthe:

$$e' = m - \frac{2a \cos \beta}{c} \quad f' = m \quad g' = -1$$

Daraus folgt die Formel:

$$+ m P \frac{\hat{m}}{m - 2h}$$

wenn $h = \frac{a \cos \beta}{c}$ gesetzt wird.

Parallelfächen der Orthopyramide $+ m P \bar{n}$.

Indices $m n$, m , \bar{n} . Parameter a , $n b$, $-m c$.

Setzen wir in den Gl. 7, S. 290 für $e f g$ die Werthe $m n$, m , \bar{n} , so erhalten wir:

$$e' = n \left(m + \frac{2 a \cos \beta}{c} \right) \quad f' = -m \quad g' = n$$

Daraus folgt die Formel:

$$- (m + 2h) P \frac{(m + 2h) \bar{n}}{m}$$

wenn $\frac{a \cos \beta}{c} = h$ gesetzt wird.

Parallelfächen der negativen Orthopyramiden $- m P \bar{n}$.

Indices $m n$, m , n . Parameter a , $n b$, $m c$.

Setzt man in den Gl. 7, S. 290 für $e f g$ die Werthe $m n$, m , n , so erhält man

$$e' = n (m - 2h); \quad f' = -m; \quad g' = -n, \text{ worin } h = \frac{a \cos \beta}{c}$$

Daraus findet man die Formel:

$$+ \frac{m}{n} P \frac{\hat{m}}{n (m - 2h)}$$

wenn $e' < f'$ oder $\frac{m}{m - 2h} > n$

$$+ (m - 2h) P \frac{\overline{n (m - 2h)}}{m}$$

wenn $e' > f'$ oder $\frac{m}{m - 2h} < n$

$$+ (m - 2h) P$$

wenn $e' = f'$ oder $\frac{m}{m - 2h} = n$ ist.

Parallelfächen der positiven Klinopyramiden + mPn.

Indices m, mn, \bar{n} . Parameter na, b, —mc.

Setzt man in den Gl. 7, S. 290 für efg die Werthe m, mn, \bar{n} , so erhält man

$$e' = m + 2hn \quad f' = -mn \quad g' = n, \text{ worin } h = \frac{a \cos \beta}{c}$$

Daraus folgt die Formel:

$$- m P \frac{mn}{m + 2hn}$$

$$\text{wenn } e' < f' \text{ oder } \frac{mn}{m + 2hn} > 1$$

$$- \frac{m + 2hn}{n} P \frac{m + 2hn}{mn}$$

$$\text{wenn } e' > f' \text{ oder } \frac{mn}{m + 2hn} < 1$$

$$- m P$$

$$\text{wenn } e' = f' \text{ oder } \frac{mn}{m + 2hn} = 1 \text{ oder } m = \frac{2nh}{n - 1}$$

Parallelfächen der negativen Klinopyramiden — mPn.

Indices m, mn, n. Parameter na, b, mc.

Man findet

$$e' = m - 2hn; \quad f' = -mn; \quad g' = -n, \text{ worin } h = \frac{a \cos \beta}{c}$$

Daraus folgt die Formel:

$$+ m P \frac{mn}{m - 2hn}$$

$$\text{wenn } e' < f' \text{ oder } m > 2nh$$

$$- m P \frac{mn}{m - 2nh}$$

$$\text{wenn } m < 2nh$$

$$m P \infty$$

$$\text{wenn } m = 2nh$$

Parallellflächen der Domen.

Setzen wir in den vorhergehenden Resultaten $n = \infty$, so erhalten wir das Folgende:

Dem Hemidoma $+ m P \overline{\infty}$ entspricht $-(m + 2h) P \overline{\infty}$

Dem Hemidoma $- m P \overline{\infty}$ entspricht $o P$, wenn $m = 2h$

Dem Hemidoma $- m P \overline{\infty}$ entspricht $+(m - 2h) P \overline{\infty}$

Dem Doma $+ m P \infty$ entspricht $- m P \frac{m}{2h}$ wenn $m > 2h$

Dem Doma $+ m P \infty$ entspricht $- m P$, wenn $m = 2h$

Dem Doma $+ m P \infty$ entspricht $- 2h P \frac{2h}{m}$ wenn $m < 2h$

Dem Doma $- m P \infty$ entspricht $+ m P \frac{m}{2h}$

§. 61.

Zweites Zwillingsgesetz: Zwillingsfläche die Basis.

Setzen wir in den Gl. 6, S. 288 für hkl die Werthe 001 , so erhalten wir

$$8) \quad e' = -e \quad f' = -f \quad g' = g - 2he$$

wenn $h = \frac{c \cos \beta}{a}$ ist.

Parallellflächen der Pyramiden $+ m P$.

Indices $m m \bar{1}$. Parameter $a, b, -mc$.

Setzt man in den Gl. 8 für efg die Werthe $m m \bar{1}$, so erhält man

$$e' = m \quad f' = m \quad g' = 1 + 2hm$$

Parallellflächen der Pyramiden $- m P$.

Indices $m m 1$. Parameter a, b, mc .

$$e' = -m \quad f' = -m \quad g' = 1 - 2hm$$

Parallellflächen der Orthopyramiden $+ m P \bar{n}$.

Indices $m n, m, \bar{n}$. Parameter $a, nb, -mc$.

$$e' = -mn \quad f' = -m \quad g' = -(1 + 2hm)n$$

Parallelfächen der Orthopyramiden — mPñ.

Indices m n, m, n. Parameter a, n b, m c.

$$e' = -mn \quad f' = -m \quad g' = n(1 - 2hm)$$

Parallelfächen der Klinopyramiden + mPñ.

Indices \bar{m} , m n, n. Parameter — n a, b, m c.

$$e' = m \quad f' = -mn \quad g' = n + 2mh$$

Parallelfächen der Klinopyramiden — mPñ.

Indices m, m n, n. Parameter n b, b, m c.

$$e' = -m \quad f' = -mn \quad g' = n - 2mh$$

Drittes Zwillingsgesetz: Zwillingsfläche eine Fläche des Klinodomas m'P ò.

Setzen wir in den Gl. 6, S. 288 für hkl die Werthe 0 m' 1, so erhalten wir:

$$9) \begin{cases} e' = -2 \\ f' = \frac{-2b^2cm'e \cos \beta + af(m'^2c^2 \sin^2 \beta - b^2) + 2ab^2gm'}{a(m'^2c^2 \sin^2 \beta + b^2)} \\ g' = \frac{-2b^2ce \cos \beta + 2ac^2fm' \sin^2 \beta + ag(b^2 - m'^2c^2 \sin^2 \beta)}{a(m'^2c^2 \sin^2 \beta + b^2)} \end{cases}$$

Diese Formeln vereinfachen sich noch bedeutend, wenn das Klinodoma rechtwinklig, d. i. wenn $m'c \sin \beta = b$ ist.

§. 62.

Ermittelung der Zwillingsfläche.

Erstes Beispiel (Orthoklas).

Erstes Verfahren. Die drei Flächen T, T' und die Zwillingsfläche (s. Fig. 92) sind tautozonal.

Die Indices der Fläche T sind 1 $\bar{1}$ 0

Die der Fläche T' sind 1 $\frac{\bar{1}}{n}$ $\frac{1}{m}$ oder m n, \bar{m} , n

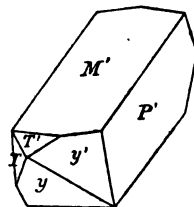
Die der Zwillingsfläche sind 0 1 $\frac{1}{m'}$ oder 0 m' 1

Vermöge der Zonengleichung folgt

$$m' = \frac{m(n-1)}{n}$$

Kennt man m und n , so ergibt sich aus dieser Gleichung m' . Dem T' gegenüber in demselben Individuum liegt eine entsprechende Fläche mit den Indices m, n . Diese letztere bildet mit M' den Winkel $120^\circ 36' = w$ und mit P' den Winkel $112^\circ 13' = w'$. Mit Hilfe dieser zwei Winkel kann man in bekannter Weise mit Hilfe einer stereographischen Projection oder mit Hilfe der Gl. 21, S. 30 m und n finden. Da

Fig. 92.



$$a : b : c = 0,65842 : 1 : 0,55527$$

ist, so findet man

$$m = 7,7808 \text{ und } n = 1,3464$$

Daraus ergibt sich:

$$m' = 2$$

Die Zwillingsfläche ist eine Fläche des Klinodomas $\cdot P \infty$.

Zweites Verfahren. Die Flächen M' und P' bilden einen rechten Winkel, ebenso die Flächen M' und die dem P' gegenüberliegende entsprechende Fläche. Die Zwillingsfläche halbiert bekanntlich den Winkel der beiden letzten Flächen. Denkt man sich die Zwillingsfläche parallel mit sich selbst verschoben, bis sie die Y-Axe, die auf P' senkrecht ist, in der Entfernung $b = 1$ schneidet, und errichtet auf M' eine Senkrechte, so wird diese von der verschobenen Zwillingsfläche in der Entfernung m'' geschnitten und es ist, wie eine Durchschnitsfigur lehrt,

$$\operatorname{tg} 45^\circ = \frac{m''}{b} = m'' = 1$$

Die Z-Axe bildet mit der Senkrechten auf M' den Winkel $90 - \beta = 26^\circ 3'$. Mithin ist

$$\cos (90 - \beta) = \sin \beta = \frac{m''}{m'c}$$

$$m' = \frac{m''}{c \sin \beta} = \frac{1}{c \sin \beta} = 2$$

Dasselbe Resultat erhält man auch mit Hilfe der Gl. 21, S. 30. Der Winkel, den M' mit der Zwillingungsfläche bildet, ist 45° . Die Indices von M' sind 0 0 1, die der Zwillingungsfläche 0 m' 1. Mithin ist

$$\cos 45 = \frac{H}{\sqrt{N} \sqrt{N_1}} = \frac{b}{\sqrt{m'^2 c^2 \sin^2 \beta + b^2}} = \frac{1}{\sqrt{m'^2 c^2 \sin^2 \beta + 1}}$$

Aus dieser Gleichung folgt:

$$m' = \frac{1}{c \sin \beta} = 2$$

Zweites Beispiel (Orthoklas).

Erstes Verfahren. Die Fig. 93 repräsentirt ein andere, am Orthoklas beobachtete Zwillingungsbildung. Die Zwillingungsfläche liegt in den beiden Zonen $y'y$ und $P'M'$, ergibt sich mithin aus dem Durchschnitt

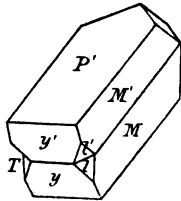


Fig. 93.

der Zonen. Die Indices von y sind $1\ 0\ \frac{1}{m}$ oder $m\ 0\ \bar{1}$, die von y' sind $m\ 0\ 1$, die von P' sind 0 0 1 und die von M' sind 0 1 0. Vermöge der Zonengleichung erhält man für die Indices der Zwillingungsfläche die Werthe 0 0 1. Die Zwillingungsfläche ist die Basis.

Zweites Verfahren. Der Winkel $P':M'$ ist gleich 90° , der Winkel $M':M = 180^\circ$. Dieser letztere wird durch die Zwillingungsfläche halbiert. Die Hälfte ist 90° ; folglich ist die Zwillingungsfläche der Fläche P' parallel und da P' die Basis ist, so ist die Zwillingungsfläche die Basis.

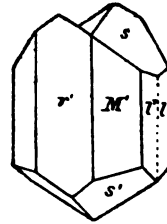
Drittes Beispiel (Augit).

Die Fig. 94 repräsentirt einen Zwillingkrystall des gemeinen Augits. Da l' mit l in eine Ebene fällt, der Winkel

$l : l'$ mithin 180° ist und dieser Winkel durch die Zwillingungsfläche halbirt wird, so folgt, dass die Zwillingungsfläche der Fläche r' parallel ist, mithin eine Fläche des Orthopinakoids $\propto P\infty$ ist.

Auch in folgender Weise kann es gezeigt werden. Der einspringende Winkel bei s beträgt $153^\circ 1'$. Der Winkel, den s mit der Orthopinakoidfläche bildet, ist $76^\circ 30' 30''$ und dieser Winkel ist genau die Hälfte von $153^\circ 1'$, mithin ist die Zwillingungsfläche parallel $\propto P\infty$.

Fig. 94.



§. 63.

Anwendung der vorgetragenen Theorie auf das triklone Krystallsystem.

Da die allgemeine Theorie des triklinen Systems bereits mitgetheilt worden ist, so bleibt nur noch übrig, zu zeigen, wie sie sich in speciellen Fällen gestaltet. Am häufigsten erfolgt die Zwillingbildung nach dem Gesetz: die Zwillingungsfläche ist das Brachypinakoid. Die Zwillingbildung findet in der Regel mit Juxtaposition der Individuen und in vielfacher Wiederholung statt. Bei den triklinen Feldspathen sind die Zwillingseindividen in der Richtung der Zwillingaxe derart verkürzt, dass sie als ein Aggregat mikroskopisch dünner Lamellen erscheinen. Durchschneidet eine Spaltungsrichtung die Lamellen, so erkennt man auf der Spaltungsfläche die Zwillingstreifung.

Erstes Zwillingsgesetz: Zwillingungsfläche das Brachypinakoid $\propto P\infty$.

Setzt man in den Gl. 5, S. 286 für hkl die Werthe 010 , so erhält man:

$$e' = -e \quad f' = \frac{acf \sin^2 \beta - 2bceC' - 2abgA'}{ac \sin^2 \beta}$$

$$g' = -g$$

Wenn man aus den drei Seiten α, β, γ ein sphärisches Dreieck construirt und die den Seiten gegenüberliegenden Winkel entsprechend durch A, B, C bezeichnet, so ist:

$$\frac{A'}{\sin \beta} = \frac{\cos \alpha - \cos \beta \cos \gamma}{\sin \beta} = \sin \gamma \cos A$$

und

$$\frac{C'}{\sin \beta} = \frac{\cos \gamma - \cos \alpha \cos \beta}{\sin \beta} = \sin \alpha \cos C$$

Substituirt man diese Werthe in die vorhergehende Gleichung, so erhält man:

$$e' = -e$$

$$f' = \frac{acf \sin \beta - 2bce \sin \alpha \cos C - 2abg \sin \gamma \cos A}{ac \sin \beta}$$

$$g' = -g$$

Die Discussion dieser Gleichungen ist genau dieselbe wie die der entsprechenden Gleichungen im rhombischen System. Die Resultate sind diese:

Ist $e' < f'$, so liegt die Pyramide $\frac{f'}{g'} \bar{P} \frac{f'}{e'}$

Ist $e' > f'$, so liegt die Pyramide $\frac{e'}{g'} \bar{P} \frac{e'}{f'}$

Ist $e' = f'$, so liegt die Pyramide $\frac{f'}{g'} P$ vor.

Um alle speciellen Fälle zu erhalten, muss man dem $e'f'g'$ alle möglichen Werthe von 0 bis $\pm e'f'g'$ beilegen..

Zweites Zwillingsgesetz: Zwillingungsfläche die Basis oP.

Setzen wir in den Gl. 5, S. 286 für hkl die Werthe 0 0 1, so erhalten wir:

$$e' = -e; \quad f' = -f; \quad g' = \frac{abg \sin^2 \gamma - 2acfA' - 2bceB'}{ab \sin^2 \gamma}$$

oder, da

$$\frac{\cos \beta - \cos \alpha \cos \gamma}{\sin \gamma} = \sin \alpha \cos B$$

und

$$\frac{\cos \alpha - \cos \beta \cos \gamma}{\sin \gamma} = \sin \beta \cos A \text{ ist,}$$

$$e' = -e \quad f' = -f$$

$$g' = \frac{abg \sin \gamma - 2acf \sin \beta \cos A - 2bce \sin \alpha \cos B}{ab \sin \gamma}$$

Die Discussion der Gleichungen ist wie oben.

§. 64.

Bestimmung der Zwillingsfläche.

Albit.

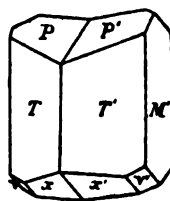
Erstes Verfahren. Die Fig. 95 repräsentirt eine am Albit beobachtete Zwillingsbildung. Der $\angle T:T' = 120^\circ 40'$ wird durch die Zwillingsfläche halbirt. Da nun der Winkel

$$T':M' = 119^\circ 40' \text{ den Winkel } \frac{T:T'}{2} = 60^\circ 20'$$

genau zu 180° ergänzt, so ist die Zwillingsfläche der Fläche M' parallel, mithin das Brachypinakoid $\infty \tilde{P} \infty$.

Dasselbe Resultat ergibt sich aus folgender Betrachtung. Der Winkel $P:P' = 172^\circ 48'$ wird durch die Zwillingsfläche halbirt. Der Winkel $P':M'$ beträgt $86^\circ 24'$ und dieser Winkel ist genau gleich $\frac{1}{2}(P:P')$; mithin ist die Zwillingsfläche der Fläche M' parallel.

Fig. 95.



Zweites Verfahren. Die Zwillingsfläche liegt in der Zone $M'T'T$ und in der Zone $M'P'P$; sie ergibt sich mithin aus dem Durchschnitt der beiden Zonen.

